

**Élaboration du portrait climatique régional en soutien à l'analyse
des vulnérabilités et au développement du Nunavik**

Tome 2

Produit par Ouranos

Pour le Ministère des Forêts, de la Faune et des Parcs



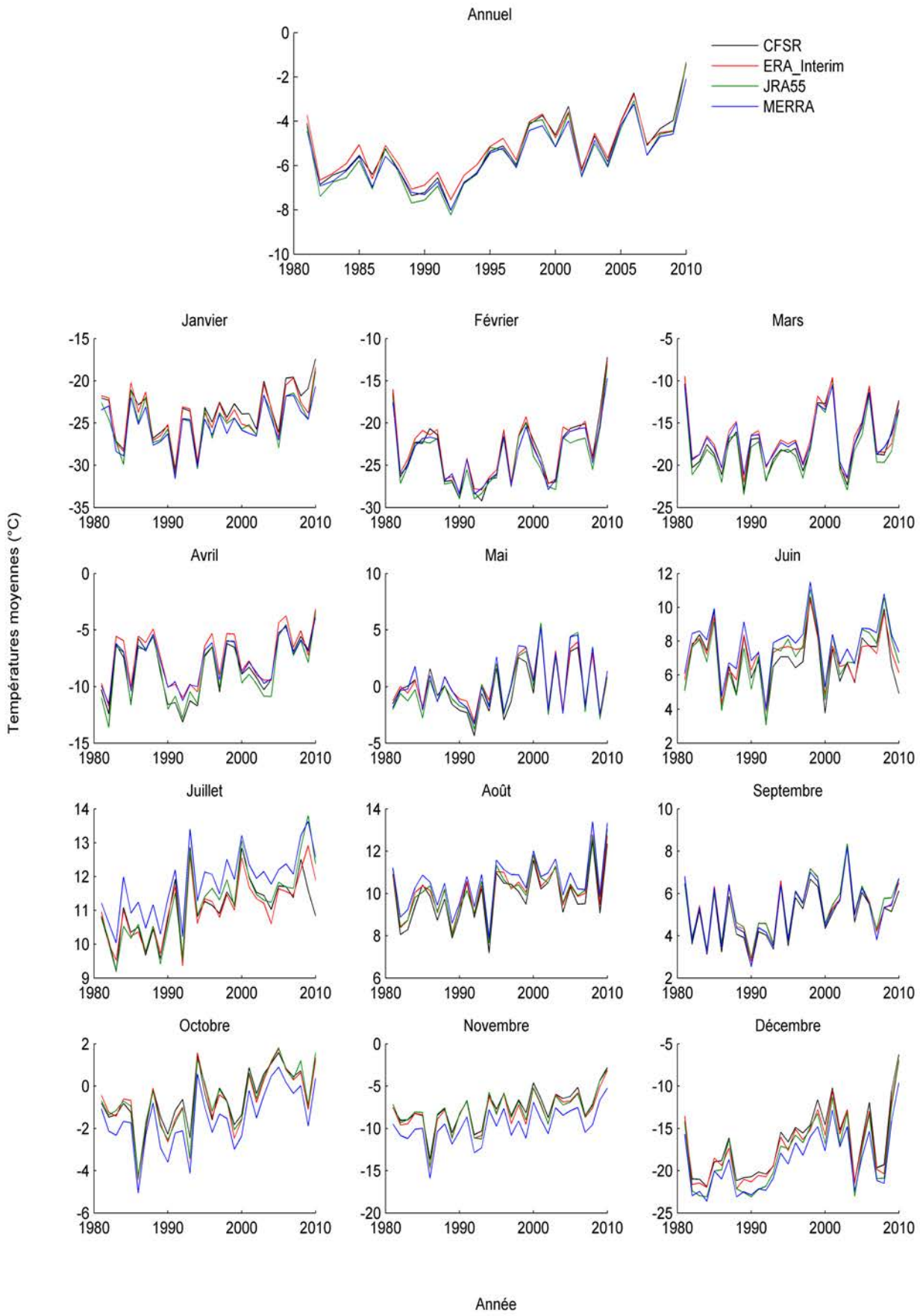


Figure A.1. Évolution des températures moyennes (°C) selon chacune des quatre réanalyses (ERA-Interim, CFSR, JRA55, MERRA), moyennée pour l'ensemble du territoire à l'étude.

Températures moyennes (annuelle)

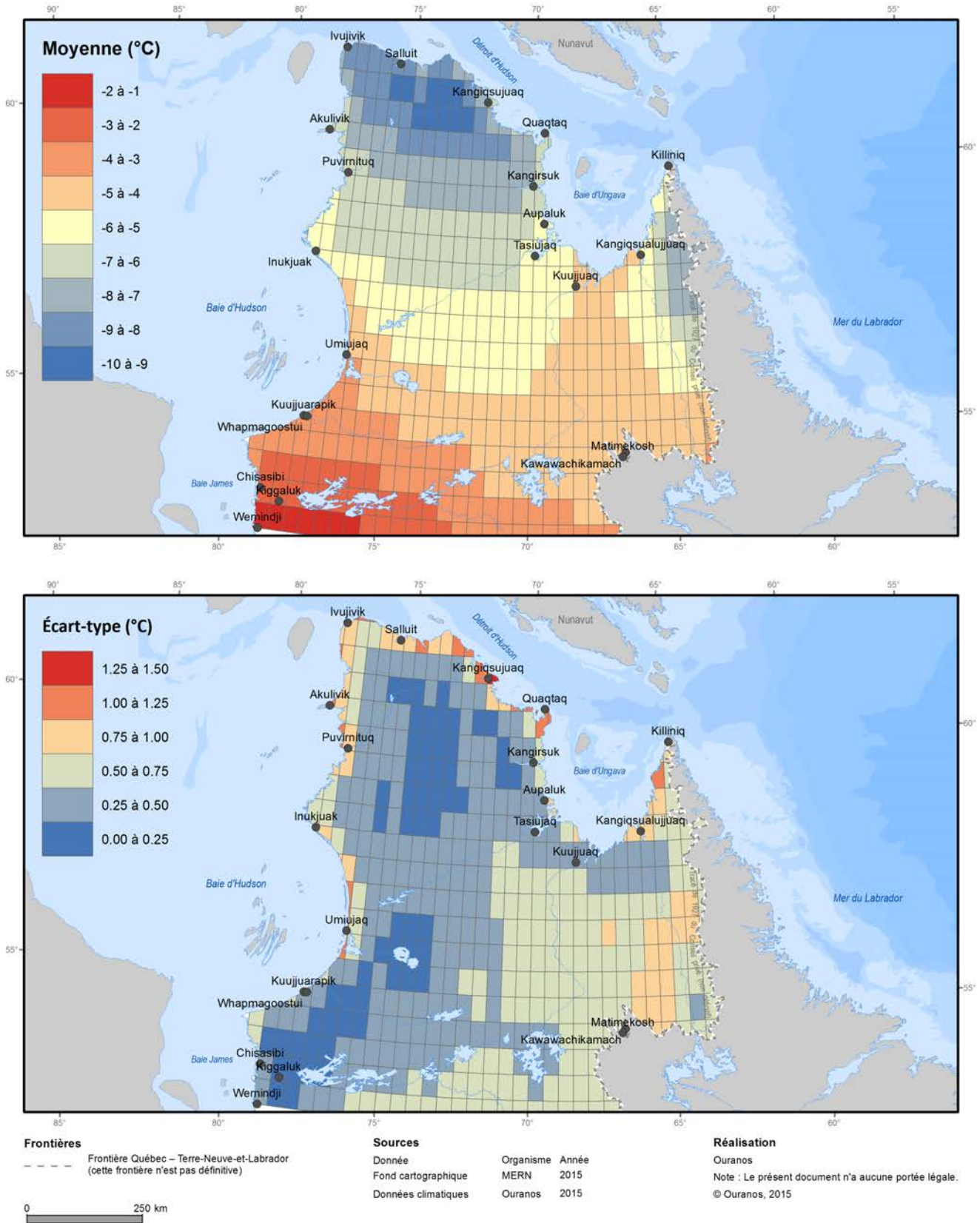


Figure A.2. Normales climatiques 1981 à 2010 (annuelle) des températures moyennes (°C). Le panneau du haut présente la moyenne, tandis que le panneau du bas présente l'écart-type, de quatre réanalyses (ERA-Interim, CFSR, JRA55, MERRA).

Températures moyennes (janvier)

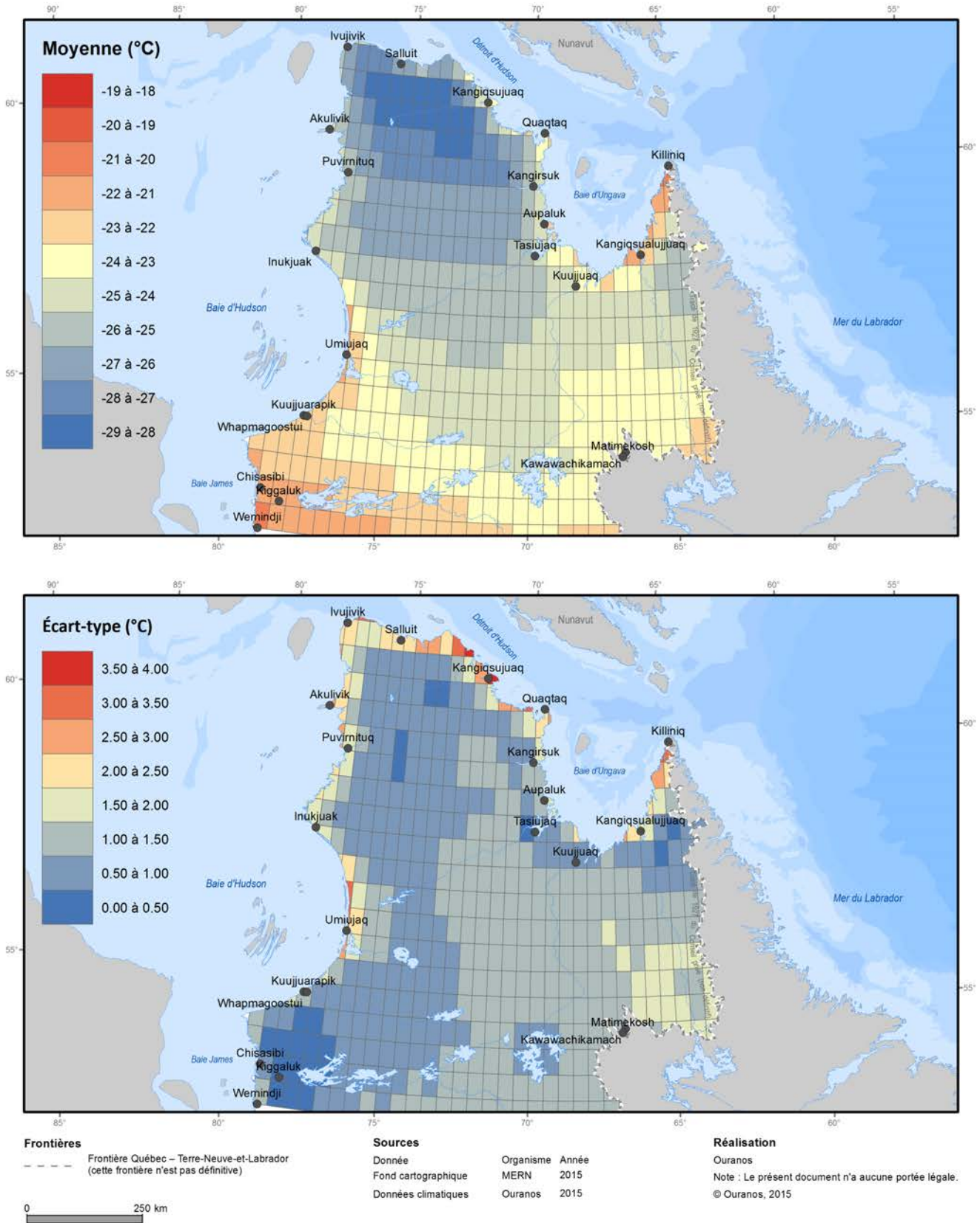


Figure A.3. Normales climatiques 1981 à 2010 (janvier) des températures moyennes (°C). Le panneau du haut présente la moyenne, tandis que le panneau du bas présente l'écart-type, de quatre réanalyses (ERA-Interim, CFSR, JRA55, MERRA).

Températures moyennes (février)

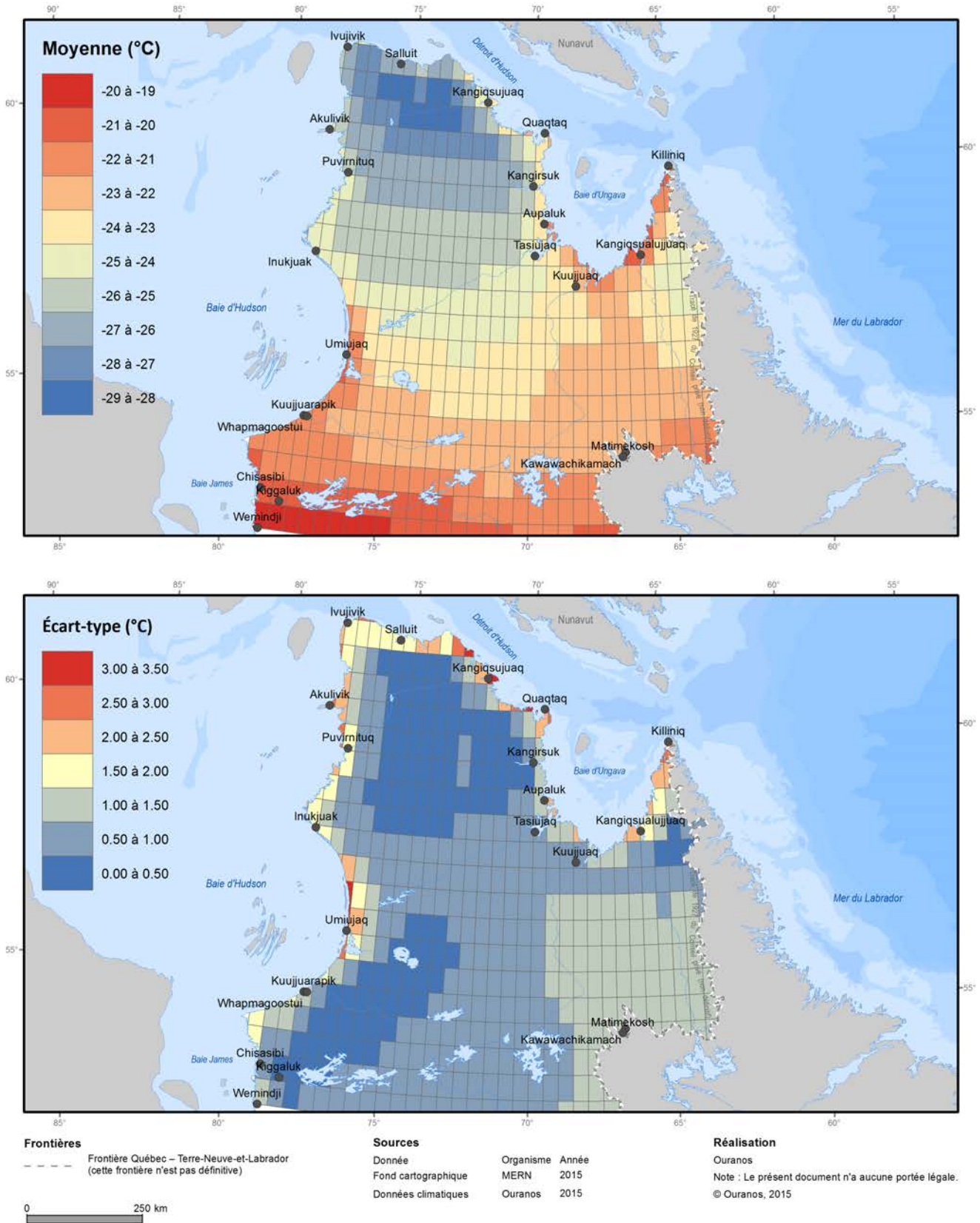


Figure A.4. Normales climatiques 1981 à 2010 (février) des températures moyennes (°C). Le panneau du haut présente la moyenne, tandis que le panneau du bas présente l'écart-type, de quatre réanalyses (ERA-Interim, CFSR, JRA55, MERRA).

Températures moyennes (mars)

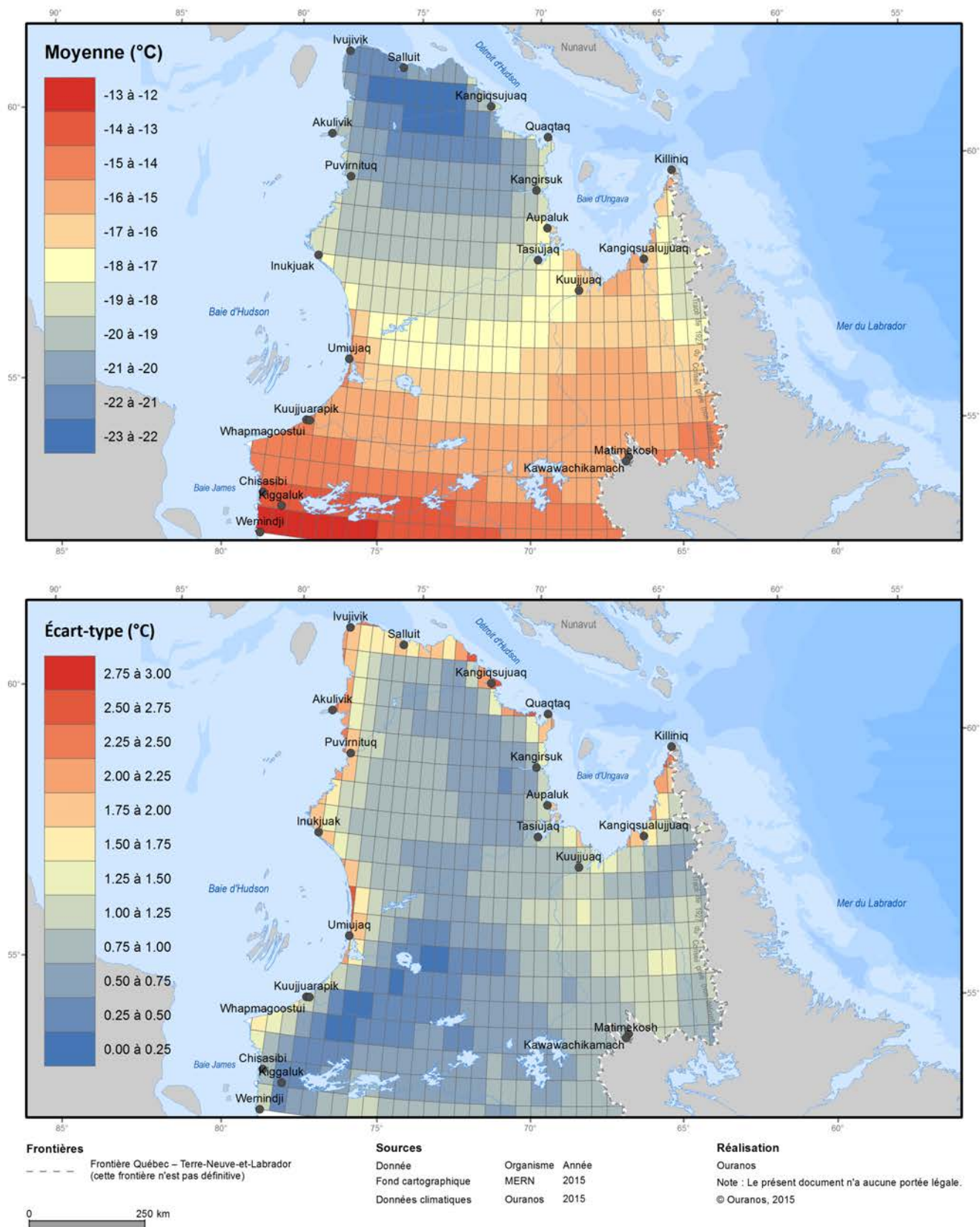


Figure A.5. Normales climatiques 1981 à 2010 (mars) des températures moyennes (°C). Le panneau du haut présente la moyenne, tandis que le panneau du bas présente l'écart-type, de quatre réanalyses (ERA-Interim, CFSR, JRA55, MERRA).

Températures moyennes (avril)

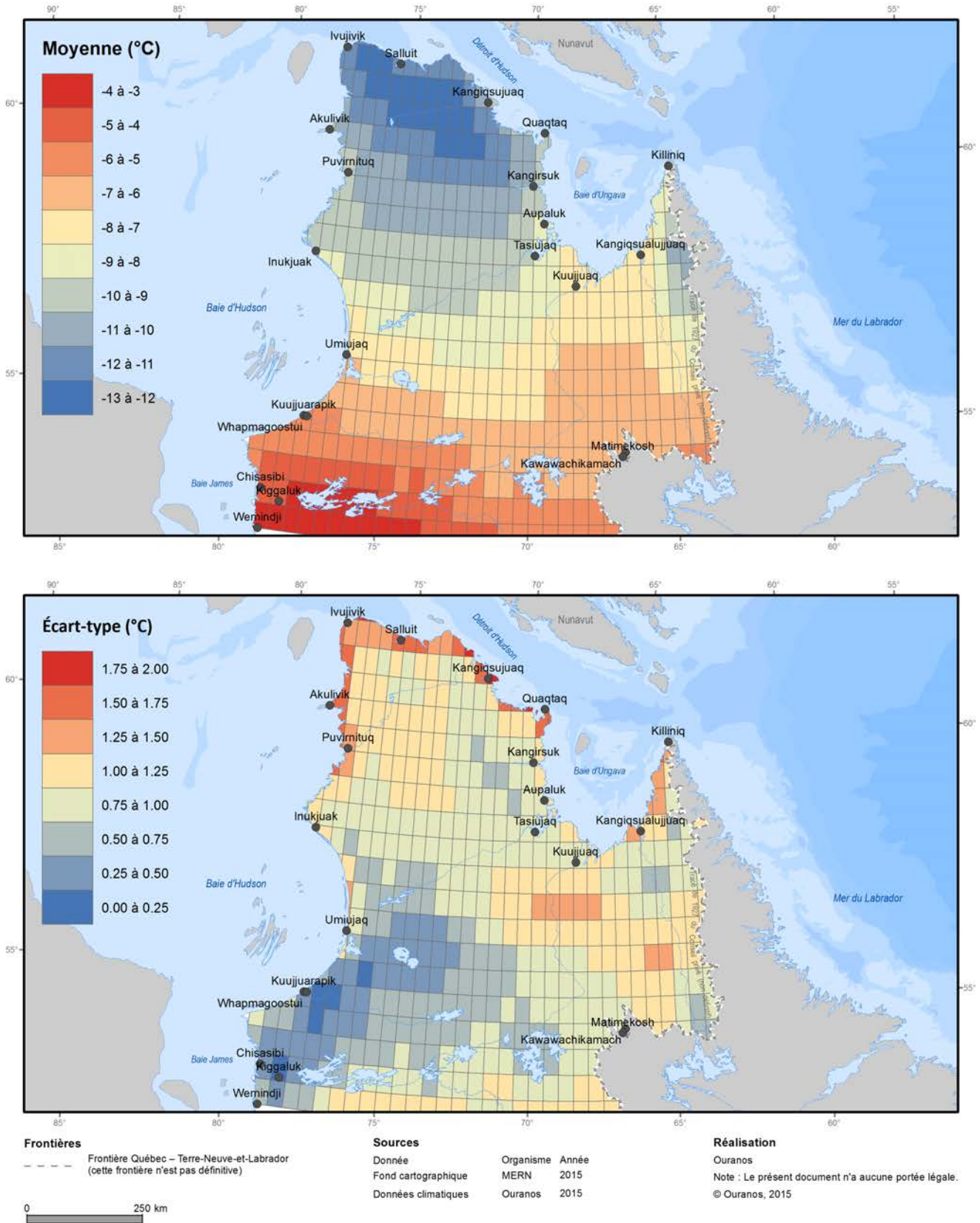


Figure A.6. Normales climatiques 1981 à 2010 (avril) des températures moyennes (°C). Le panneau du haut présente la moyenne, tandis que le panneau du bas présente l'écart-type, de quatre réanalyses (ERA-Interim, CFSR, JRA55, MERRA).

Températures moyennes (mai)

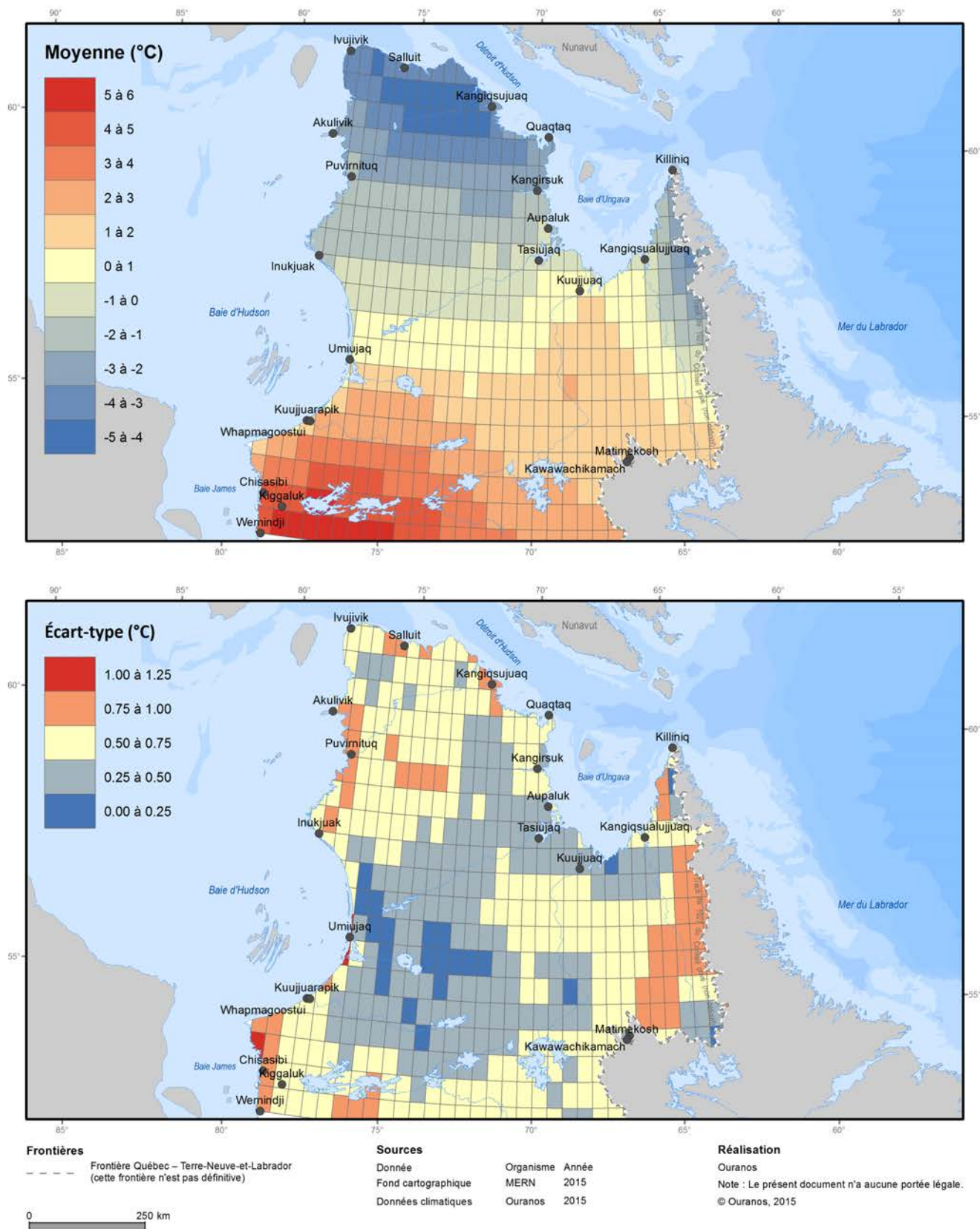


Figure A.7. Normales climatiques 1981 à 2010 (mai) des températures moyennes (°C). Le panneau du haut présente la moyenne, tandis que le panneau du bas présente l'écart-type, de quatre réanalyses (ERA-Interim, CFSR, JRA55, MERRA).

Températures moyennes (juin)

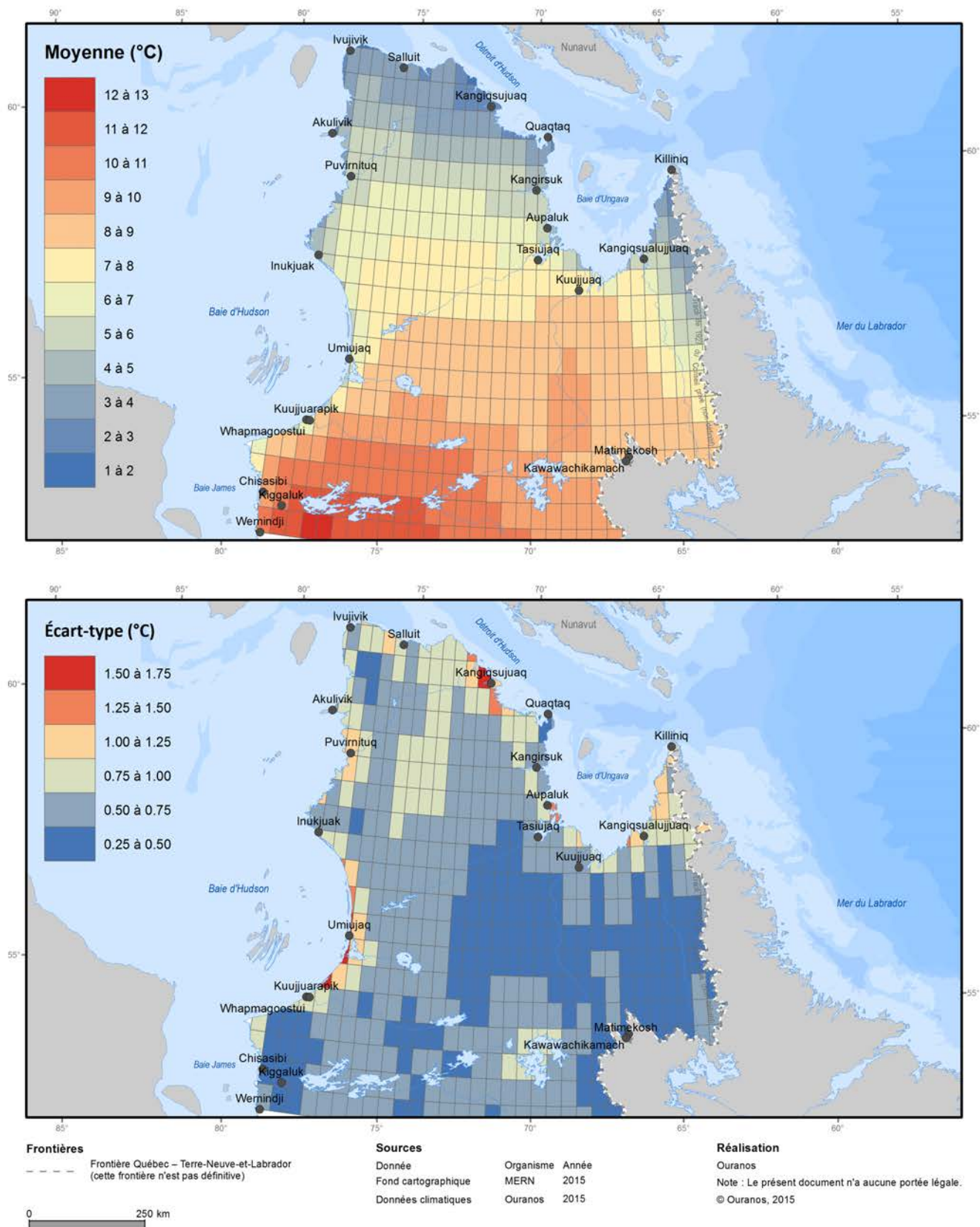


Figure A.8. Normales climatiques 1981 à 2010 (juin) des températures moyennes (°C). Le panneau du haut présente la moyenne, tandis que le panneau du bas présente l'écart-type, de quatre réanalyses (ERA-Interim, CFSR, JRA55, MERRA).

Températures moyennes (juillet)

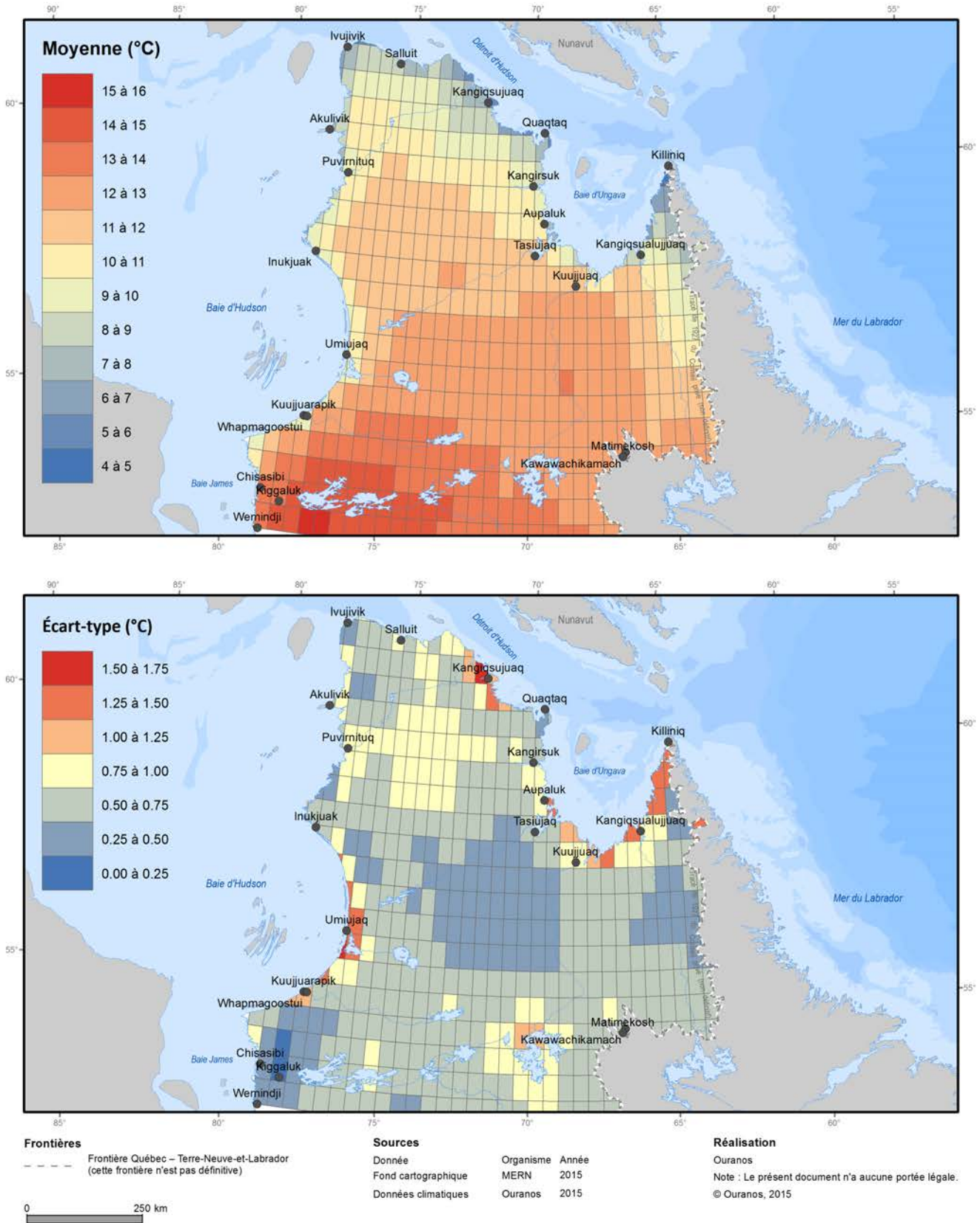


Figure A.9. Normales climatiques 1981 à 2010 (juillet) des températures moyennes (°C). Le panneau du haut présente la moyenne, tandis que le panneau du bas présente l'écart-type, de quatre réanalyses (ERA-Interim, CFSR, JRA55, MERRA).

Températures moyennes (août)

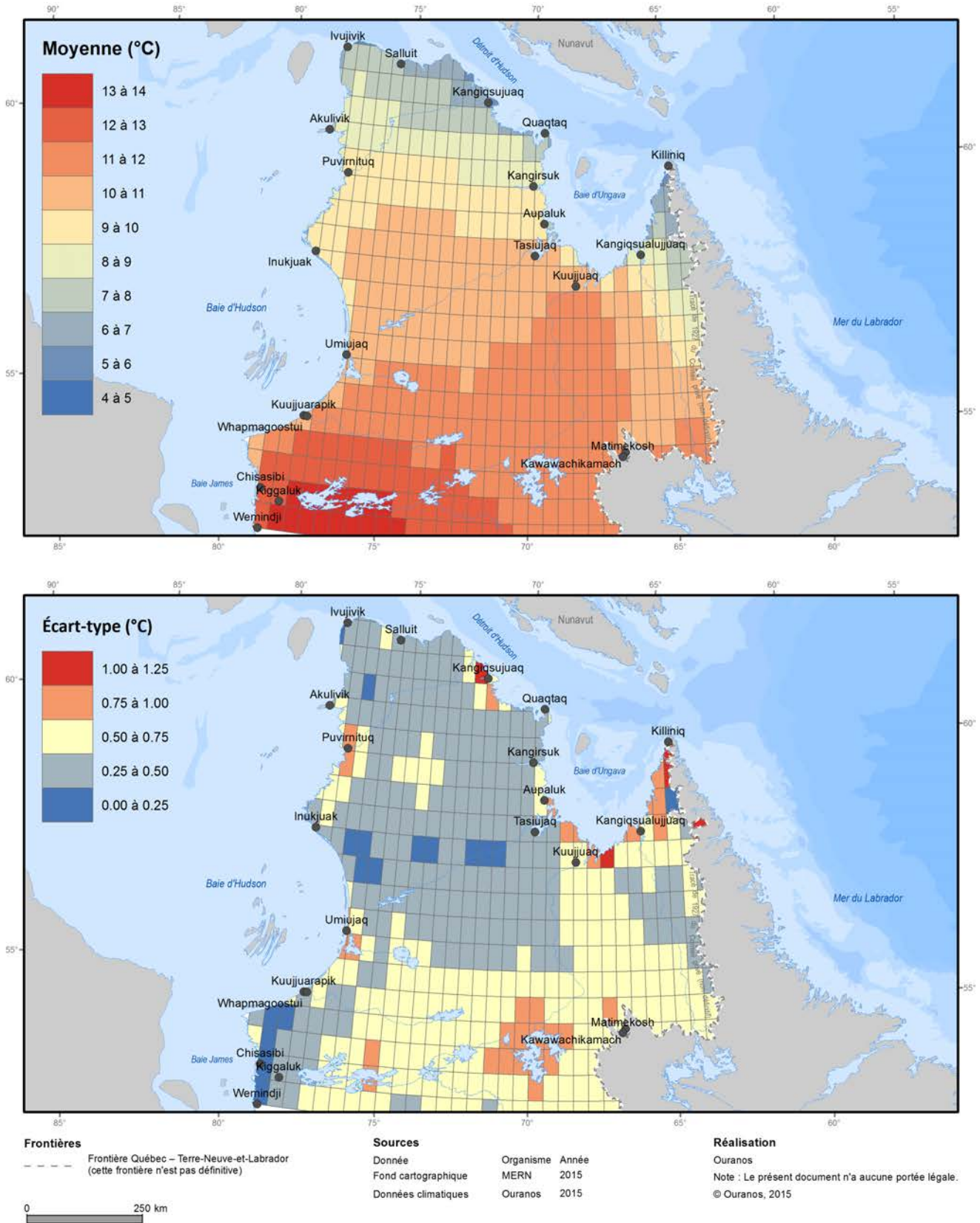


Figure A.10. Normales climatiques 1981 à 2010 (août) des températures moyennes (°C). Le panneau du haut présente la moyenne, tandis que le panneau du bas présente l'écart-type, de quatre réanalyses (ERA-Interim, CFSR, JRA55, MERRA).

Températures moyennes (septembre)

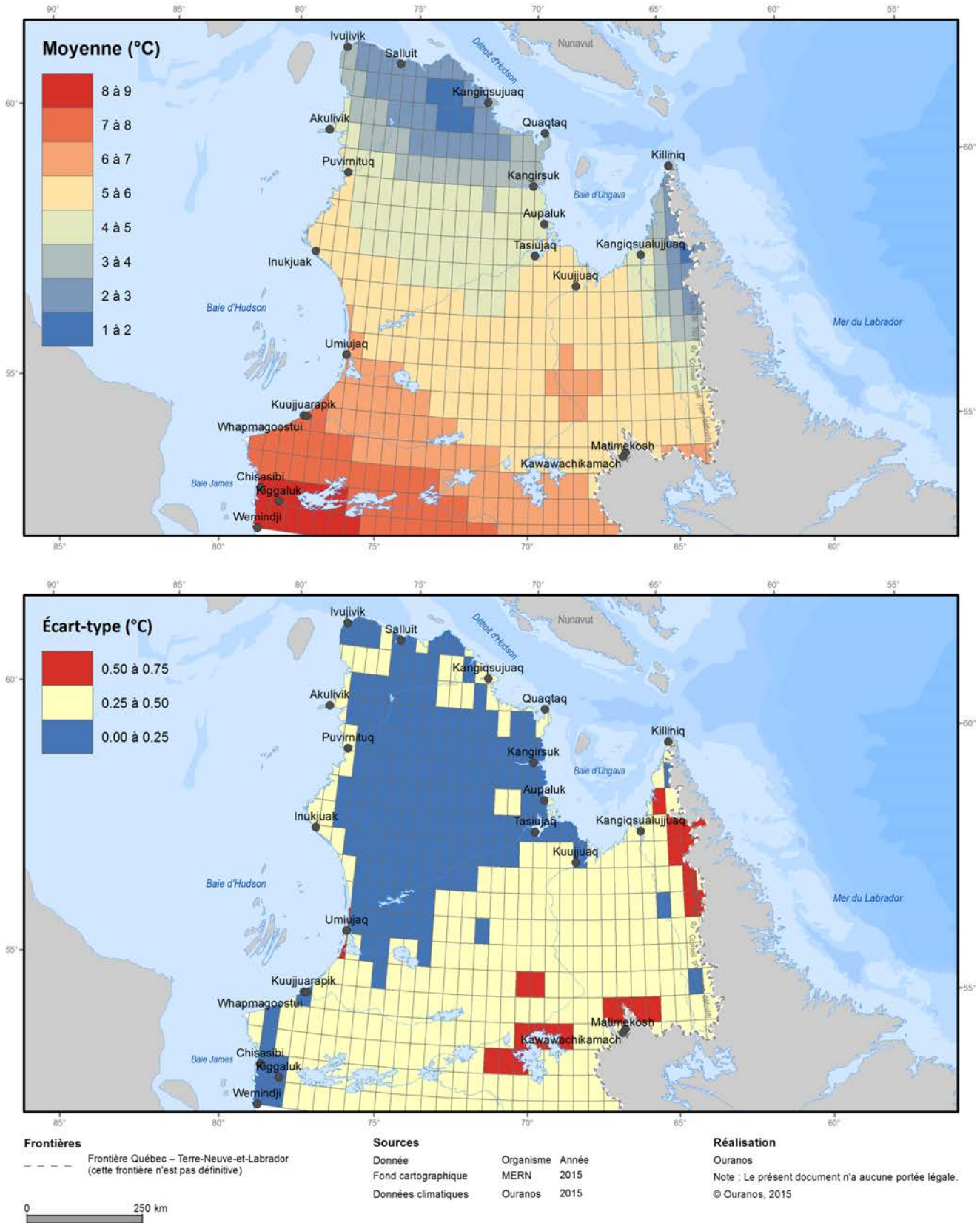


Figure A.11. Normales climatiques 1981 à 2010 (septembre) des températures moyennes (°C). Le panneau du haut présente la moyenne, tandis que le panneau du bas présente l'écart-type, de quatre réanalyses (ERA-Interim, CFSR, JRA55, MERRA).

Températures moyennes (octobre)

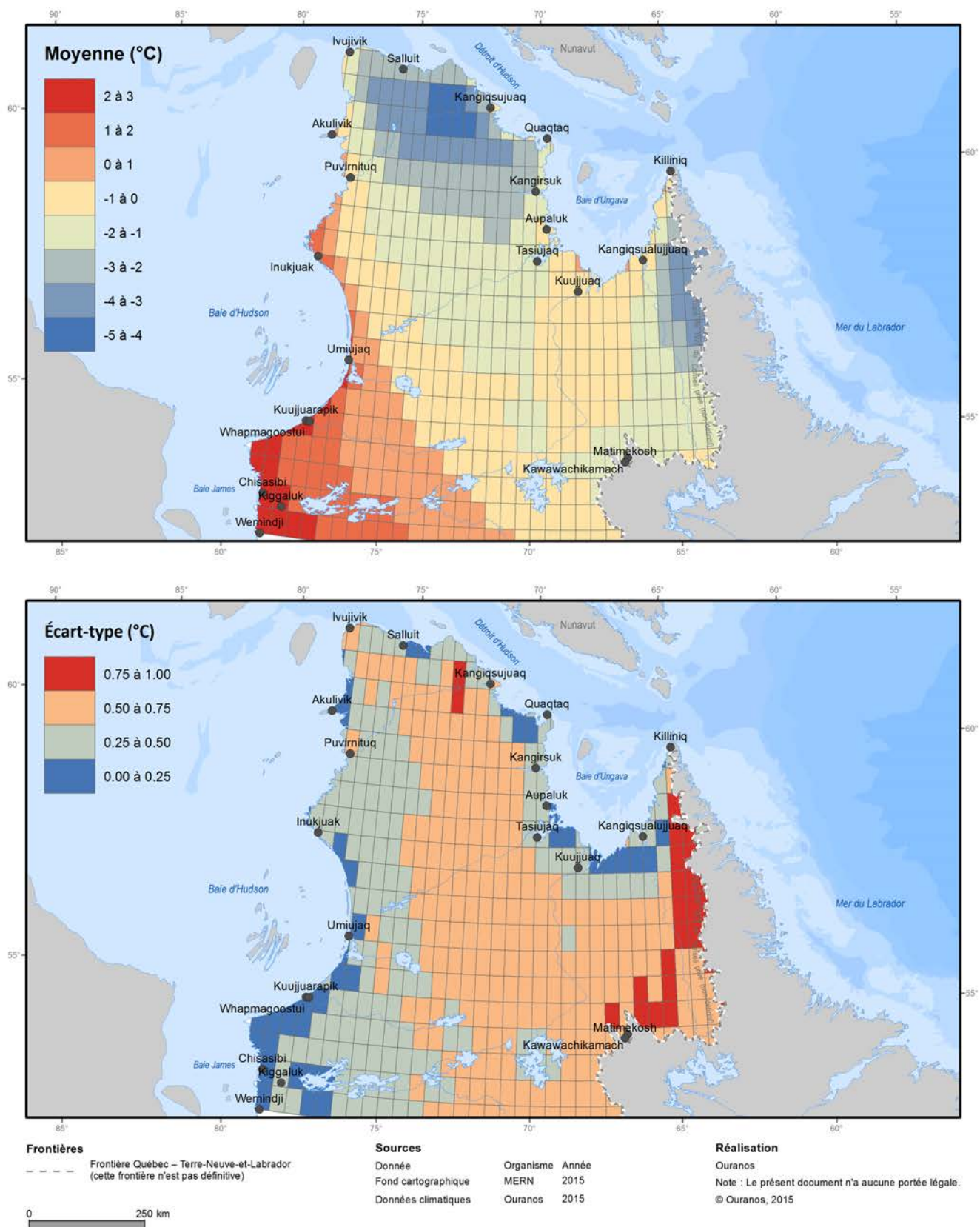


Figure A.12. Normales climatiques 1981 à 2010 (octobre) des températures moyennes (°C). Le panneau du haut présente la moyenne, tandis que le panneau du bas présente l'écart-type, de quatre réanalyses (ERA-Interim, CFSR, JRA55, MERRA).

Températures moyennes (novembre)

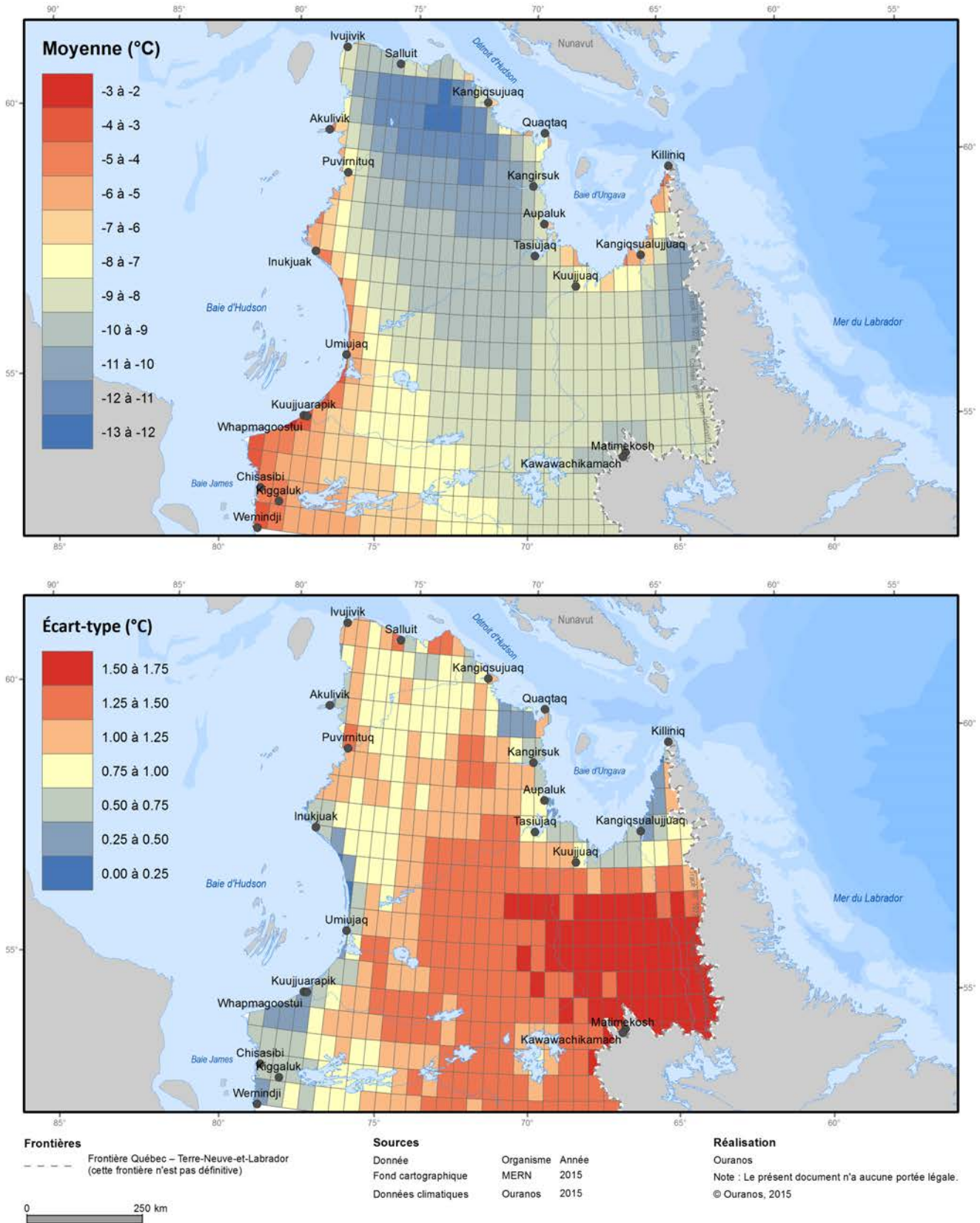


Figure A.13. Normales climatiques 1981 à 2010 (novembre) des températures moyennes (°C). Le panneau du haut présente la moyenne, tandis que le panneau du bas présente l'écart-type, de quatre réanalyses (ERA-Interim, CFSR, JRA55, MERRA).

Températures moyennes (décembre)

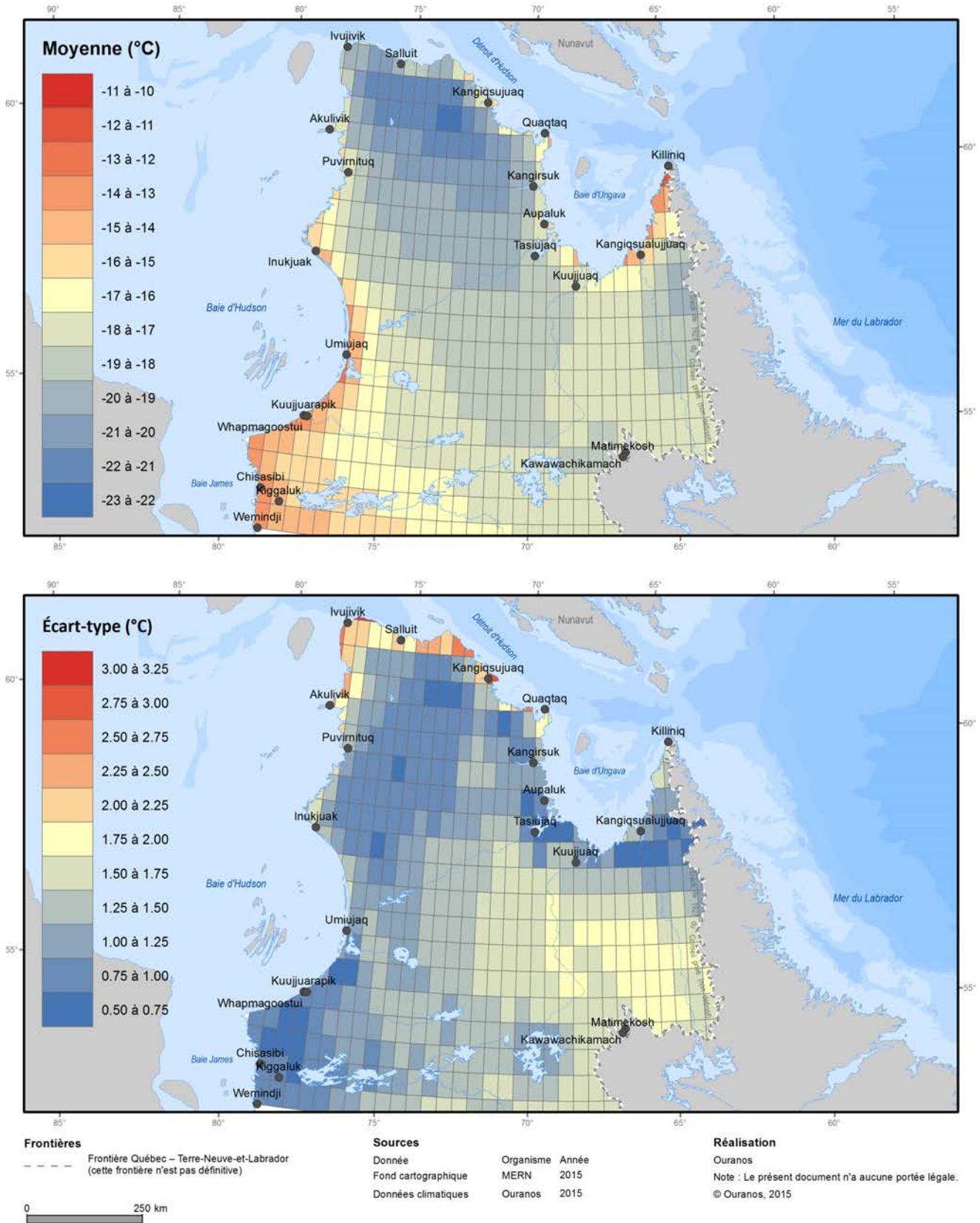


Figure A.14. Normales climatiques 1981 à 2010 (décembre) des températures moyennes (°C). Le panneau du haut présente la moyenne, tandis que le panneau du bas présente l'écart-type, de quatre réanalyses (ERA-Interim, CFSR, JRA55, MERRA).

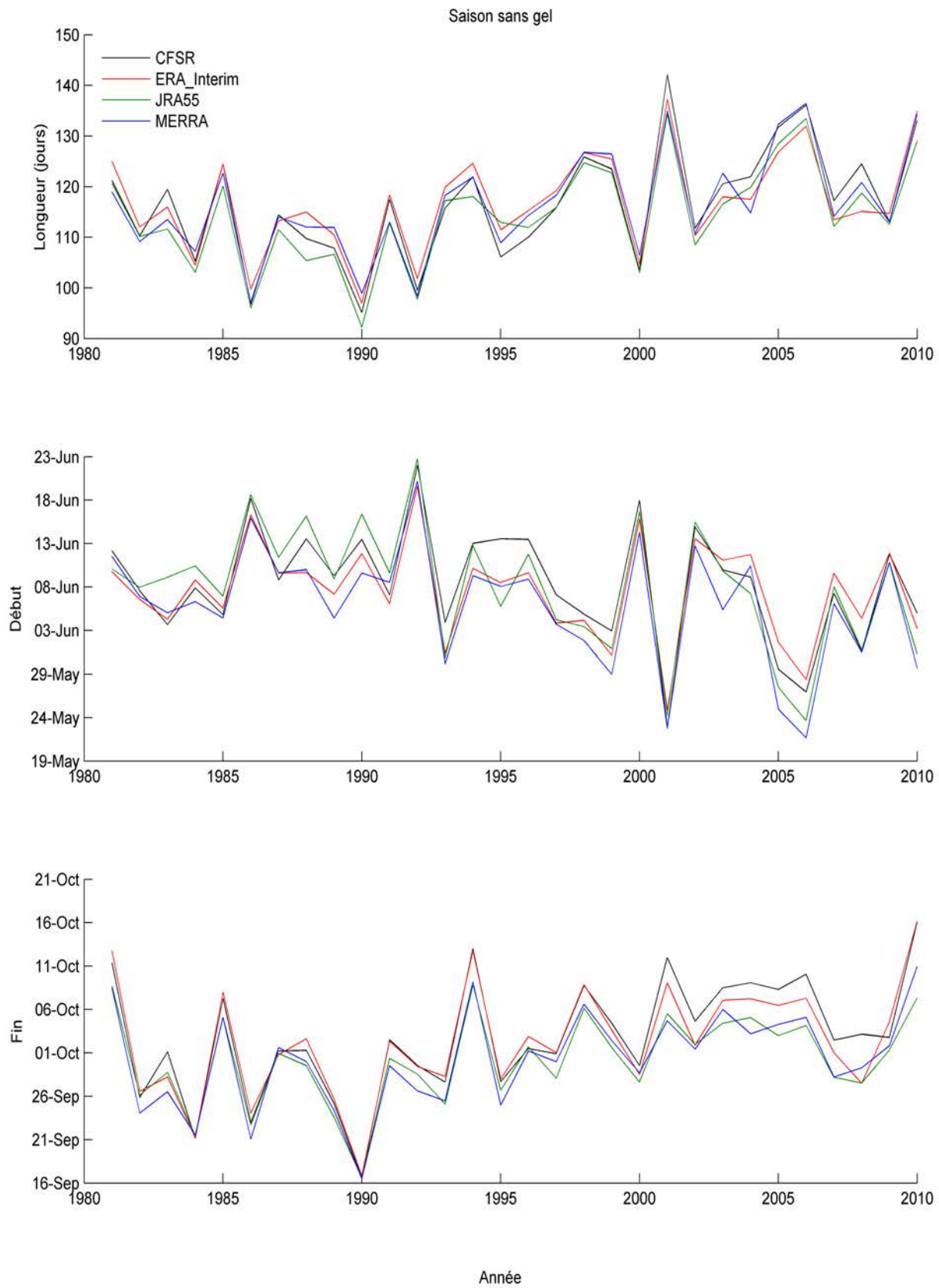


Figure A.15. Évolution de la saison sans gel selon chacune des quatre réanalyses (ERA-Interim, CFSR, JRA55, MERRA), moyennée pour l'ensemble du territoire à l'étude.

Longueur de la saison sans gel

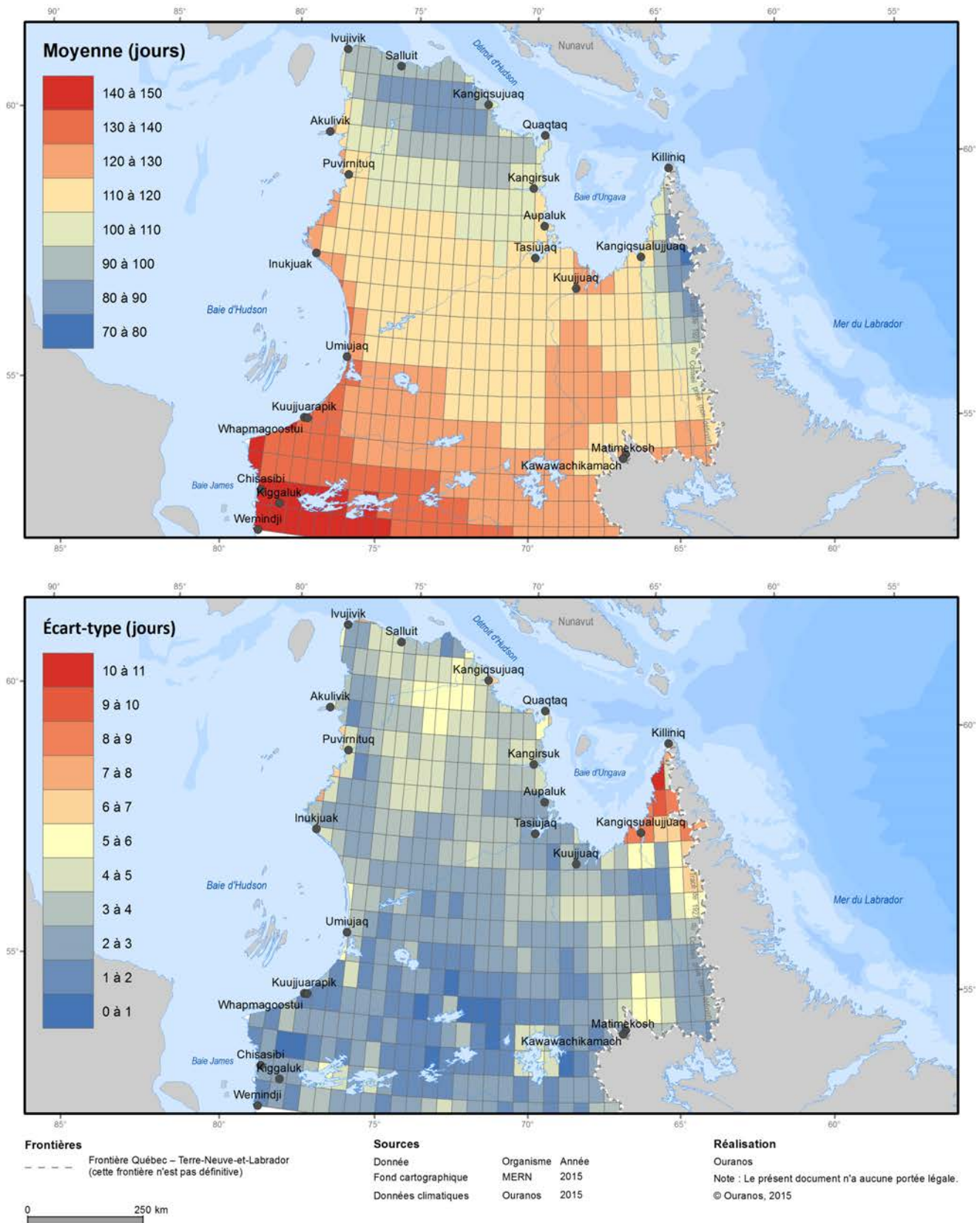


Figure A.16. Normales climatiques 1981 à 2010 de la longueur de la saison sans gel (jours). Le panneau du haut présente la moyenne, tandis que le panneau du bas présente l'écart-type, de quatre réanalyses (ERA-Interim, CFSR, JRA55, MERRA).

Début de la saison sans gel

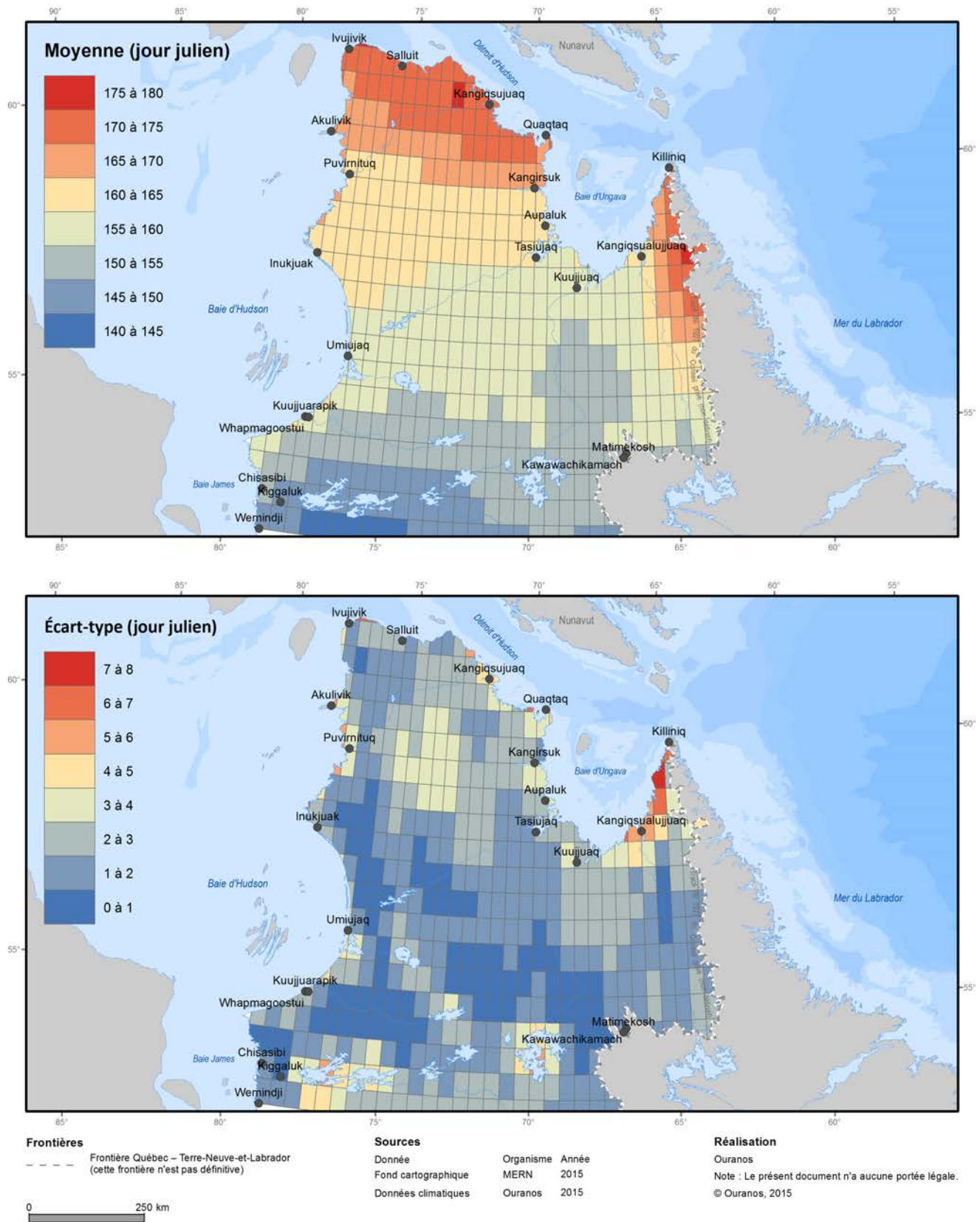


Figure A.17. Normales climatiques 1981 à 2010 du début de la saison sans gel (jour julien). Le panneau du haut présente la moyenne, tandis que le panneau du bas présente l'écart-type, de quatre réanalyses (ERA-Interim, CFSR, JRA55, MERRA).

Fin de la saison sans gel

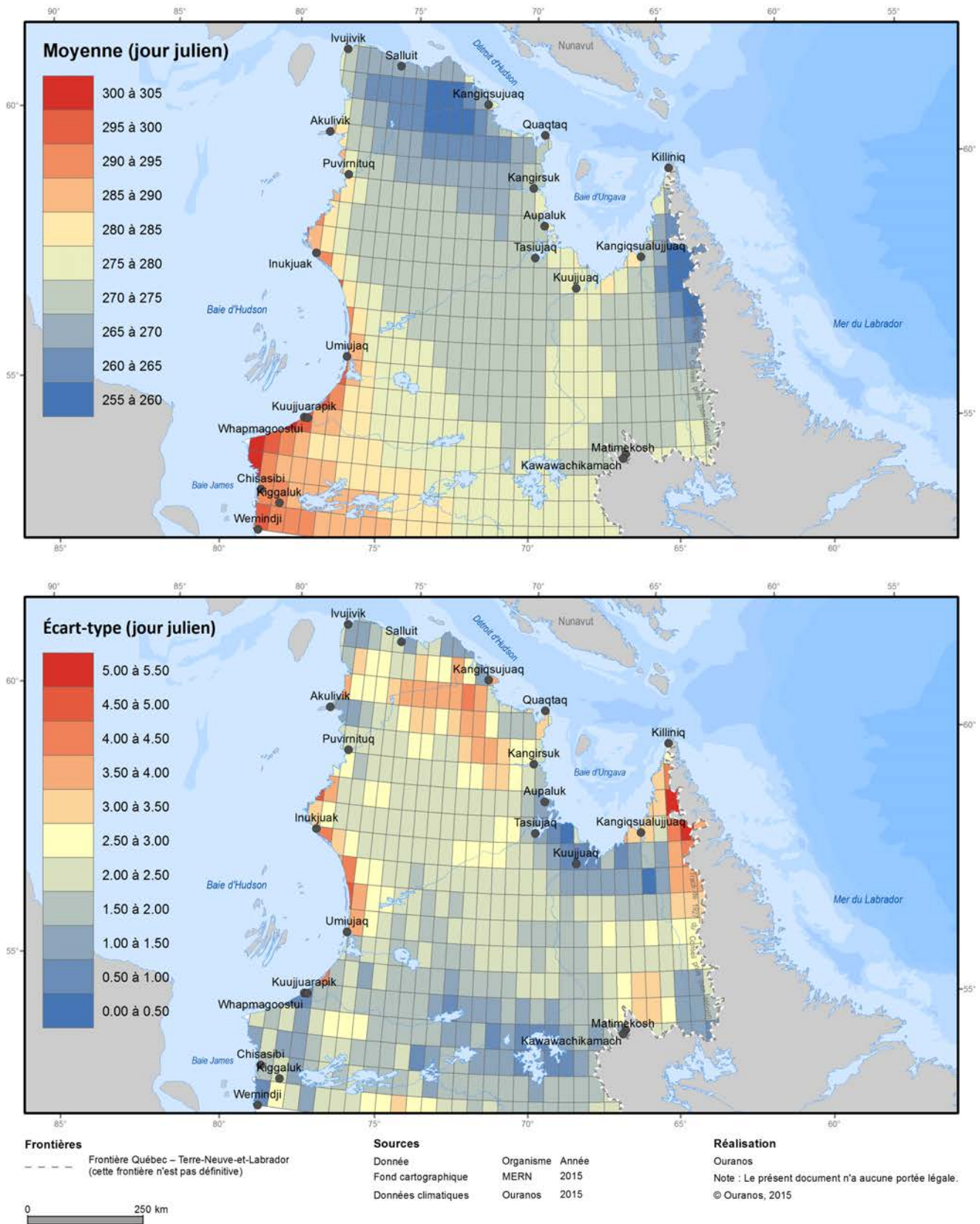


Figure A.18. Normales climatiques 1981 à 2010 de la fin de la saison sans gel (jour julien). Le panneau du haut présente la moyenne, tandis que le panneau du bas présente l'écart-type, de quatre réanalyses (ERA-Interim, CFSR, JRA55, MERRA).

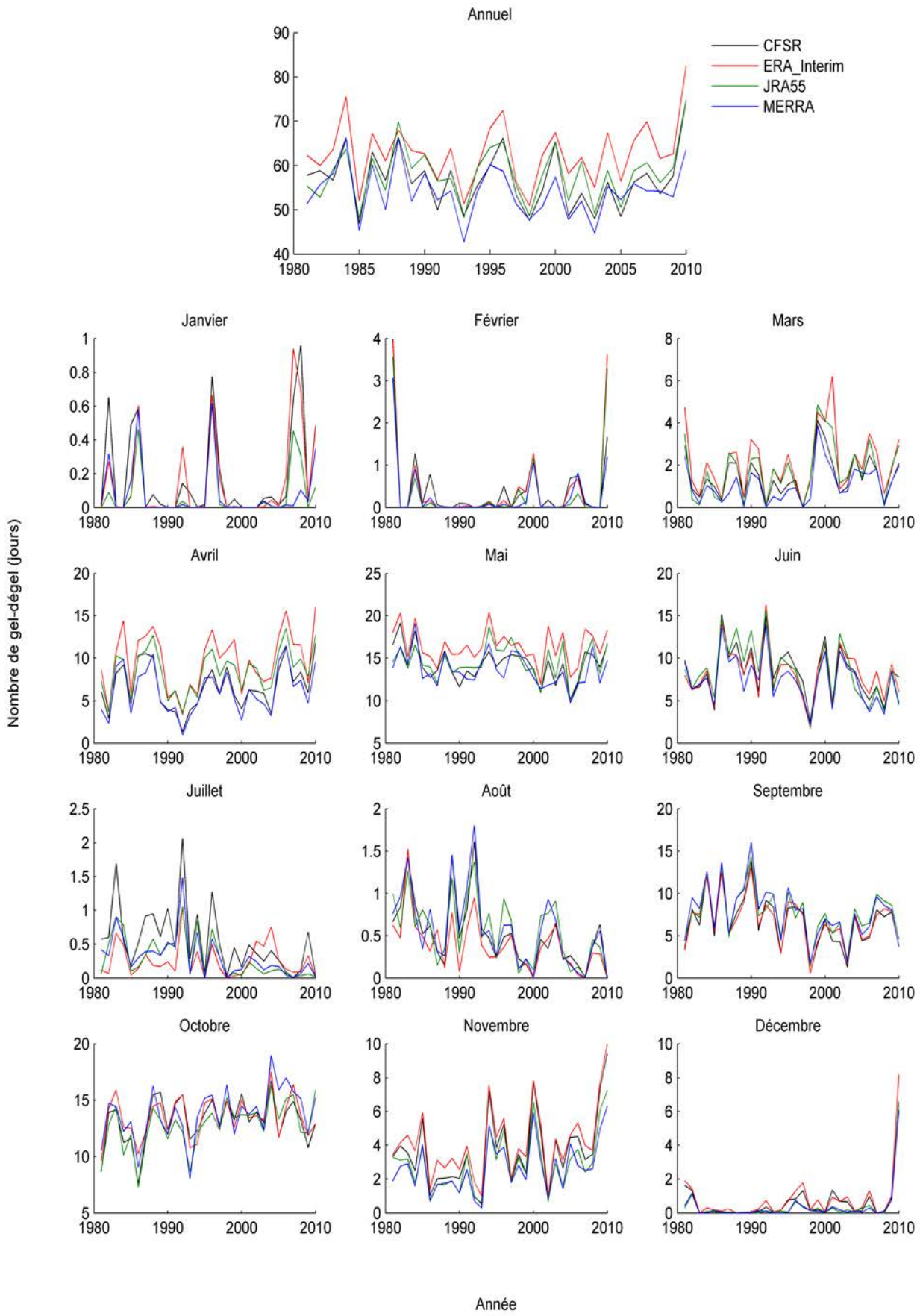


Figure A.19. Évolution du nombre de gel-dégel (jours) selon chacune des quatre réanalyses (ERA-Interim, CFSR, JRA55, MERRA), moyennée pour l'ensemble du territoire à l'étude.

Nombre de gel-dégel (annuelle)

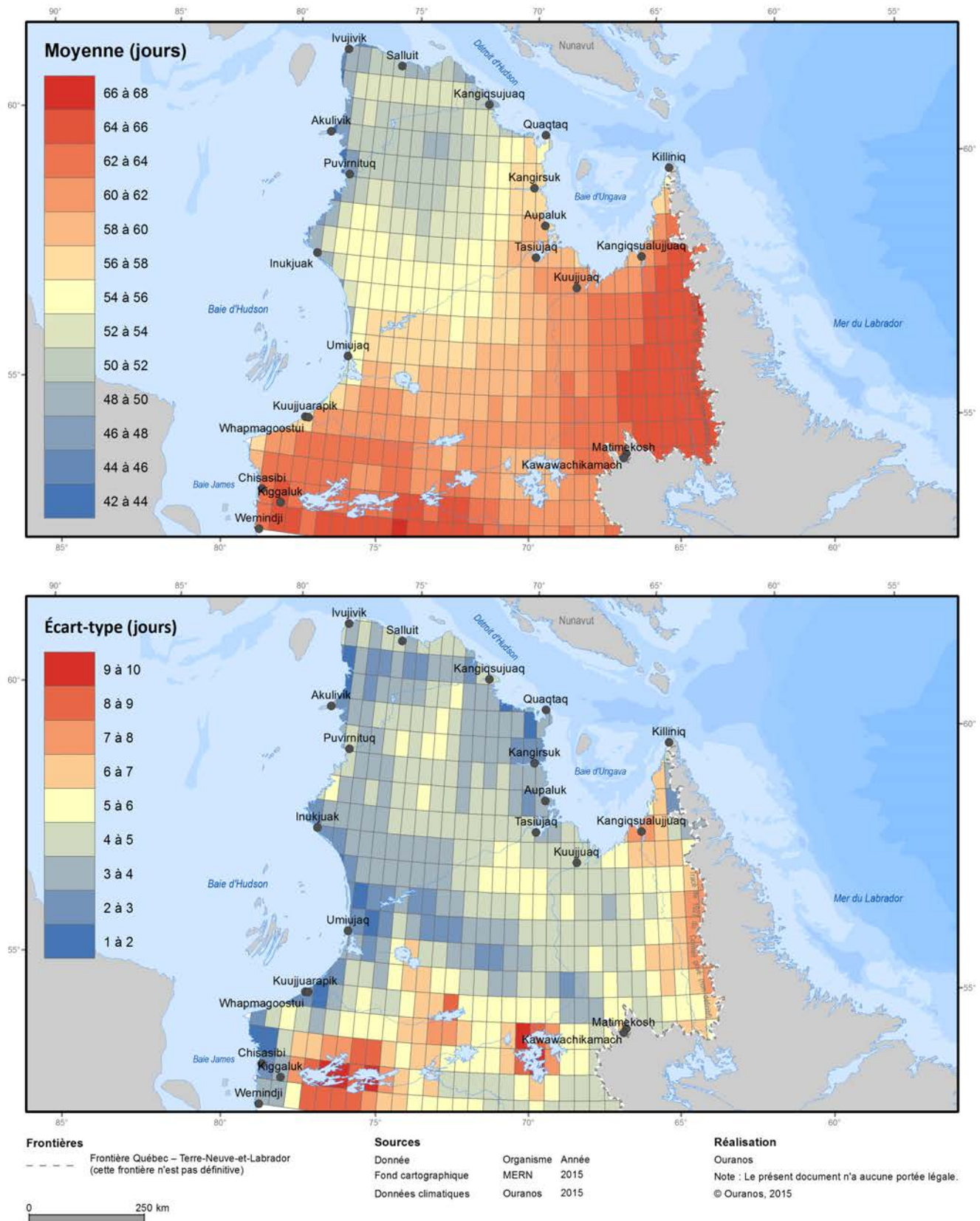


Figure A.20. Normales climatiques 1981 à 2010 (annuelle) du nombre de gel-dégel (jours). Le panneau du haut présente la moyenne, tandis que le panneau du bas présente l'écart-type, de quatre réanalyses (ERA-Interim, CFSR, JRA55, MERRA).

Nombre de gel-dégel (janvier)

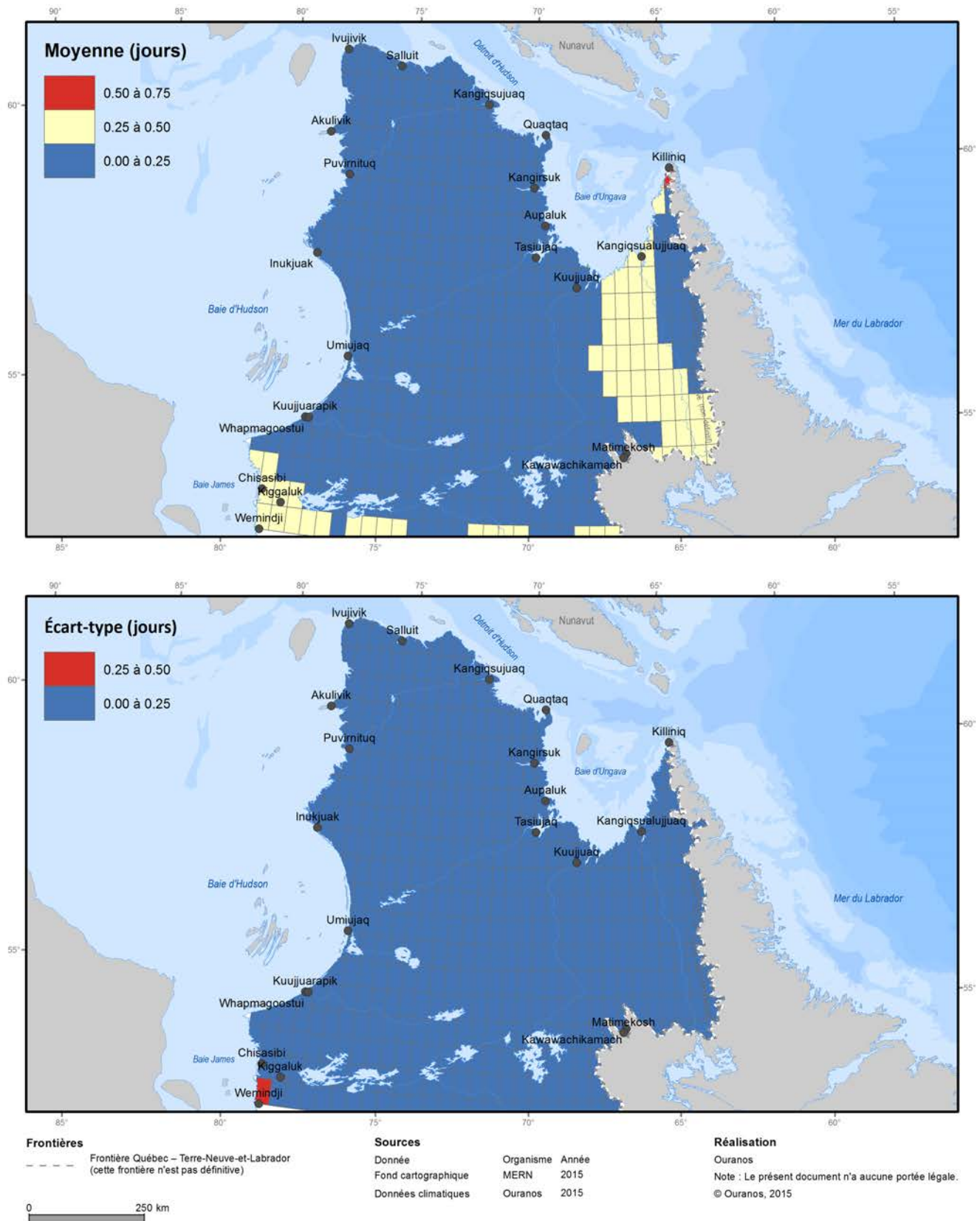


Figure A.21. Normales climatiques 1981 à 2010 (janvier) du nombre de gel-dégel (jours). Le panneau du haut présente la moyenne, tandis que le panneau du bas présente l'écart-type, de quatre réanalyses (ERA-Interim, CFSR, JRA55, MERRA).

Nombre de gel-dégel (février)

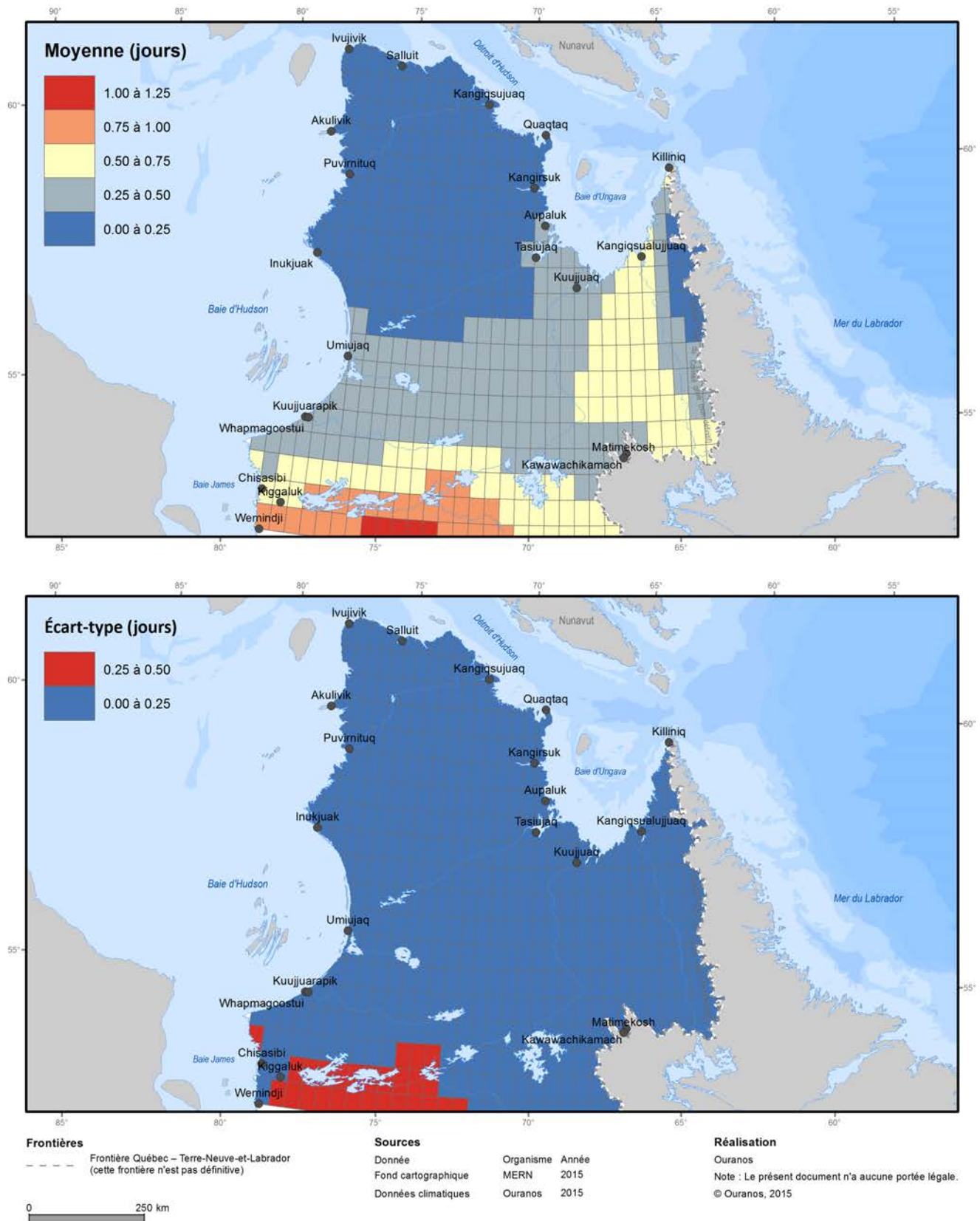


Figure A.22. Normales climatiques 1981 à 2010 (février) du nombre de gel-dégel (jours). Le panneau du haut présente la moyenne, tandis que le panneau du bas présente l'écart-type, de quatre réanalyses (ERA-Interim, CFSR, JRA55, MERRA).

Nombre de gel-dégel (mars)

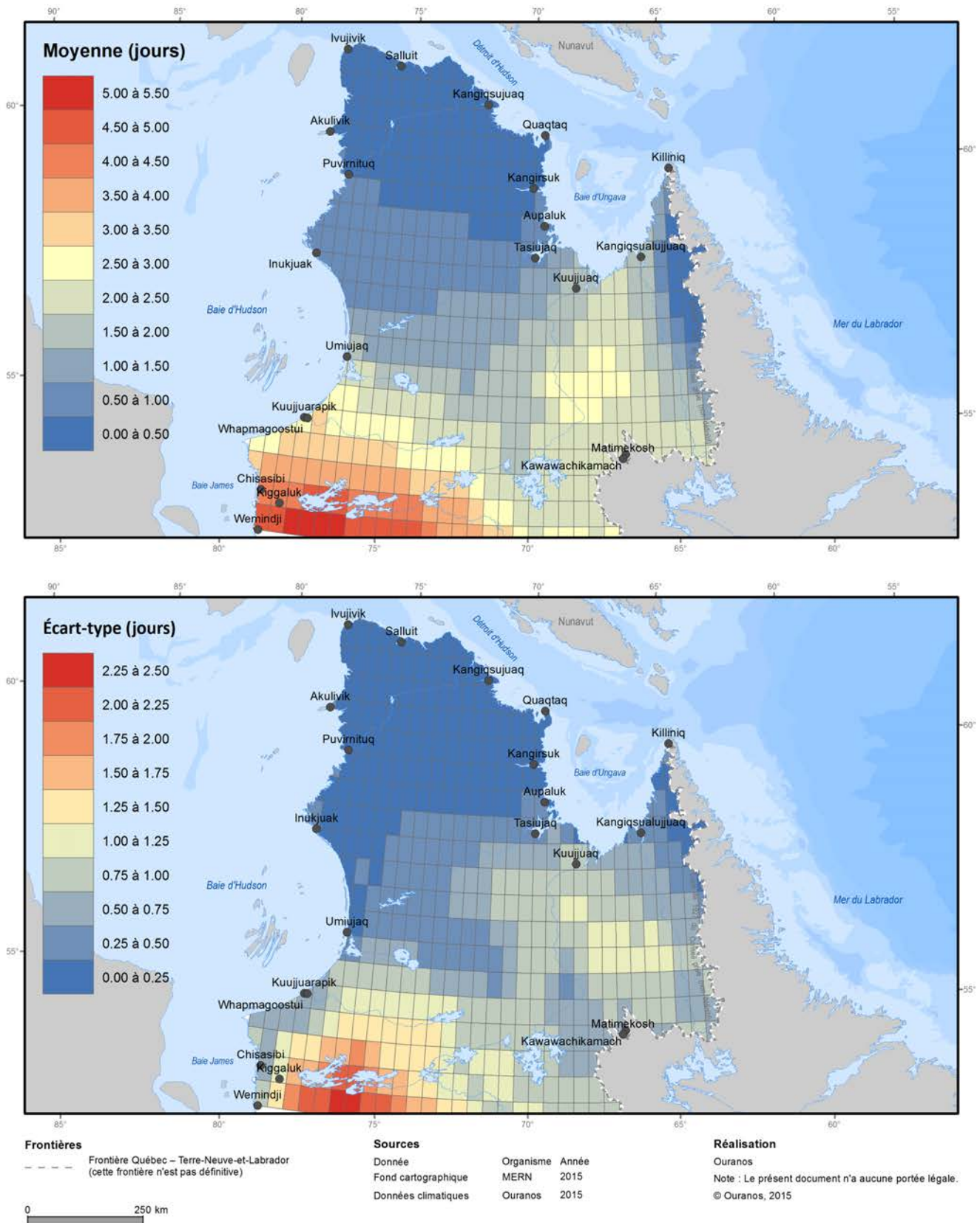


Figure A.23. Normales climatiques 1981 à 2010 (mars) du nombre de gel-dégel (jours). Le panneau du haut présente la moyenne, tandis que le panneau du bas présente l'écart-type, de quatre réanalyses (ERA-Interim, CFSR, JRA55, MERRA).

Nombre de gel-dégel (avril)

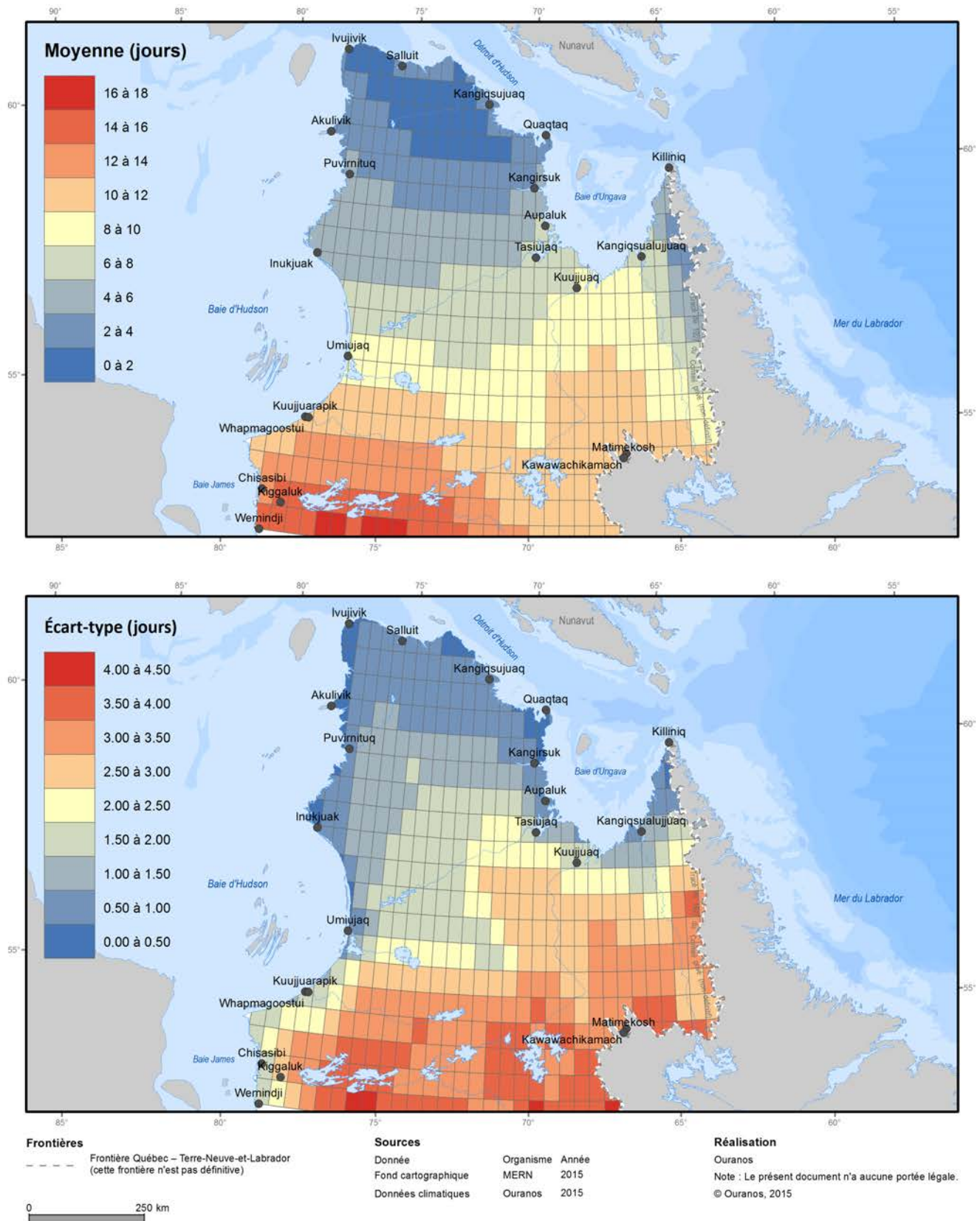


Figure A.24. Normales climatiques 1981 à 2010 (avril) du nombre de gel-dégel (jours). Le panneau du haut présente la moyenne, tandis que le panneau du bas présente l'écart-type, de quatre réanalyses (ERA-Interim, CFSR, JRA55, MERRA).

Nombre de gel-dégel (mai)

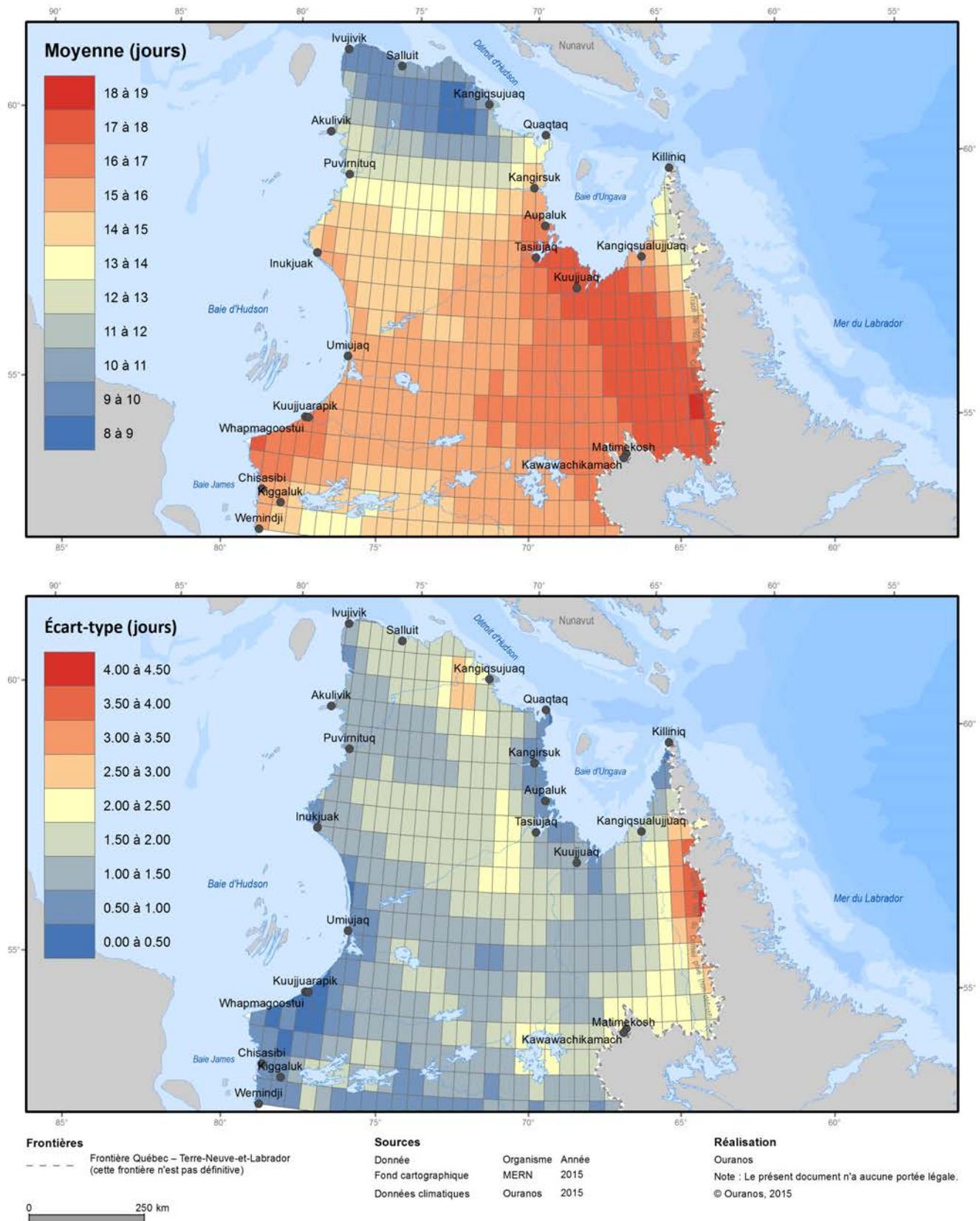


Figure A.25. Normales climatiques 1981 à 2010 (mai) du nombre de gel-dégel (jours). Le panneau du haut présente la moyenne, tandis que le panneau du bas présente l'écart-type, de quatre réanalyses (ERA-Interim, CFSR, JRA55, MERRA).

Nombre de gel-dégel (juin)

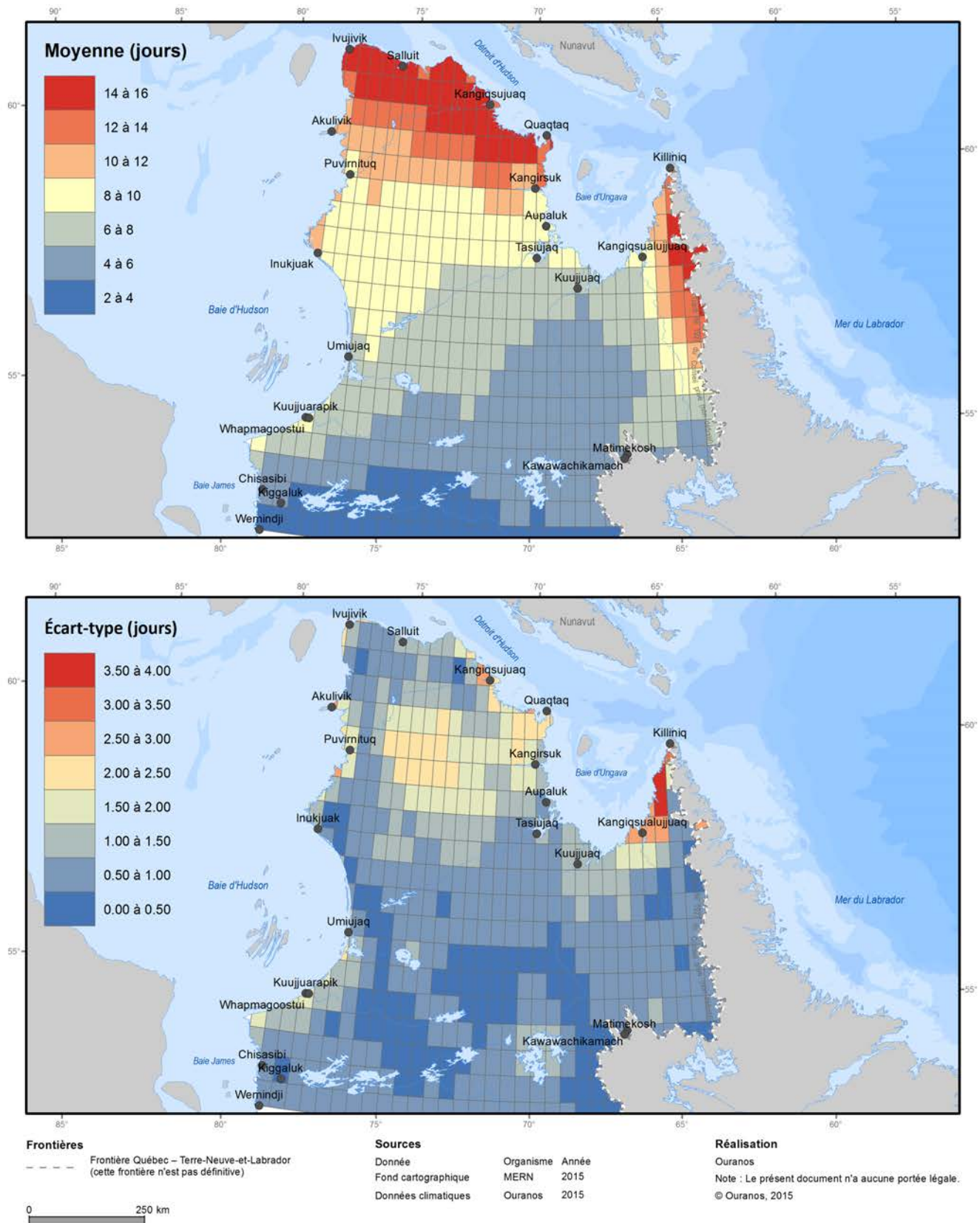


Figure A.26. Normales climatiques 1981 à 2010 (juin) du nombre de gel-dégel (jours). Le panneau du haut présente la moyenne, tandis que le panneau du bas présente l'écart-type, de quatre réanalyses (ERA-Interim, CFSR, JRA55, MERRA).

Nombre de gel-dégel (juillet)

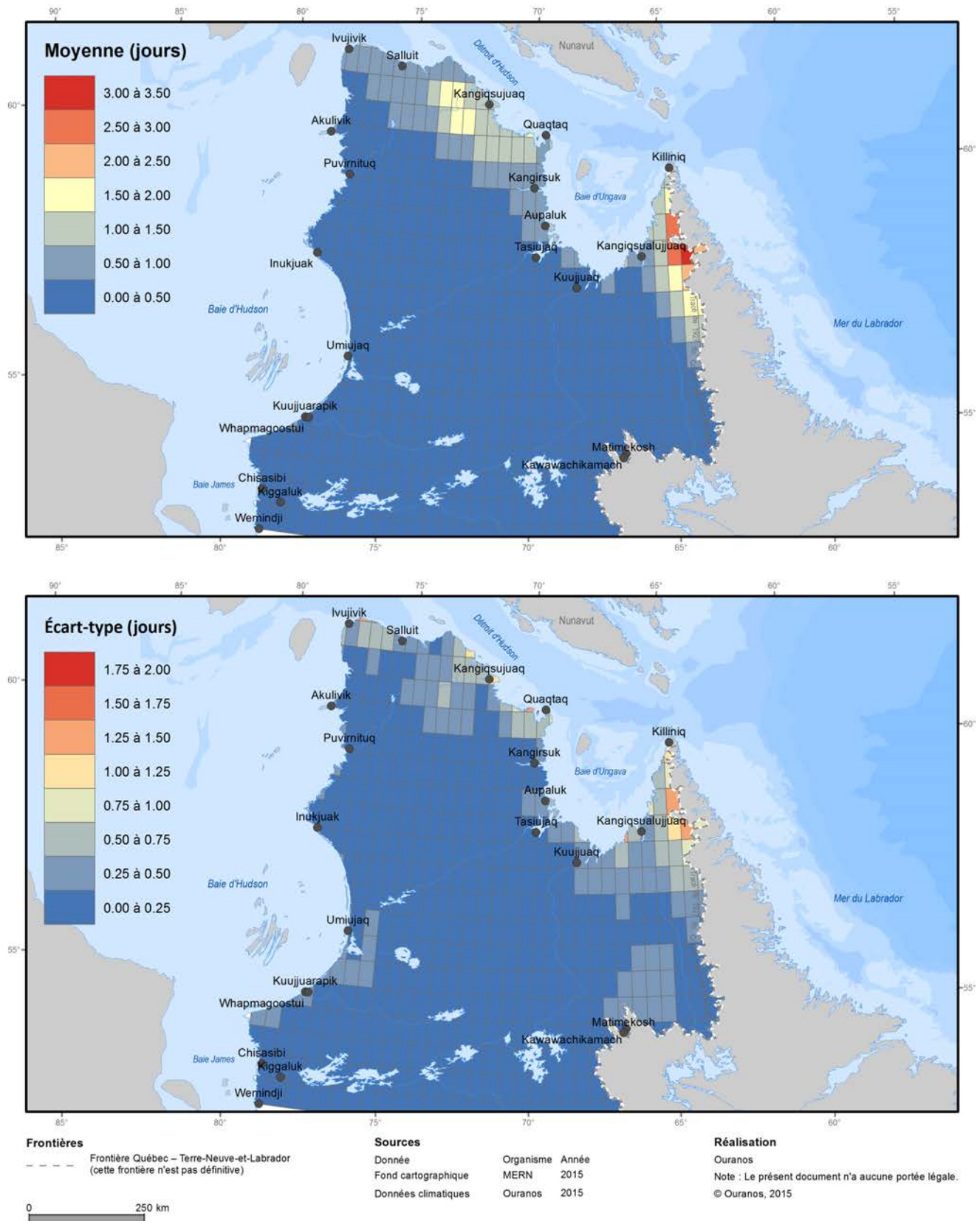


Figure A.27. Normales climatiques 1981 à 2010 (juillet) du nombre de gel-dégel (jours). Le panneau du haut présente la moyenne, tandis que le panneau du bas présente l'écart-type, de quatre réanalyses (ERA-Interim, CFSR, JRA55, MERRA).

Nombre de gel-dégel (août)

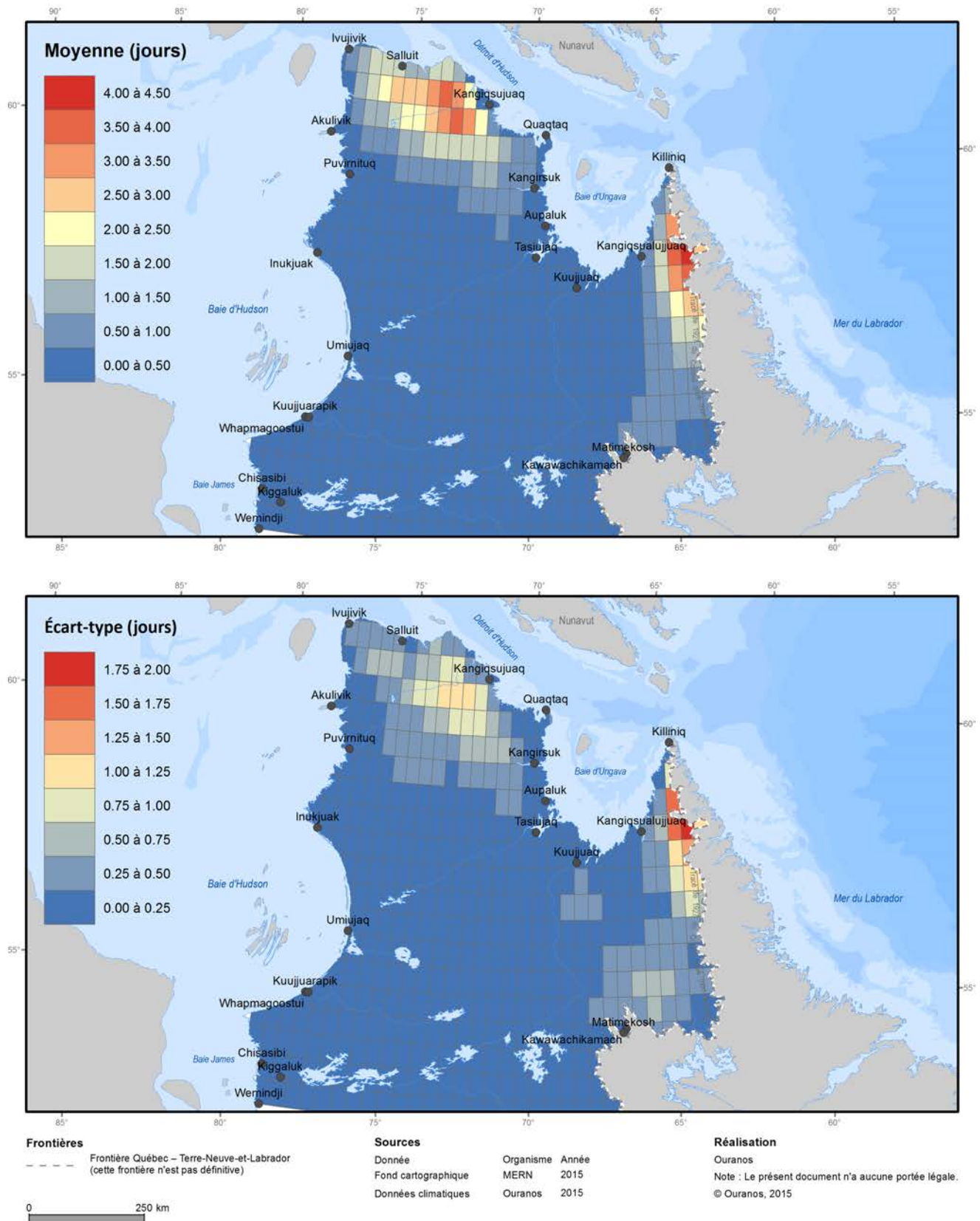


Figure A.28. Normales climatiques 1981 à 2010 (août) du nombre de gel-dégel (jours). Le panneau du haut présente la moyenne, tandis que le panneau du bas présente l'écart-type, de quatre réanalyses (ERA-Interim, CFSR, JRA55, MERRA).

Nombre de gel-dégel (septembre)

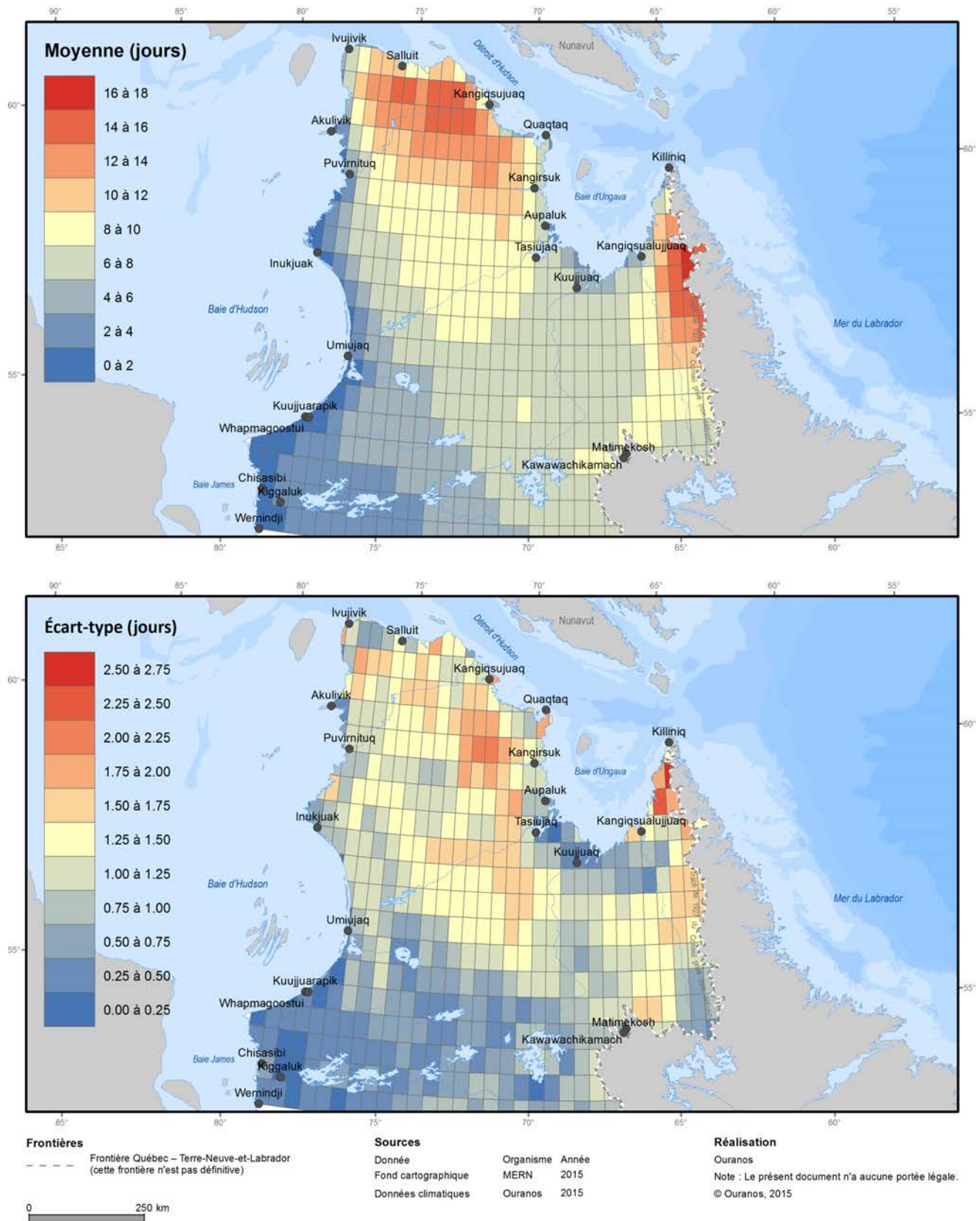


Figure A.29. Normales climatiques 1981 à 2010 (septembre) du nombre de gel-dégel (jours). Le panneau du haut présente la moyenne, tandis que le panneau du bas présente l'écart-type, de quatre réanalyses (ERA-Interim, CFSR, JRA55, MERRA).

Nombre de gel-dégel (octobre)

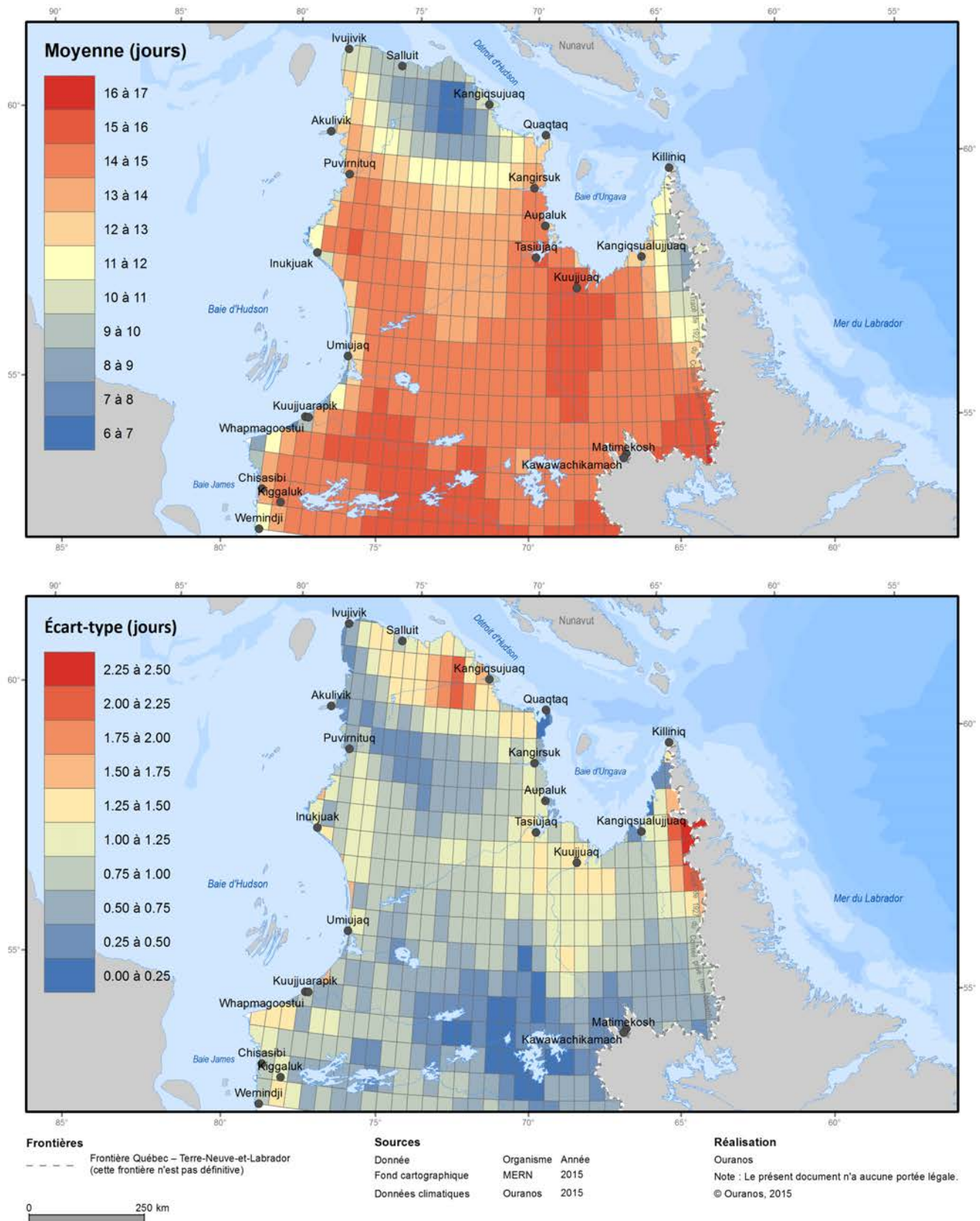


Figure A.30. Normales climatiques 1981 à 2010 (octobre) du nombre de gel-dégel (jours). Le panneau du haut présente la moyenne, tandis que le panneau du bas présente l'écart-type, de quatre réanalyses (ERA-Interim, CFSR, JRA55, MERRA).

Nombre de gel-dégel (novembre)

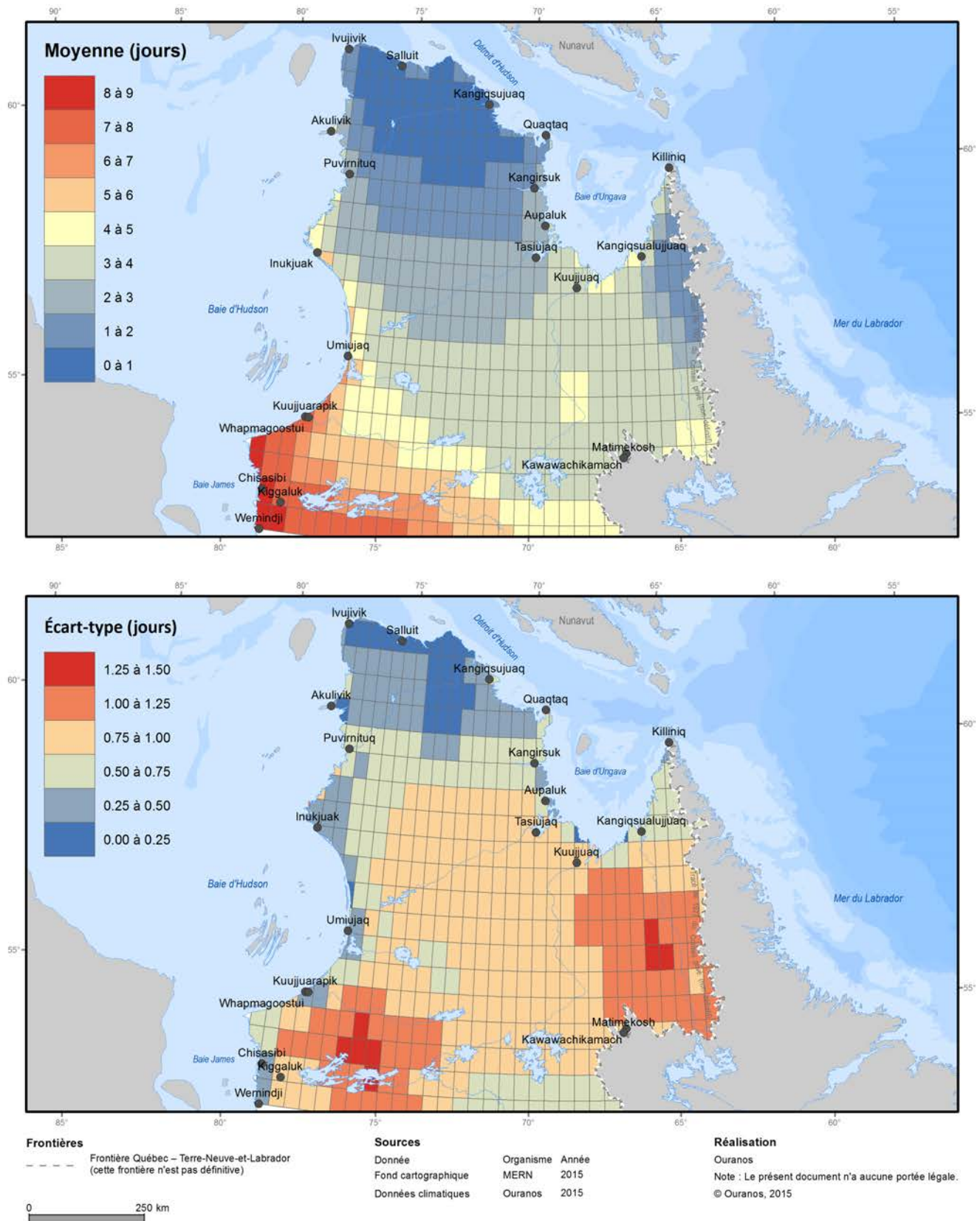


Figure A.31. Normales climatiques 1981 à 2010 (novembre) du nombre de gel-dégel (jours). Le panneau du haut présente la moyenne, tandis que le panneau du bas présente l'écart-type, de quatre réanalyses (ERA-Interim, CFSR, JRA55, MERRA).

Nombre de gel-dégel (décembre)

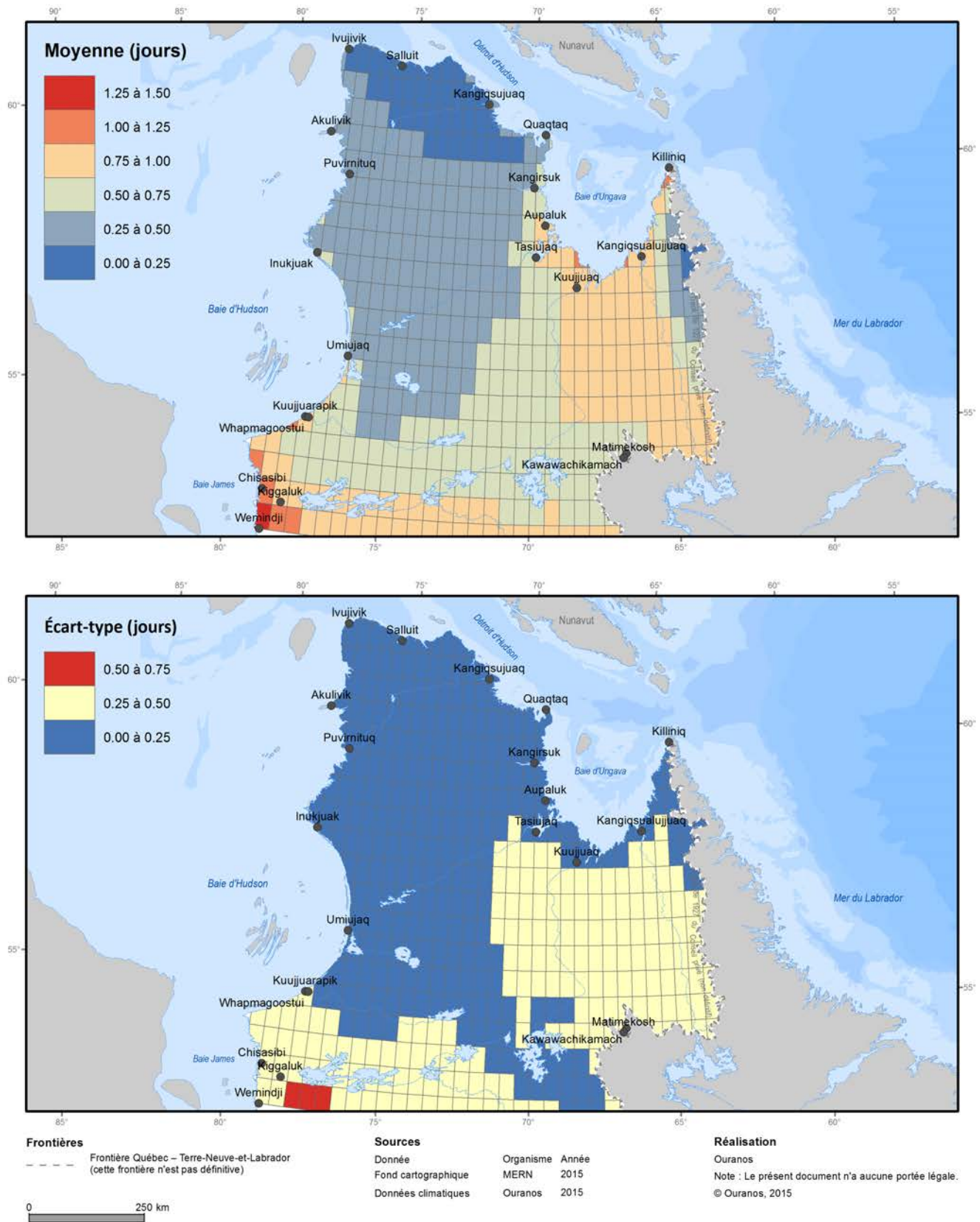


Figure A.32. Normales climatiques 1981 à 2010 (décembre) du nombre de gel-dégel (jours). Le panneau du haut présente la moyenne, tandis que le panneau du bas présente l'écart-type, de quatre réanalyses (ERA-Interim, CFSR, JRA55, MERRA).

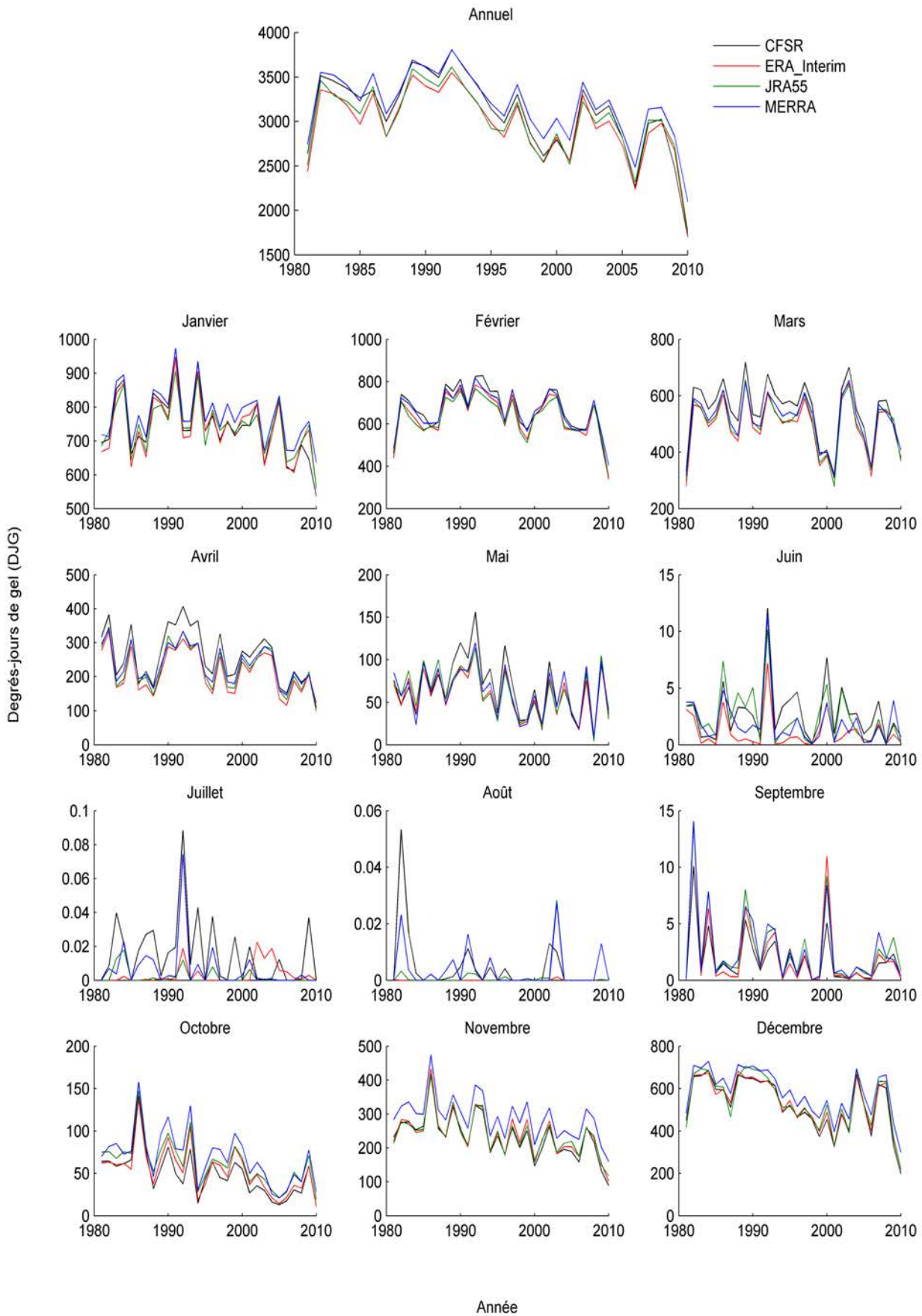


Figure A.33. Évolution des degrés-jours de gel (DJG) selon chacune des quatre réanalyses (ERA-Interim, CFSR, JRA55, MERRA), moyennée pour l'ensemble du territoire à l'étude.

Degrés-jours de gel (annuelle)

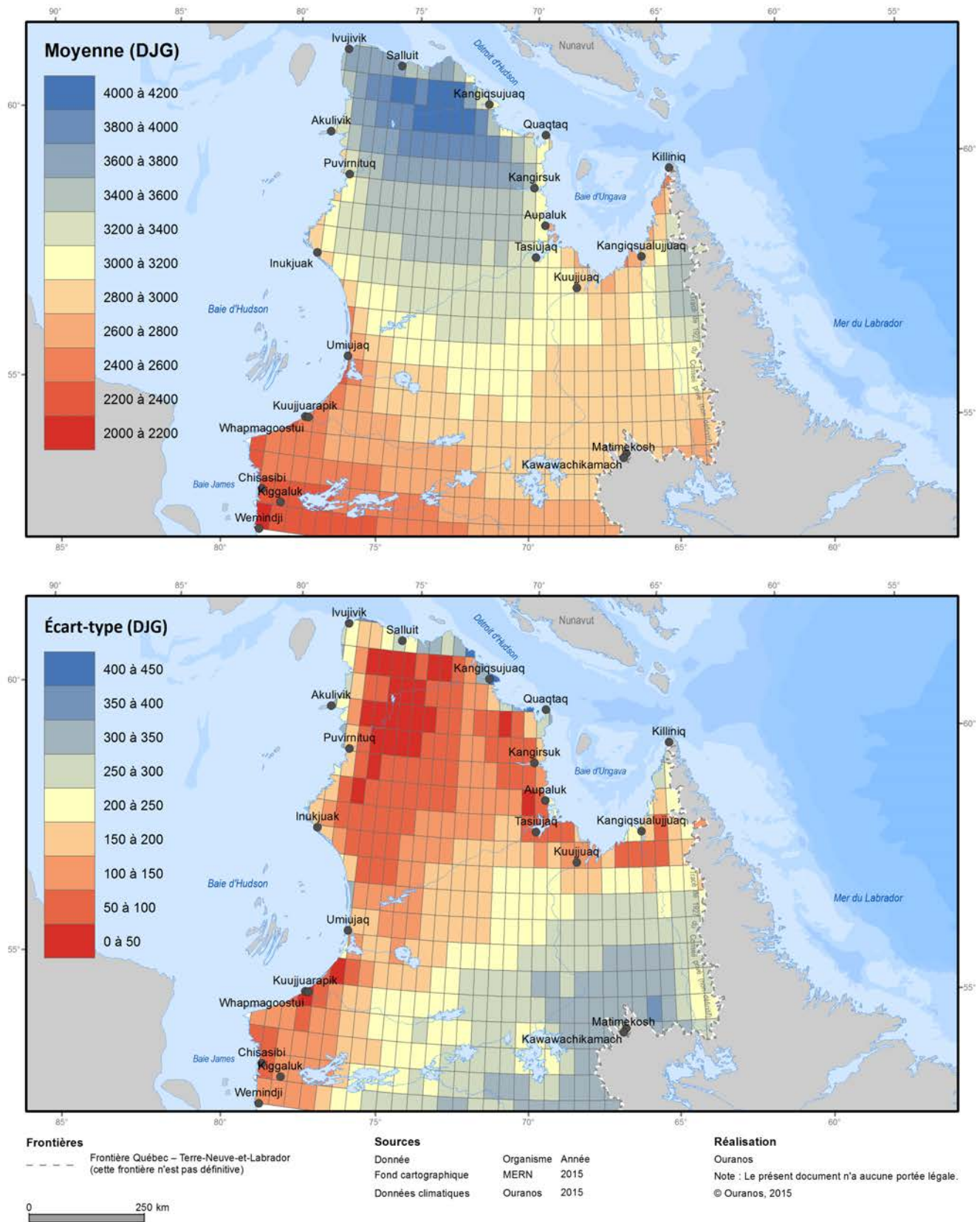


Figure A.34. Normales climatiques 1981 à 2010 (annuelle) des degrés-jours de gel (DJG). Le panneau du haut présente la moyenne, tandis que le panneau du bas présente l'écart-type, de quatre réanalyses (ERA-Interim, CFSR, JRA55, MERRA).

Degrés-jours de gel (janvier)

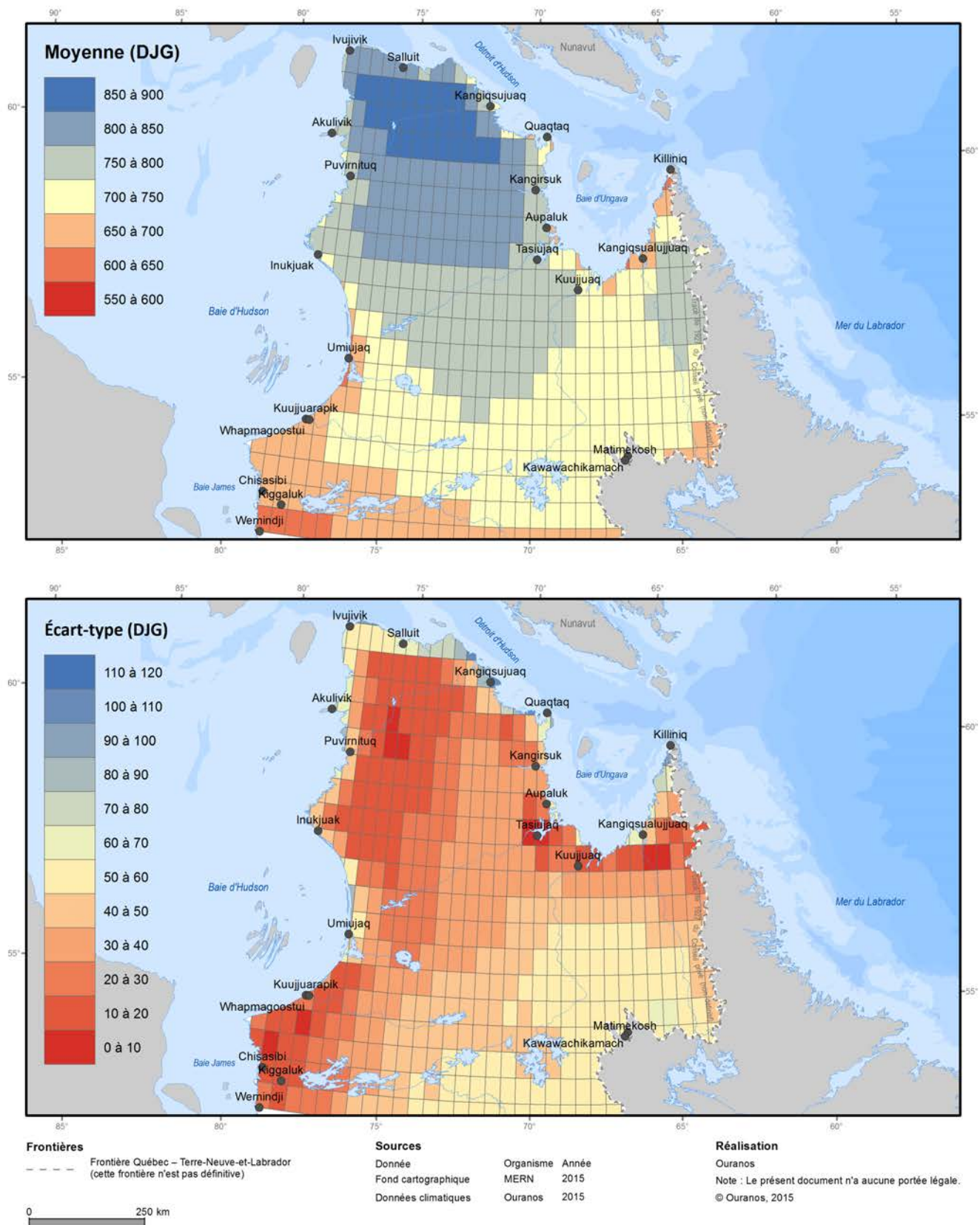


Figure A.35. Normales climatiques 1981 à 2010 (janvier) des degrés-jours de gel (DJG). Le panneau du haut présente la moyenne, tandis que le panneau du bas présente l'écart-type, de quatre réanalyses (ERA-Interim, CFSR, JRA55, MERRA).

Degrés-jours de gel (février)

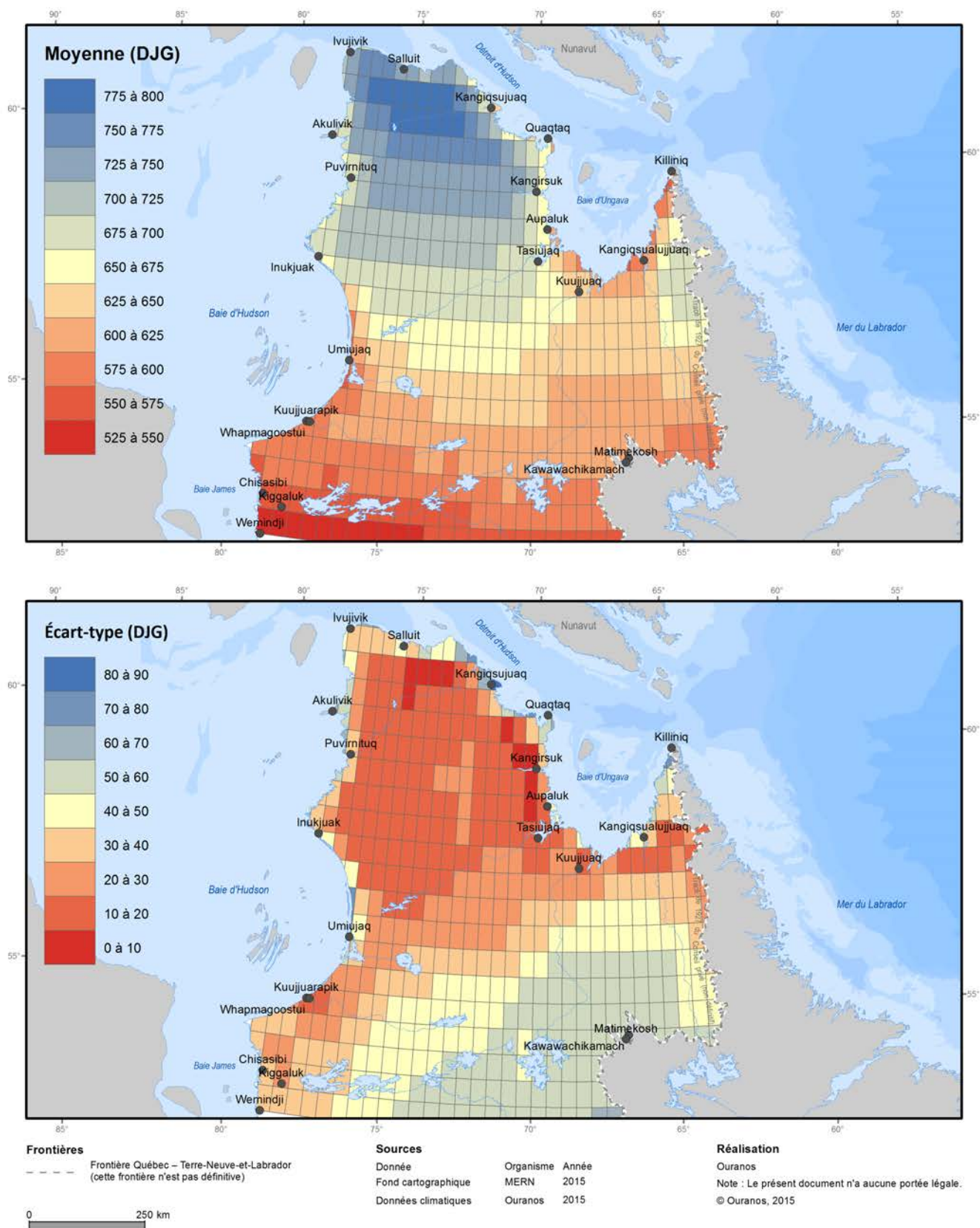


Figure A.36. Normales climatiques 1981 à 2010 (février) des degrés-jours de gel (DJG). Le panneau du haut présente la moyenne, tandis que le panneau du bas présente l'écart-type, de quatre réanalyses (ERA-Interim, CFSR, JRA55, MERRA).

Degrés-jours de gel (mars)

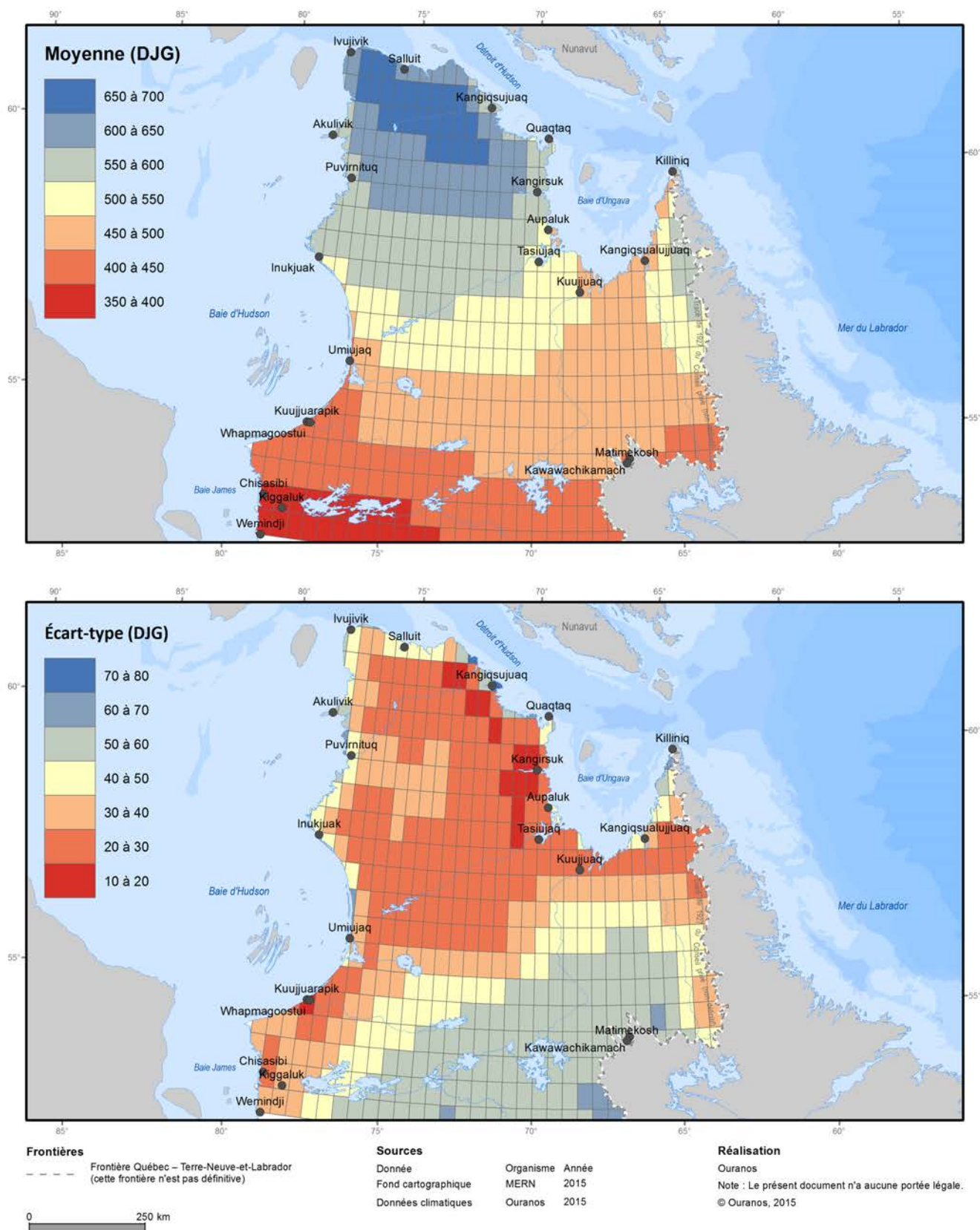


Figure A.37. Normales climatiques 1981 à 2010 (mars) des degrés-jours de gel (DJG). Le panneau du haut présente la moyenne, tandis que le panneau du bas présente l'écart-type, de quatre réanalyses (ERA-Interim, CFSR, JRA55, MERRA).

Degrés-jours de gel (avril)

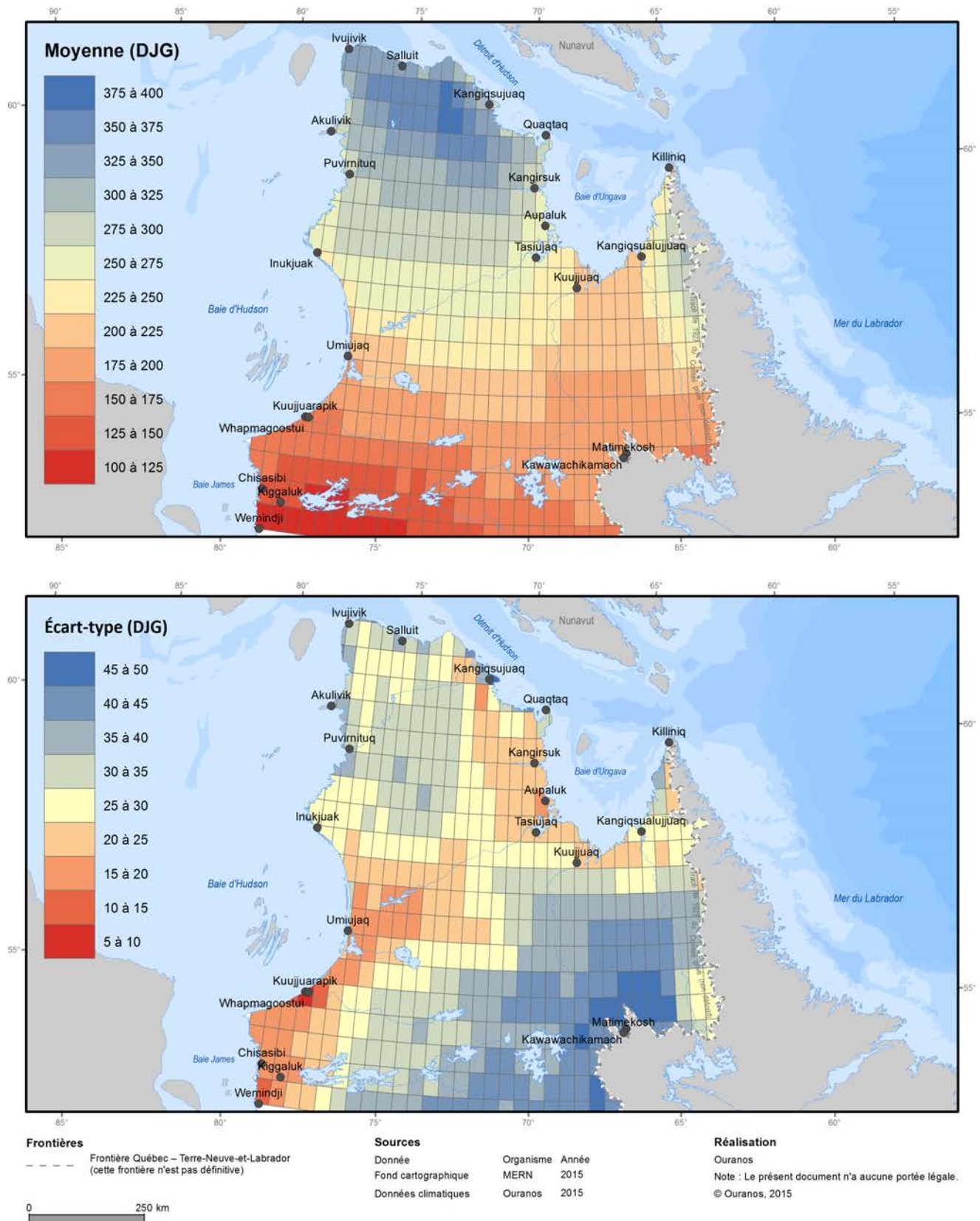


Figure A.38. Normales climatiques 1981 à 2010 (avril) des degrés-jours de gel (DJG). Le panneau du haut présente la moyenne, tandis que le panneau du bas présente l'écart-type, de quatre réanalyses (ERA-Interim, CFSR, JRA55, MERRA).

Degrés-jours de gel (mai)

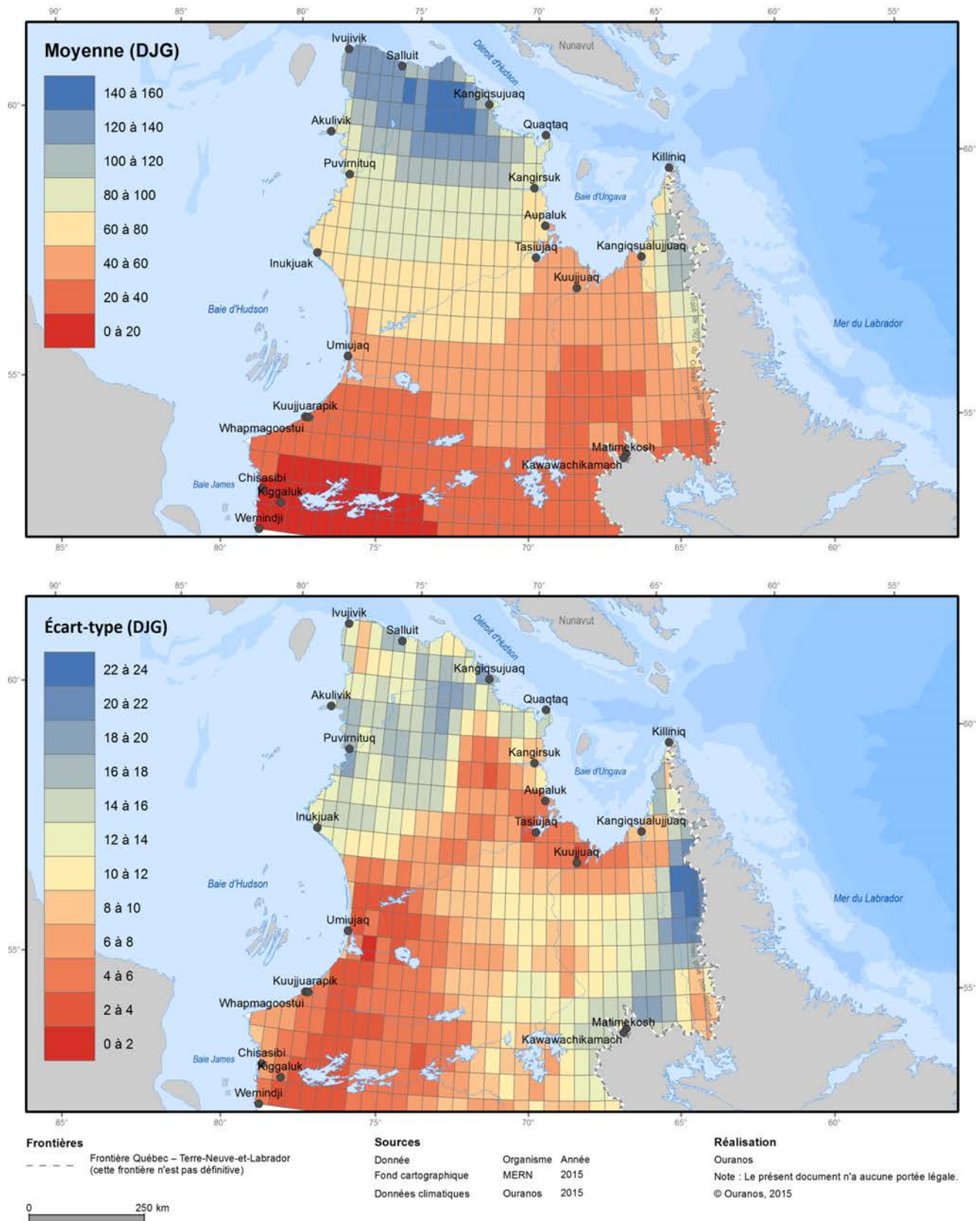


Figure A.39. Normales climatiques 1981 à 2010 (mai) des degrés-jours de gel (DJG). Le panneau du haut présente la moyenne, tandis que le panneau du bas présente l'écart-type, de quatre réanalyses (ERA-Interim, CFSR, JRA55, MERRA).

Degrés-jours de gel (juin)

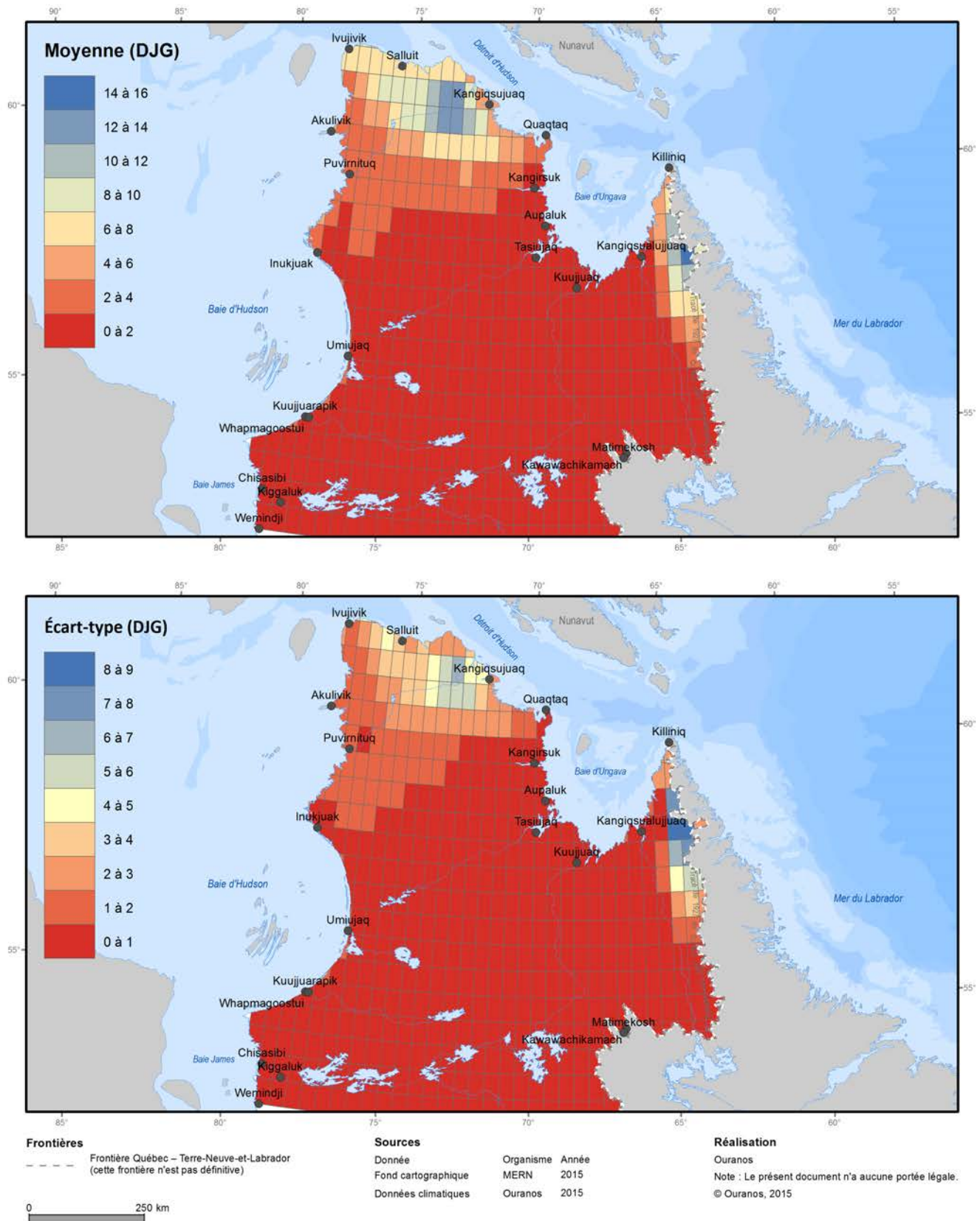


Figure A.40. Normales climatiques 1981 à 2010 (juin) des degrés-jours de gel (DJG). Le panneau du haut présente la moyenne, tandis que le panneau du bas présente l'écart-type, de quatre réanalyses (ERA-Interim, CFSR, JRA55, MERRA).

Degrés-jours de gel (juillet)

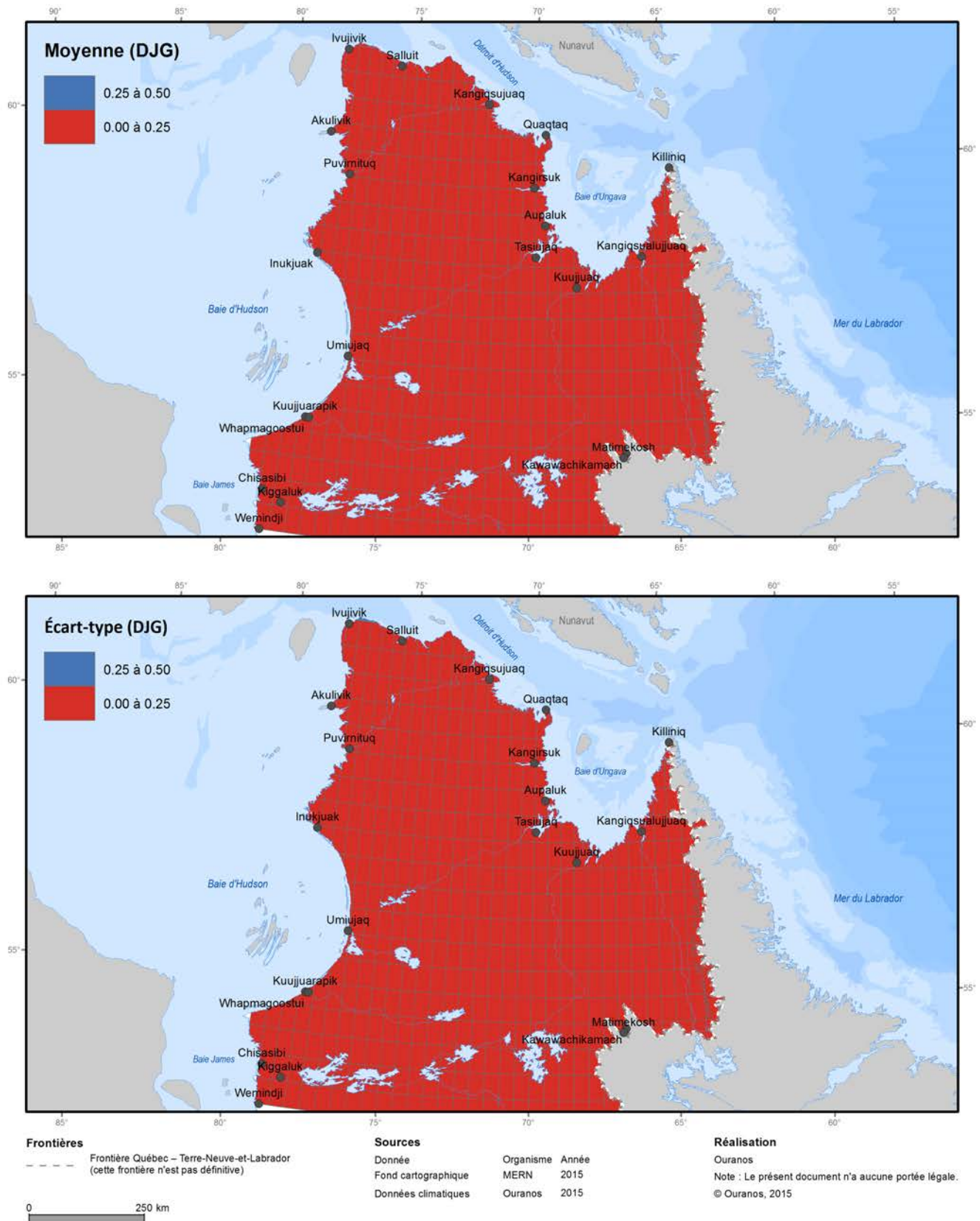


Figure A.41. Normales climatiques 1981 à 2010 (juillet) des degrés-jours de gel (DJG). Le panneau du haut présente la moyenne, tandis que le panneau du bas présente l'écart-type, de quatre réanalyses (ERA-Interim, CFSR, JRA55, MERRA).

Degrés-jours de gel (août)

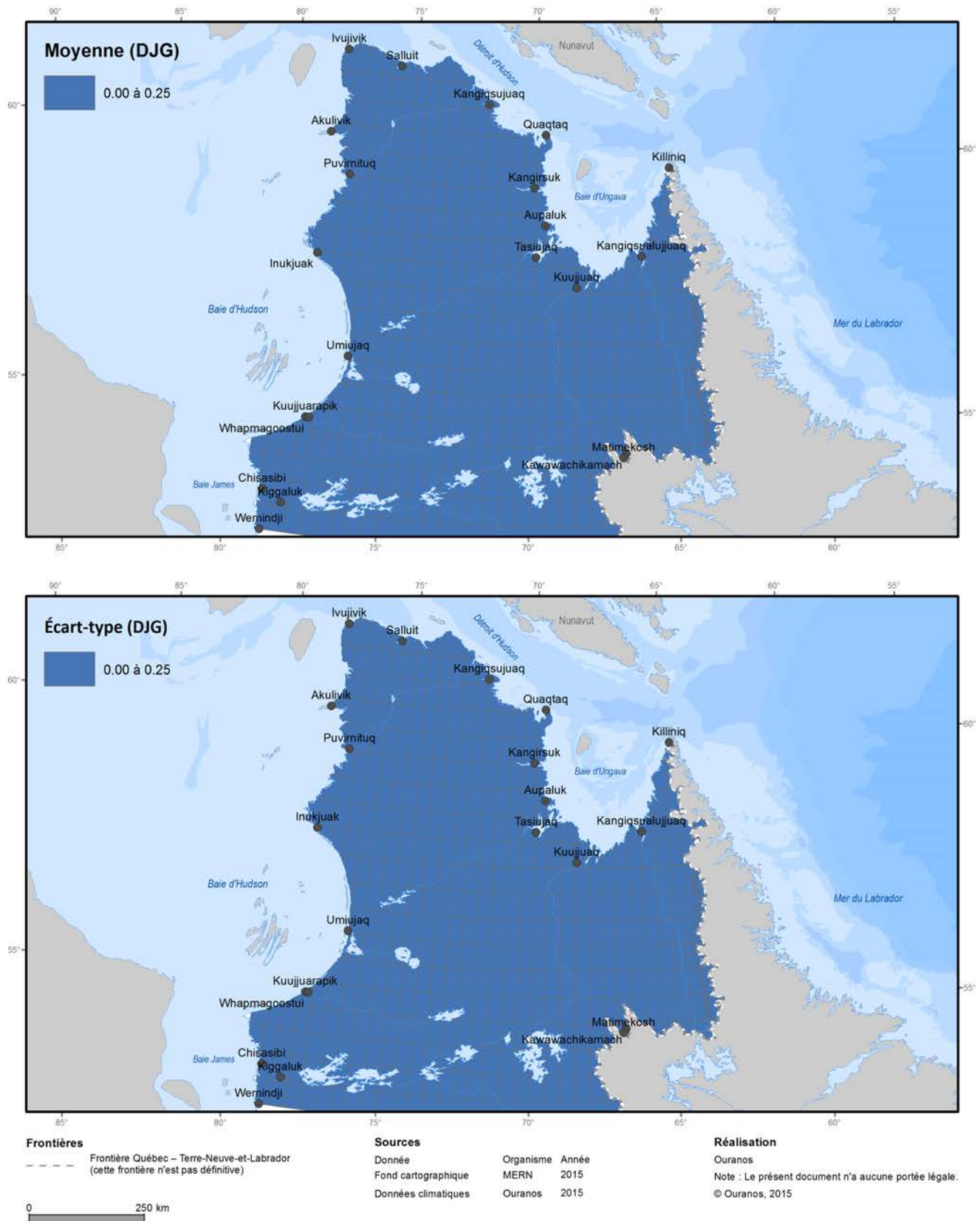


Figure A.42. Normales climatiques 1981 à 2010 (août) des degrés-jours de gel (DJG). Le panneau du haut présente la moyenne, tandis que le panneau du bas présente l'écart-type, de quatre réanalyses (ERA-Interim, CFSR, JRA55, MERRA).

Degrés-jours de gel (septembre)

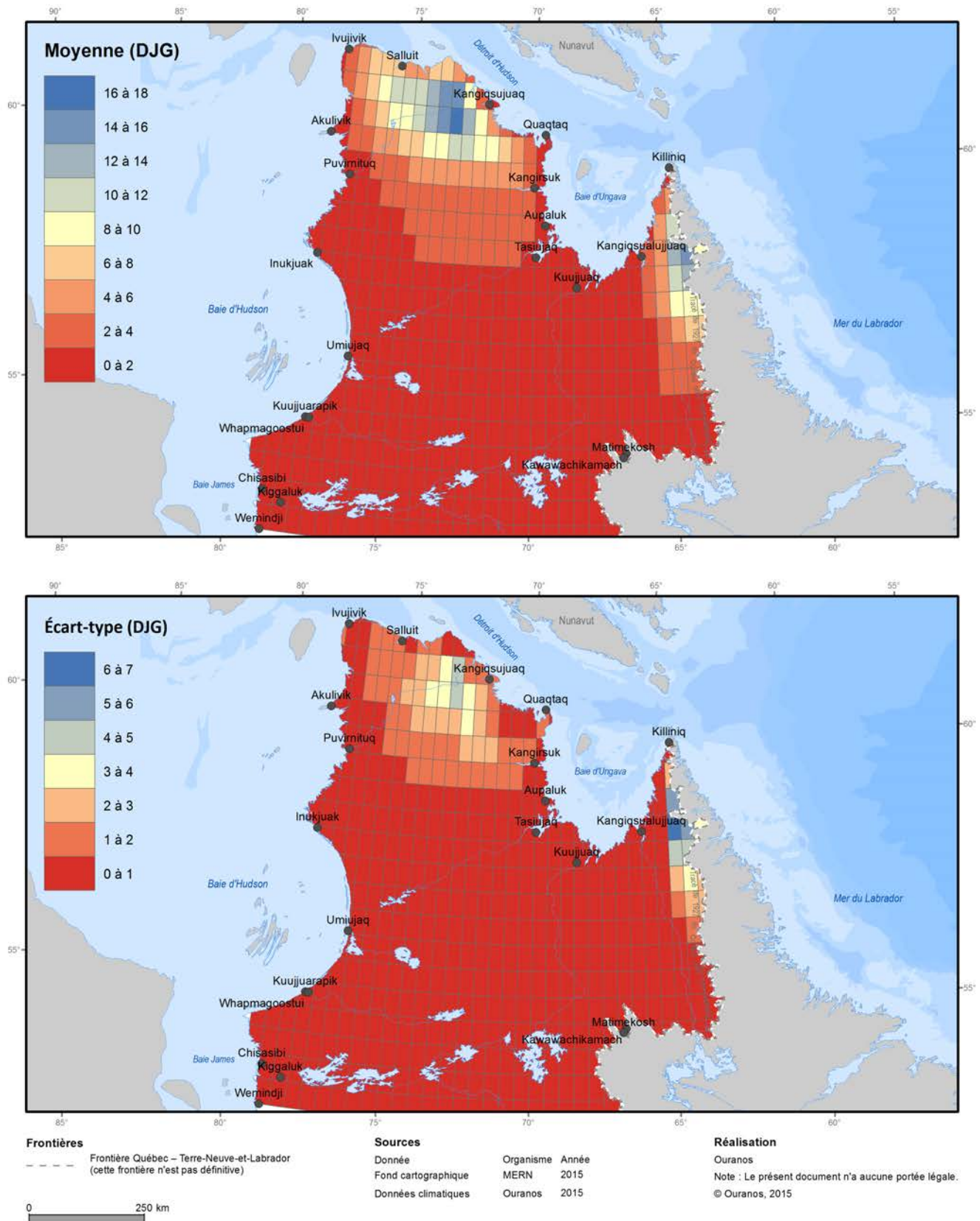


Figure A.43. Normales climatiques 1981 à 2010 (septembre) des degrés-jours de gel (DJG). Le panneau du haut présente la moyenne, tandis que le panneau du bas présente l'écart-type, de quatre réanalyses (ERA-Interim, CFSR, JRA55, MERRA).

Degrés-jours de gel (octobre)

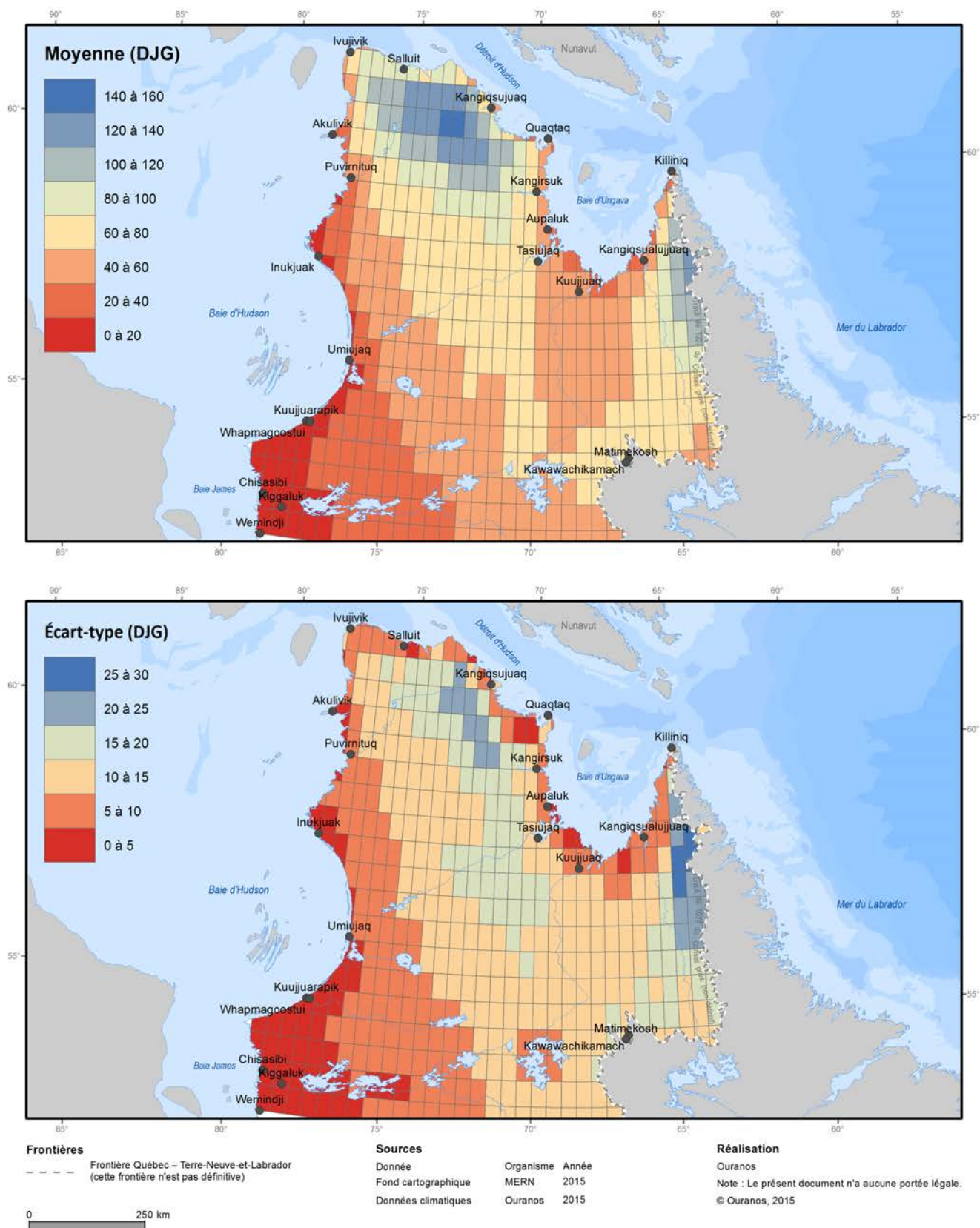


Figure A.44. Normales climatiques 1981 à 2010 (octobre) des degrés-jours de gel (DJG). Le panneau du haut présente la moyenne, tandis que le panneau du bas présente l'écart-type, de quatre réanalyses (ERA-Interim, CFSR, JRA55, MERRA).

Degrés-jours de gel (novembre)

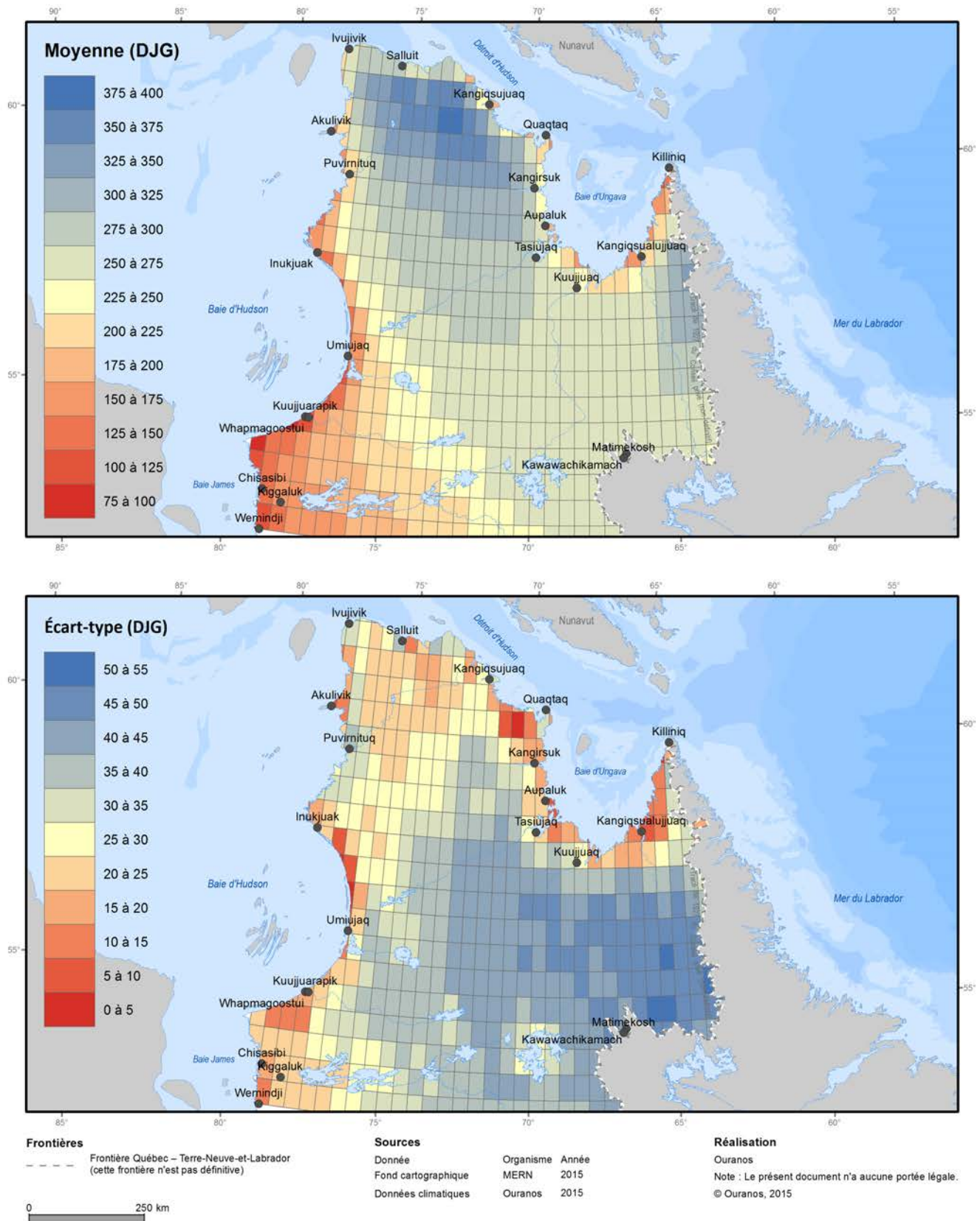


Figure A.45. Normales climatiques 1981 à 2010 (novembre) des degrés-jours de gel (DJG). Le panneau du haut présente la moyenne, tandis que le panneau du bas présente l'écart-type, de quatre réanalyses (ERA-Interim, CFSR, JRA55, MERRA).

Degrés-jours de gel (décembre)

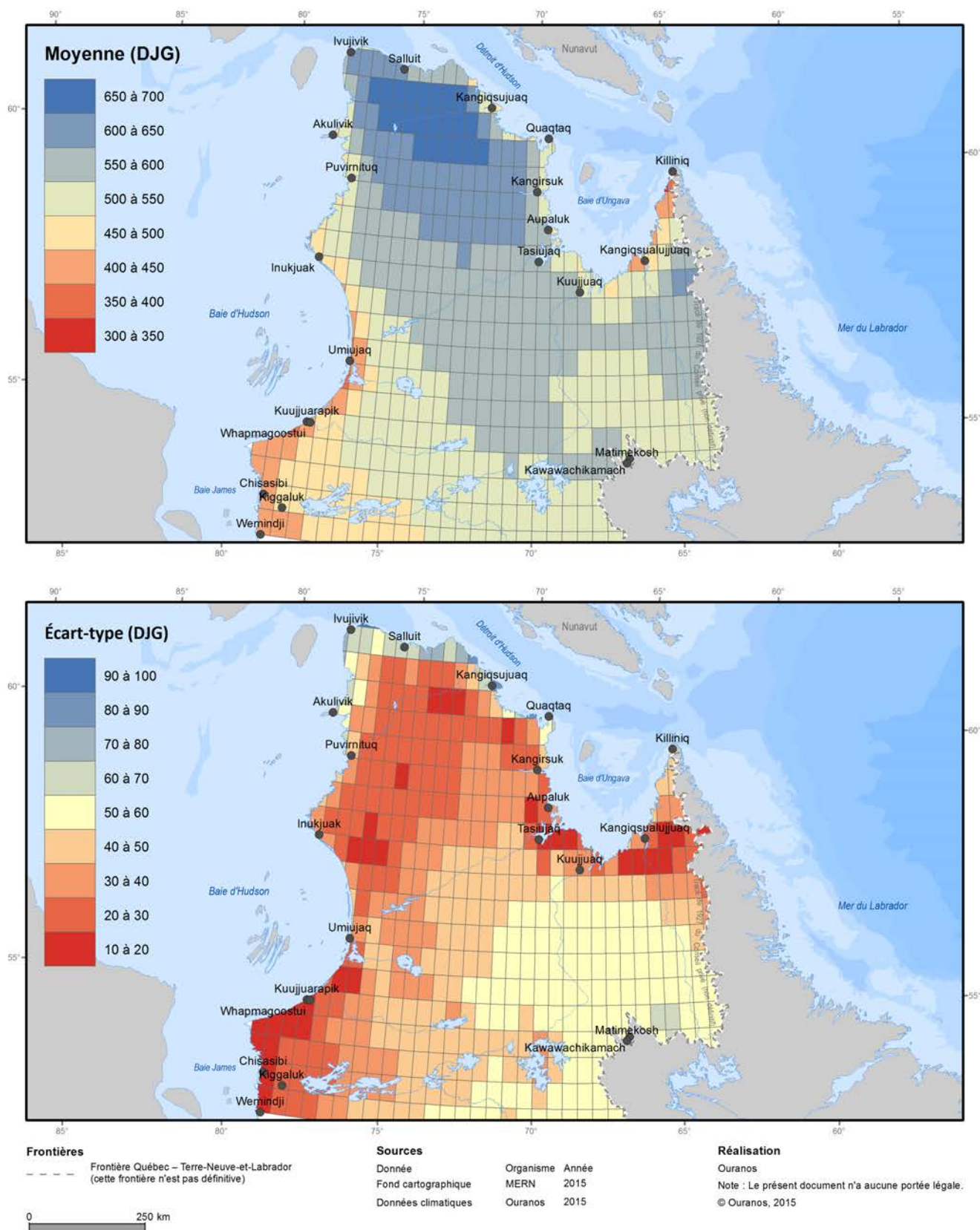


Figure A.46. Normales climatiques 1981 à 2010 (décembre) des degrés-jours de gel (DJG). Le panneau du haut présente la moyenne, tandis que le panneau du bas présente l'écart-type, de quatre réanalyses (ERA-Interim, CFSR, JRA55, MERRA).

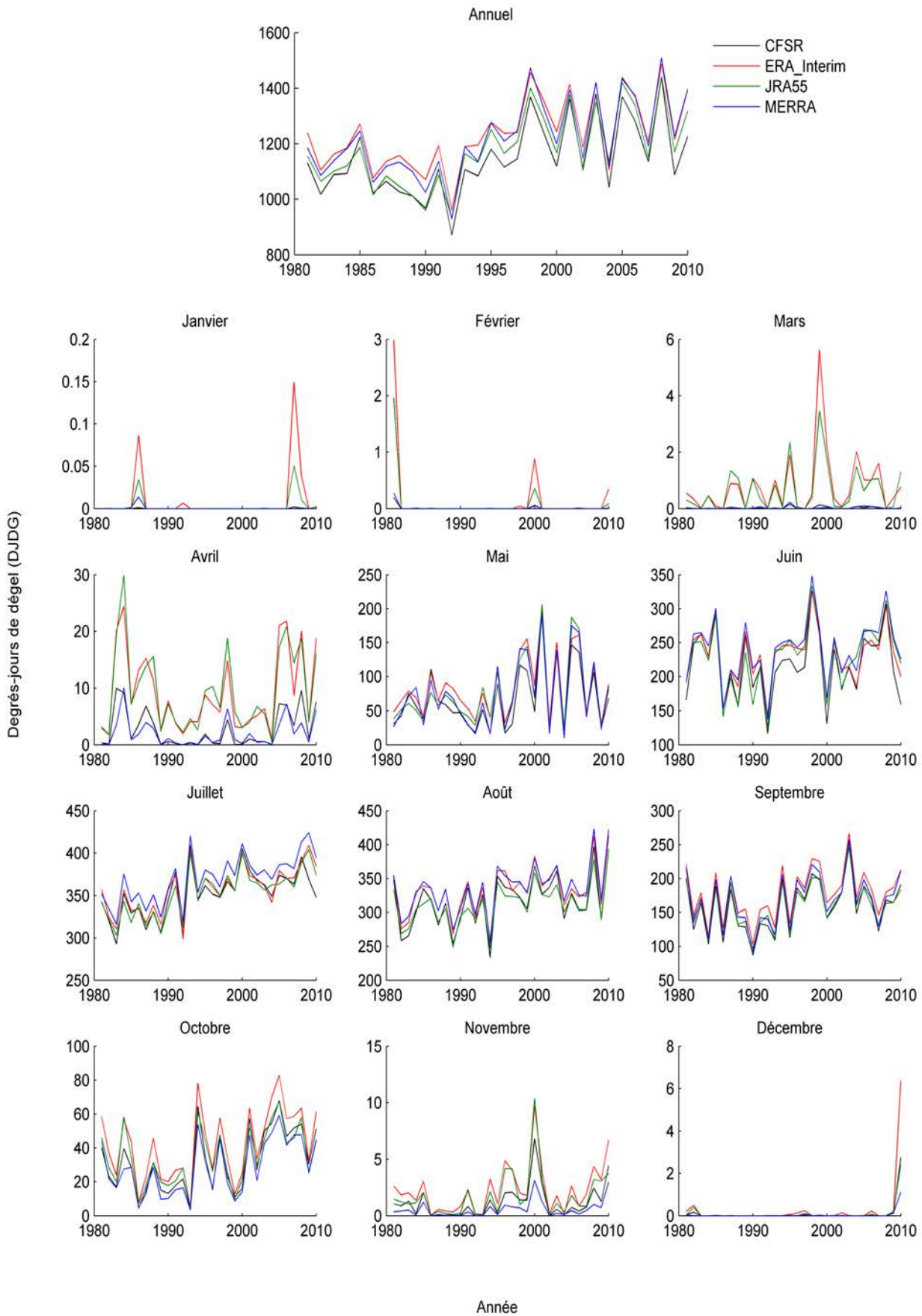


Figure A.47. Évolution des degrés-jours de dégel (DJDG) selon chacune des quatre réanalyses (ERA-Interim, CFSR, JRA55, MERRA), moyennée pour l'ensemble du territoire à l'étude.

Degrés-jours de dégel (annuelle)

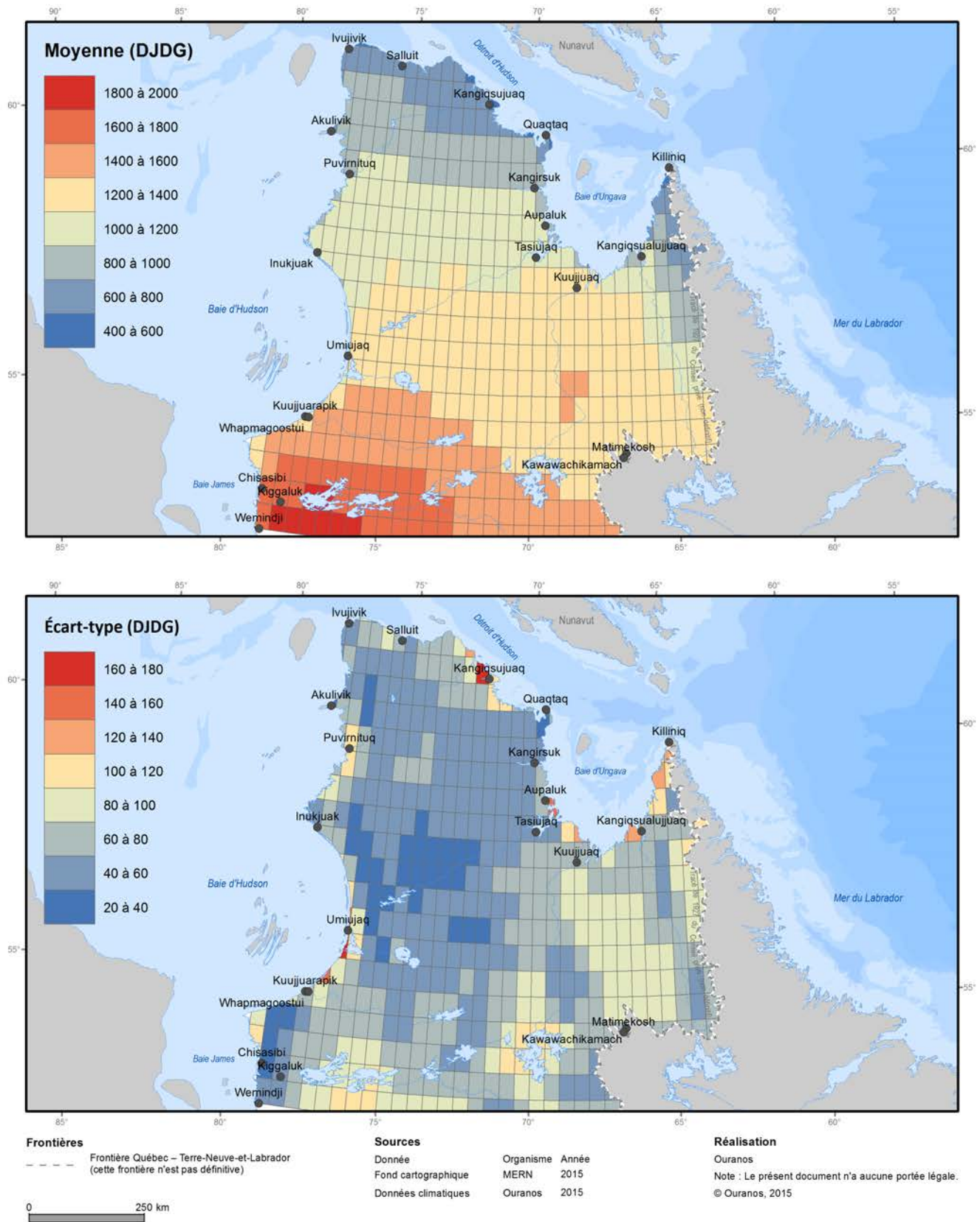


Figure A.48. Normales climatiques 1981 à 2010 (annuelle) des degrés-jours de dégel (DJDG). Le panneau du haut présente la moyenne, tandis que le panneau du bas présente l'écart-type, de quatre réanalyses (ERA-Interim, CFSR, JRA55, MERRA).

Degrés-jours de dégel (janvier)

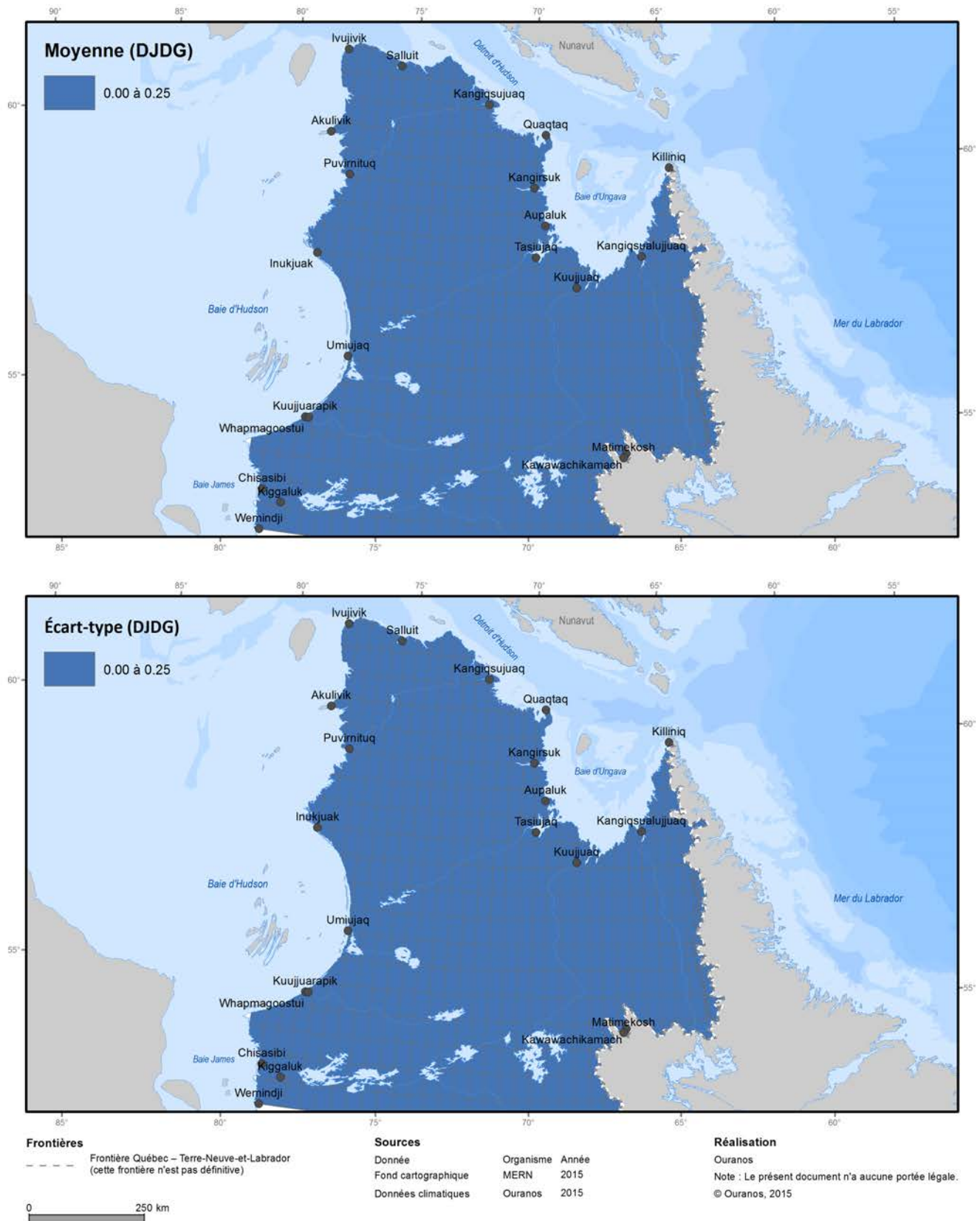


Figure A.49. Normales climatiques 1981 à 2010 (janvier) des degrés-jours de dégel (DJDG). Le panneau du haut présente la moyenne, tandis que le panneau du bas présente l'écart-type, de quatre réanalyses (ERA-Interim, CFSR, JRA55, MERRA).

Degrés-jours de dégel (février)

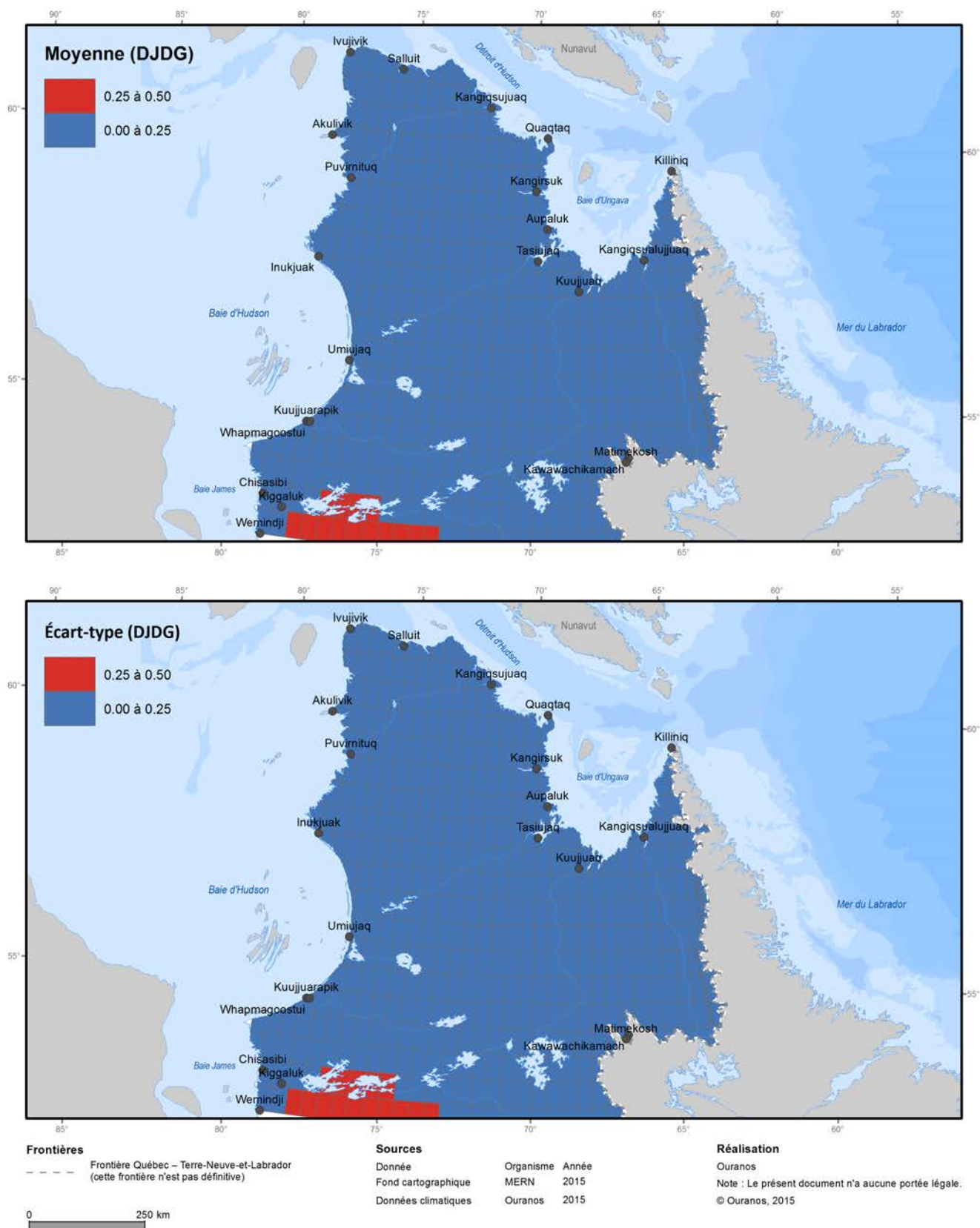


Figure A.50. Normales climatiques 1981 à 2010 (février) des degrés-jours de dégel (DJDG). Le panneau du haut présente la moyenne, tandis que le panneau du bas présente l'écart-type, de quatre réanalyses (ERA-Interim, CFSR, JRA55, MERRA).

Degrés-jours de dégel (mars)

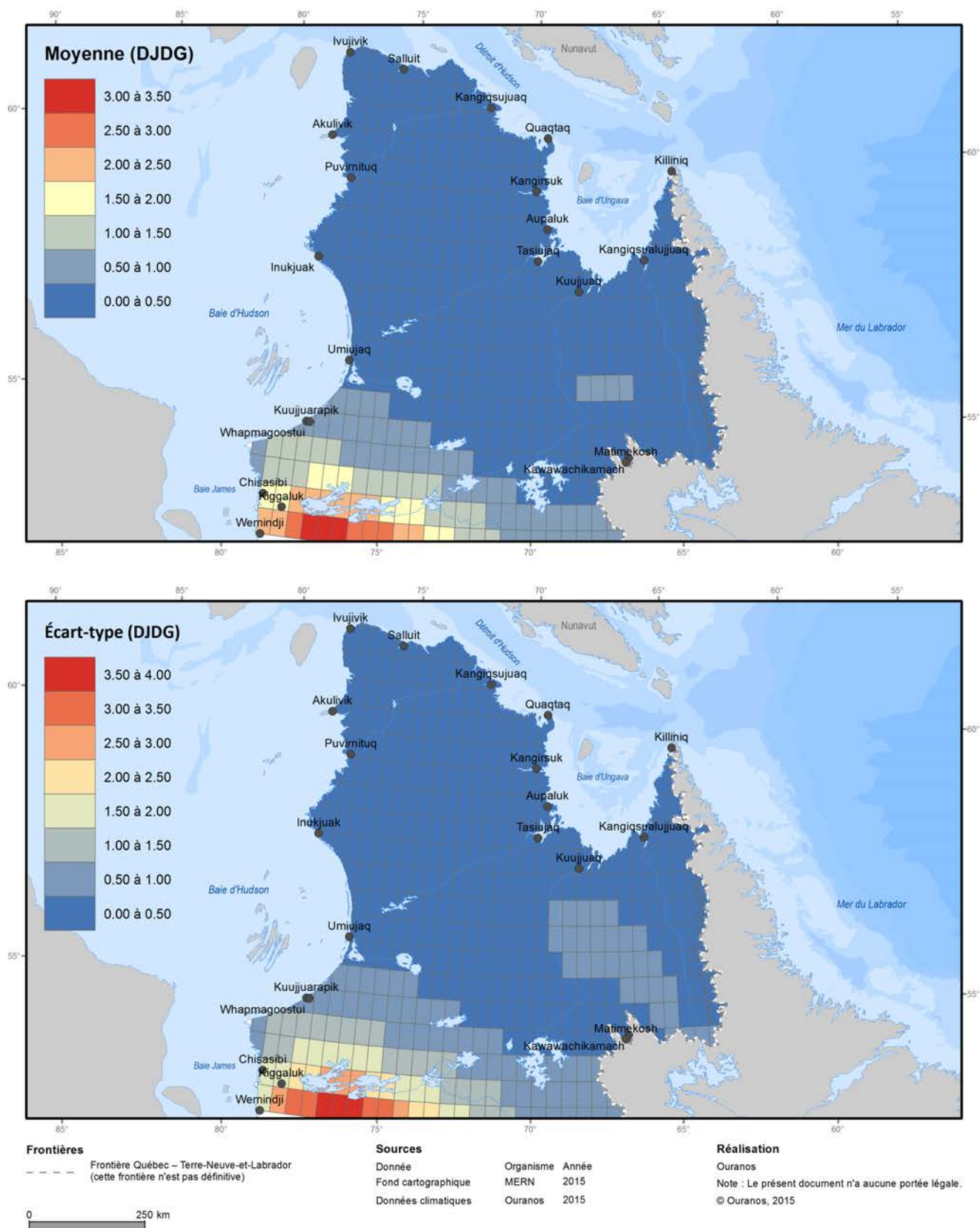


Figure A.51. Normales climatiques 1981 à 2010 (mars) des degrés-jours de dégel (DJDG). Le panneau du haut présente la moyenne, tandis que le panneau du bas présente l'écart-type, de quatre réanalyses (ERA-Interim, CFSR, JRA55, MERRA).

Degrés-jours de dégel (avril)

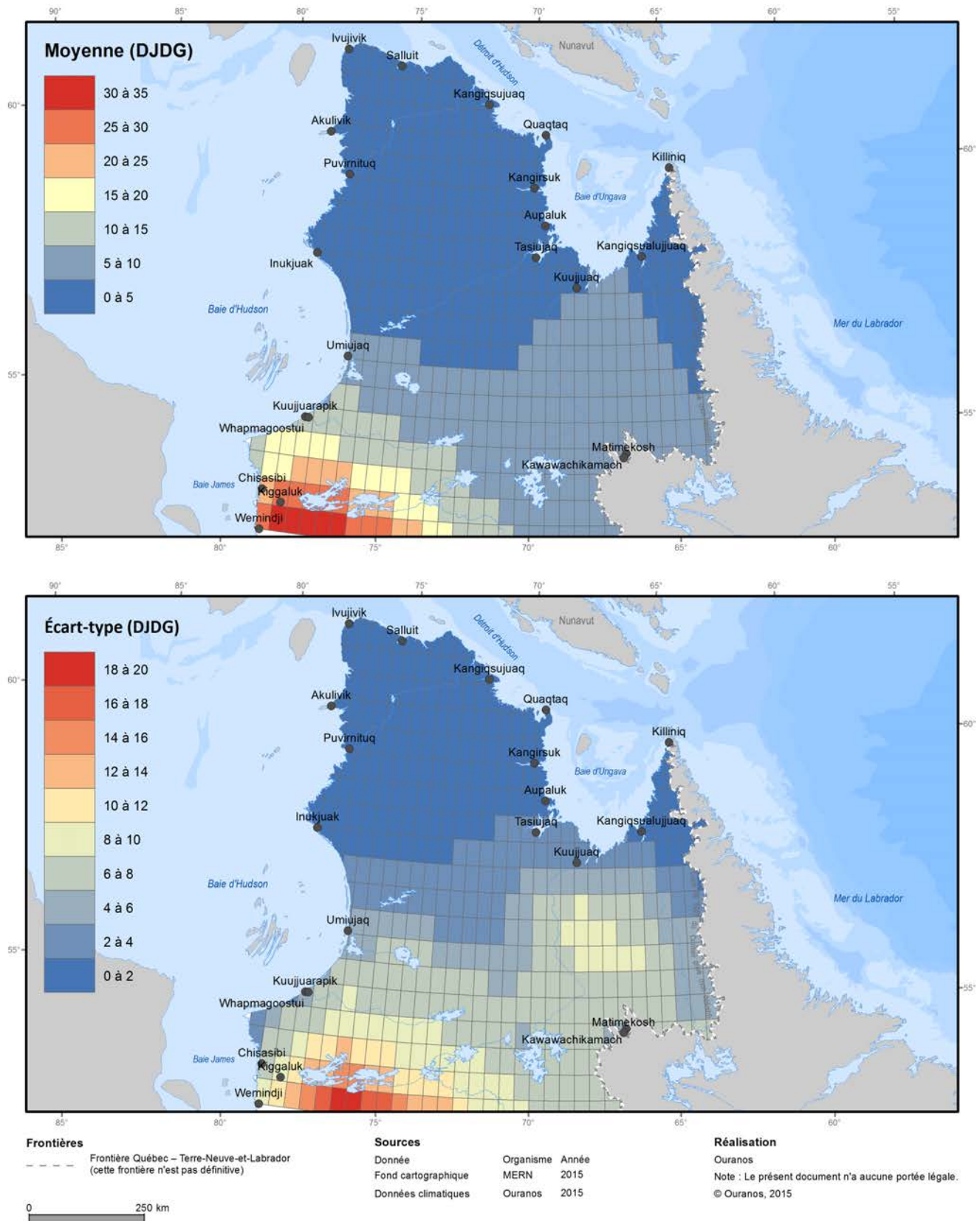


Figure A.52. Normales climatiques 1981 à 2010 (avril) des degrés-jours de dégel (DJDG). Le panneau du haut présente la moyenne, tandis que le panneau du bas présente l'écart-type, de quatre réanalyses (ERA-Interim, CFSR, JRA55, MERRA).

Degrés-jours de dégel (mai)

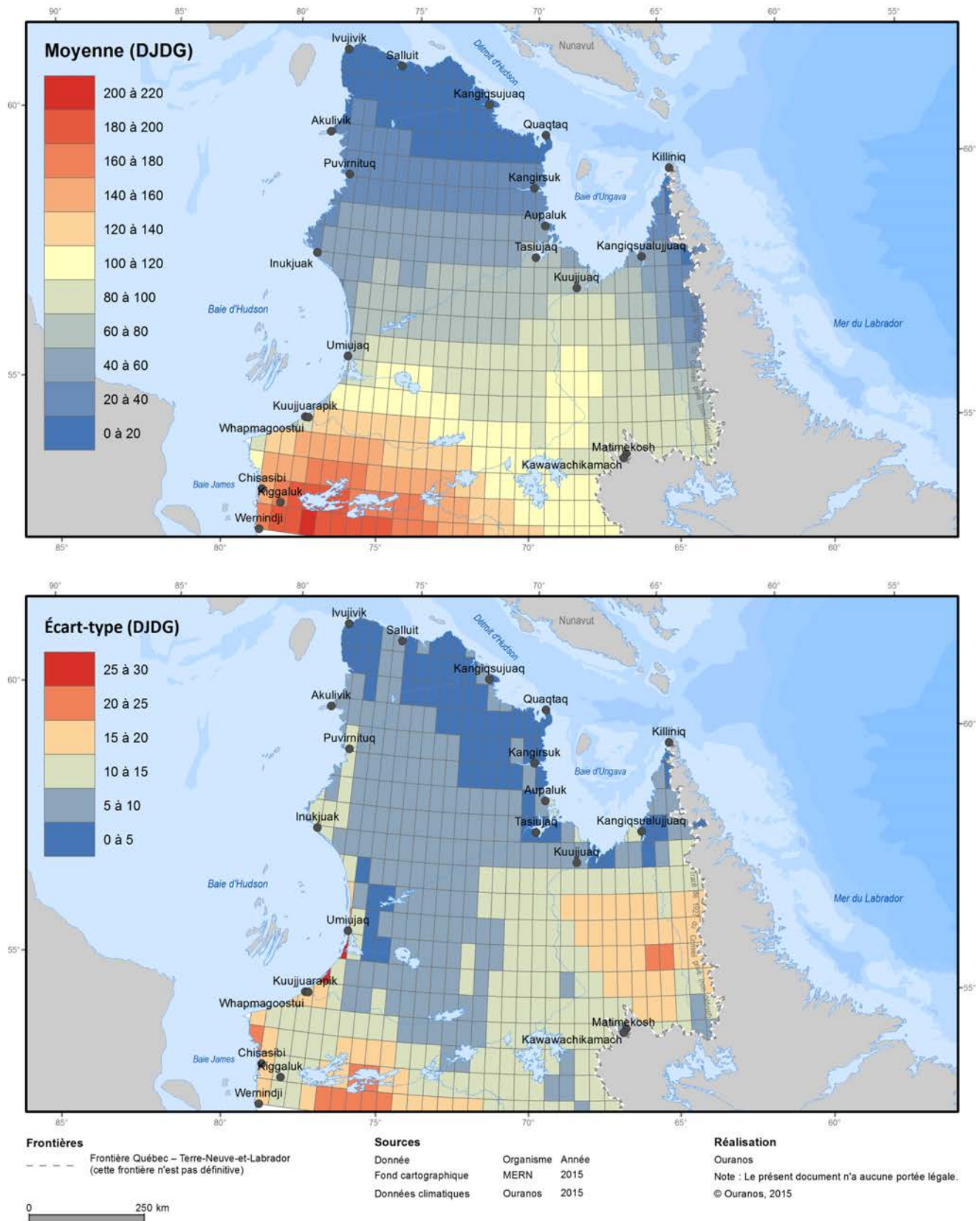


Figure A.53. Normales climatiques 1981 à 2010 (mai) des degrés-jours de dégel (DJDG). Le panneau du haut présente la moyenne, tandis que le panneau du bas présente l'écart-type, de quatre réanalyses (ERA-Interim, CFSR, JRA55, MERRA).

Degrés-jours de dégel (juin)

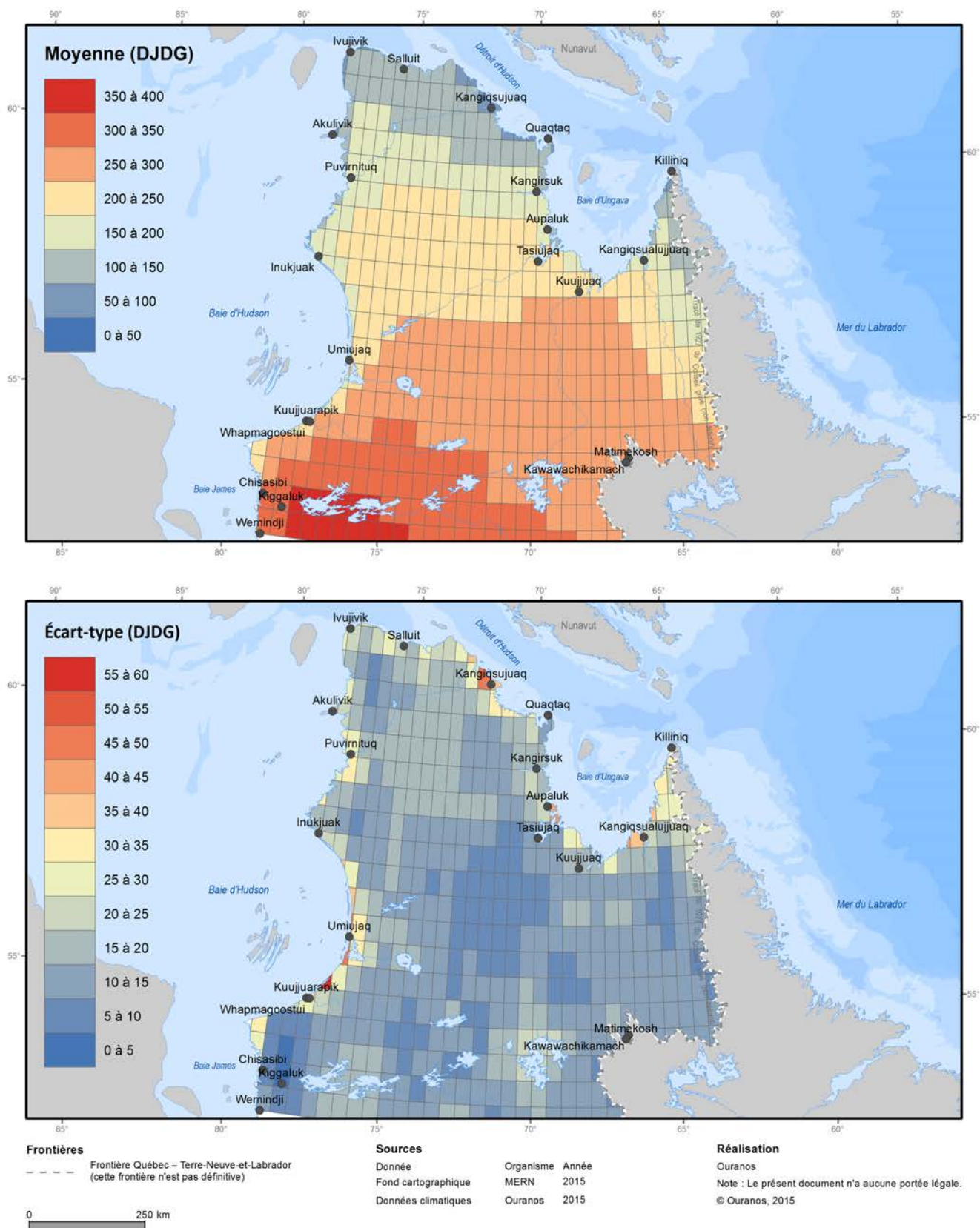


Figure A.54. Normales climatiques 1981 à 2010 (juin) des degrés-jours de dégel (DJDG). Le panneau du haut présente la moyenne, tandis que le panneau du bas présente l'écart-type, de quatre réanalyses (ERA-Interim, CFSR, JRA55, MERRA).

Degrés-jours de dégel (juillet)

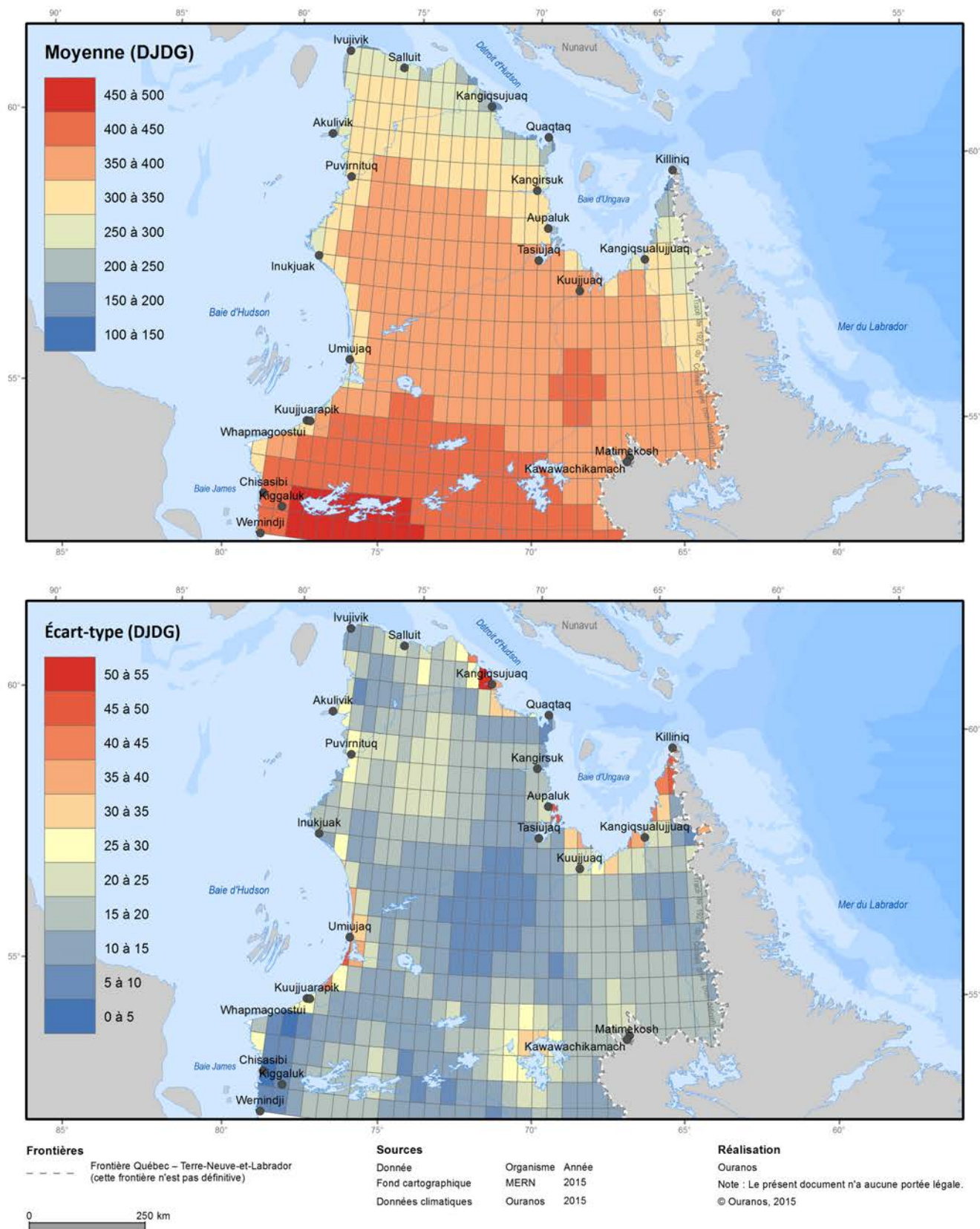


Figure A.55. Normales climatiques 1981 à 2010 (juillet) des degrés-jours de dégel (DJDG). Le panneau du haut présente la moyenne, tandis que le panneau du bas présente l'écart-type, de quatre réanalyses (ERA-Interim, CFSR, JRA55, MERRA).

Degrés-jours de dégel (août)

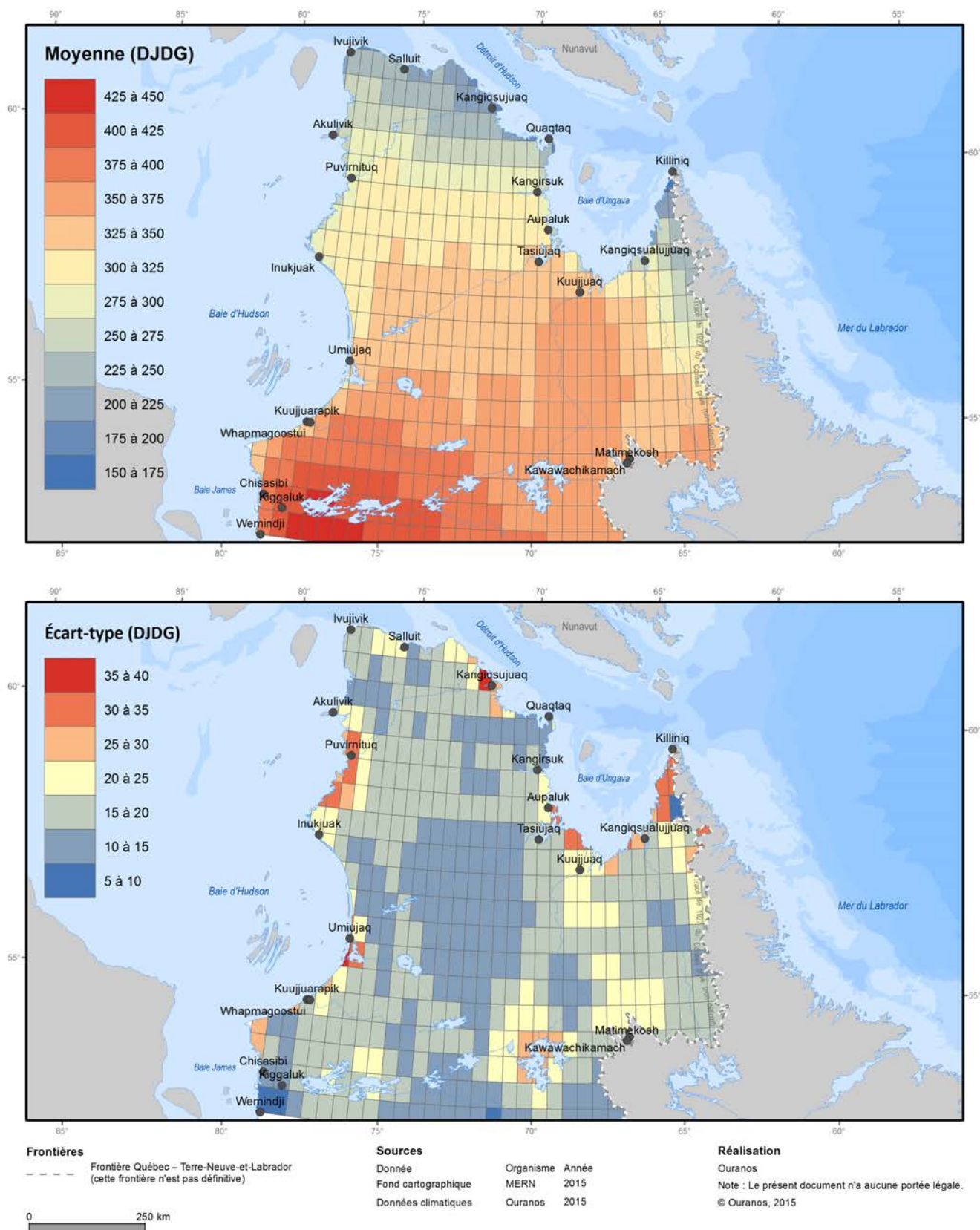


Figure A.56. Normales climatiques 1981 à 2010 (août) des degrés-jours de dégel (DJDG). Le panneau du haut présente la moyenne, tandis que le panneau du bas présente l'écart-type, de quatre réanalyses (ERA-Interim, CFSR, JRA55, MERRA).

Degrés-jours de dégel (septembre)

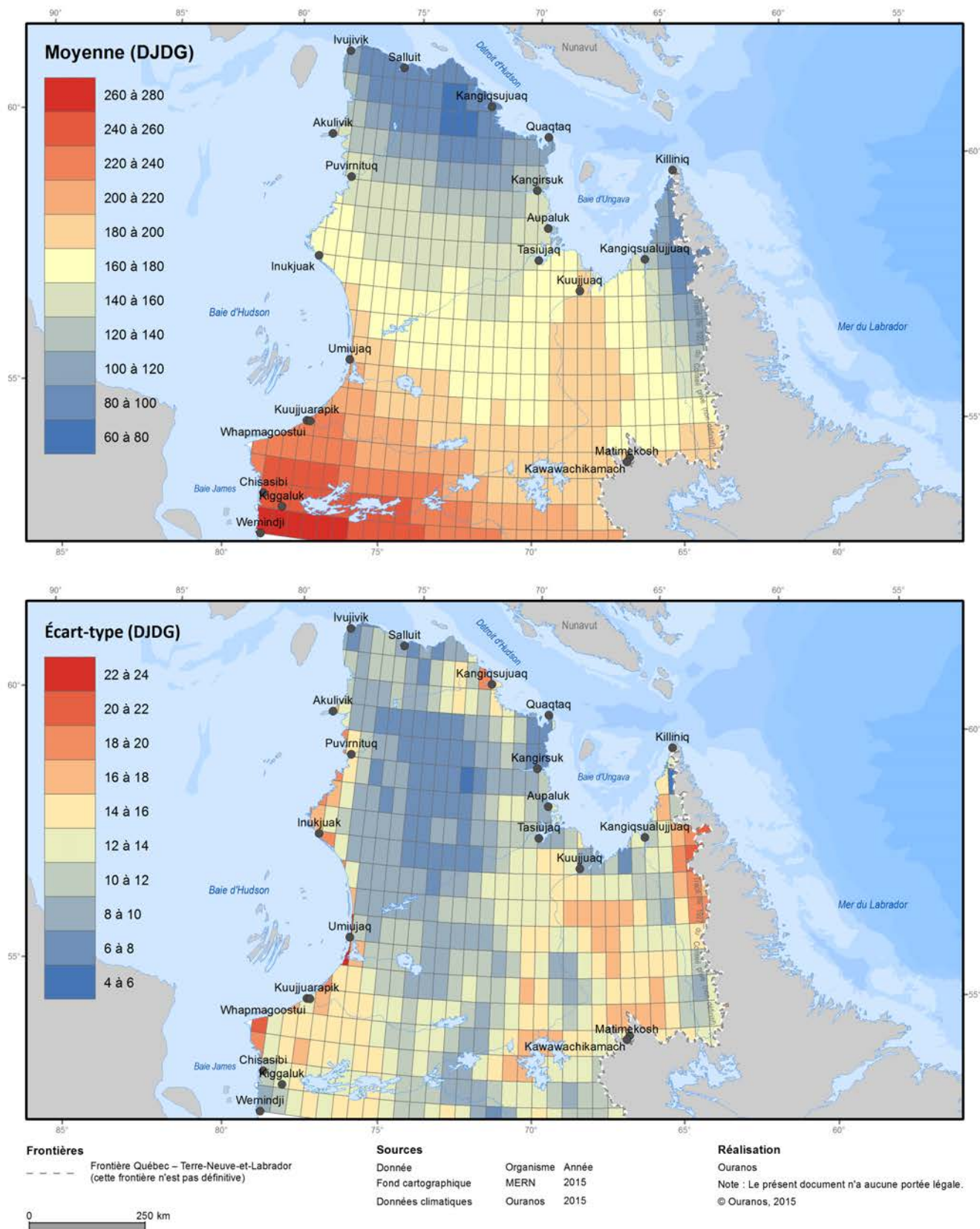


Figure A.57. Normales climatiques 1981 à 2010 (septembre) des degrés-jours de dégel (DJDG). Le panneau du haut présente la moyenne, tandis que le panneau du bas présente l'écart-type, de quatre réanalyses (ERA-Interim, CFSR, JRA55, MERRA).

Degrés-jours de dégel (octobre)

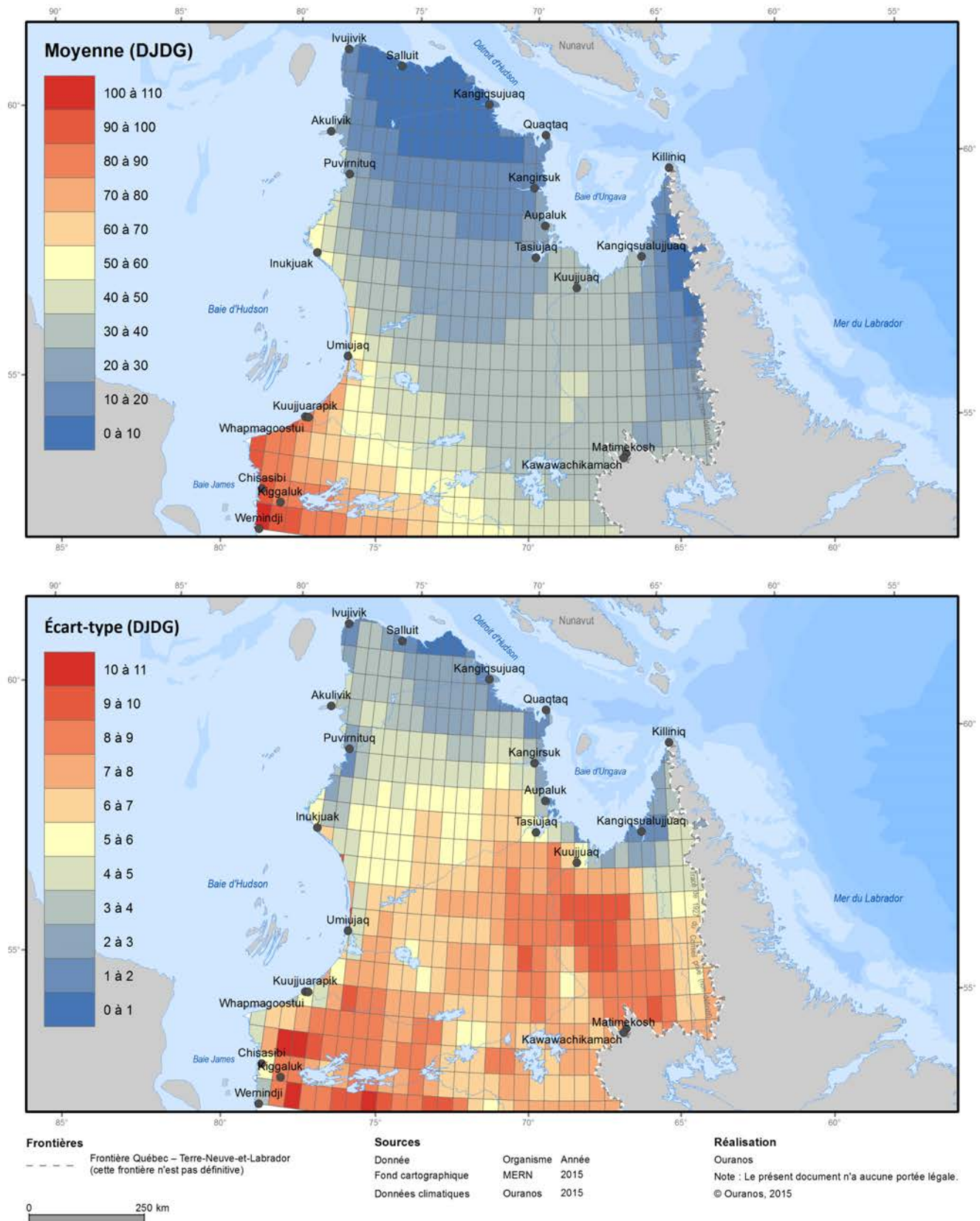


Figure A.58. Normales climatiques 1981 à 2010 (octobre) des degrés-jours de dégel (DJDG). Le panneau du haut présente la moyenne, tandis que le panneau du bas présente l'écart-type, de quatre réanalyses (ERA-Interim, CFSR, JRA55, MERRA).

Degrés-jours de dégel (novembre)

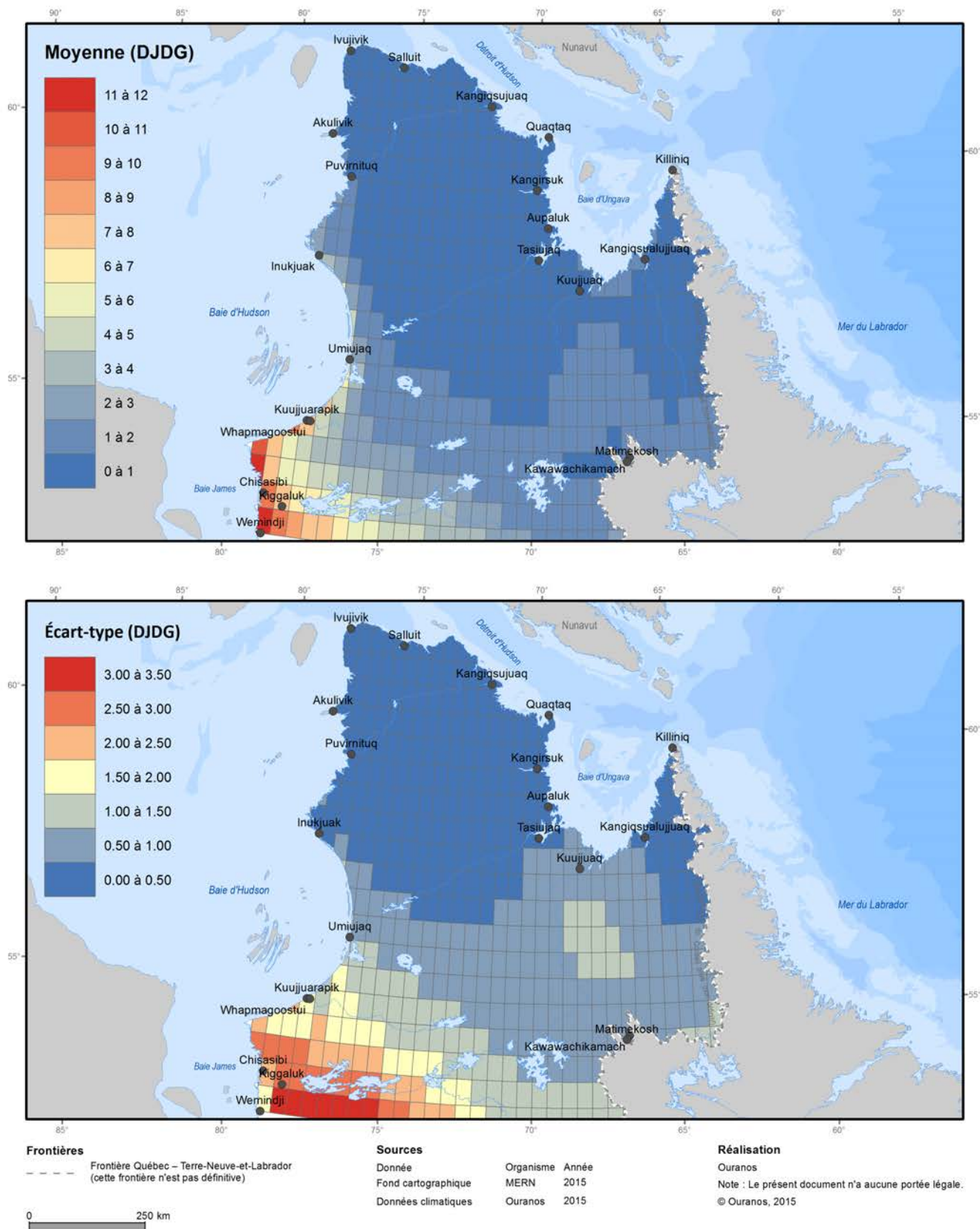


Figure A.59. Normales climatiques 1981 à 2010 (novembre) des degrés-jours de dégel (DJDG). Le panneau du haut présente la moyenne, tandis que le panneau du bas présente l'écart-type, de quatre réanalyses (ERA-Interim, CFSR, JRA55, MERRA).

Degrés-jours de dégel (décembre)

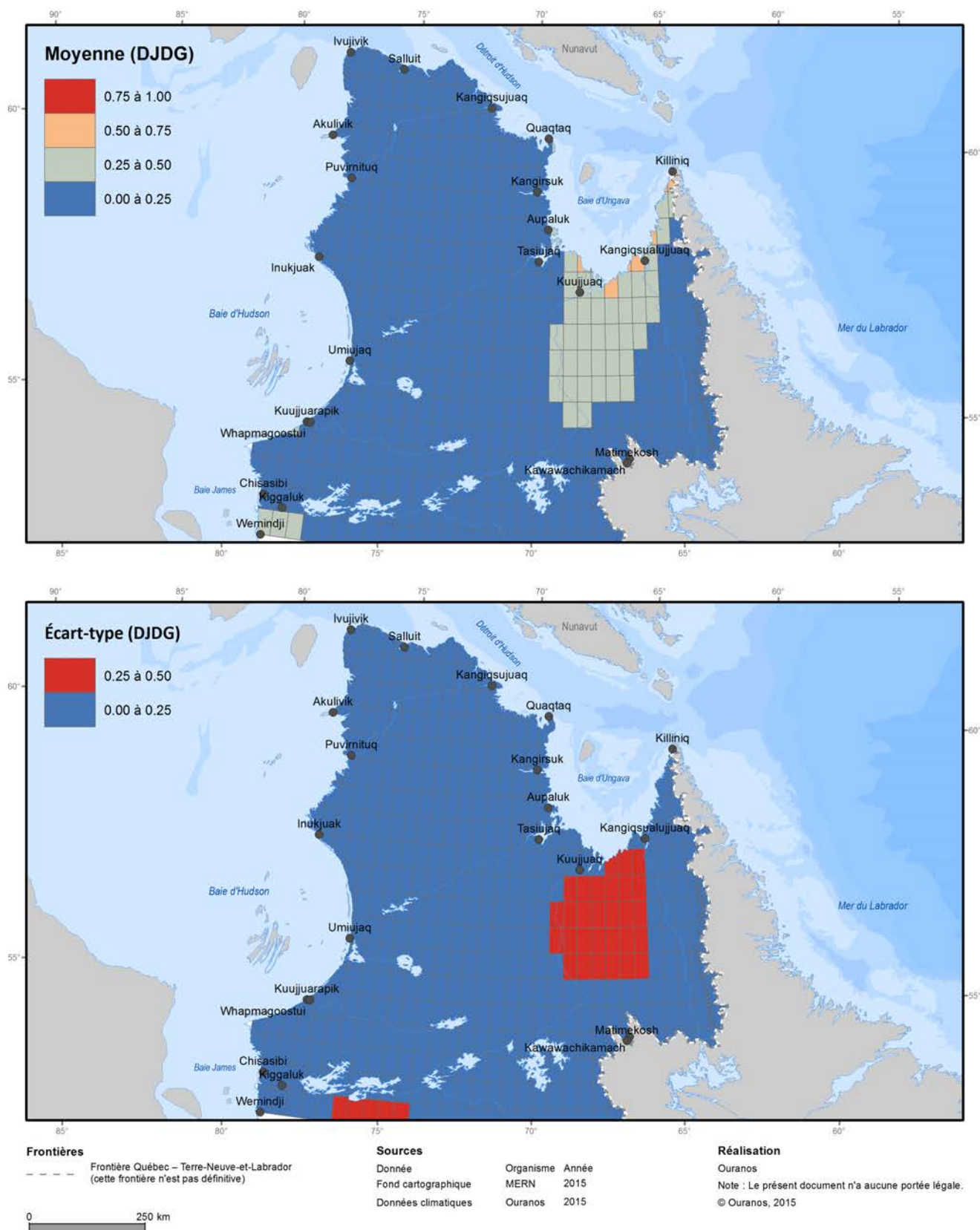


Figure A.60. Normales climatiques 1981 à 2010 (décembre) des degrés-jours de dégel (DJDG). Le panneau du haut présente la moyenne, tandis que le panneau du bas présente l'écart-type, de quatre réanalyses (ERA-Interim, CFSR, JRA55, MERRA).

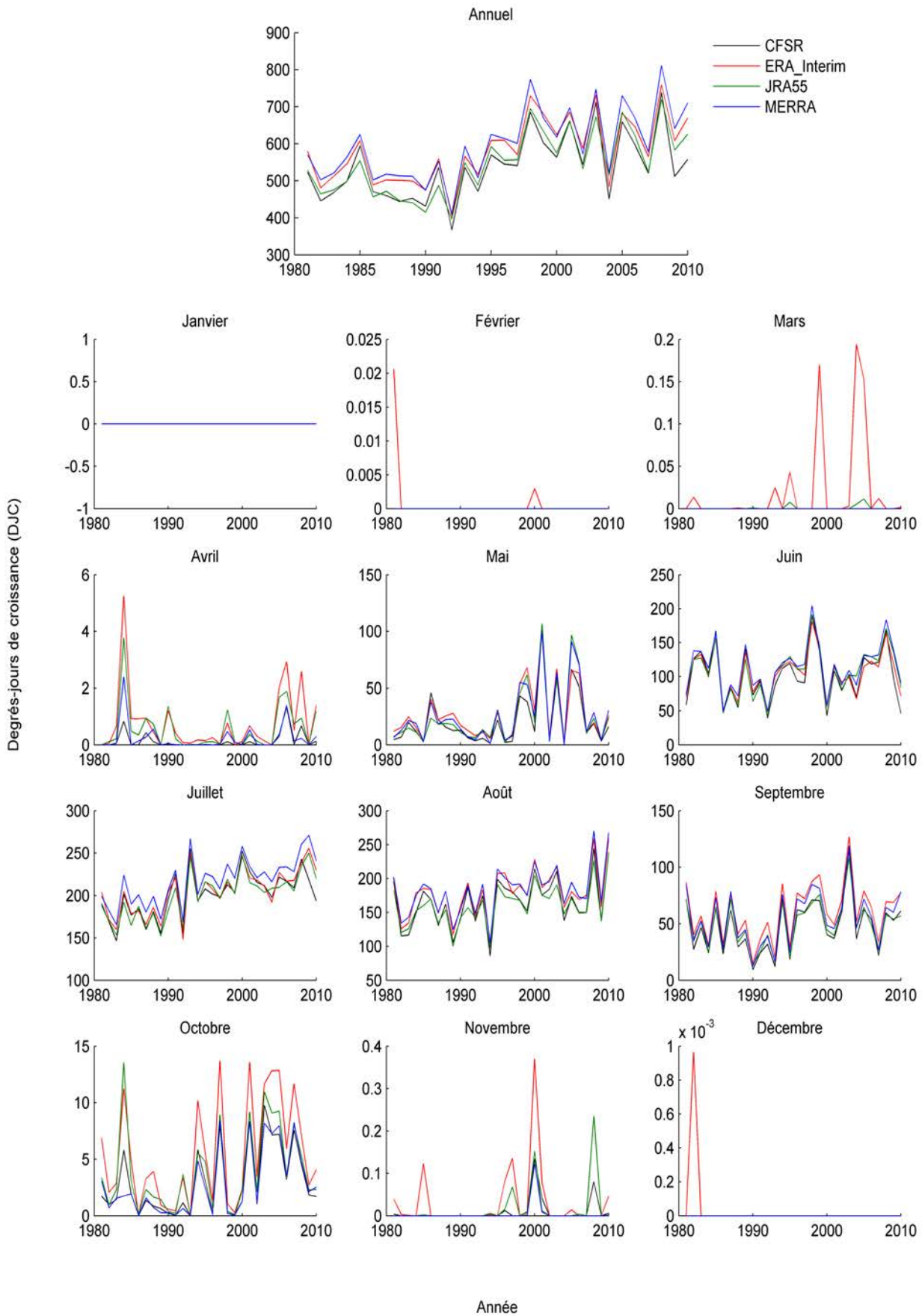


Figure A.61. Évolution des degrés-jours de croissance (DJC) selon chacune des quatre réanalyses (ERA-Interim, CFSR, JRA55, MERRA), moyennée pour l'ensemble du territoire à l'étude.

Degrés-jours de croissance (annuelle)

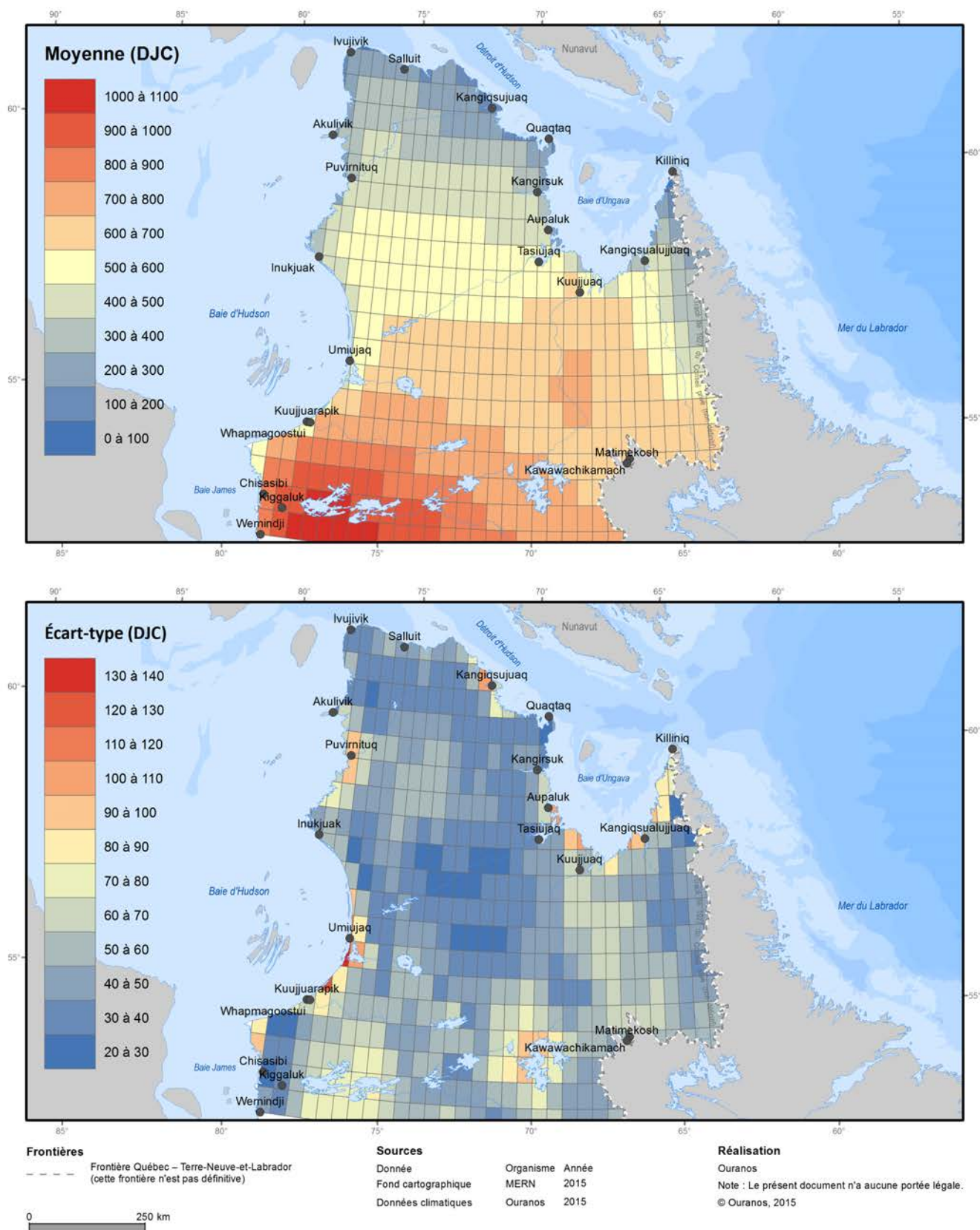


Figure A.62. Normales climatiques 1981 à 2010 (annuelle) des degrés-jours de croissance (DJC). Le panneau du haut présente la moyenne, tandis que le panneau du bas présente l'écart-type, de quatre réanalyses (ERA-Interim, CFSR, JRA55, MERRA).

Degrés-jours de croissance (janvier)

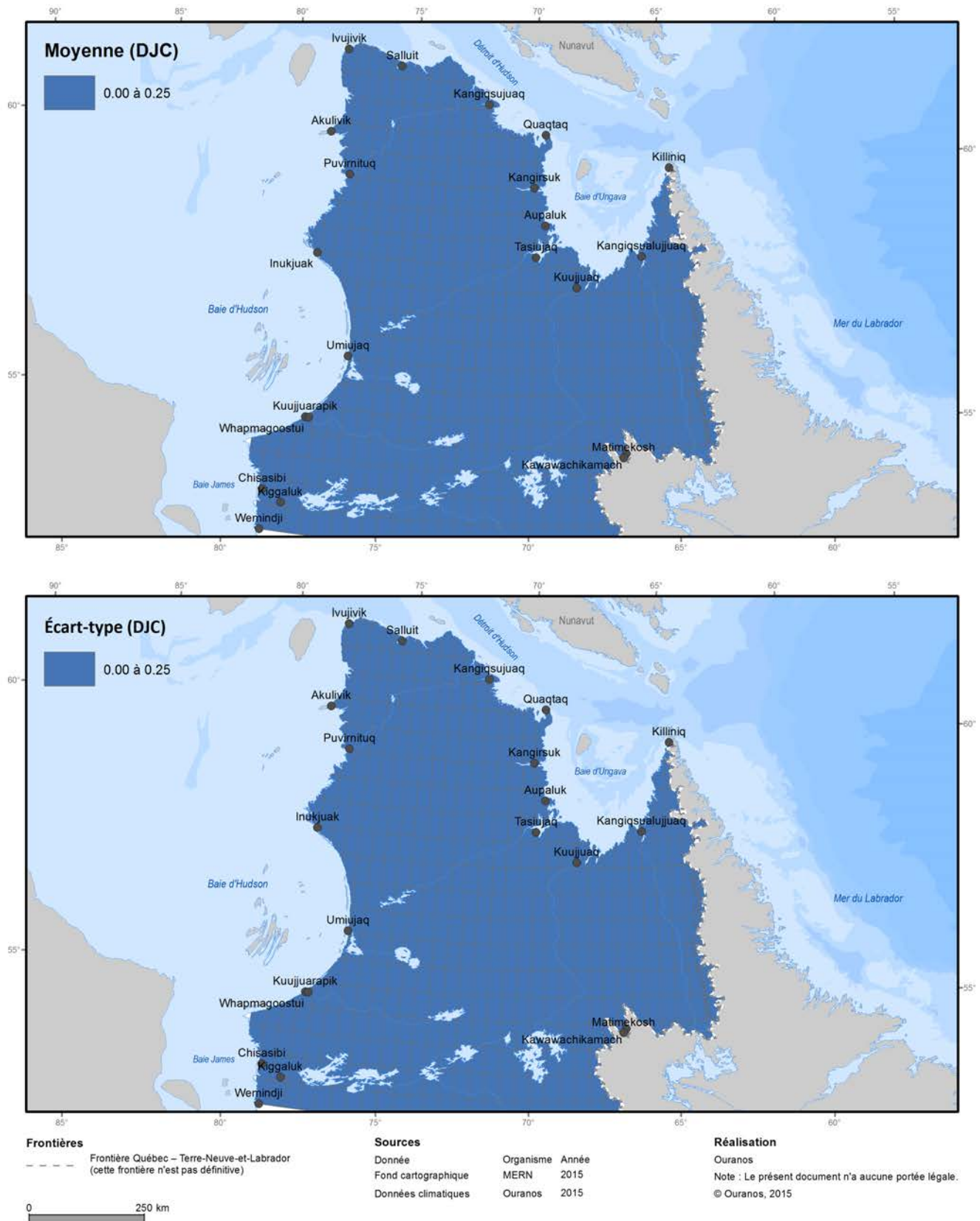


Figure A.63. Normales climatiques 1981 à 2010 (janvier) des degrés-jours de croissance (DJC). Le panneau du haut présente la moyenne, tandis que le panneau du bas présente l'écart-type, de quatre réanalyses (ERA-Interim, CFSR, JRA55, MERRA).

Degrés-jours de croissance (février)

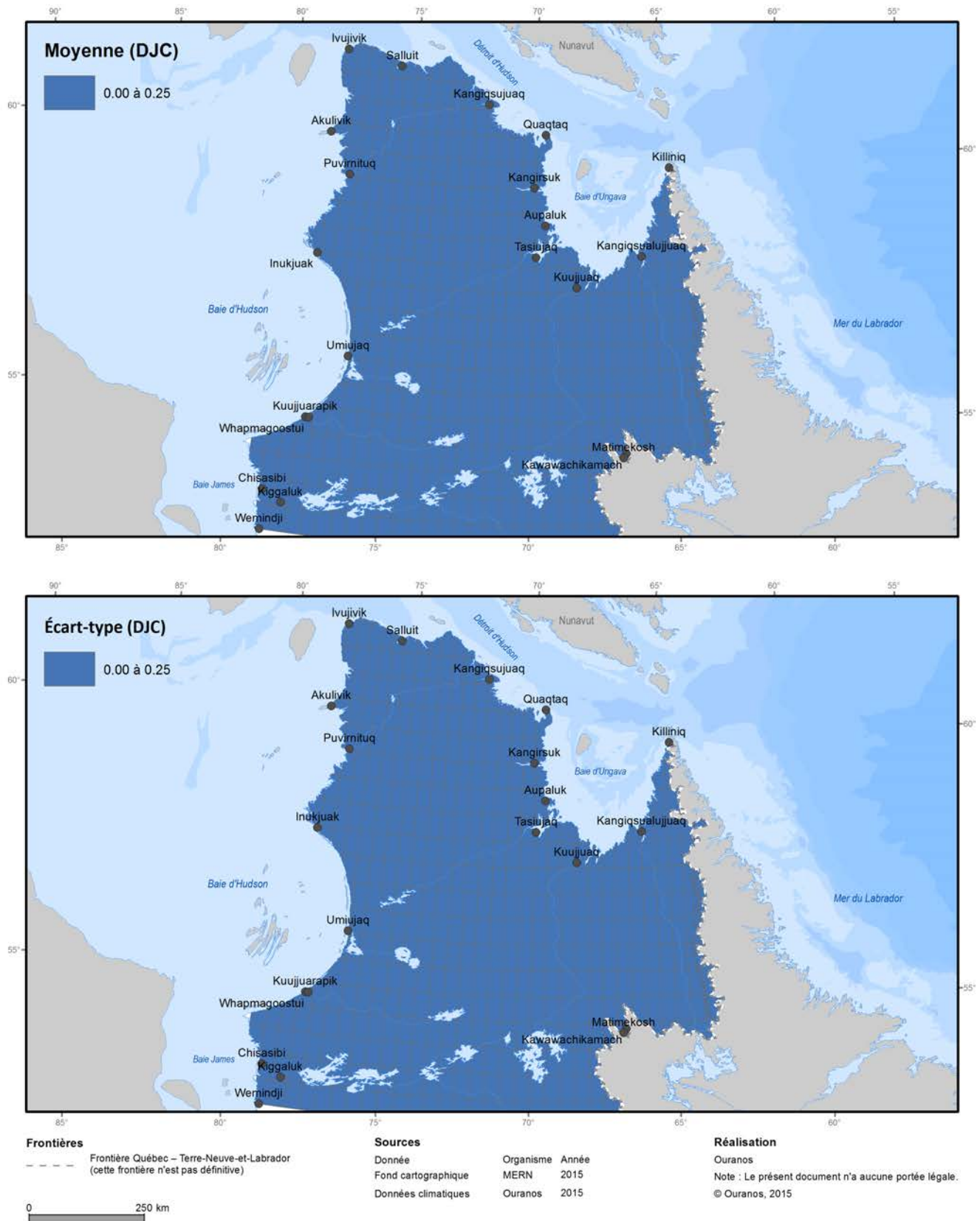


Figure A.64. Normales climatiques 1981 à 2010 (février) des degrés-jours de croissance (DJC). Le panneau du haut présente la moyenne, tandis que le panneau du bas présente l'écart-type, de quatre réanalyses (ERA-Interim, CFSR, JRA55, MERRA).

Degrés-jours de croissance (mars)

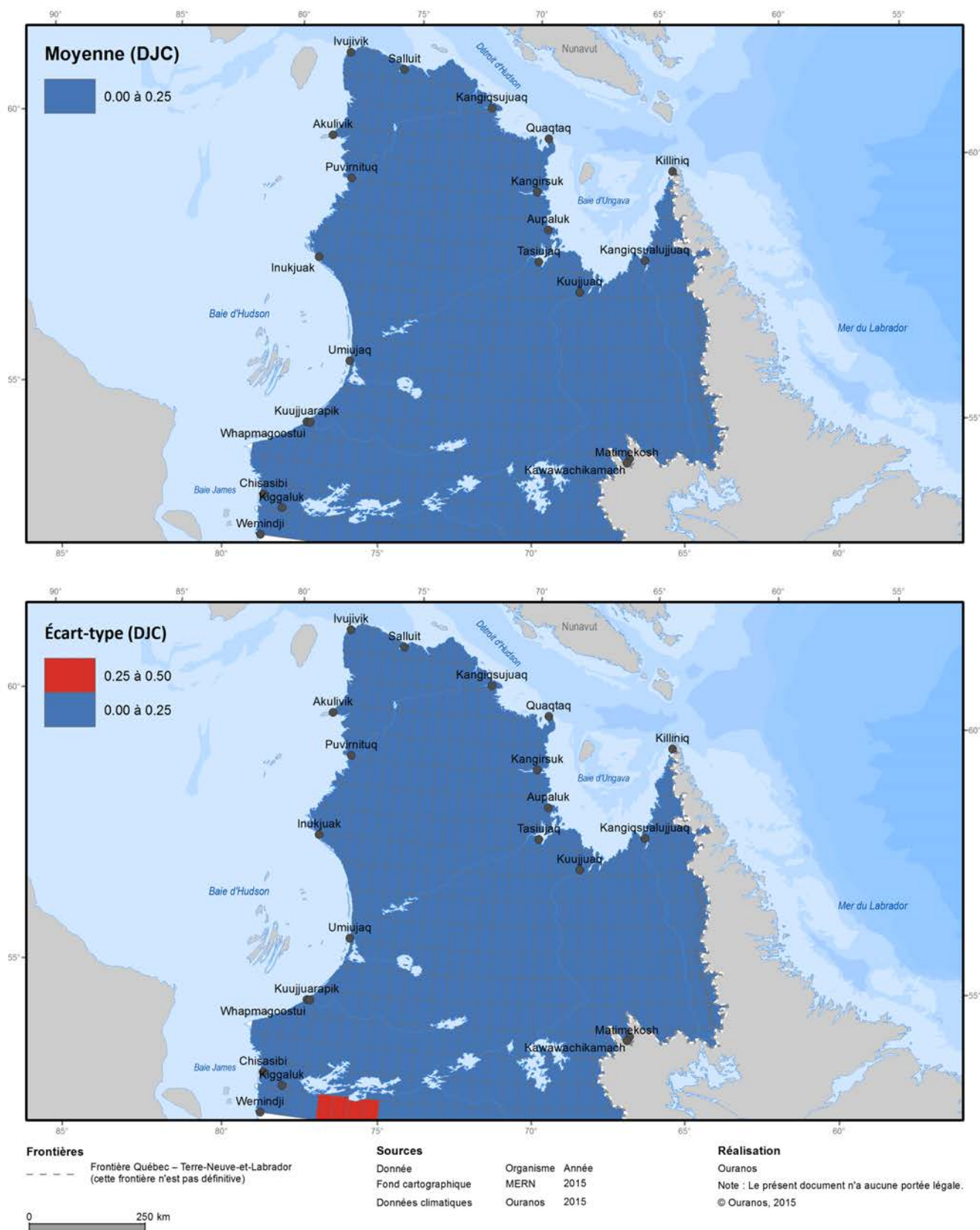


Figure A.65. Normales climatiques 1981 à 2010 (mars) des degrés-jours de croissance (DJC). Le panneau du haut présente la moyenne, tandis que le panneau du bas présente l'écart-type, de quatre réanalyses (ERA-Interim, CFSR, JRA55, MERRA).

Degrés-jours de croissance (avril)

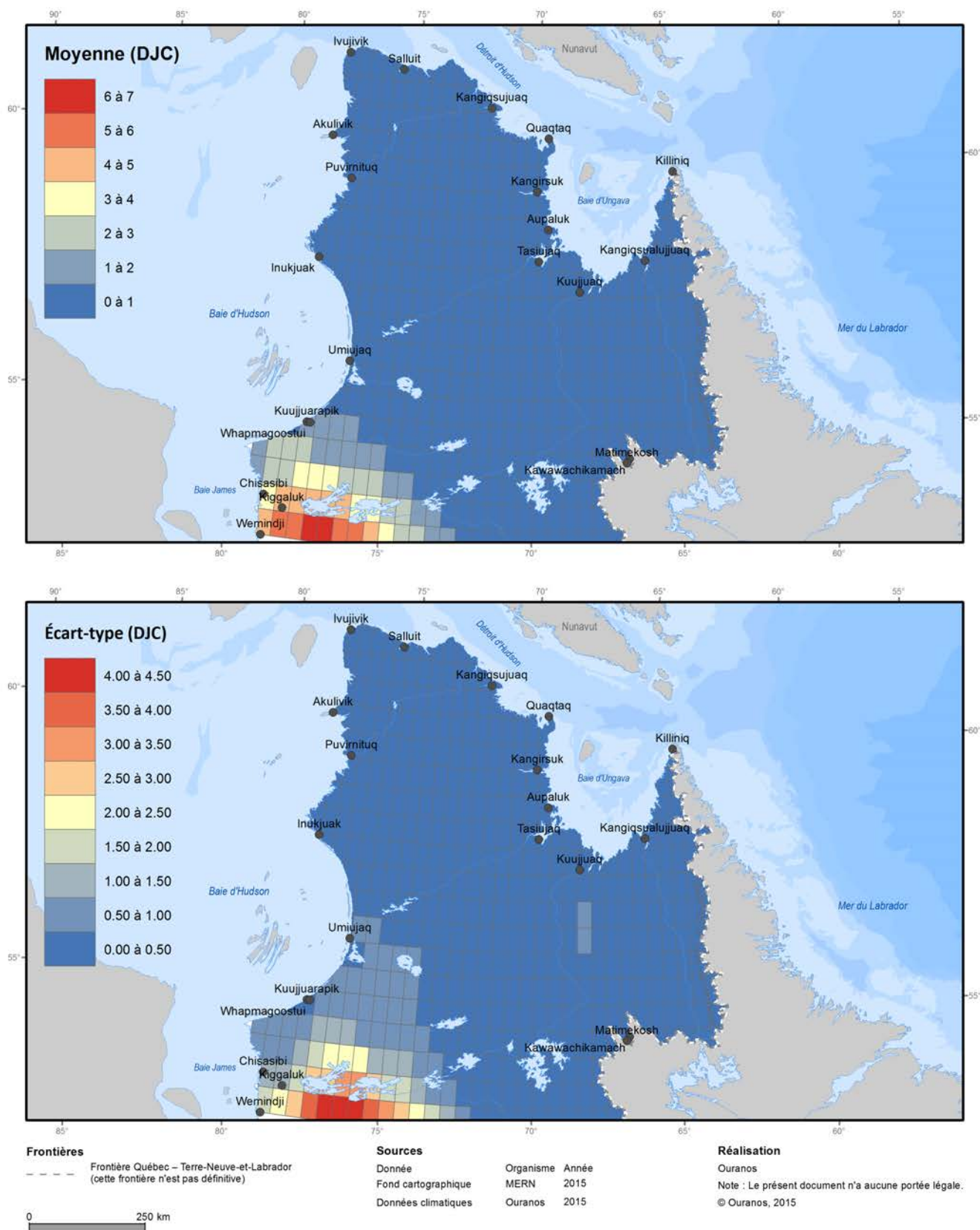


Figure A.66. Normales climatiques 1981 à 2010 (avril) des degrés-jours de croissance (DJC). Le panneau du haut présente la moyenne, tandis que le panneau du bas présente l'écart-type, de quatre réanalyses (ERA-Interim, CFSR, JRA55, MERRA).

Degrés-jours de croissance (mai)

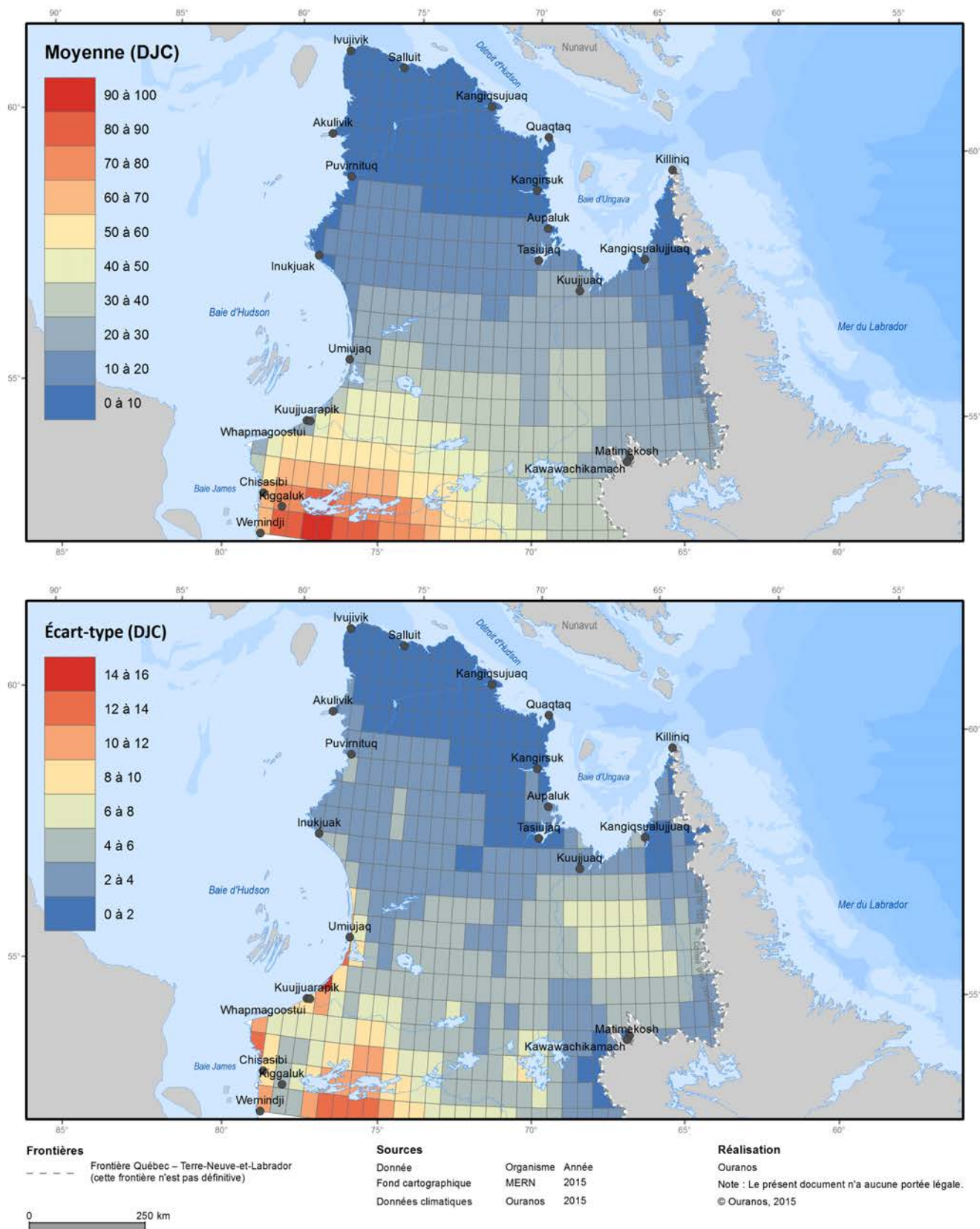


Figure A.67. Normales climatiques 1981 à 2010 (mai) des degrés-jours de croissance (DJC). Le panneau du haut présente la moyenne, tandis que le panneau du bas présente l'écart-type, de quatre réanalyses (ERA-Interim, CFSR, JRA55, MERRA).

Degrés-jours de croissance (juin)

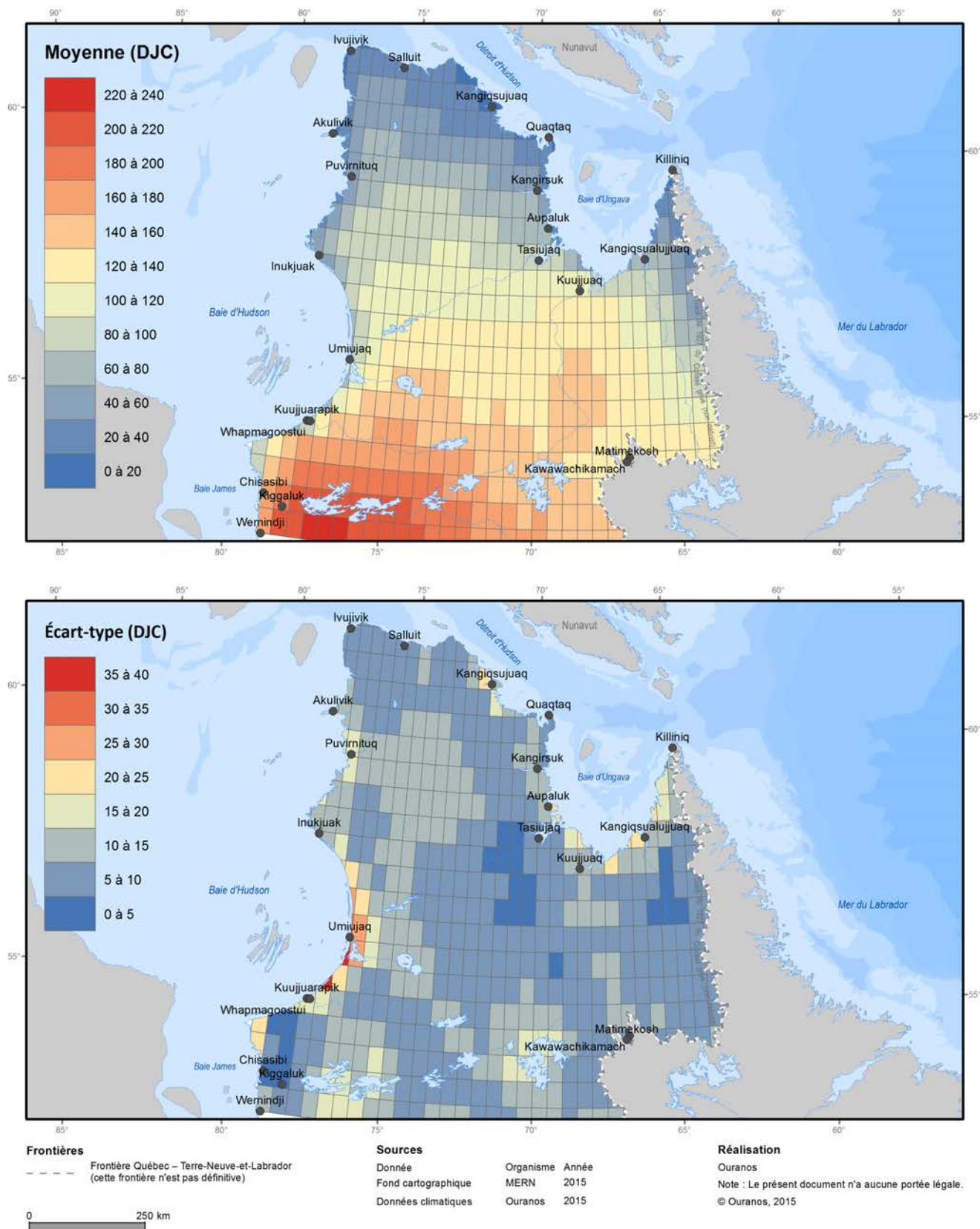


Figure A.68. Normales climatiques 1981 à 2010 (juin) des degrés-jours de croissance (DJC). Le panneau du haut présente la moyenne, tandis que le panneau du bas présente l'écart-type, de quatre réanalyses (ERA-Interim, CFSR, JRA55, MERRA).

Degrés-jours de croissance (juillet)

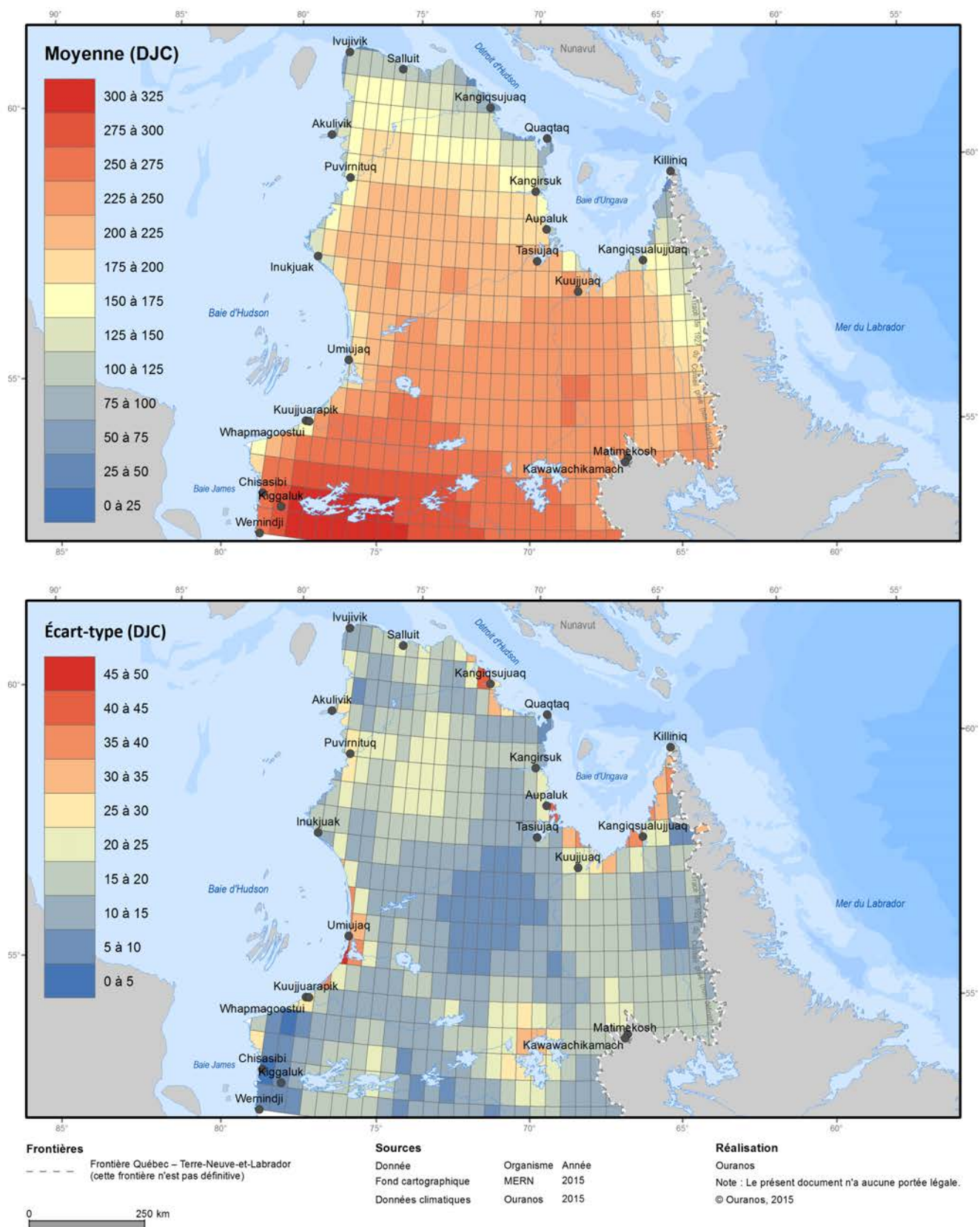


Figure A.69. Normales climatiques 1981 à 2010 (juillet) des degrés-jours de croissance (DJC). Le panneau du haut présente la moyenne, tandis que le panneau du bas présente l'écart-type, de quatre réanalyses (ERA-Interim, CFSR, JRA55, MERRA).

Degrés-jours de croissance (août)

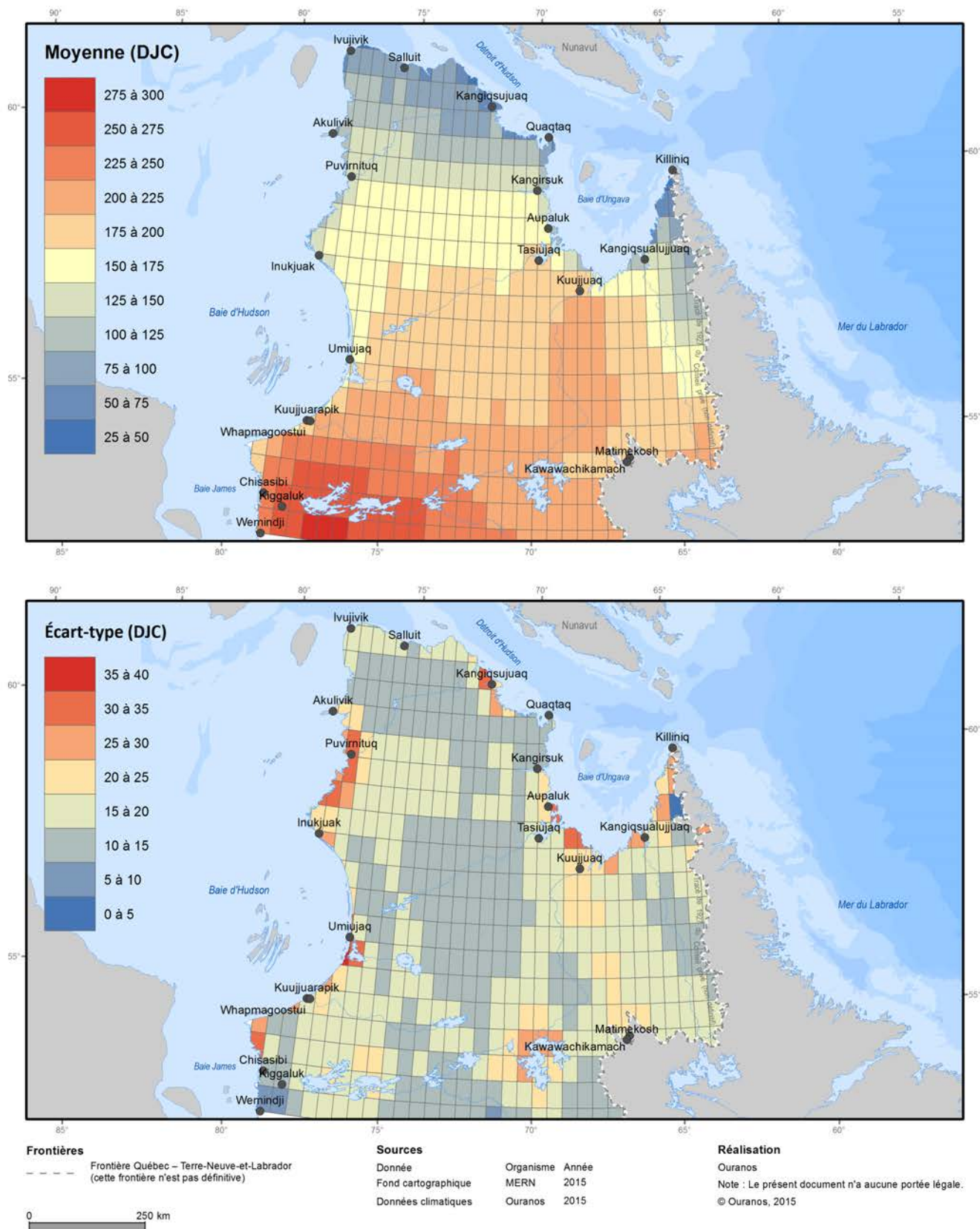


Figure A.70. Normales climatiques 1981 à 2010 (août) des degrés-jours de croissance (DJC). Le panneau du haut présente la moyenne, tandis que le panneau du bas présente l'écart-type, de quatre réanalyses (ERA-Interim, CFSR, JRA55, MERRA).

Degrés-jours de croissance (septembre)

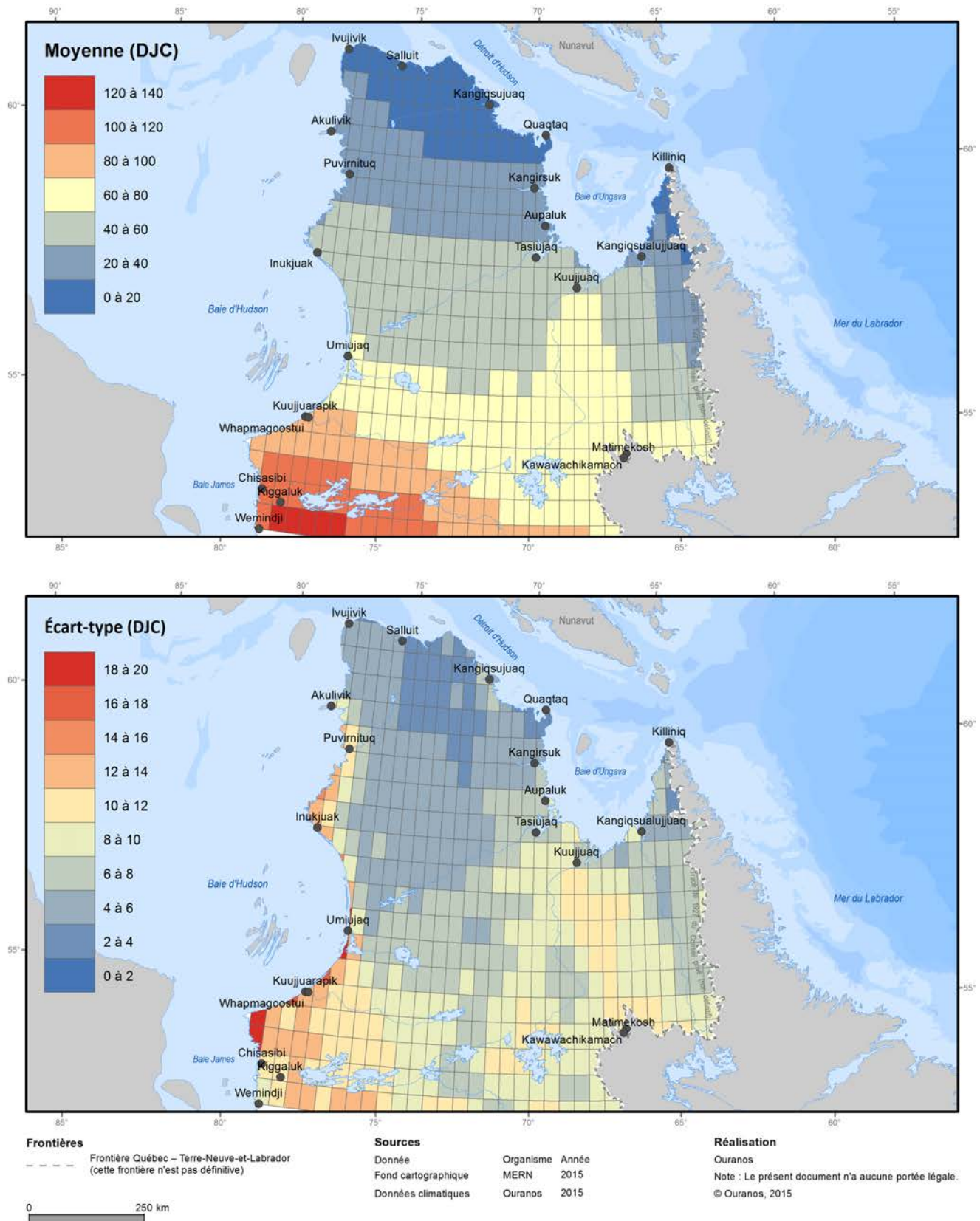


Figure A.71. Normales climatiques 1981 à 2010 (septembre) des degrés-jours de croissance (DJC). Le panneau du haut présente la moyenne, tandis que le panneau du bas présente l'écart-type, de quatre réanalyses (ERA-Interim, CFSR, JRA55, MERRA).

Degrés-jours de croissance (octobre)

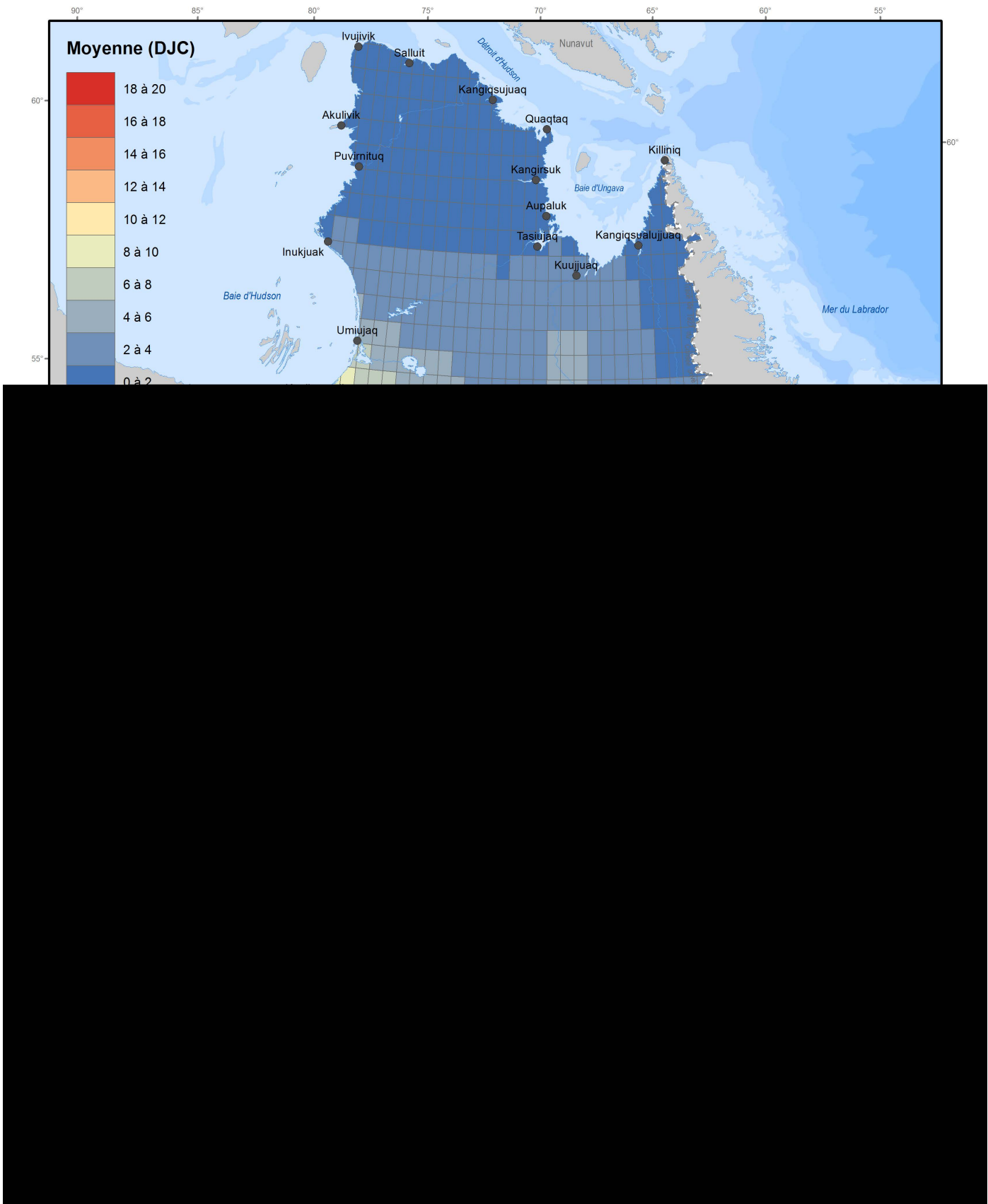


Figure A.72. Normales climatiques 1981 à 2010 (octobre) des degrés-jours de croissance (DJC). Le panneau du haut présente la moyenne, tandis que le panneau du bas présente l'écart-type, de quatre réanalyses (ERA-Interim, CFSR, JRA55, MERRA).

Degrés-jours de croissance (novembre)

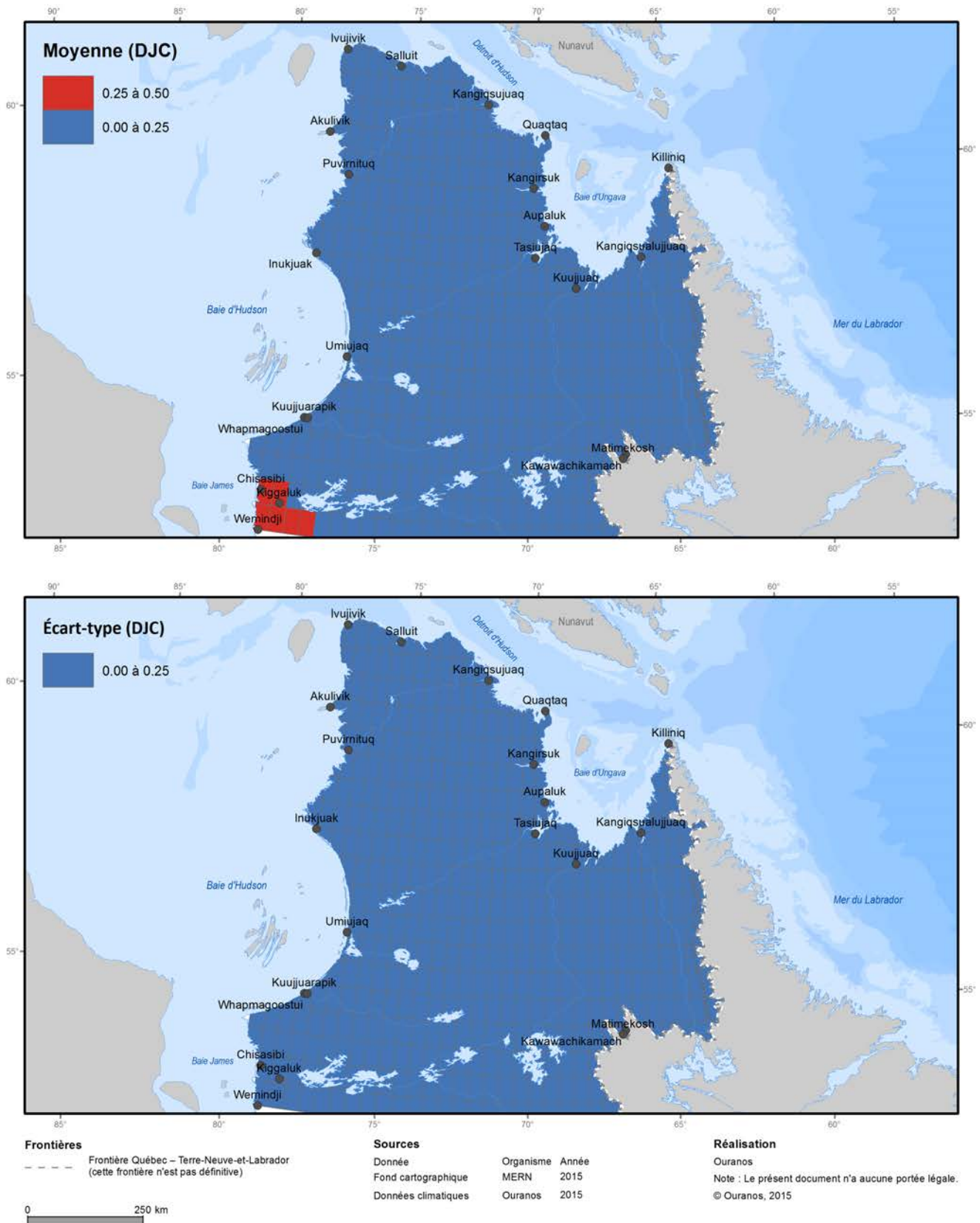


Figure A.73. Normales climatiques 1981 à 2010 (novembre) des degrés-jours de croissance (DJC). Le panneau du haut présente la moyenne, tandis que le panneau du bas présente l'écart-type, de quatre réanalyses (ERA-Interim, CFSR, JRA55, MERRA).

Degrés-jours de croissance (décembre)

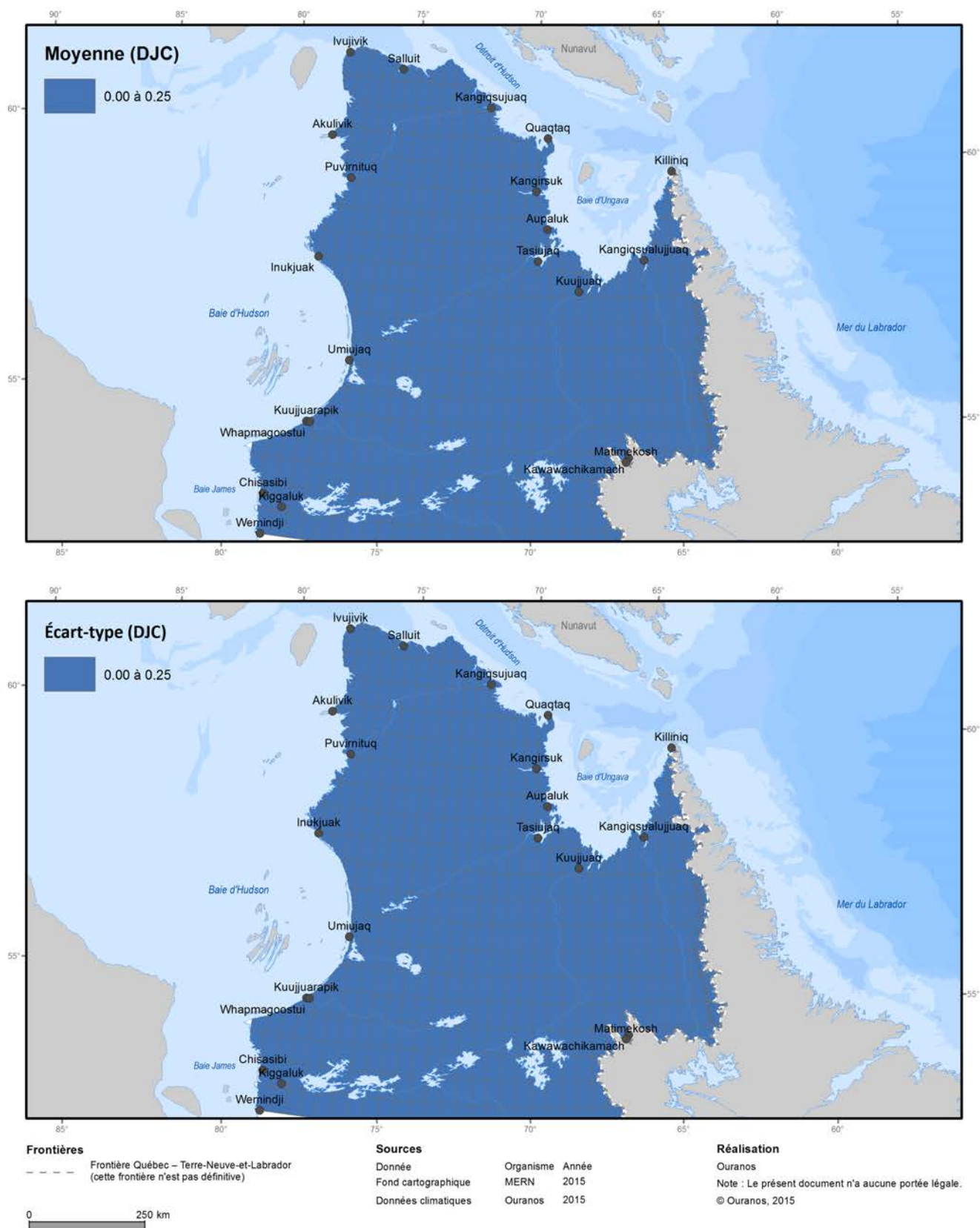


Figure A.74. Normales climatiques 1981 à 2010 (décembre) des degrés-jours de croissance (DJC). Le panneau du haut présente la moyenne, tandis que le panneau du bas présente l'écart-type, de quatre réanalyses (ERA-Interim, CFSR, JRA55, MERRA).

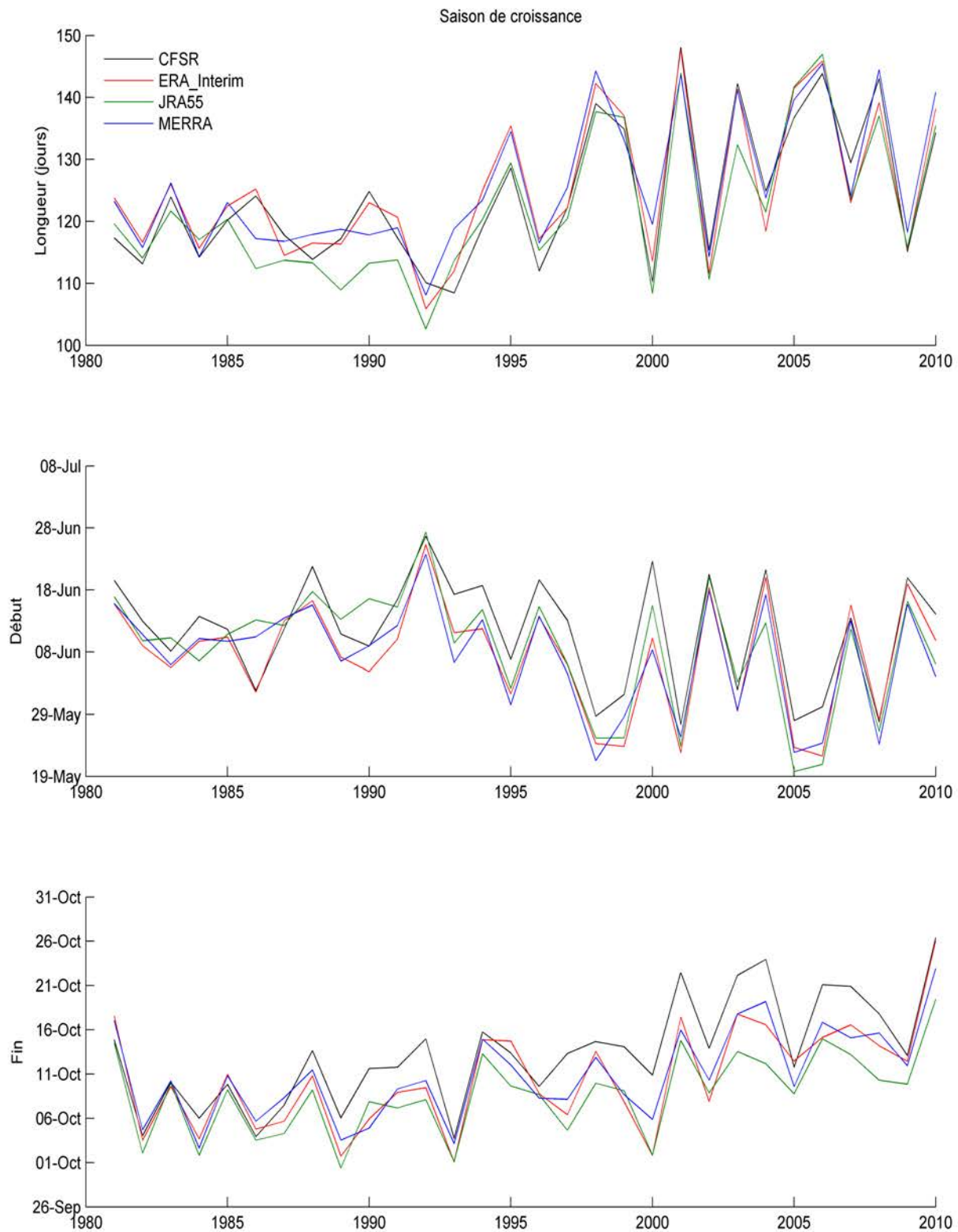


Figure A.75. Évolution de la saison de croissance selon chacune des quatre réanalyses (ERA-Interim, CFSR, JRA55, MERRA), moyennée pour l'ensemble du territoire à l'étude.

Longueur de la saison de croissance

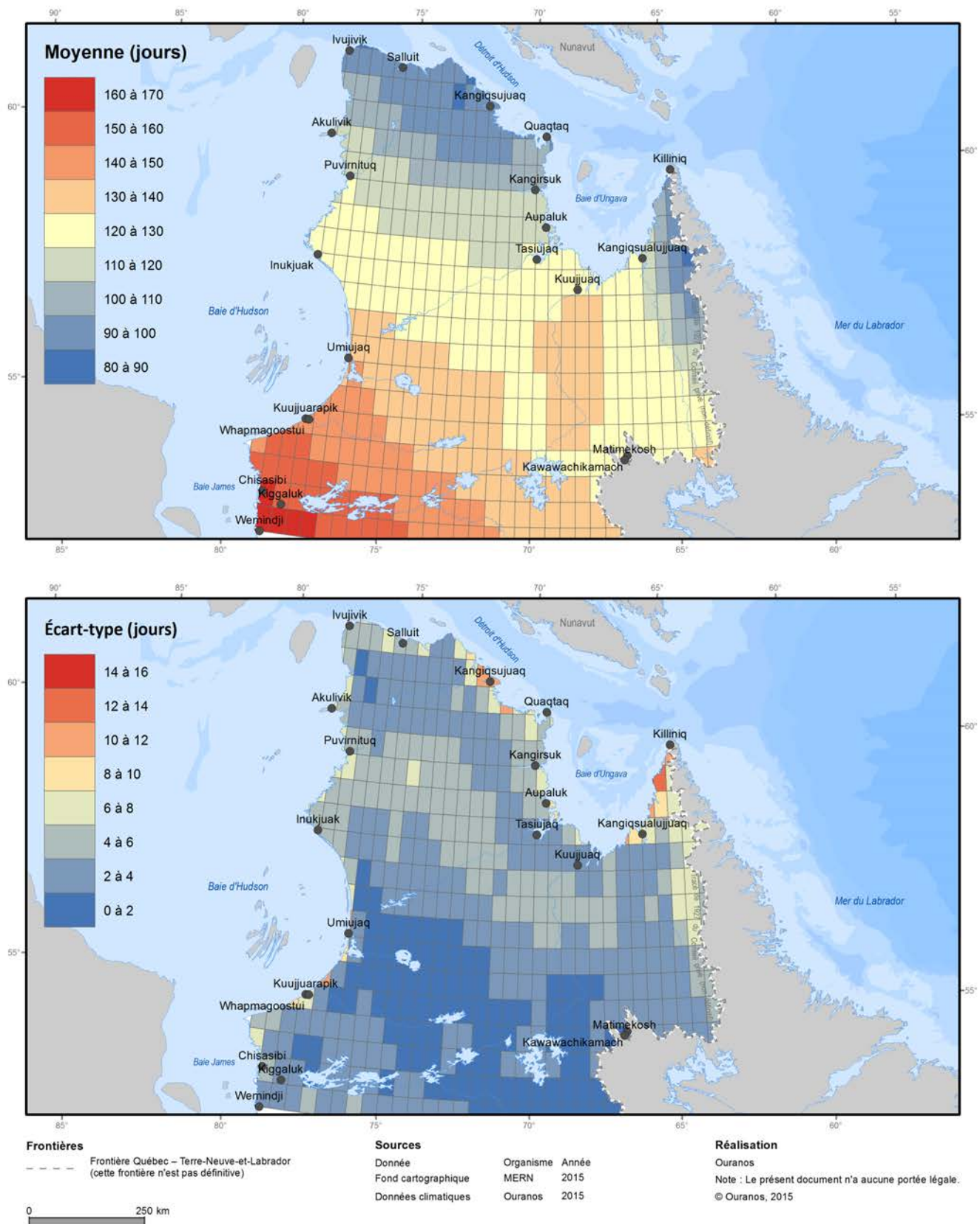


Figure A.76. Normales climatiques 1981 à 2010 de la longueur de la saison de croissance (jours). Le panneau du haut présente la moyenne, tandis que le panneau du bas présente l'écart-type, de quatre réanalyses (ERA-Interim, CFSR, JRA55, MERRA).

Début de la saison de croissance

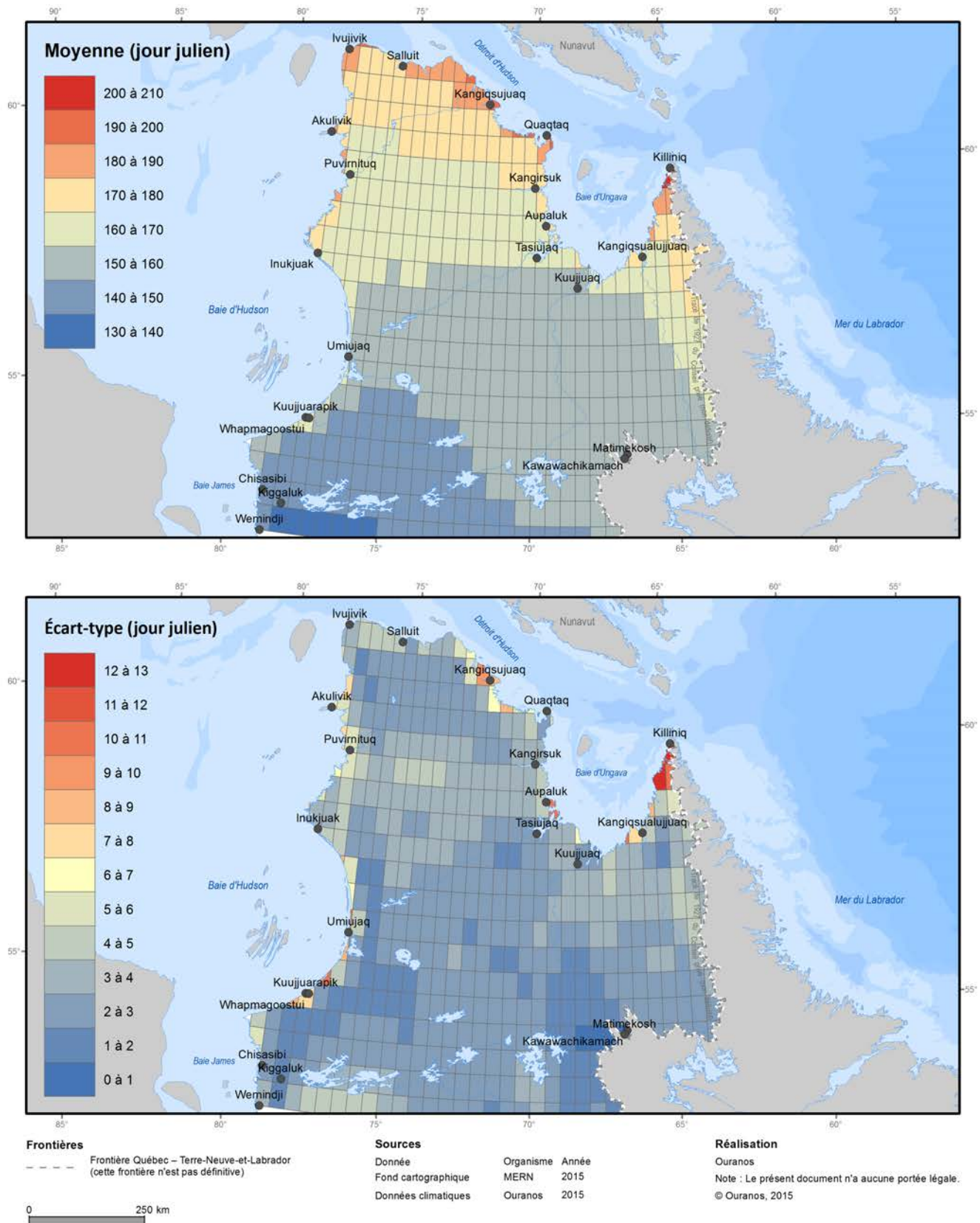


Figure A.77. Normales climatiques 1981 à 2010 du début de la saison de croissance (jour julien). Le panneau du haut présente la moyenne, tandis que le panneau du bas présente l'écart-type, de quatre réanalyses (ERA-Interim, CFSR, JRA55, MERRA).

Fin de la saison de croissance

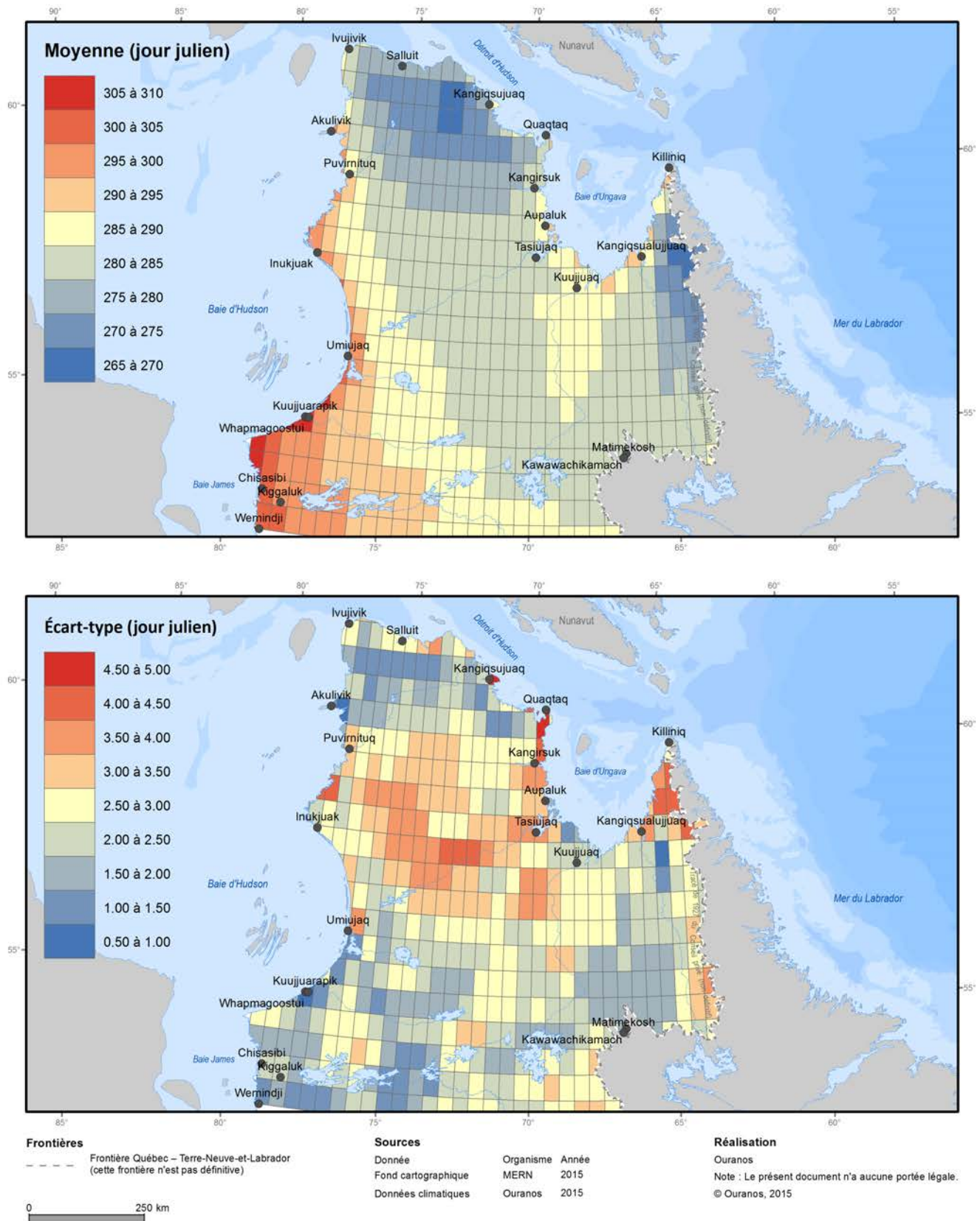


Figure A.78. Normales climatiques 1981 à 2010 de la fin de la saison de croissance (jour julien). Le panneau du haut présente la moyenne, tandis que le panneau du bas présente l'écart-type, de quatre réanalyses (ERA-Interim, CFSR, JRA55, MERRA).

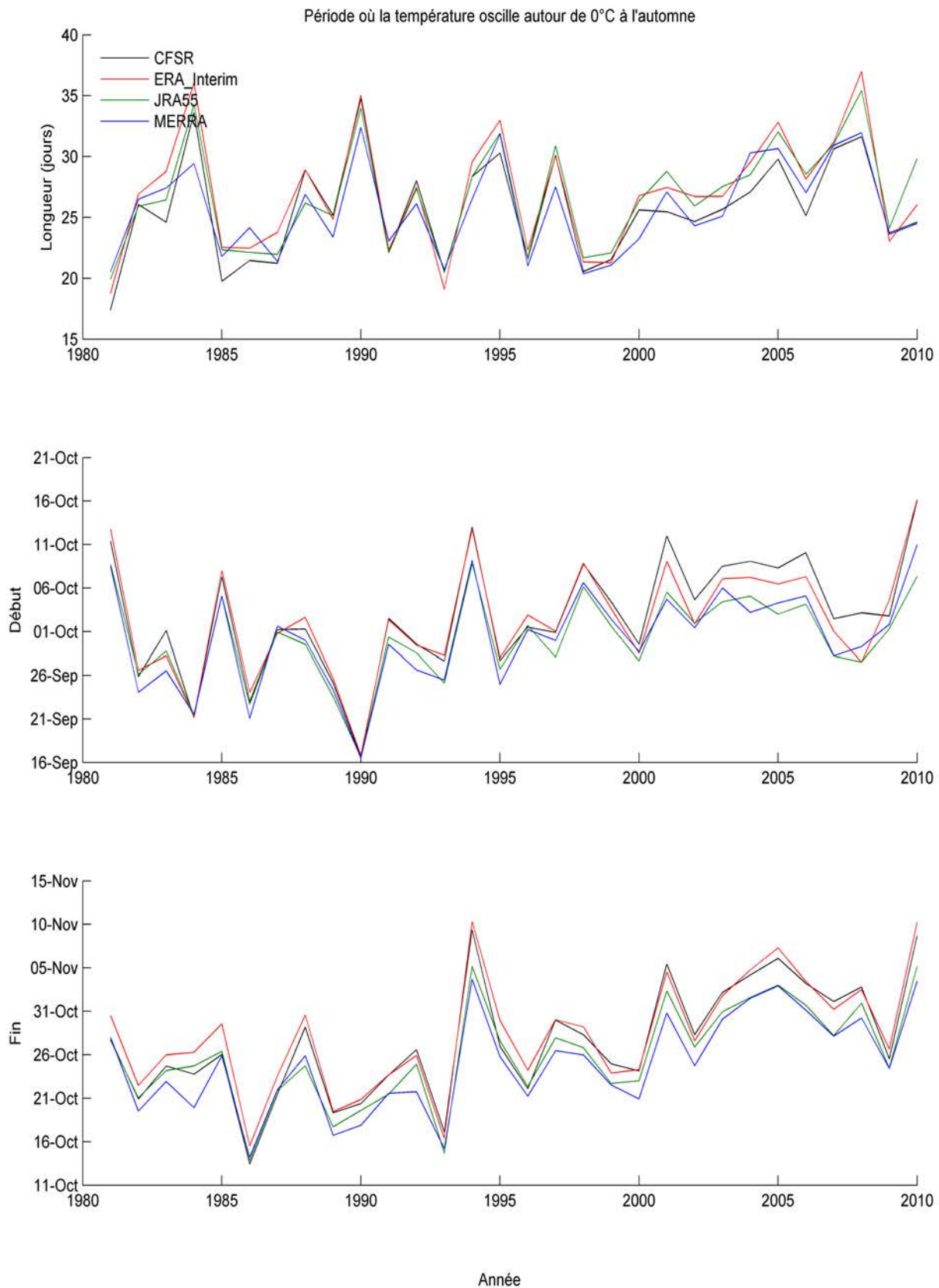


Figure A.79. Évolution de la période où la température oscille autour de 0°C à l'automne selon chacune des quatre réanalyses (ERA-Interim, CFSR, JRA55, MERRA), moyennée pour l'ensemble du territoire à l'étude.

Longueur de la période où la température oscille autour de 0°C (Automne)

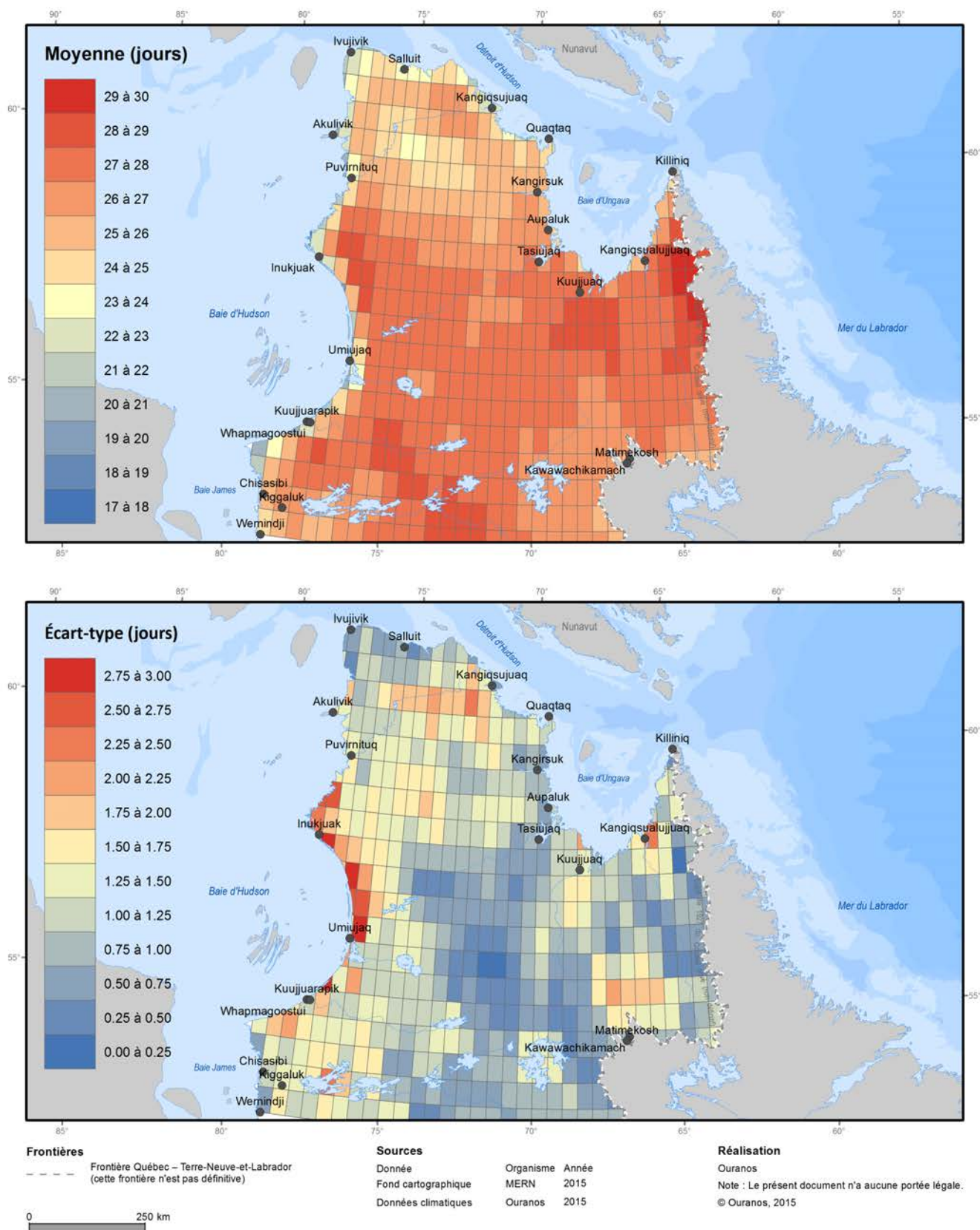


Figure A.80. Normales climatiques 1981 à 2010 de la longueur de la période où la température oscille autour de 0°C à l'automne (jours). Le panneau du haut présente la moyenne, tandis que le panneau du bas présente l'écart-type, de quatre réanalyses (ERA-Interim, CFSR, JRA55, MERRA).

Début de la période où la température oscille autour de 0°C (Automne)

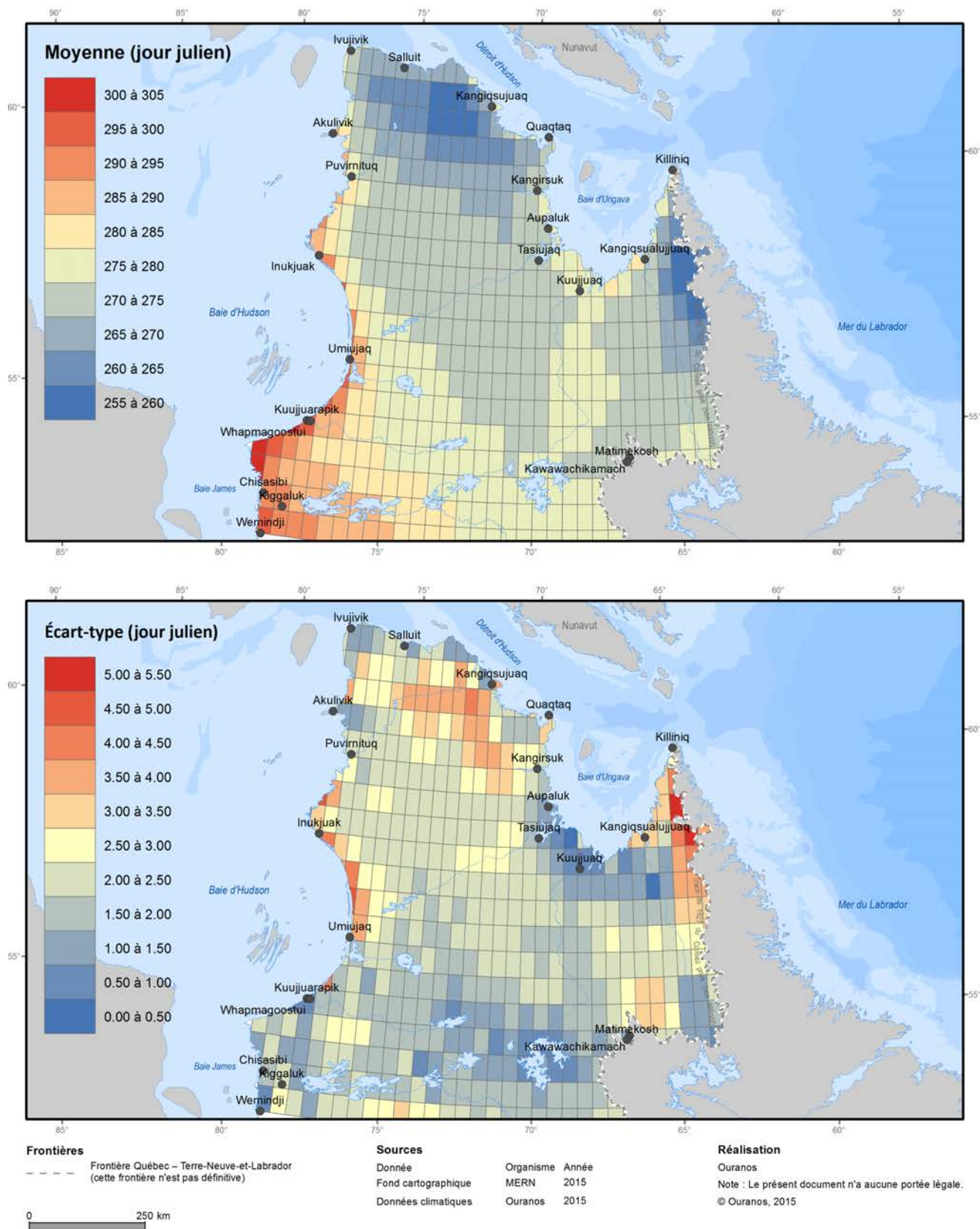


Figure A.81. Normales climatiques 1981 à 2010 du début de la période où la température oscille autour de 0°C à l'automne (jour julien). Le panneau du haut présente la moyenne, tandis que le panneau du bas présente l'écart-type, de quatre réanalyses (ERA-Interim, CFSR, JRA55, MERRA).

Fin de la période où la température oscille autour de 0°C (Automne)

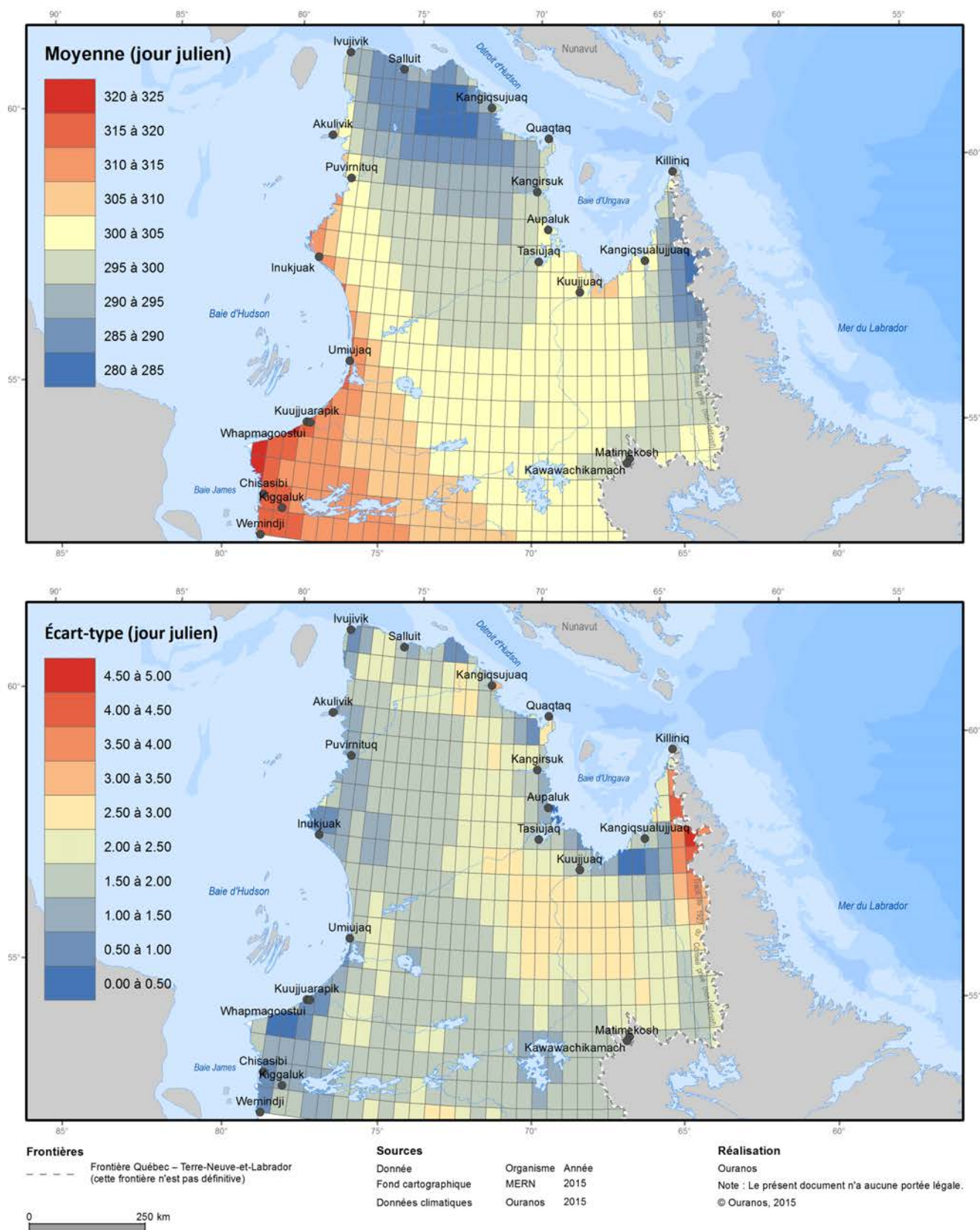


Figure A.82. Normales climatiques 1981 à 2010 de la fin de la période où la température oscille autour de 0°C à l'automne (jour julien). Le panneau du haut présente la moyenne, tandis que le panneau du bas présente l'écart-type, de quatre réanalyses (ERA-Interim, CFSR, JRA55, MERRA).

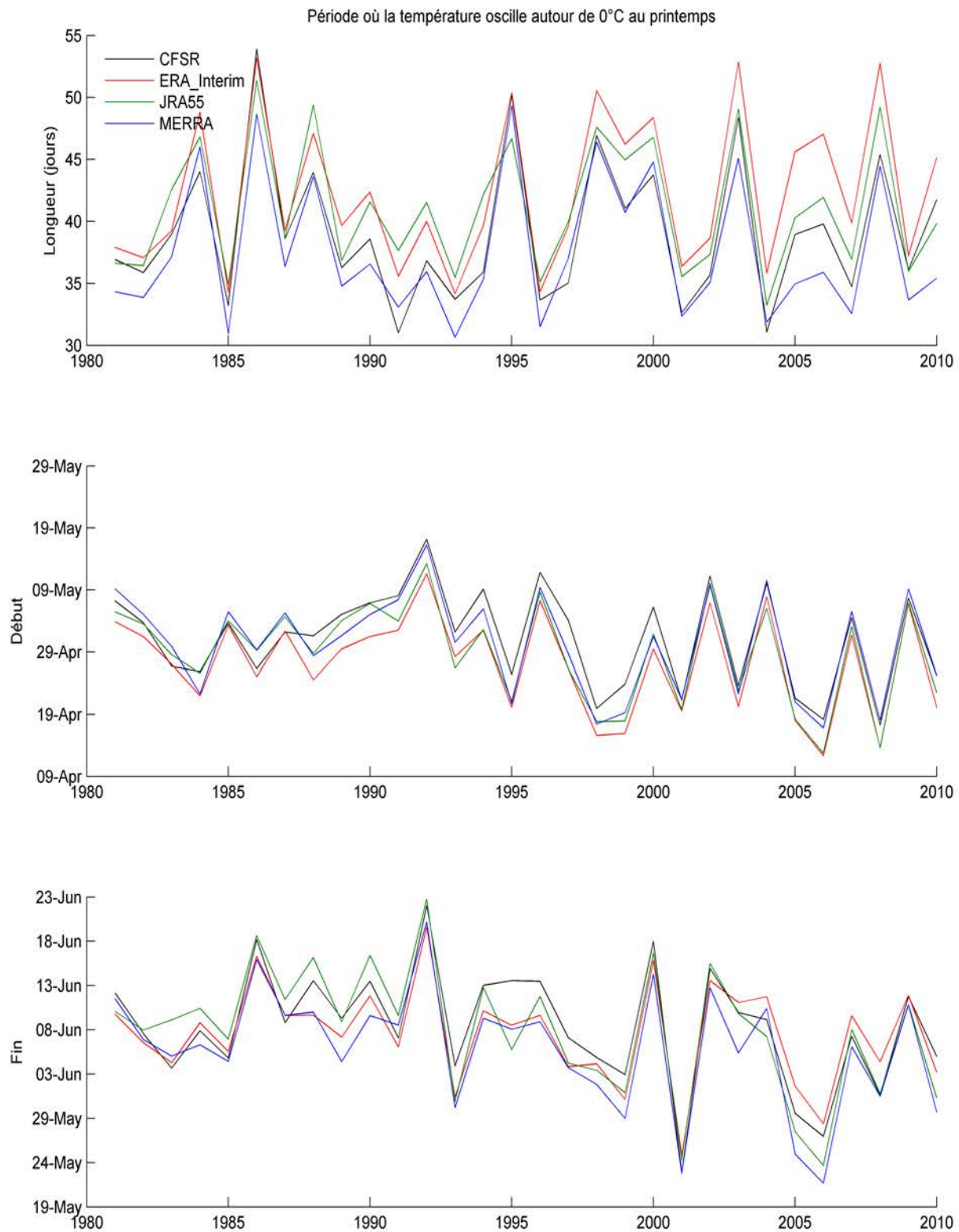


Figure A.83. Évolution de la période où la température oscille autour de 0°C au printemps selon chacune des quatre réanalyses (ERA-Interim, CFSR, JRA55, MERRA), moyennée pour l'ensemble du territoire à l'étude.

Longueur de la période où la température oscille autour de 0°C (Printemps)

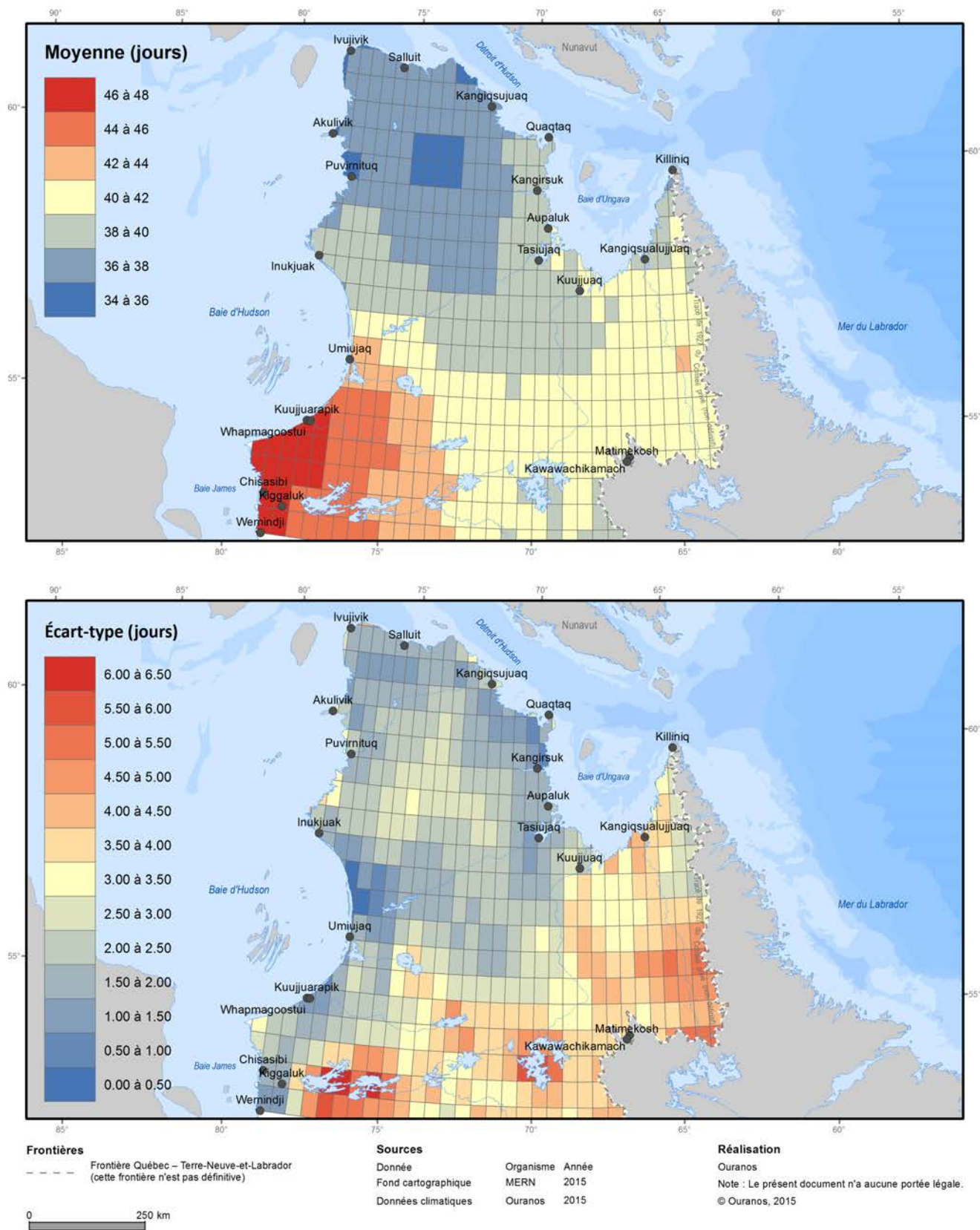


Figure A.84. Normales climatiques 1981 à 2010 de la longueur de la période où la température oscille autour de 0°C au printemps (jours). Le panneau du haut présente la moyenne, tandis que le panneau du bas présente l'écart-type, de quatre réanalyses (ERA-Interim, CFSR, JRA55, MERRA).

Début de la période où la température oscille autour de 0°C (Printemps)

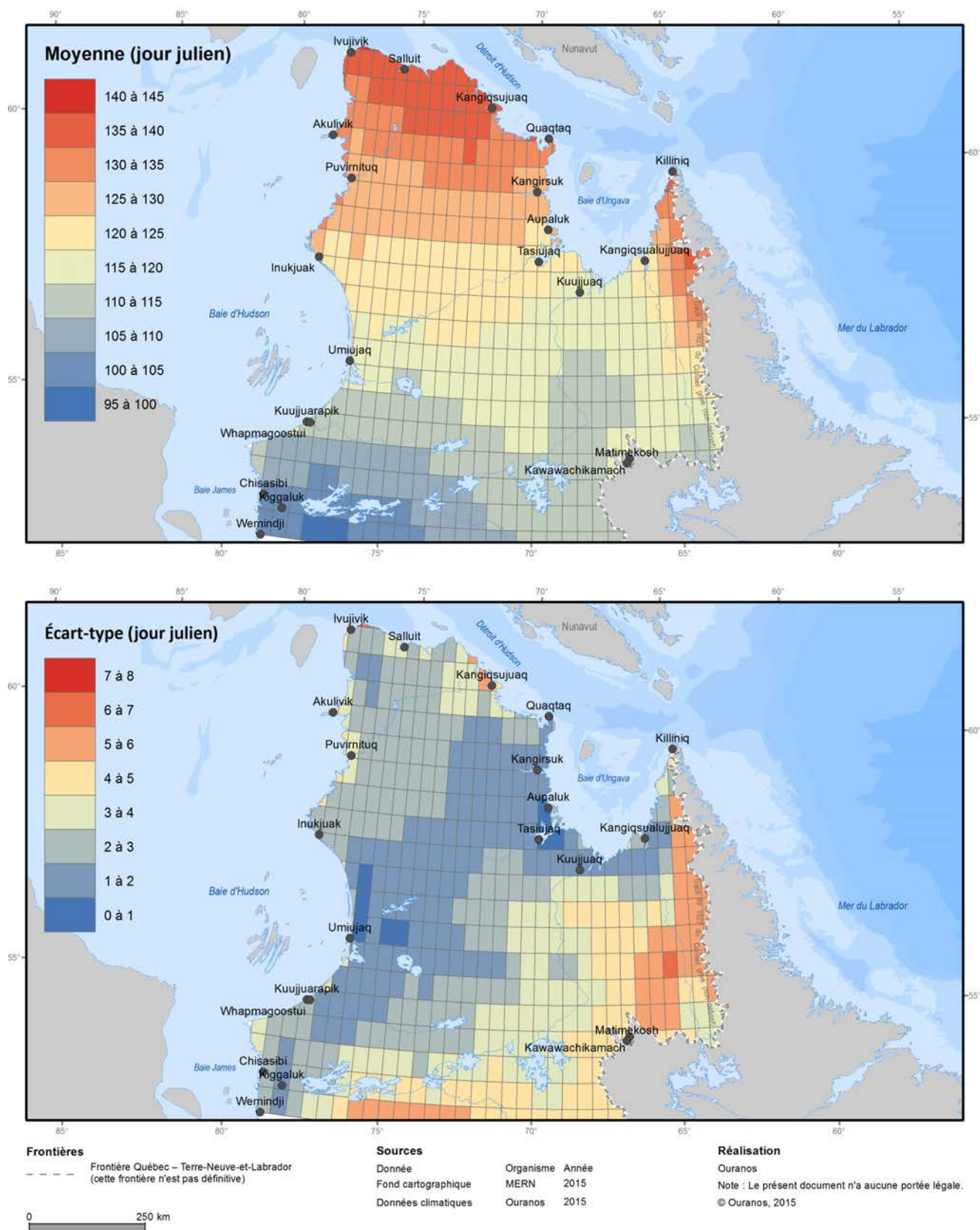


Figure A.85. Normales climatiques 1981 à 2010 du début de la période où la température oscille autour de 0°C au printemps (jour julien). Le panneau du haut présente la moyenne, tandis que le panneau du bas présente l'écart-type, de quatre réanalyses (ERA-Interim, CFSR, JRA55, MERRA).

Fin de la période où la température oscille autour de 0°C (Printemps)

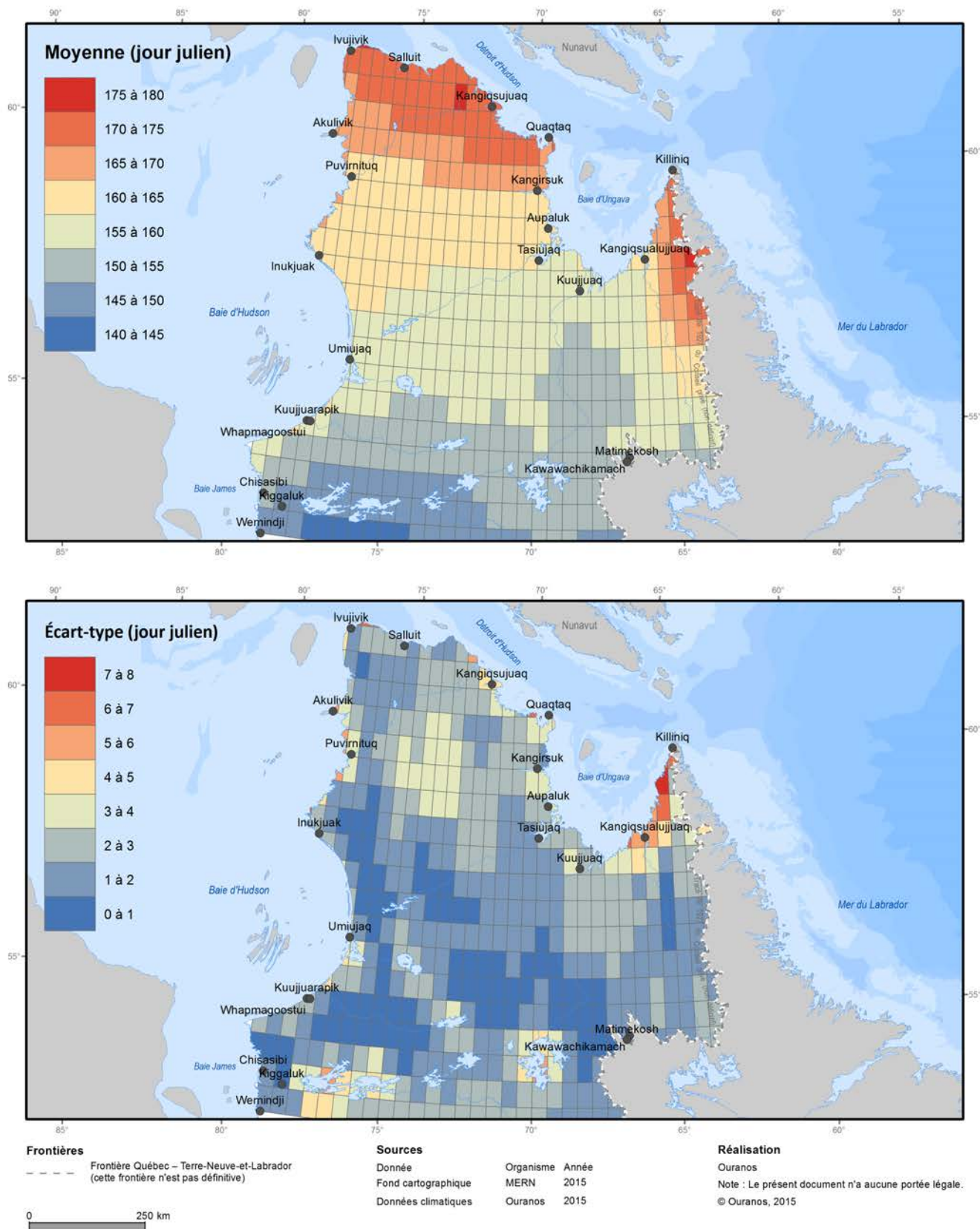


Figure A.86. Normales climatiques 1981 à 2010 de la fin de la période où la température oscille autour de 0°C au printemps (jour julien). Le panneau du haut présente la moyenne, tandis que le panneau du bas présente l'écart-type, de quatre réanalyses (ERA-Interim, CFSR, JRA55, MERRA).

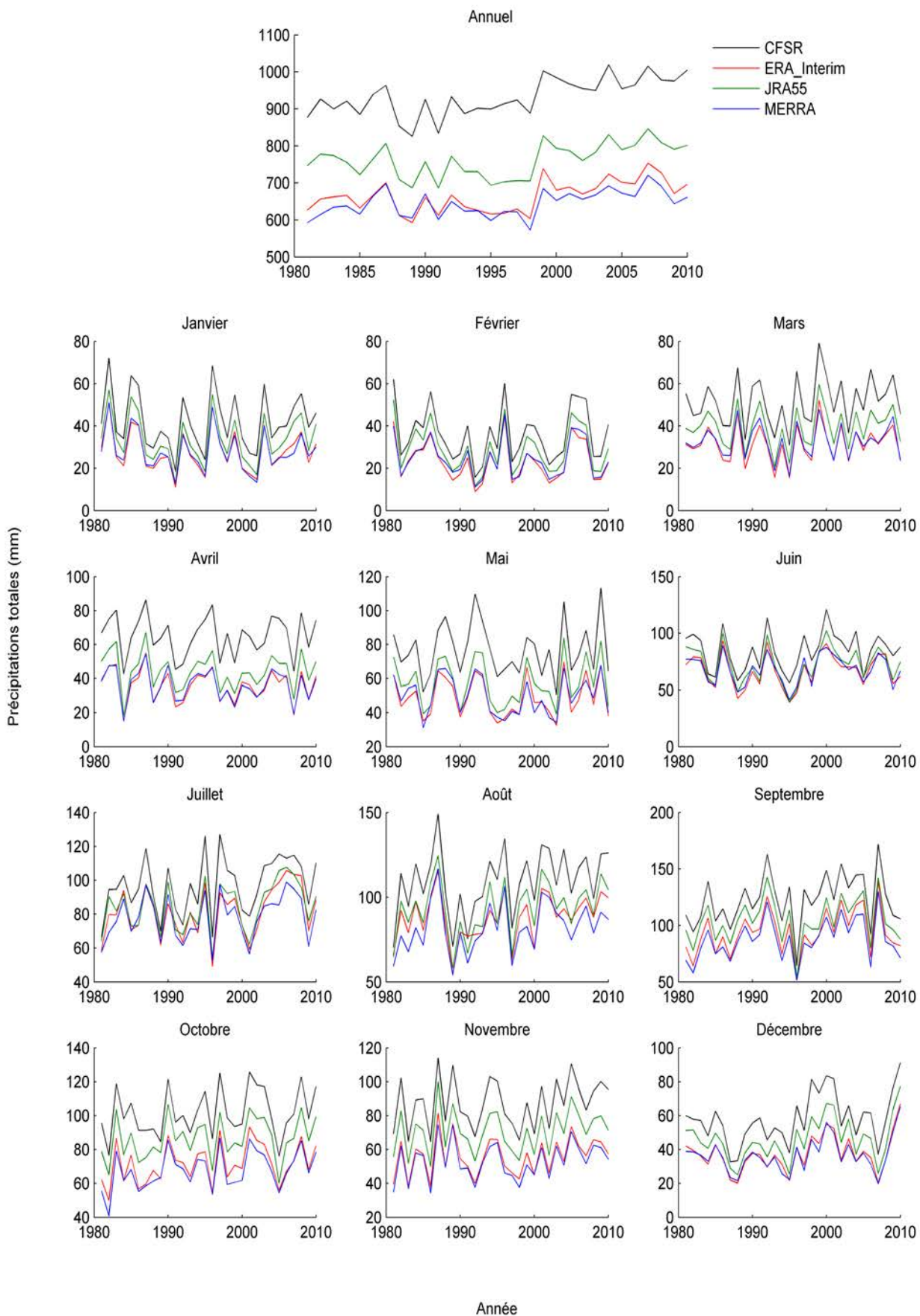


Figure A.87. Évolution des précipitations totales (mm) selon chacune des quatre réanalyses (ERA-Interim, CFSR, JRA55, MERRA), moyennée pour l'ensemble du territoire à l'étude.

Précipitations totales (annuelle)

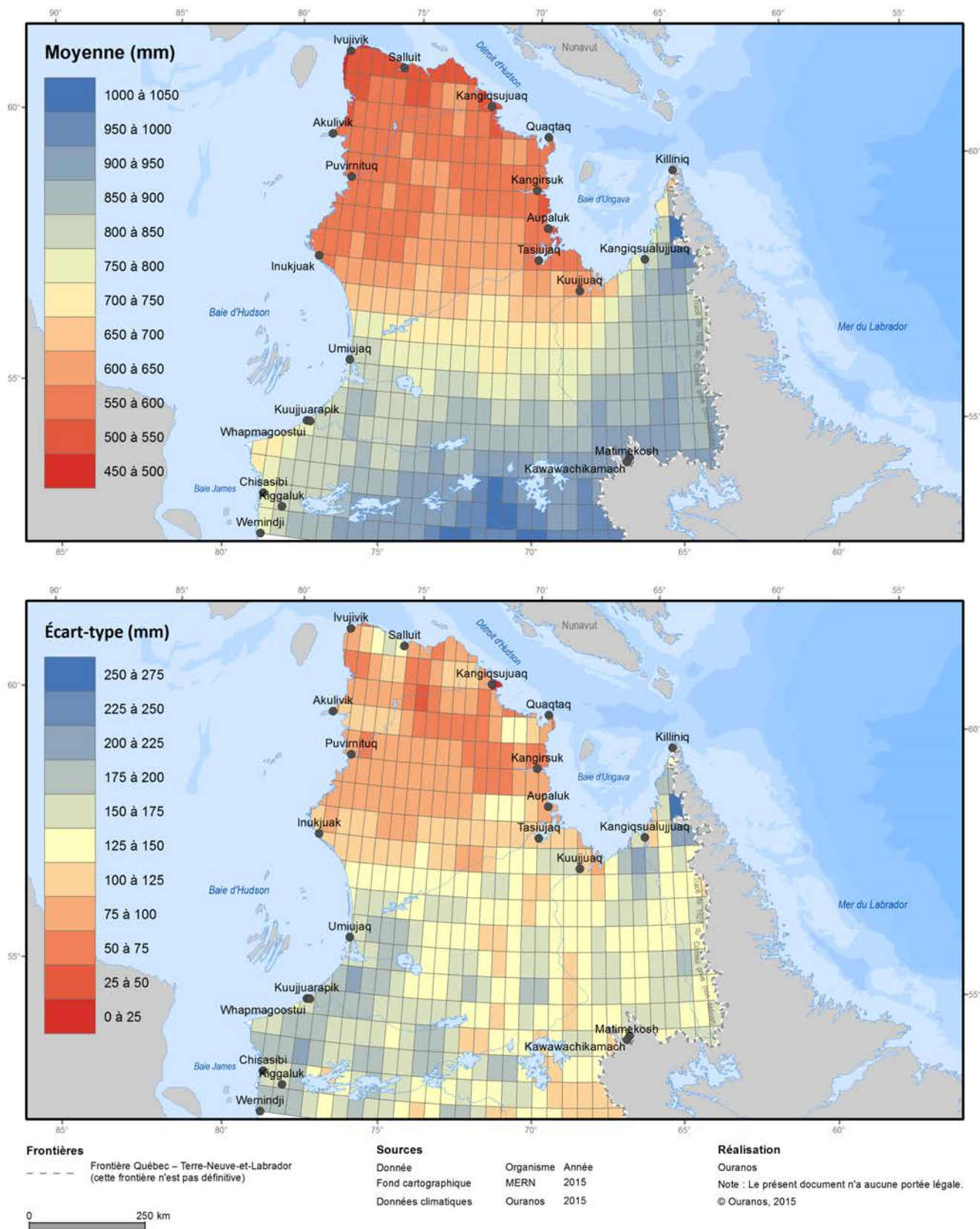


Figure A.88. Normales climatiques 1981 à 2010 (annuelle) des précipitations totales (mm). Le panneau du haut présente la moyenne, tandis que le panneau du bas présente l'écart-type, de quatre réanalyses (ERA-Interim, CFSR, JRA55, MERRA).

Précipitations totales (janvier)

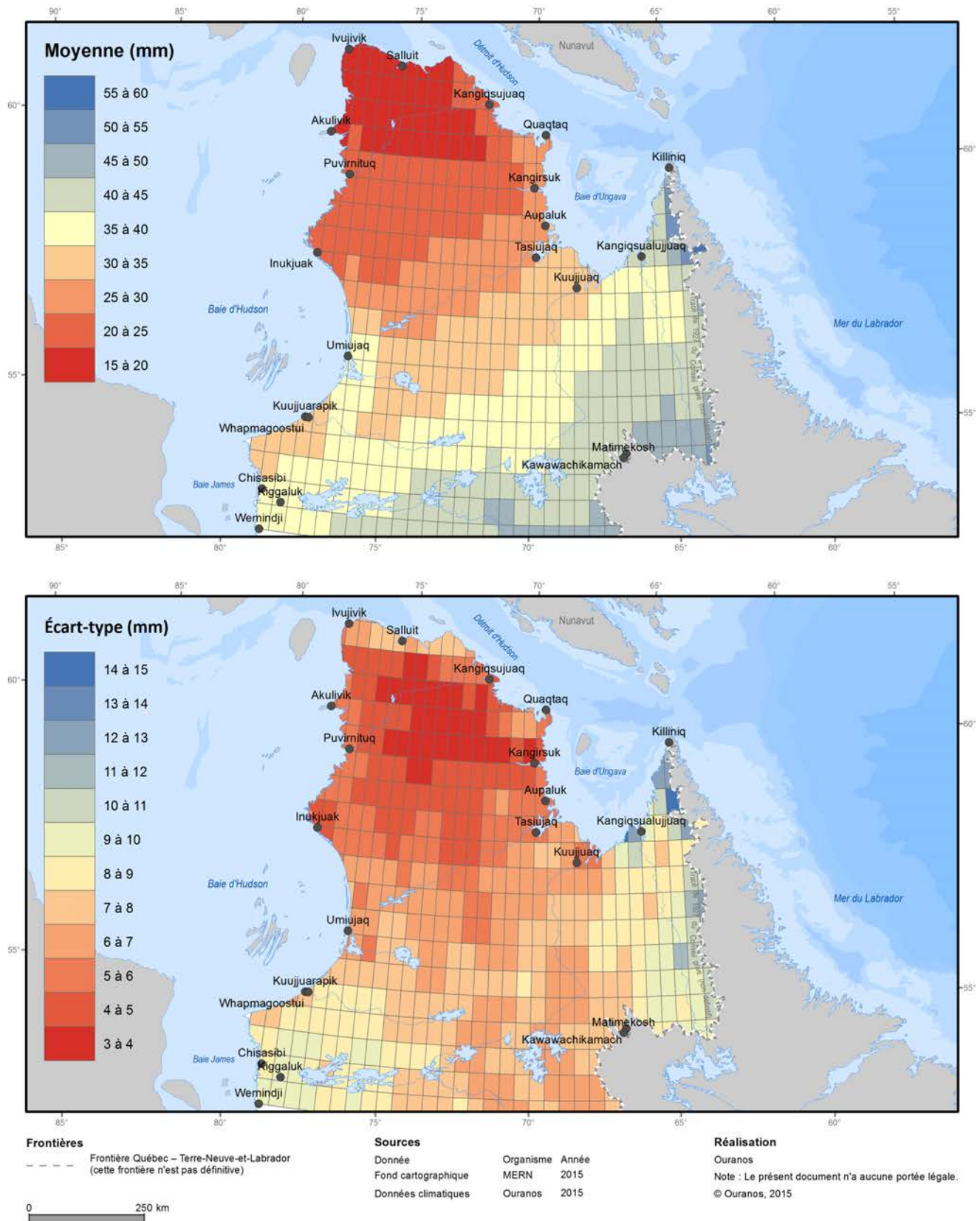


Figure A.89. Normales climatiques 1981 à 2010 (janvier) des précipitations totales (mm). Le panneau du haut présente la moyenne, tandis que le panneau du bas présente l'écart-type, de quatre réanalyses (ERA-Interim, CFSR, JRA55, MERRA).

Précipitations totales (février)

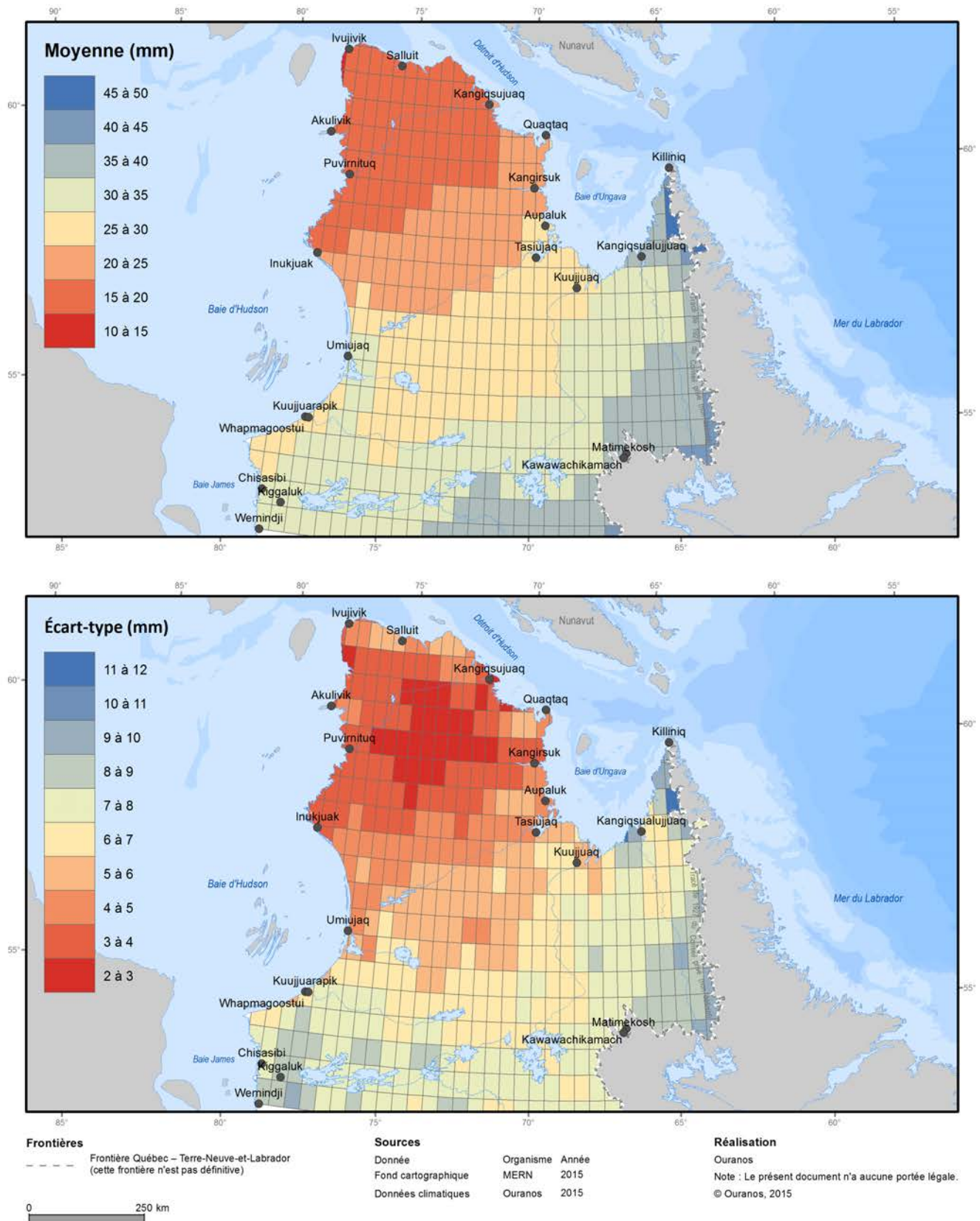


Figure A.90. Normales climatiques 1981 à 2010 (février) des précipitations totales (mm). Le panneau du haut présente la moyenne, tandis que le panneau du bas présente l'écart-type, de quatre réanalyses (ERA-Interim, CFSR, JRA55, MERRA).

Précipitations totales (mars)

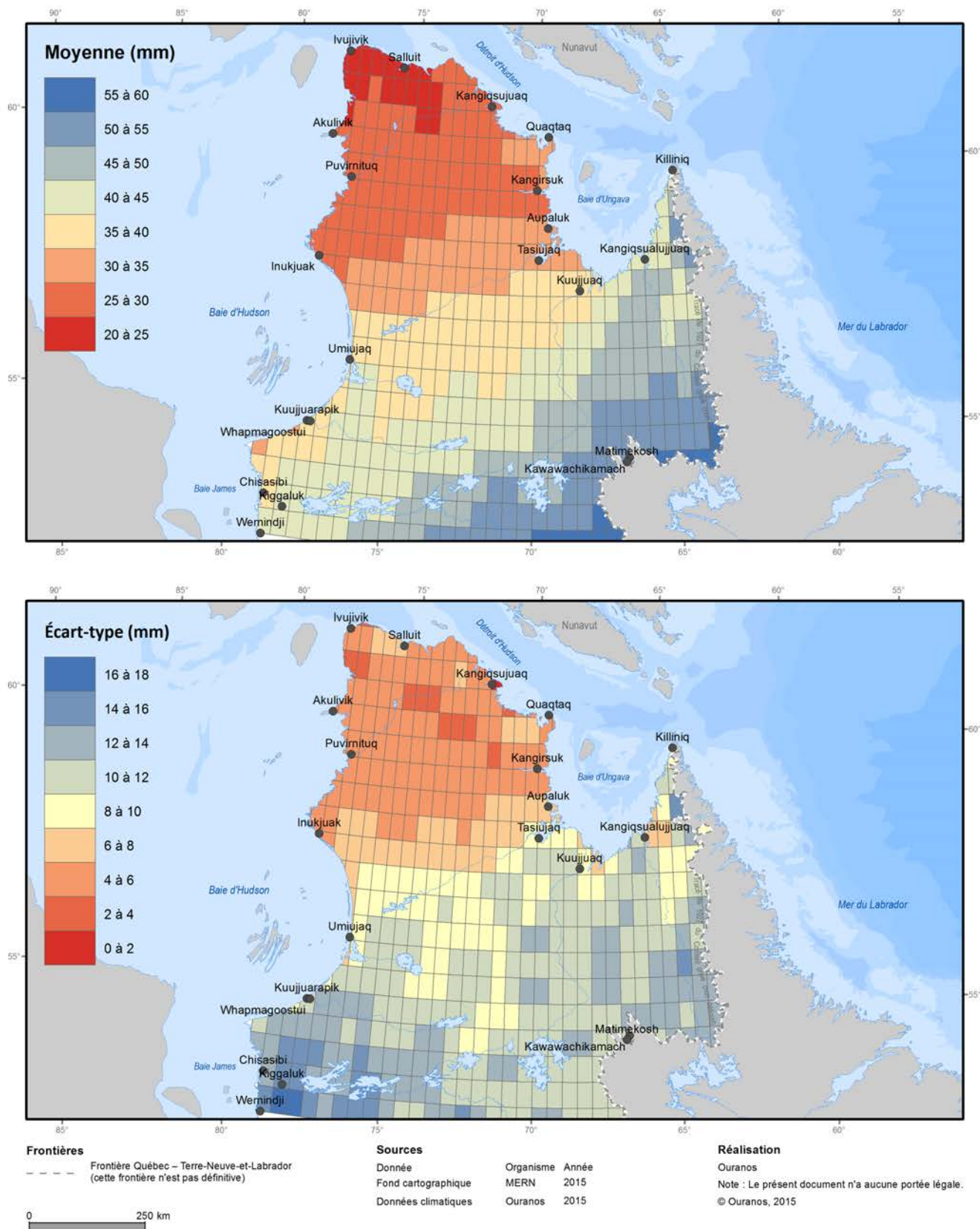


Figure A.91. Normales climatiques 1981 à 2010 (mars) des précipitations totales (mm). Le panneau du haut présente la moyenne, tandis que le panneau du bas présente l'écart-type, de quatre réanalyses (ERA-Interim, CFSR, JRA55, MERRA).

Précipitations totales (avril)

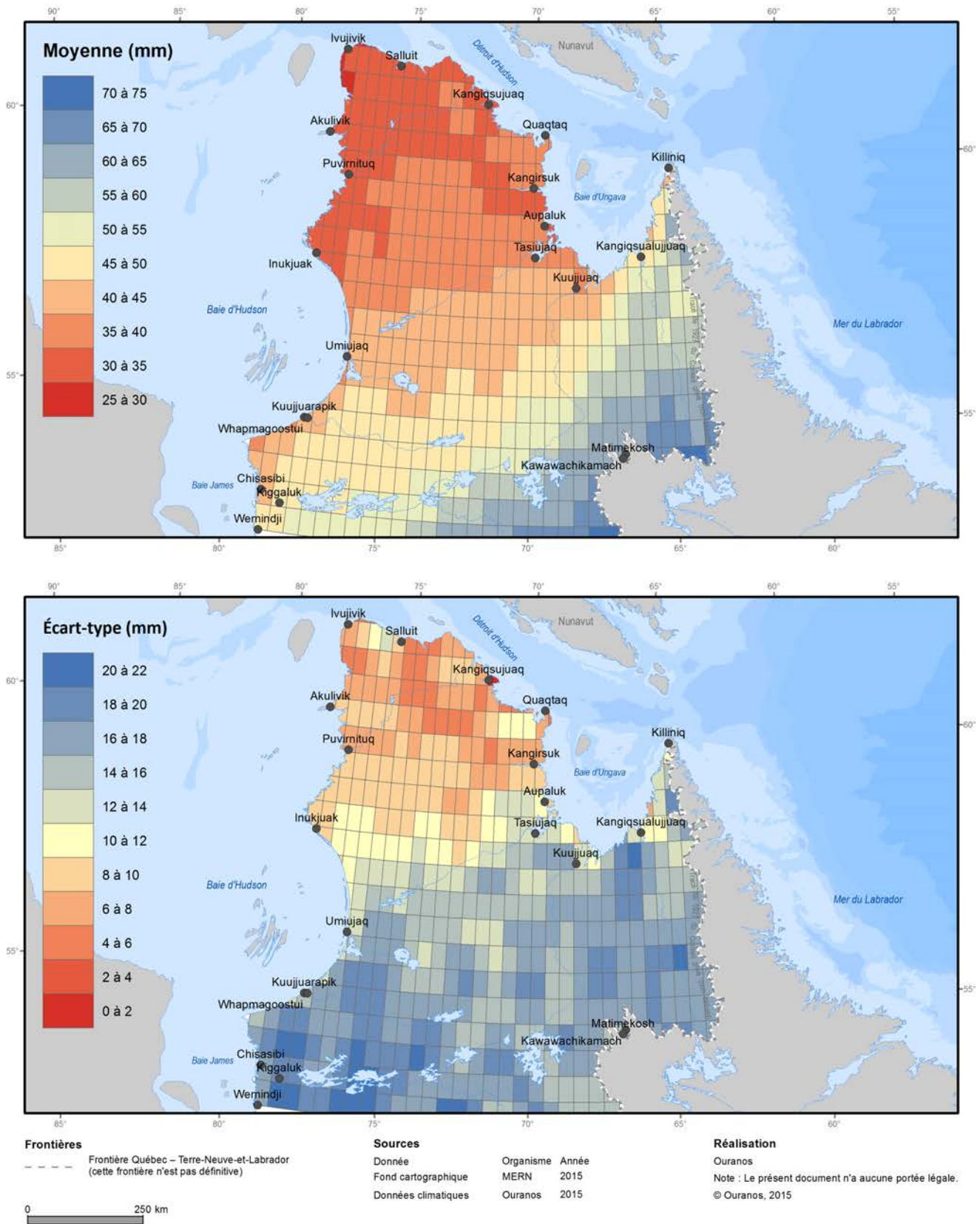


Figure A.92. Normales climatiques 1981 à 2010 (avril) des précipitations totales (mm). Le panneau du haut présente la moyenne, tandis que le panneau du bas présente l'écart-type, de quatre réanalyses (ERA-Interim, CFSR, JRA55, MERRA).

Précipitations totales (mai)

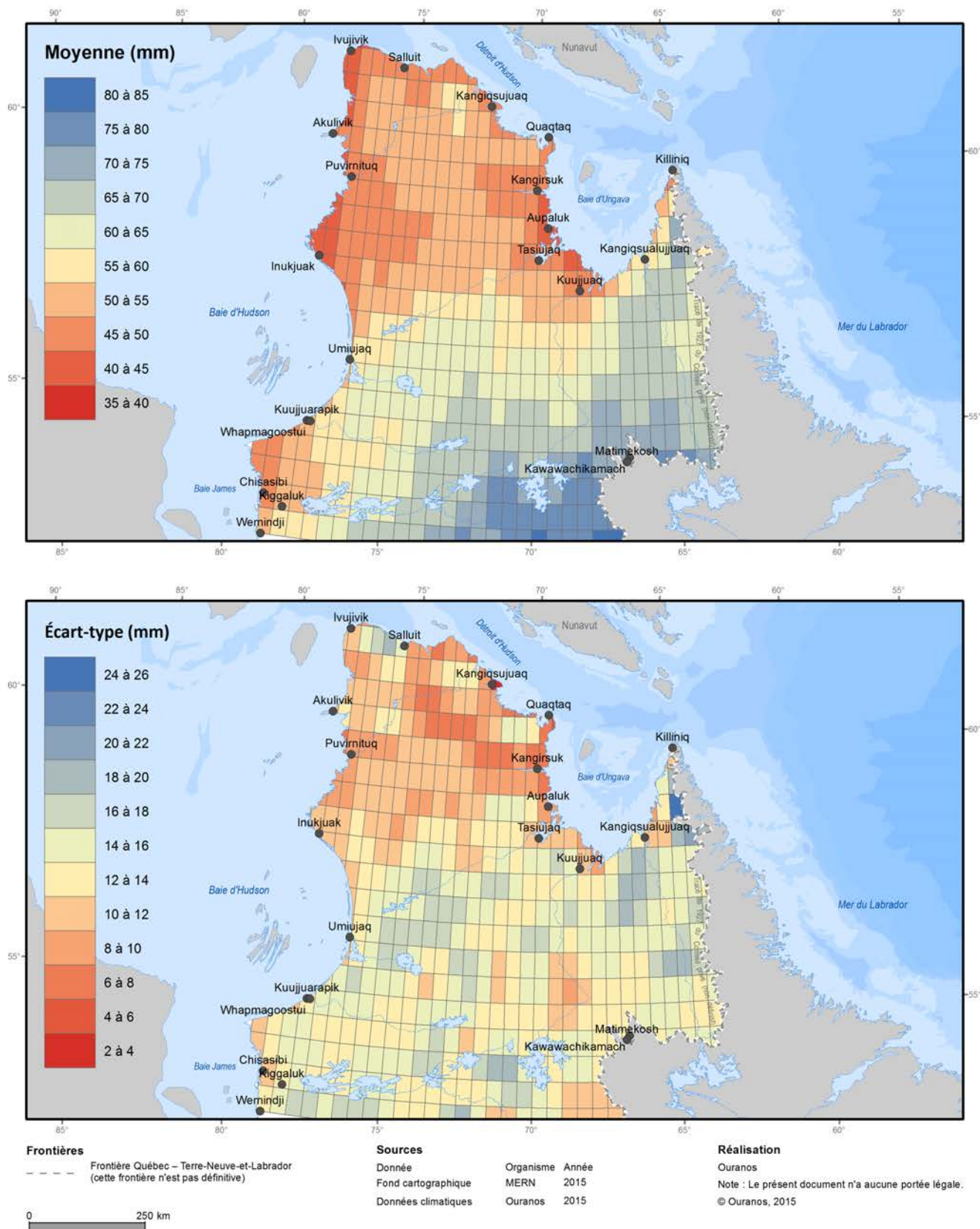


Figure A.93. Normales climatiques 1981 à 2010 (mai) des précipitations totales (mm). Le panneau du haut présente la moyenne, tandis que le panneau du bas présente l'écart-type, de quatre réanalyses (ERA-Interim, CFSR, JRA55, MERRA).

Précipitations totales (juin)

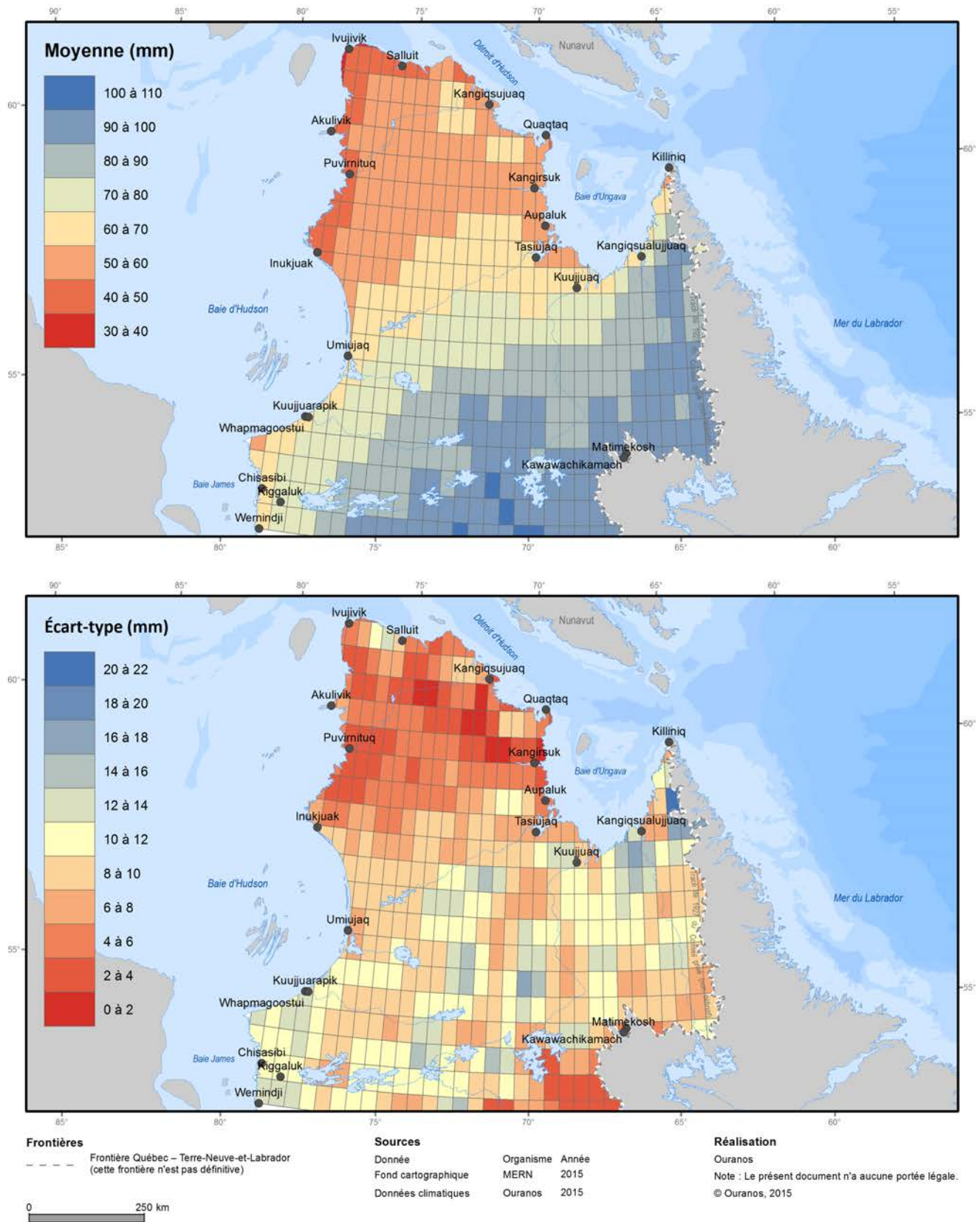


Figure A.94. Normales climatiques 1981 à 2010 (juin) des précipitations totales (mm). Le panneau du haut présente la moyenne, tandis que le panneau du bas présente l'écart-type, de quatre réanalyses (ERA-Interim, CFSR, JRA55, MERRA).

Précipitations totales (juillet)

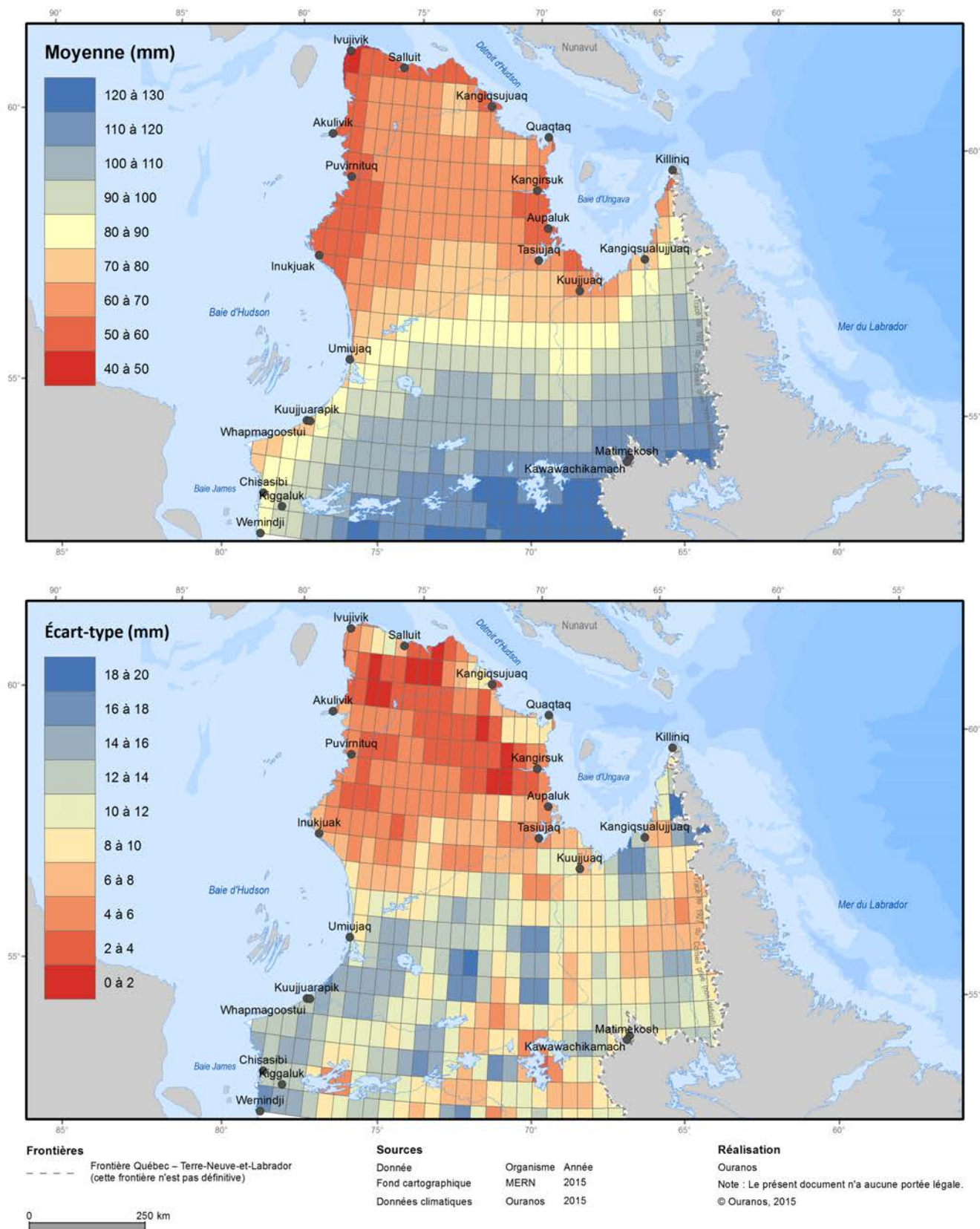


Figure A.95. Normales climatiques 1981 à 2010 (juillet) des précipitations totales (mm). Le panneau du haut présente la moyenne, tandis que le panneau du bas présente l'écart-type, de quatre réanalyses (ERA-Interim, CFSR, JRA55, MERRA).

Précipitations totales (août)

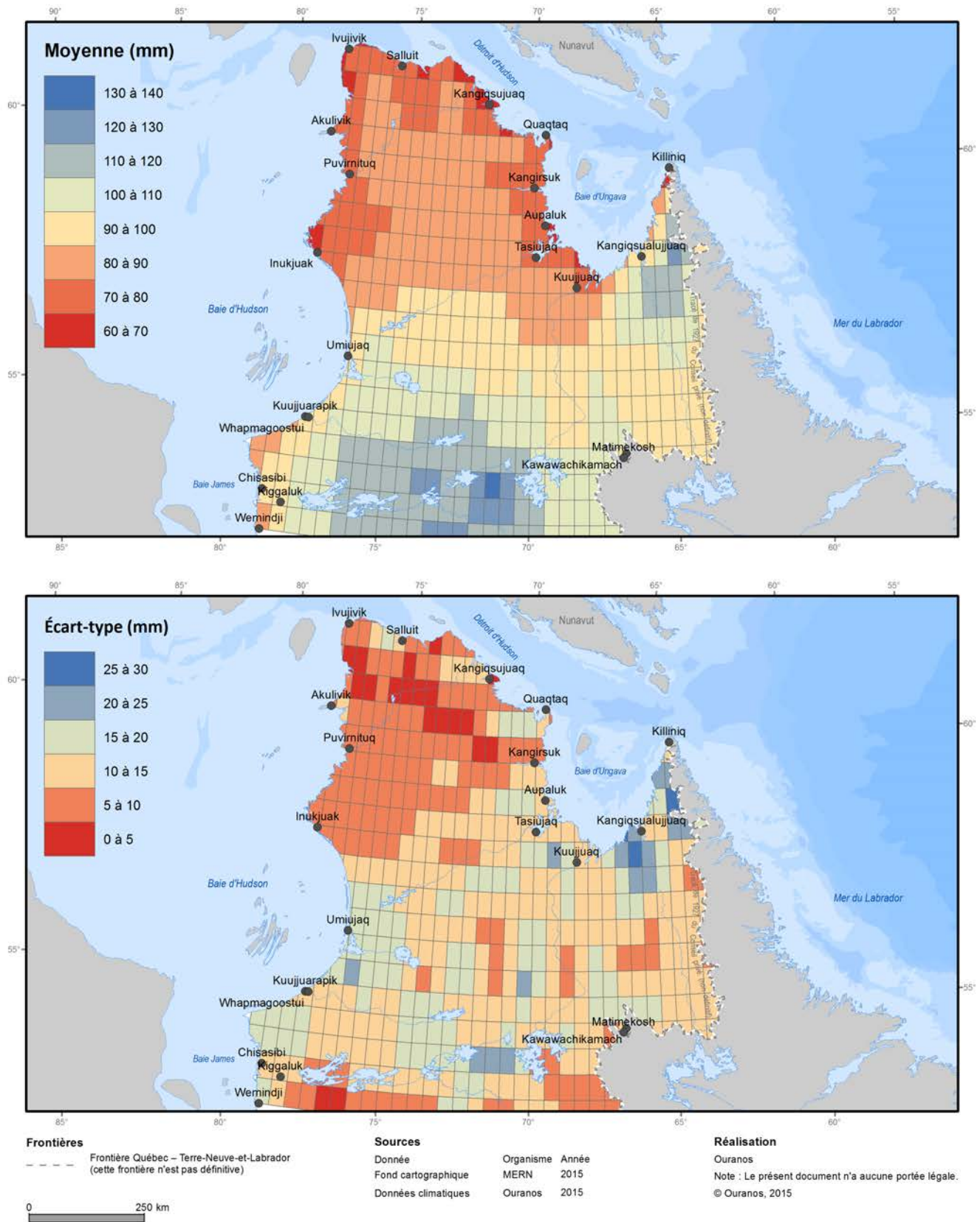


Figure A.96. Normales climatiques 1981 à 2010 (août) des précipitations totales (mm). Le panneau du haut présente la moyenne, tandis que le panneau du bas présente l'écart-type, de quatre réanalyses (ERA-Interim, CFSR, JRA55, MERRA).

Précipitations totales (septembre)

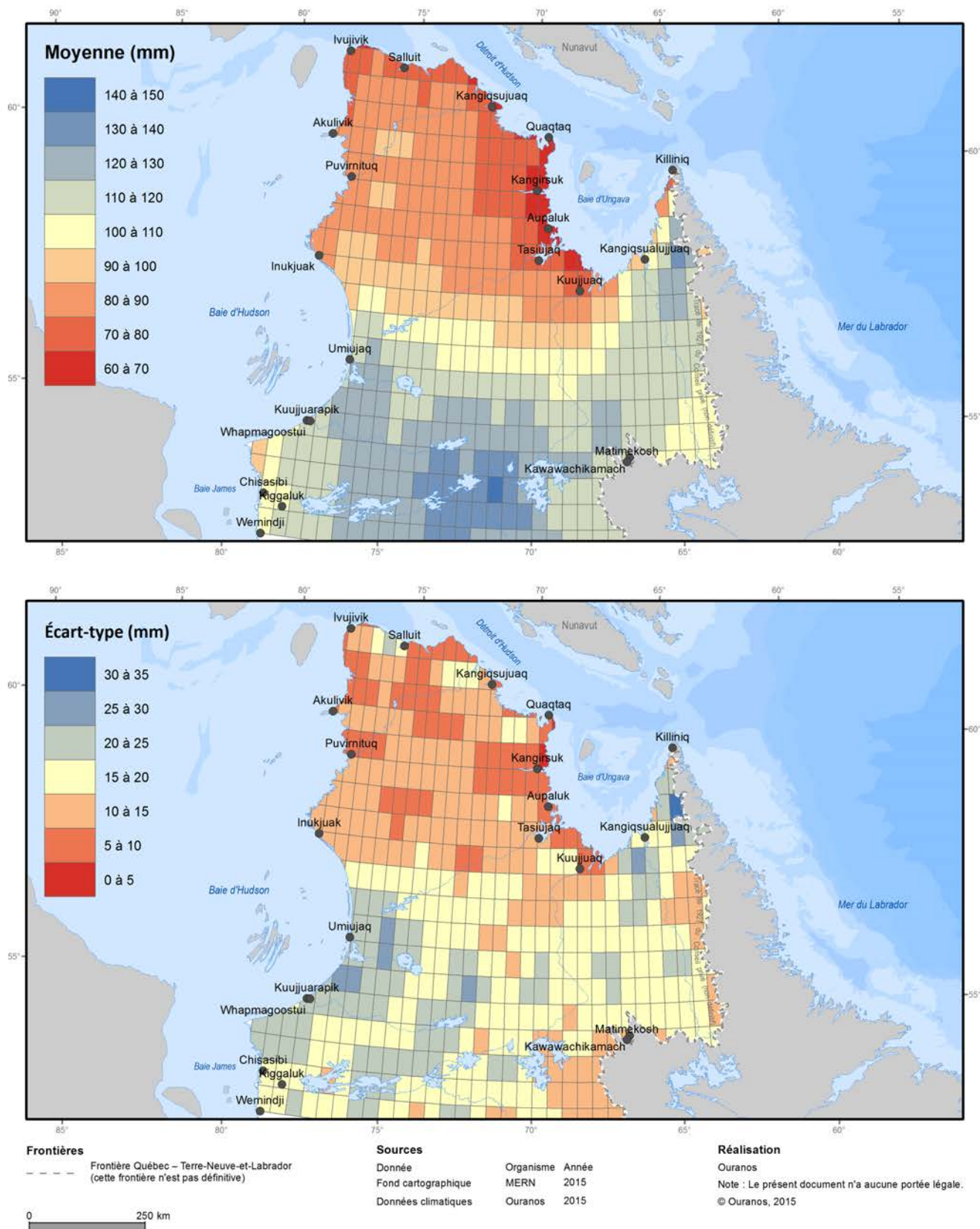


Figure A.97. Normales climatiques 1981 à 2010 (septembre) des précipitations totales (mm). Le panneau du haut présente la moyenne, tandis que le panneau du bas présente l'écart-type, de quatre réanalyses (ERA-Interim, CFSR, JRA55, MERRA).

Précipitations totales (octobre)

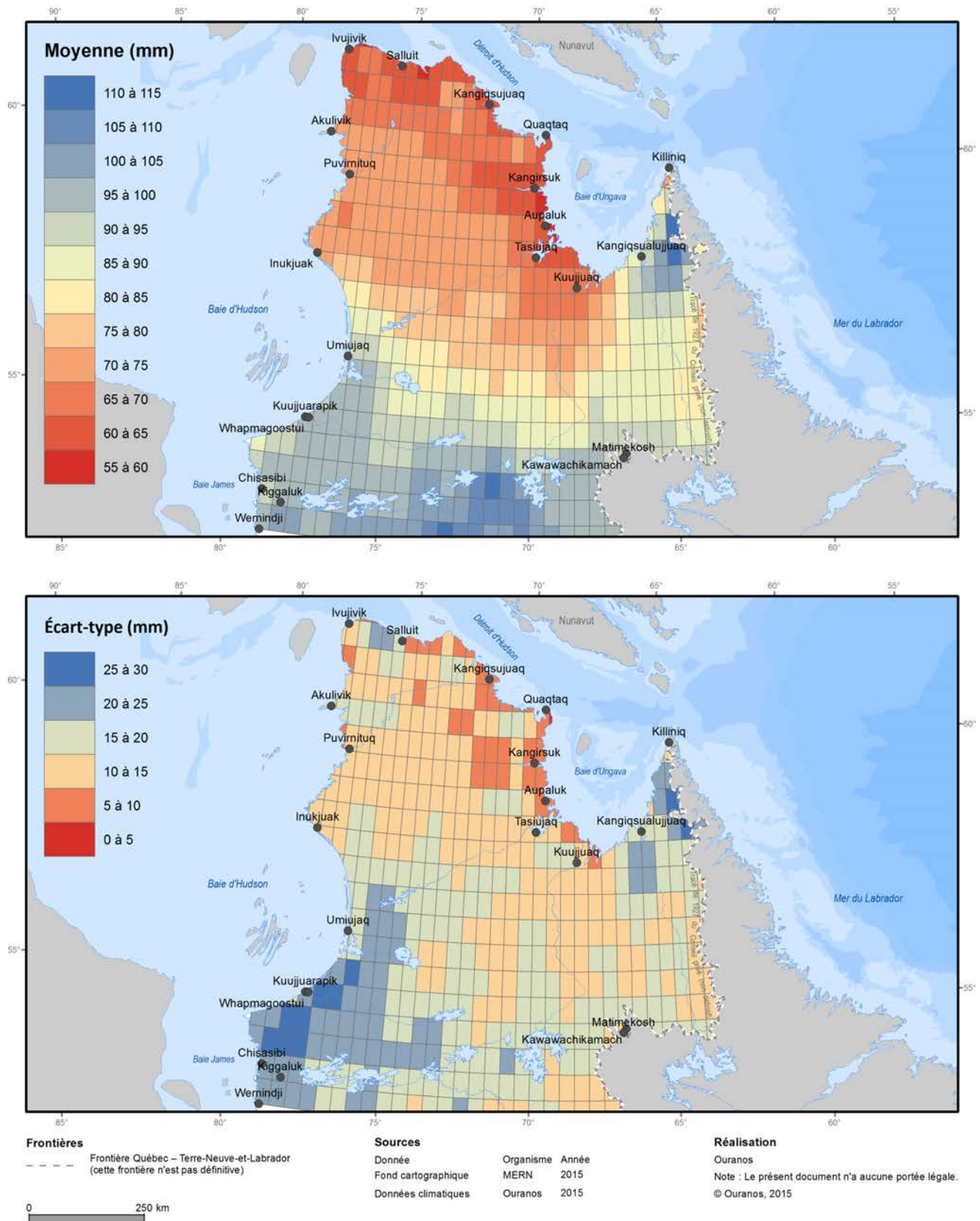


Figure A.98. Normales climatiques 1981 à 2010 (octobre) des précipitations totales (mm). Le panneau du haut présente la moyenne, tandis que le panneau du bas présente l'écart-type, de quatre réanalyses (ERA-Interim, CFSR, JRA55, MERRA).

Précipitations totales (novembre)

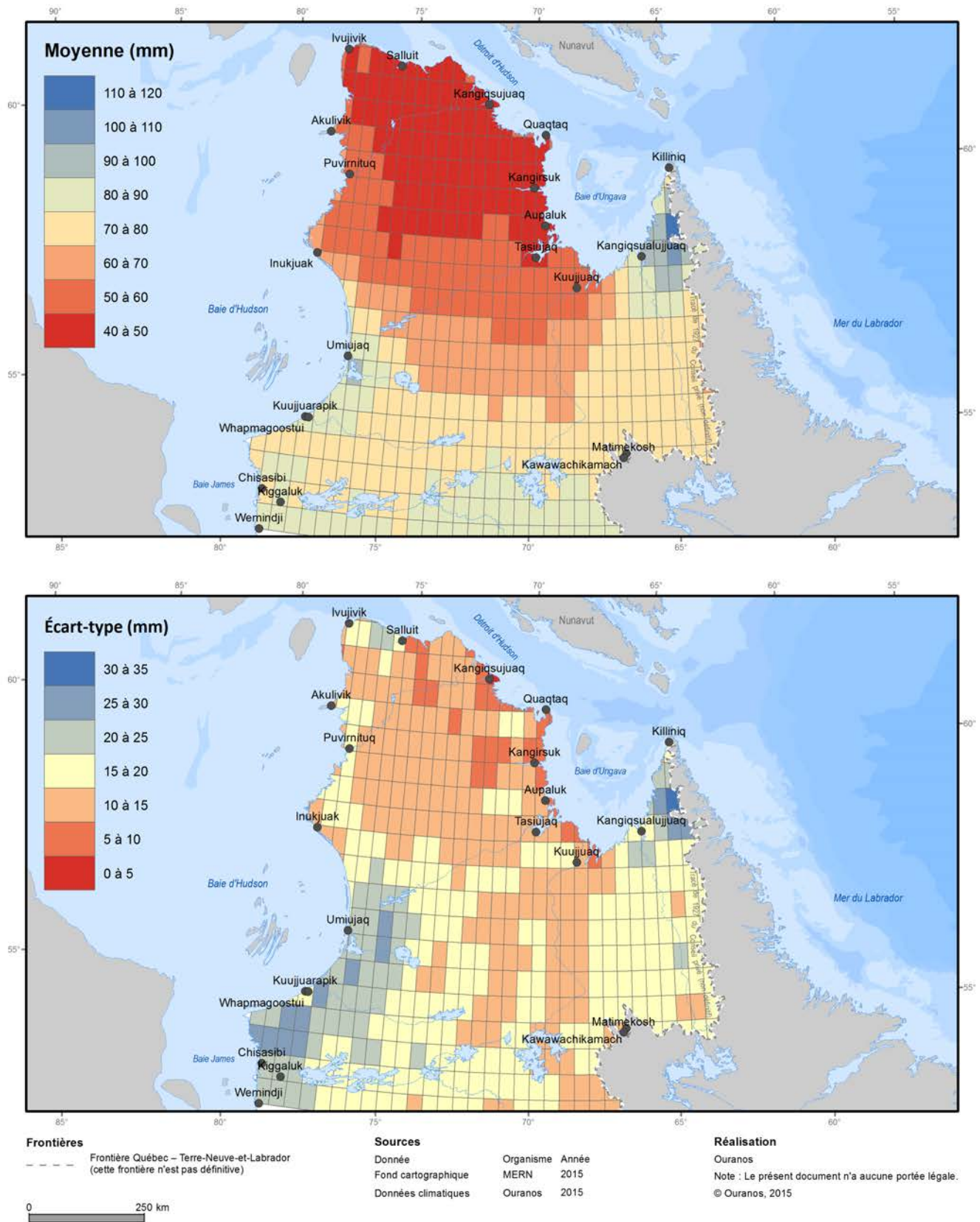


Figure A.99. Normales climatiques 1981 à 2010 (novembre) des précipitations totales (mm). Le panneau du haut présente la moyenne, tandis que le panneau du bas présente l'écart-type, de quatre réanalyses (ERA-Interim, CFSR, JRA55, MERRA).

Précipitations totales (décembre)

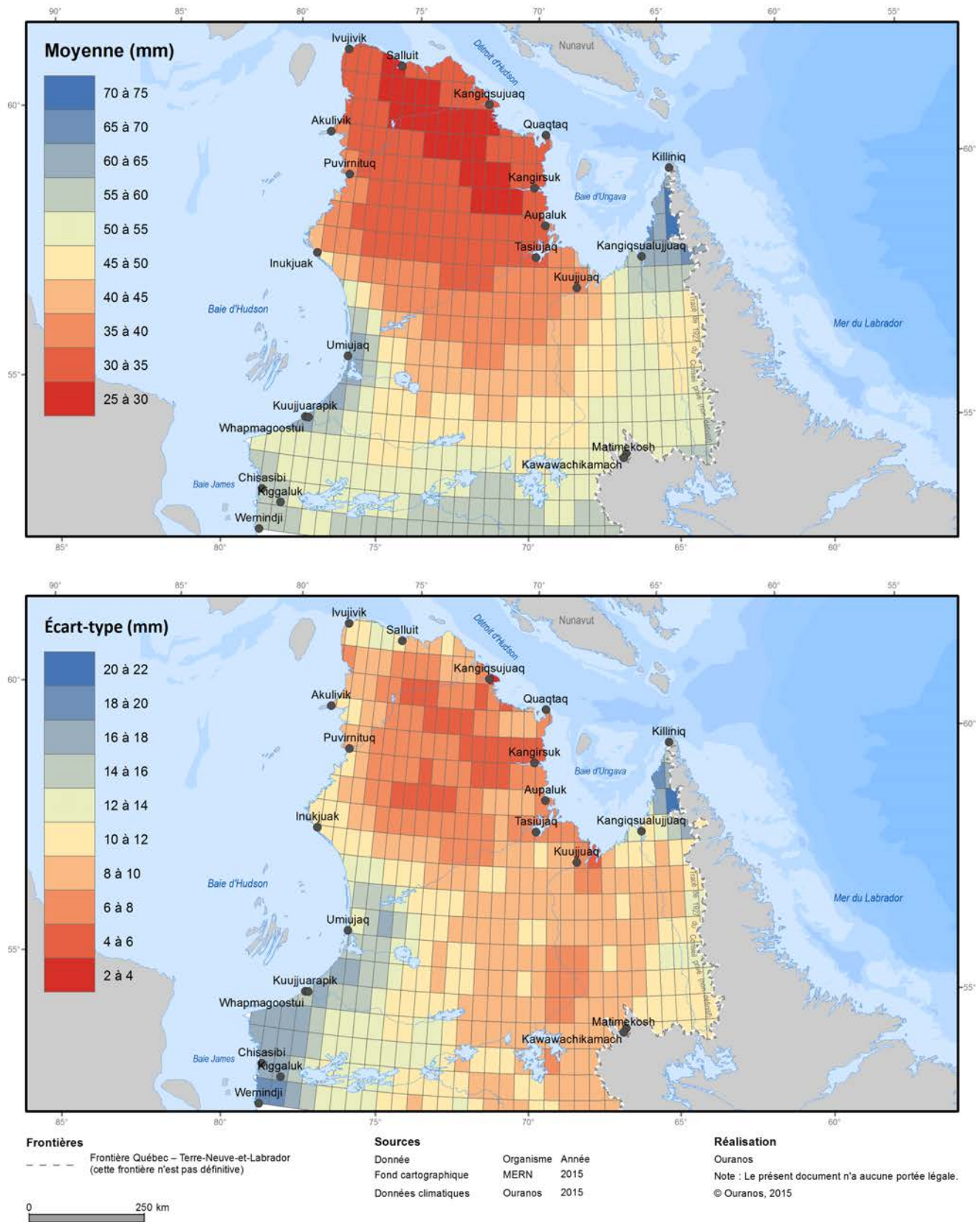


Figure A.100. Normales climatiques 1981 à 2010 (décembre) des précipitations totales (mm). Le panneau du haut présente la moyenne, tandis que le panneau du bas présente l'écart-type, de quatre réanalyses (ERA-Interim, CFSR, JRA55, MERRA).

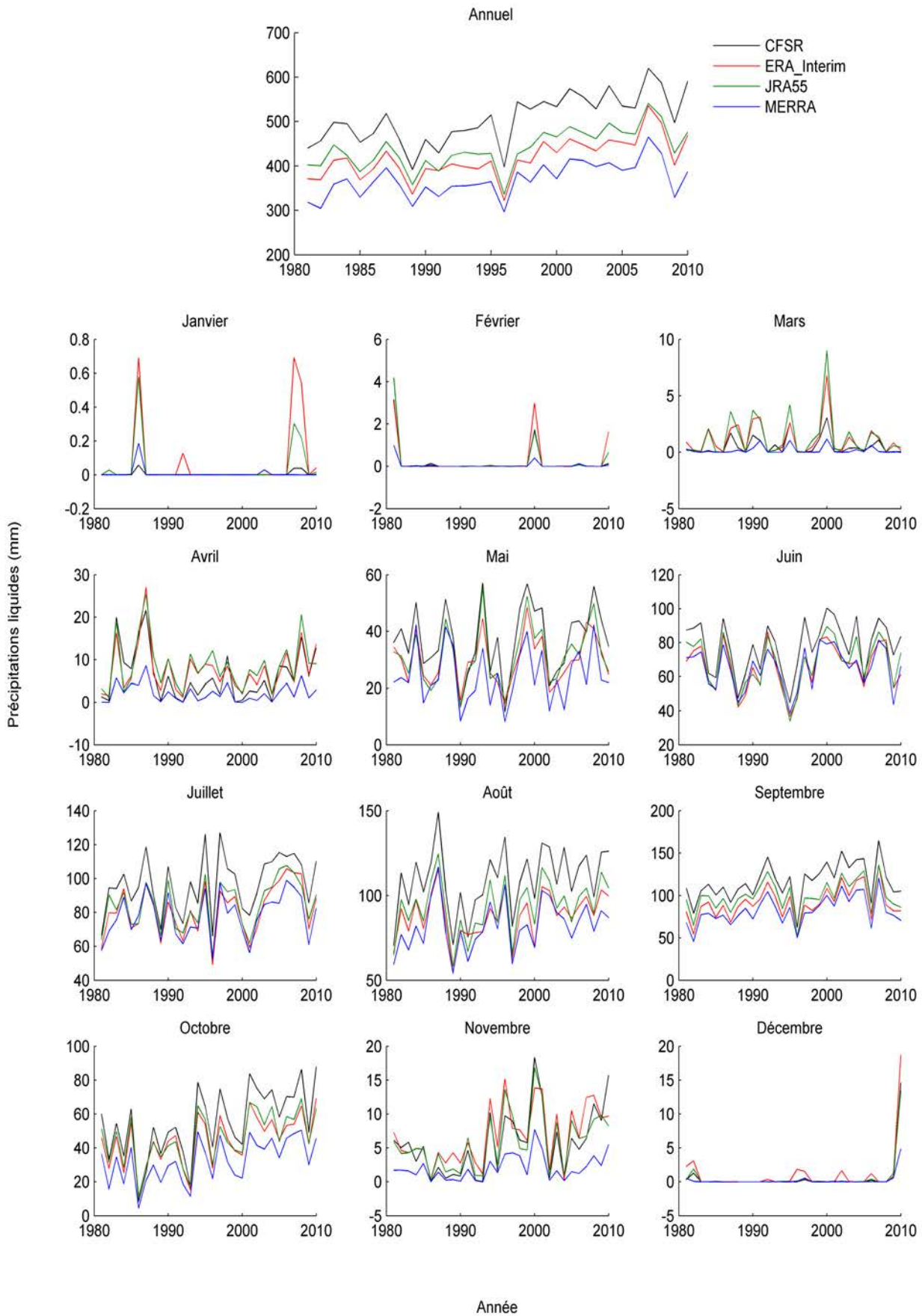


Figure A.101. Évolution des précipitations liquides (mm) selon chacune des quatre réanalyses (ERA-Interim, CFSR, JRA55, MERRA), moyennée pour l'ensemble du territoire à l'étude.

Précipitations liquides (annuelle)

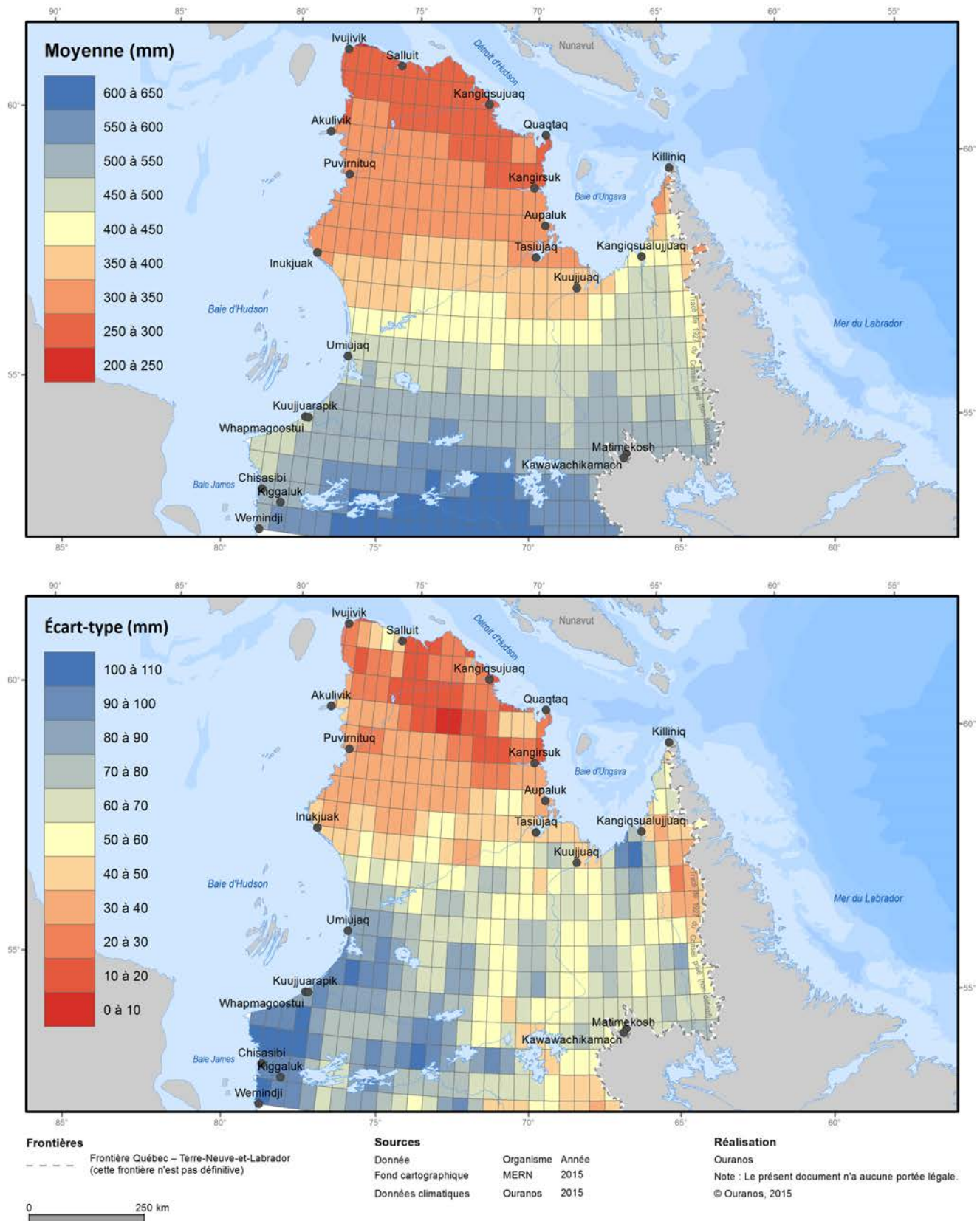


Figure A.102. Normales climatiques 1981 à 2010 (annuelle) des précipitations liquides (mm). Le panneau du haut présente la moyenne, tandis que le panneau du bas présente l'écart-type, de quatre réanalyses (ERA-Interim, CFSR, JRA55, MERRA).

Précipitations liquides (janvier)

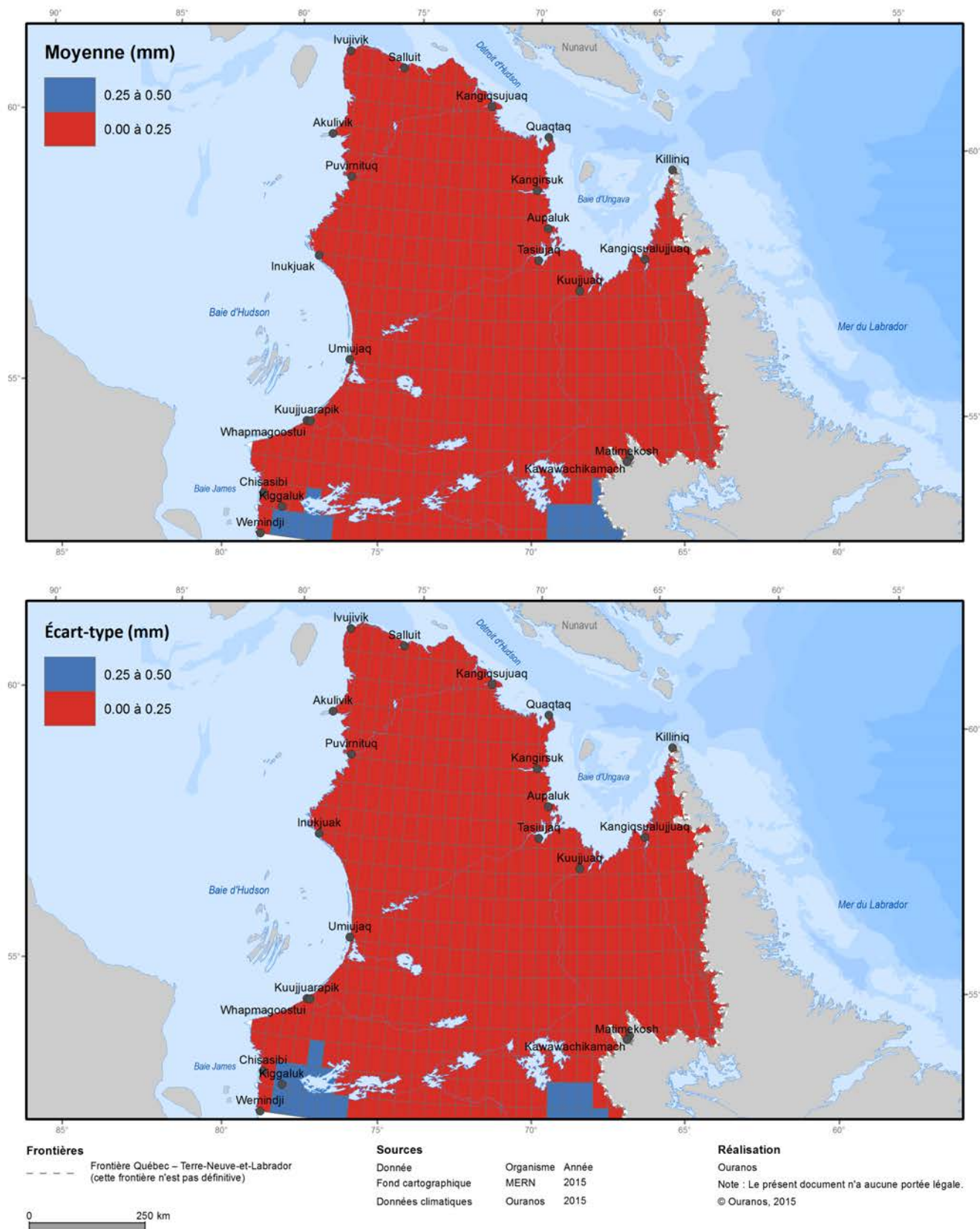


Figure A.103. Normales climatiques 1981 à 2010 (janvier) des précipitations liquides (mm). Le panneau du haut présente la moyenne, tandis que le panneau du bas présente l'écart-type, de quatre réanalyses (ERA-Interim, CFSR, JRA55, MERRA).

Précipitations liquides (février)

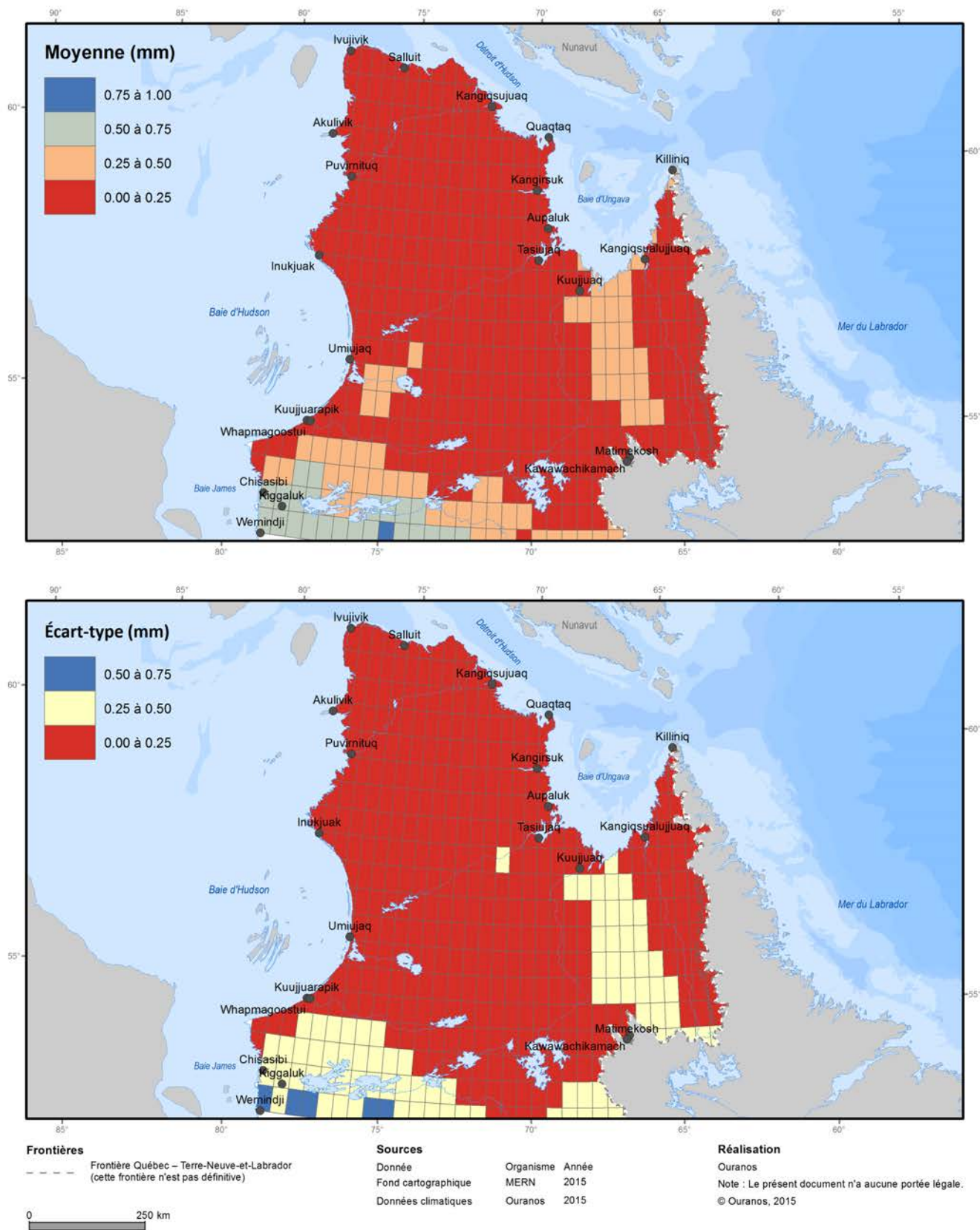


Figure A.104. Normales climatiques 1981 à 2010 (février) des précipitations liquides (mm). Le panneau du haut présente la moyenne, tandis que le panneau du bas présente l'écart-type, de quatre réanalyses (ERA-Interim, CFSR, JRA55, MERRA).

Précipitations liquides (mars)

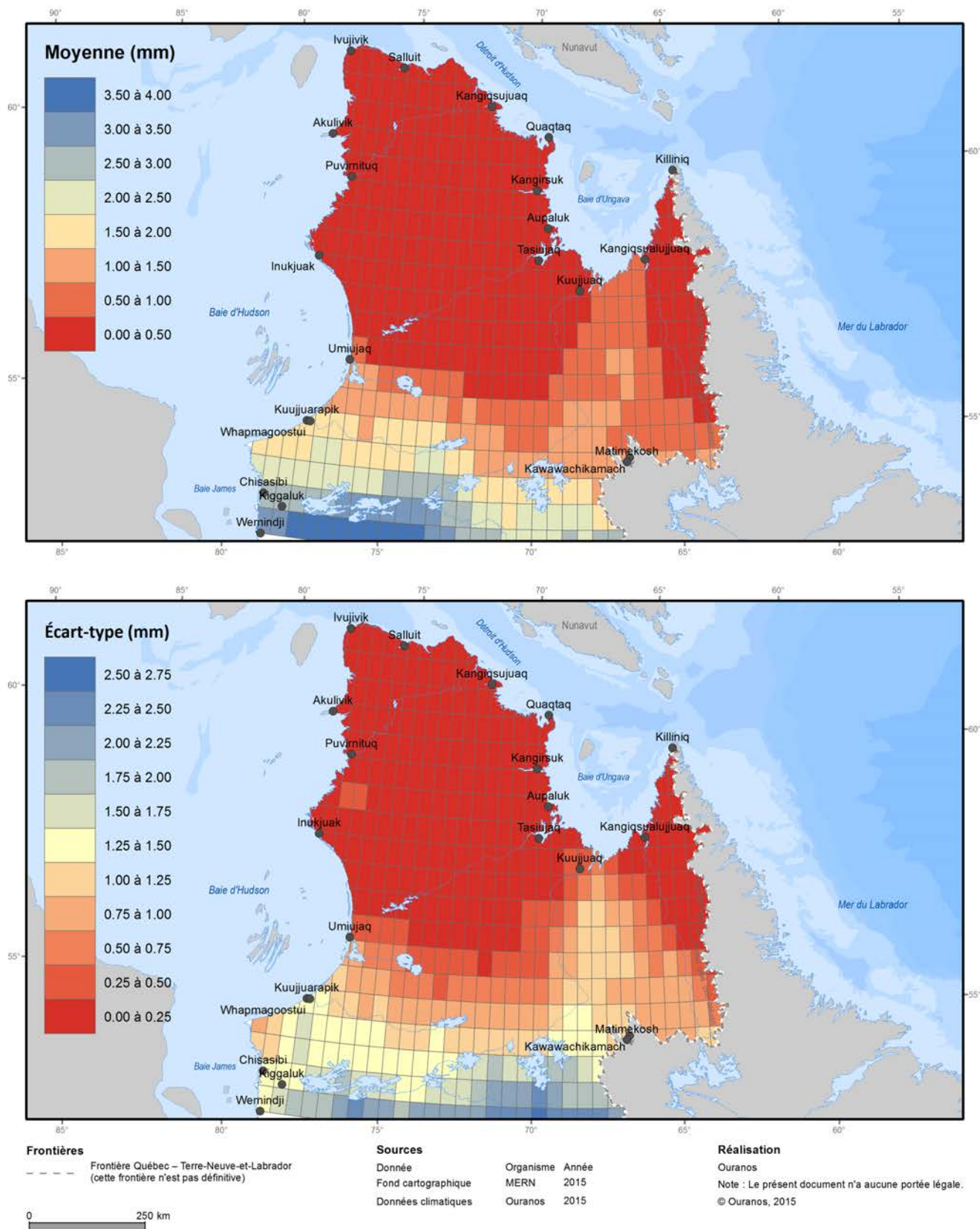


Figure A.105. Normales climatiques 1981 à 2010 (mars) des précipitations liquides (mm). Le panneau du haut présente la moyenne, tandis que le panneau du bas présente l'écart-type, de quatre réanalyses (ERA-Interim, CFSR, JRA55, MERRA).

Précipitations liquides (avril)

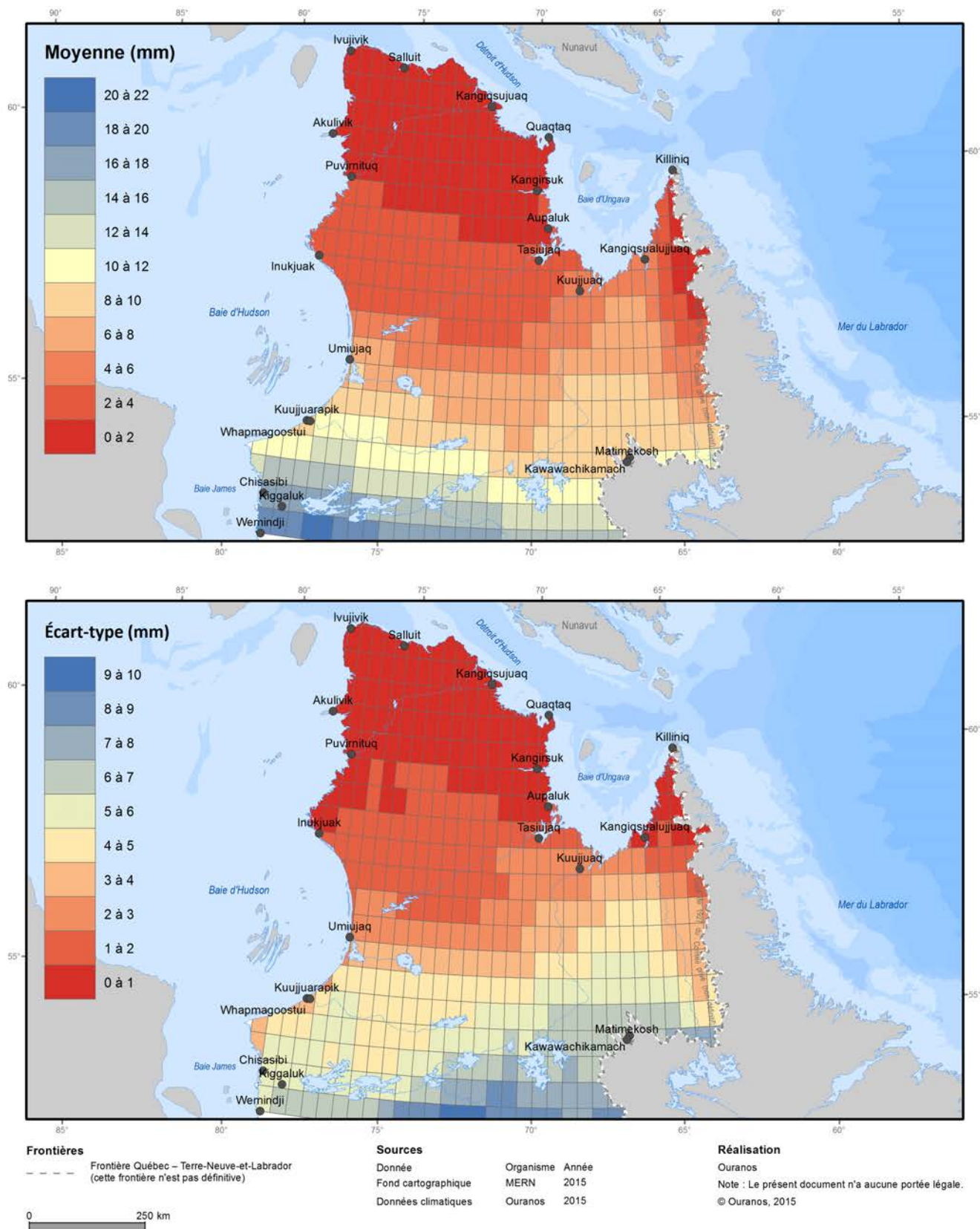


Figure A.106. Normales climatiques 1981 à 2010 (avril) des précipitations liquides (mm). Le panneau du haut présente la moyenne, tandis que le panneau du bas présente l'écart-type, de quatre réanalyses (ERA-Interim, CFSR, JRA55, MERRA).

Précipitations liquides (mai)

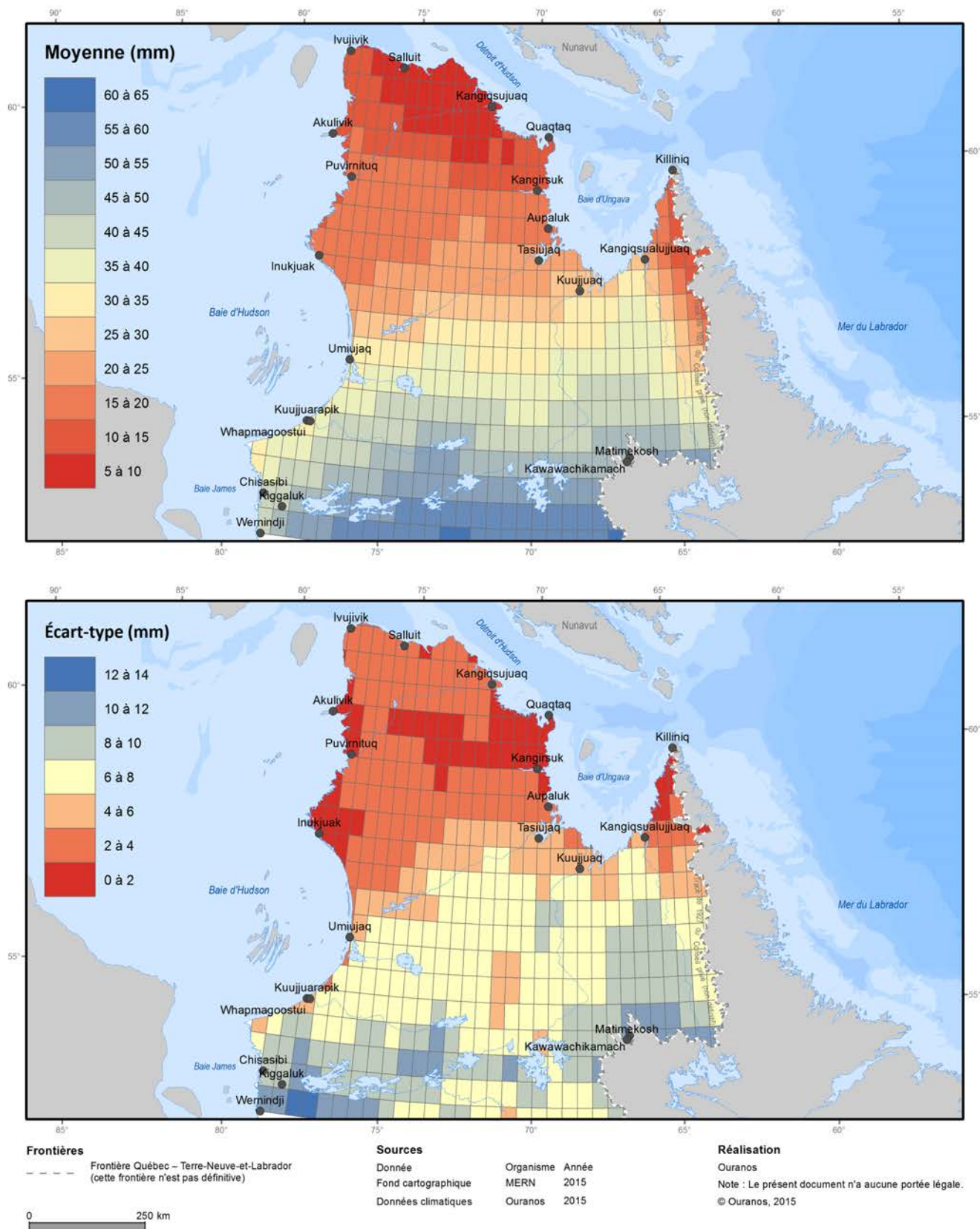


Figure A.107. Normales climatiques 1981 à 2010 (mai) des précipitations liquides (mm). Le panneau du haut présente la moyenne, tandis que le panneau du bas présente l'écart-type, de quatre réanalyses (ERA-Interim, CFSR, JRA55, MERRA).

Précipitations liquides (juin)

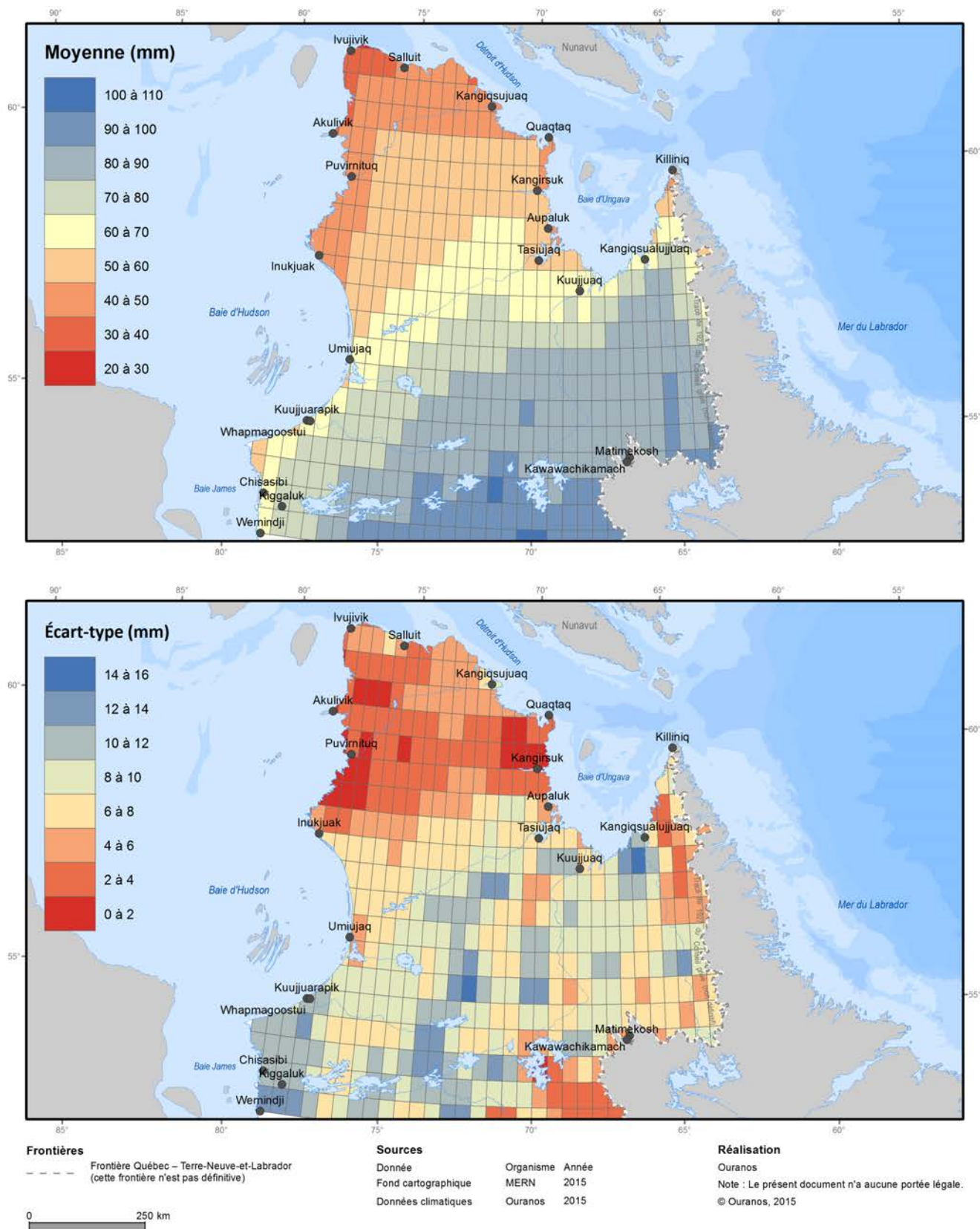


Figure A.108. Normales climatiques 1981 à 2010 (juin) des précipitations liquides (mm). Le panneau du haut présente la moyenne, tandis que le panneau du bas présente l'écart-type, de quatre réanalyses (ERA-Interim, CFSR, JRA55, MERRA).

Précipitations liquides (juillet)

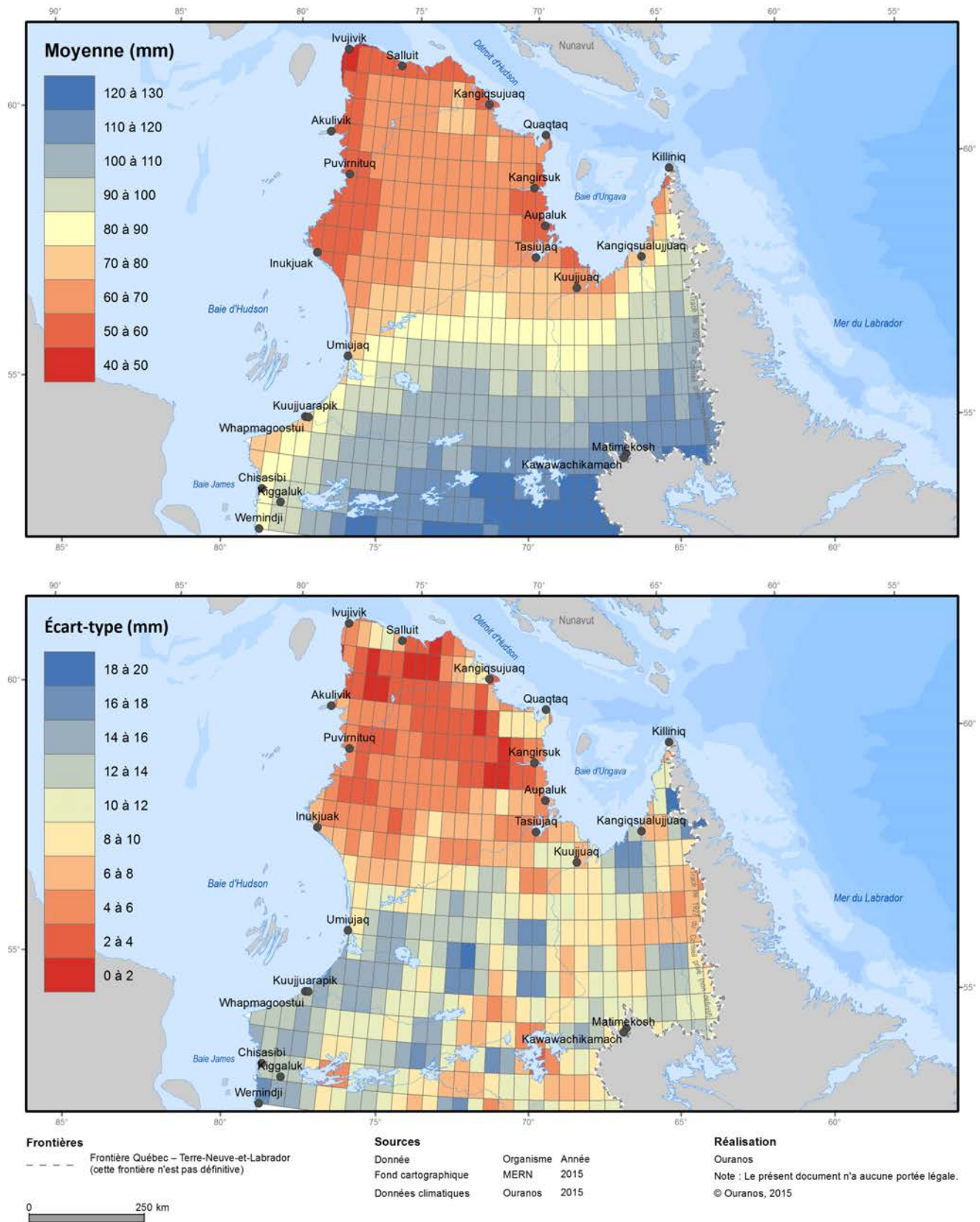


Figure A.109. Normales climatiques 1981 à 2010 (juillet) des précipitations liquides (mm). Le panneau du haut présente la moyenne, tandis que le panneau du bas présente l'écart-type, de quatre réanalyses (ERA-Interim, CFSR, JRA55, MERRA).

Précipitations liquides (août)

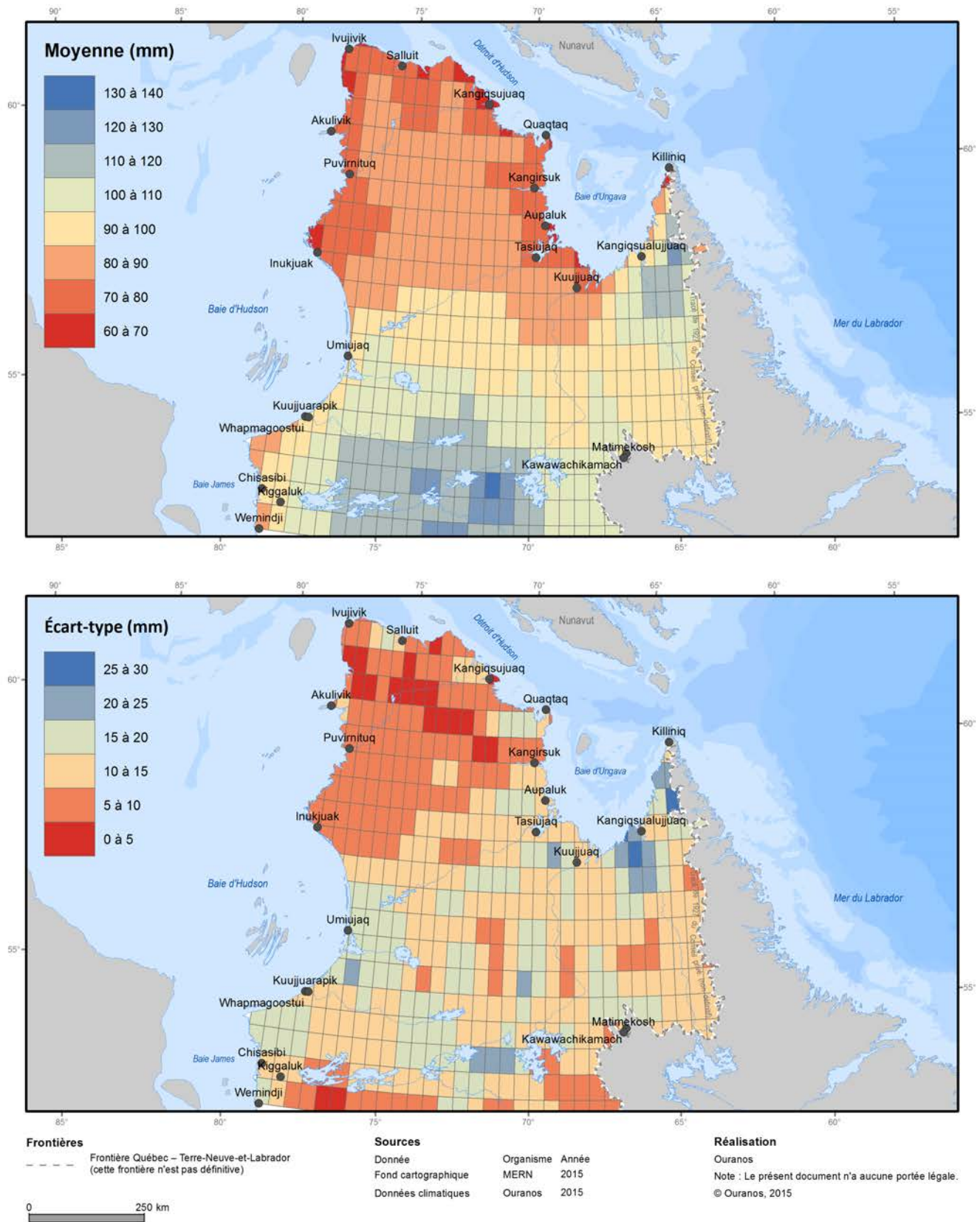


Figure A.110. Normales climatiques 1981 à 2010 (août) des précipitations liquides (mm). Le panneau du haut présente la moyenne, tandis que le panneau du bas présente l'écart-type, de quatre réanalyses (ERA-Interim, CFSR, JRA55, MERRA).

Précipitations liquides (septembre)

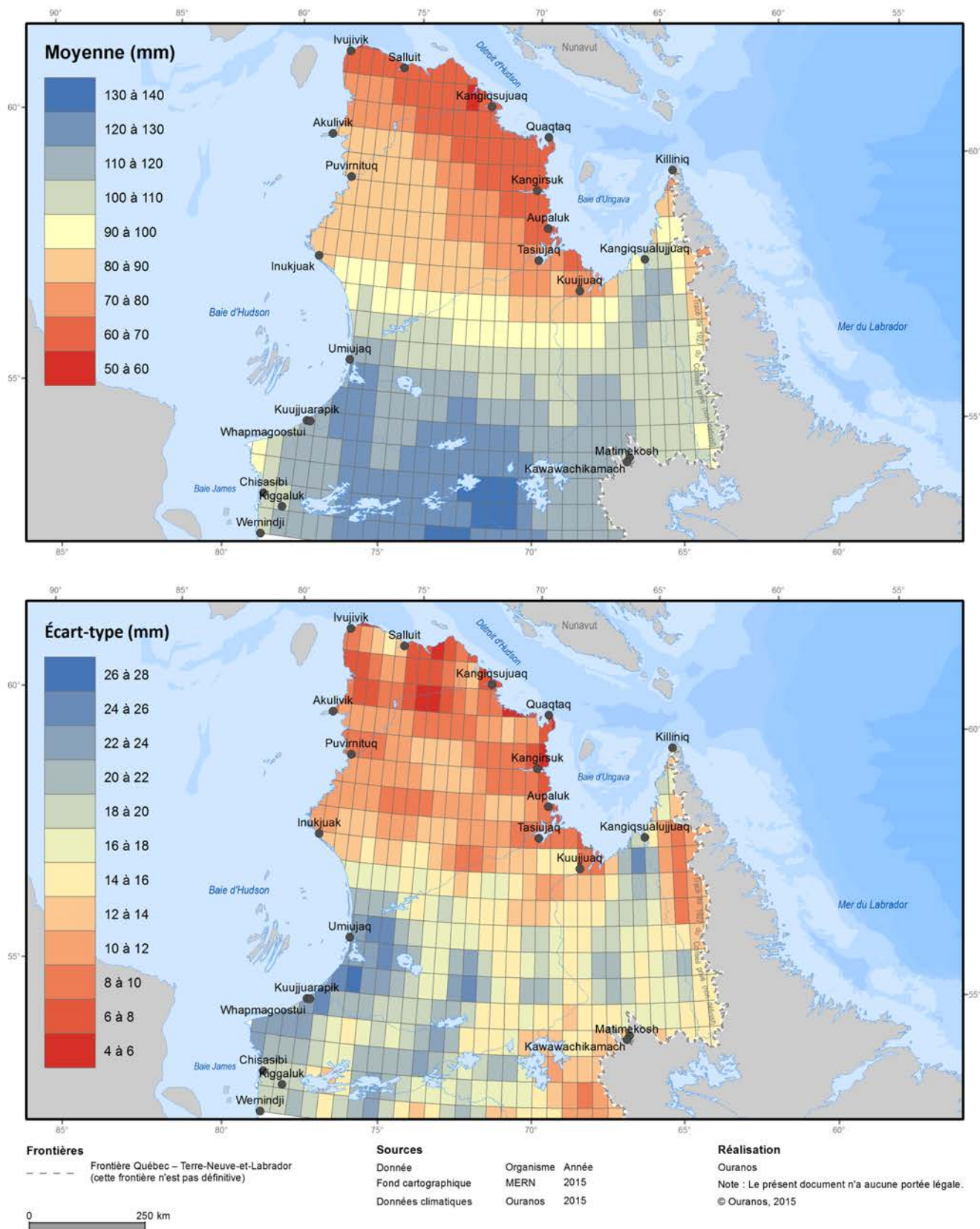


Figure A.111. Normales climatiques 1981 à 2010 (septembre) des précipitations liquides (mm). Le panneau du haut présente la moyenne, tandis que le panneau du bas présente l'écart-type, de quatre réanalyses (ERA-Interim, CFSR, JRA55, MERRA).

Précipitations liquides (octobre)

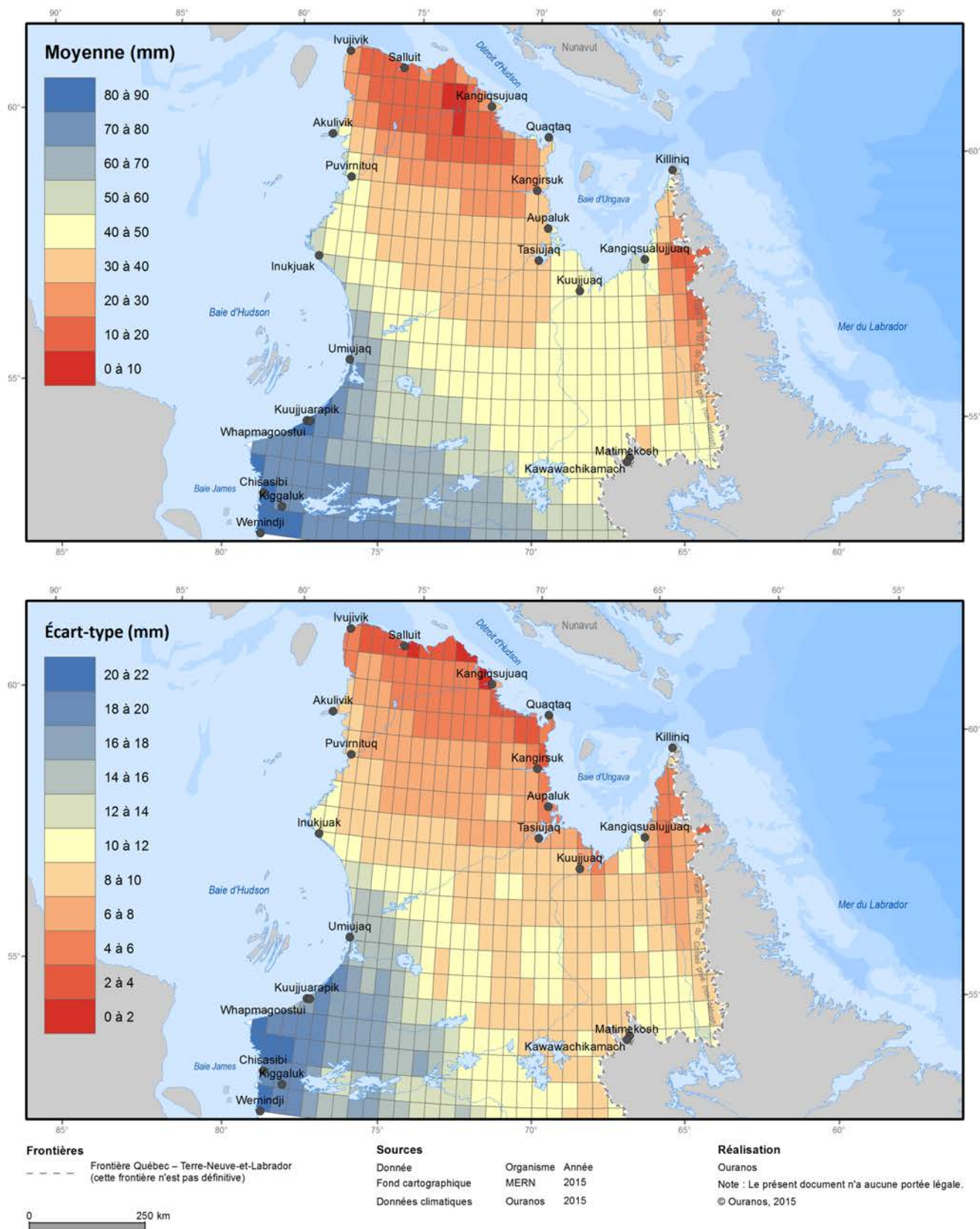


Figure A.112. Normales climatiques 1981 à 2010 (octobre) des précipitations liquides (mm). Le panneau du haut présente la moyenne, tandis que le panneau du bas présente l'écart-type, de quatre réanalyses (ERA-Interim, CFSR, JRA55, MERRA).

Précipitations liquides (novembre)

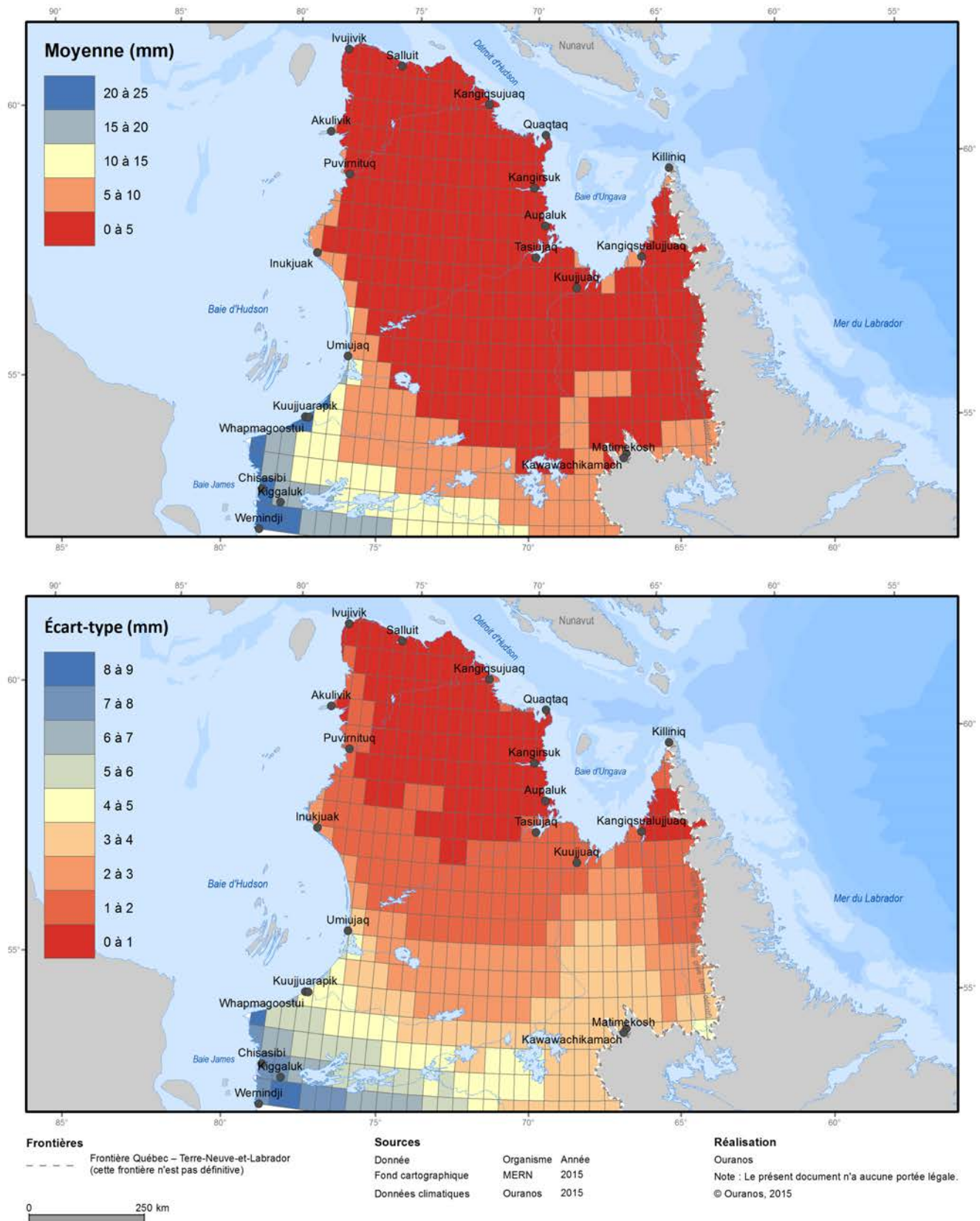


Figure A.113. Normales climatiques 1981 à 2010 (novembre) des précipitations liquides (mm). Le panneau du haut présente la moyenne, tandis que le panneau du bas présente l'écart-type, de quatre réanalyses (ERA-Interim, CFSR, JRA55, MERRA).

Précipitations liquides (décembre)

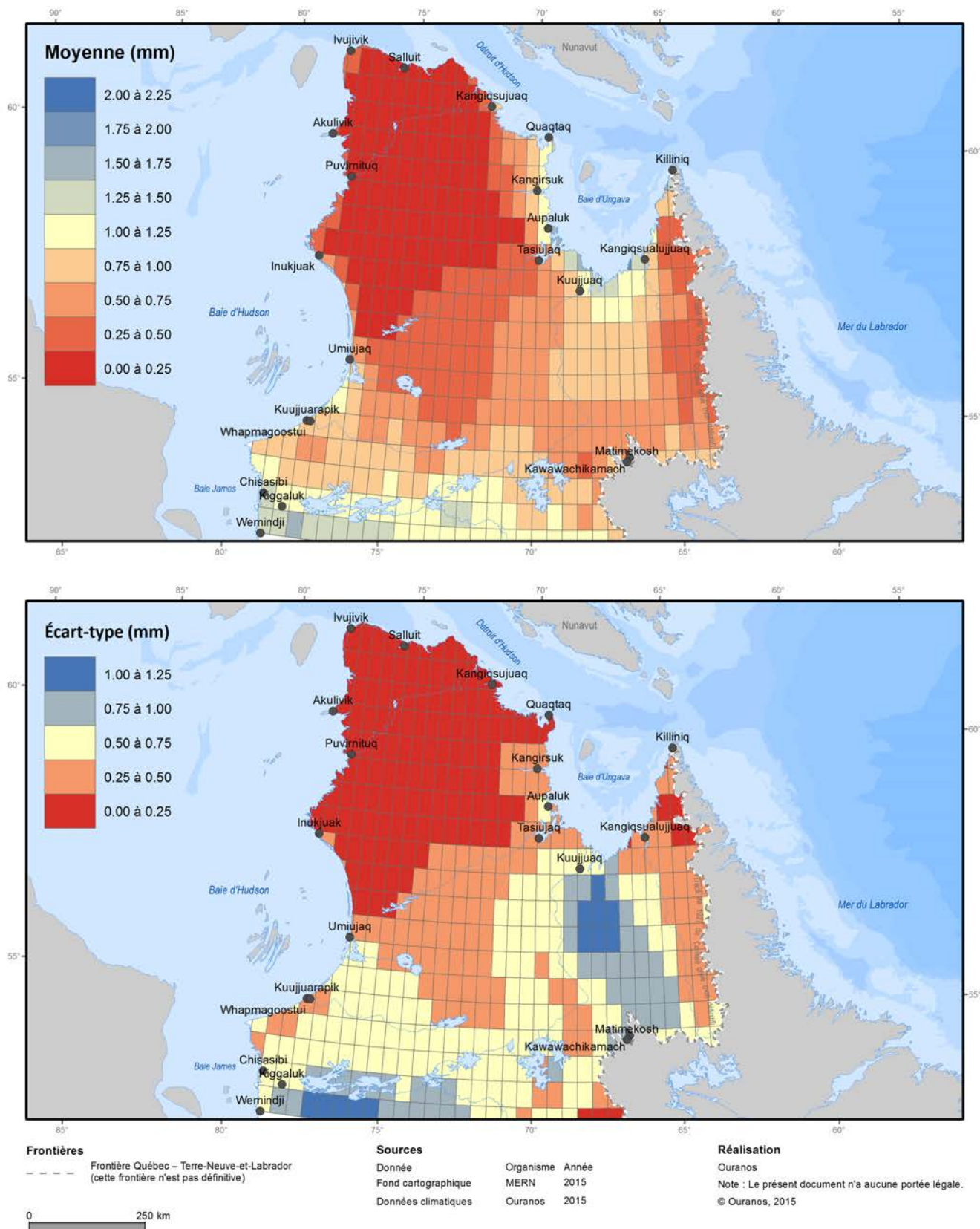


Figure A.114. Normales climatiques 1981 à 2010 (décembre) des précipitations liquides (mm). Le panneau du haut présente la moyenne, tandis que le panneau du bas présente l'écart-type, de quatre réanalyses (ERA-Interim, CFSR, JRA55, MERRA).

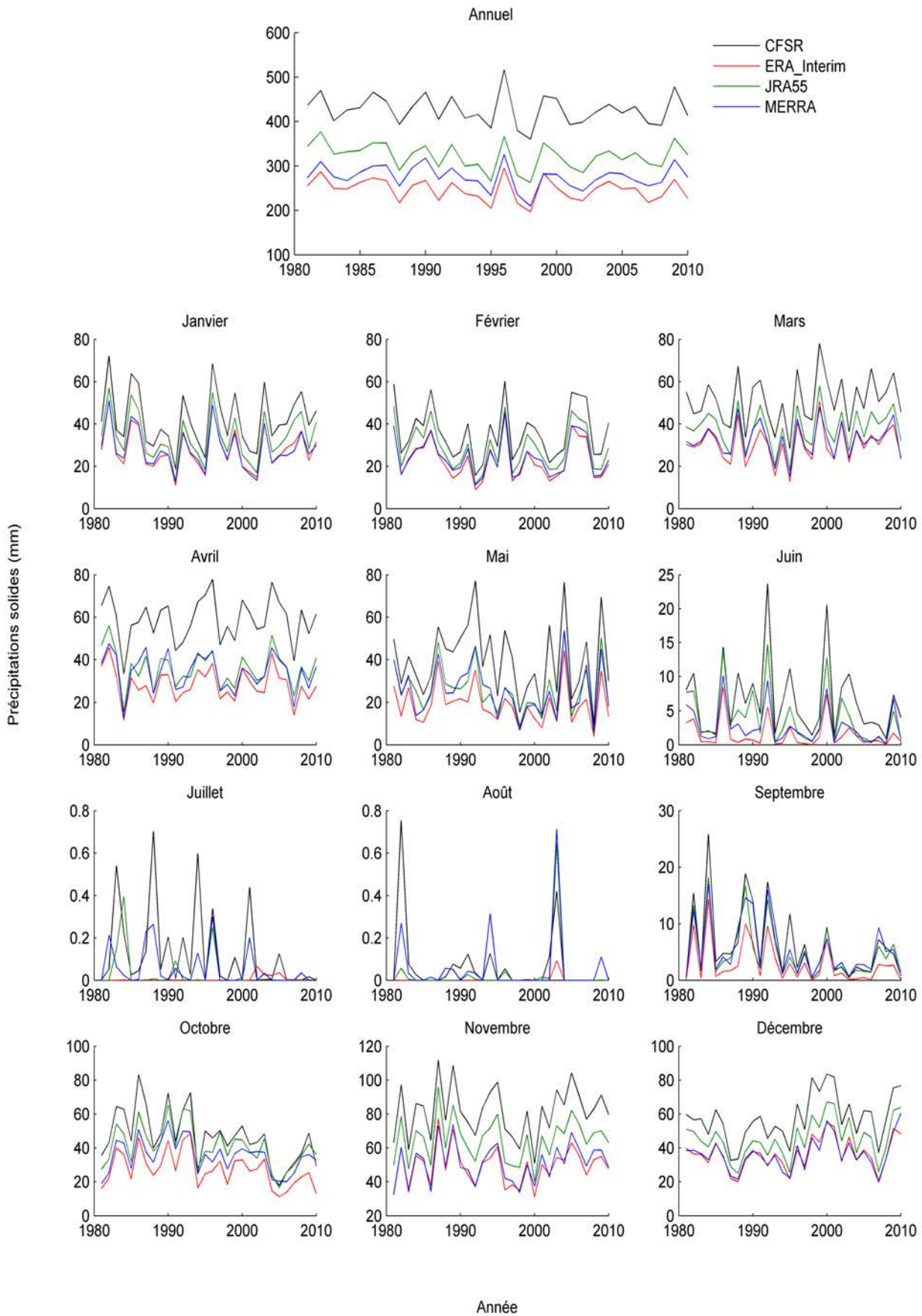


Figure A.115. Évolution des précipitations solides (mm) selon chacune des quatre réanalyses (ERA-Interim, CFSR, JRA55, MERRA), moyennée pour l'ensemble du territoire à l'étude.

Précipitations solides (annuelle)

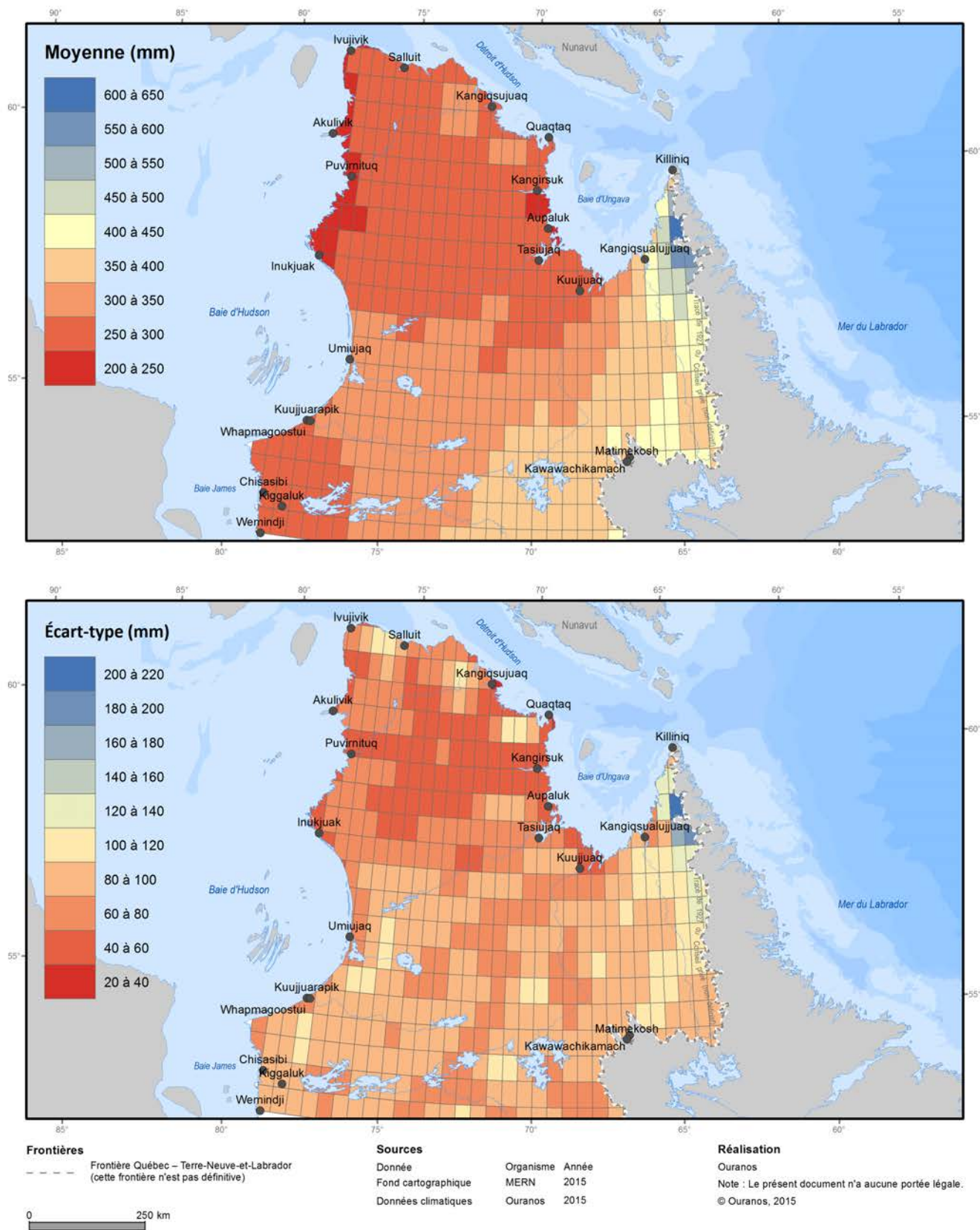


Figure A.116. Normales climatiques 1981 à 2010 (annuelle) des précipitations solides (mm). Le panneau du haut présente la moyenne, tandis que le panneau du bas présente l'écart-type, de quatre réanalyses (ERA-Interim, CFSR, JRA55, MERRA).

Précipitations solides (janvier)

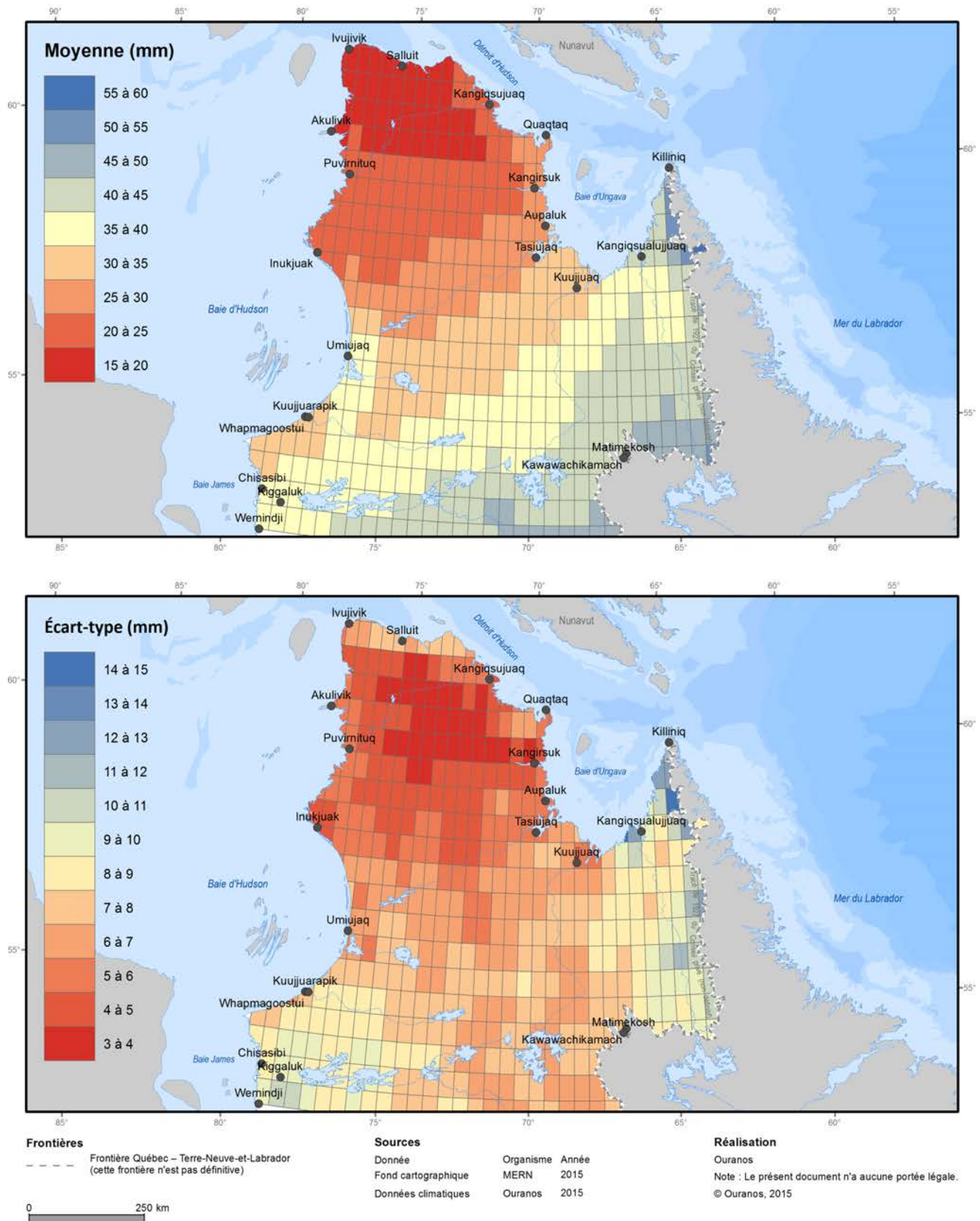


Figure A.117. Normales climatiques 1981 à 2010 (janvier) des précipitations solides (mm). Le panneau du haut présente la moyenne, tandis que le panneau du bas présente l'écart-type, de quatre réanalyses (ERA-Interim, CFSR, JRA55, MERRA).

Précipitations solides (février)

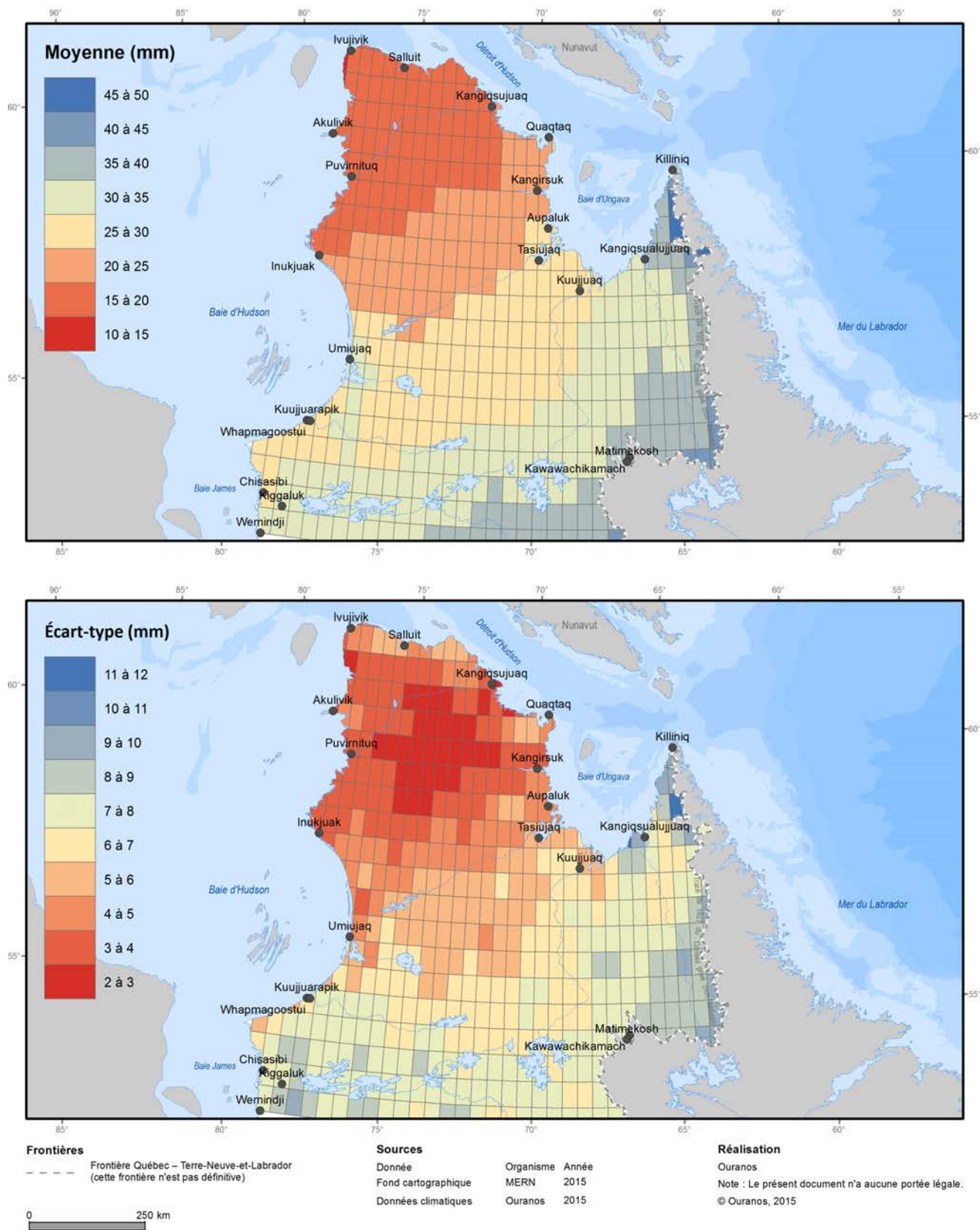


Figure A.118. Normales climatiques 1981 à 2010 (février) des précipitations solides (mm). Le panneau du haut présente la moyenne, tandis que le panneau du bas présente l'écart-type, de quatre réanalyses (ERA-Interim, CFSR, JRA55, MERRA).

Précipitations solides (mars)

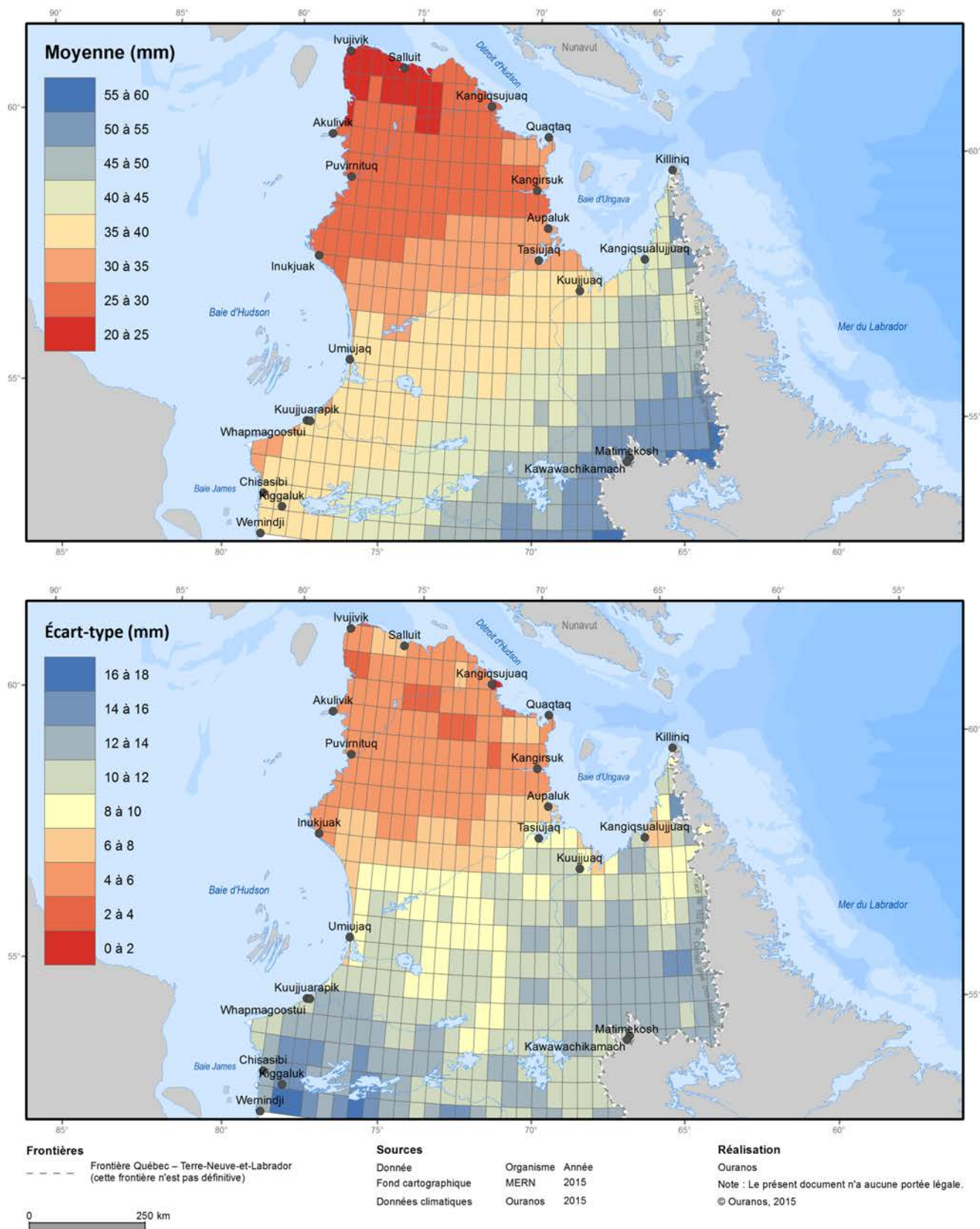


Figure A.119. Normales climatiques 1981 à 2010 (mars) des précipitations solides (mm). Le panneau du haut présente la moyenne, tandis que le panneau du bas présente l'écart-type, de quatre réanalyses (ERA-Interim, CFSR, JRA55, MERRA).

Précipitations solides (avril)

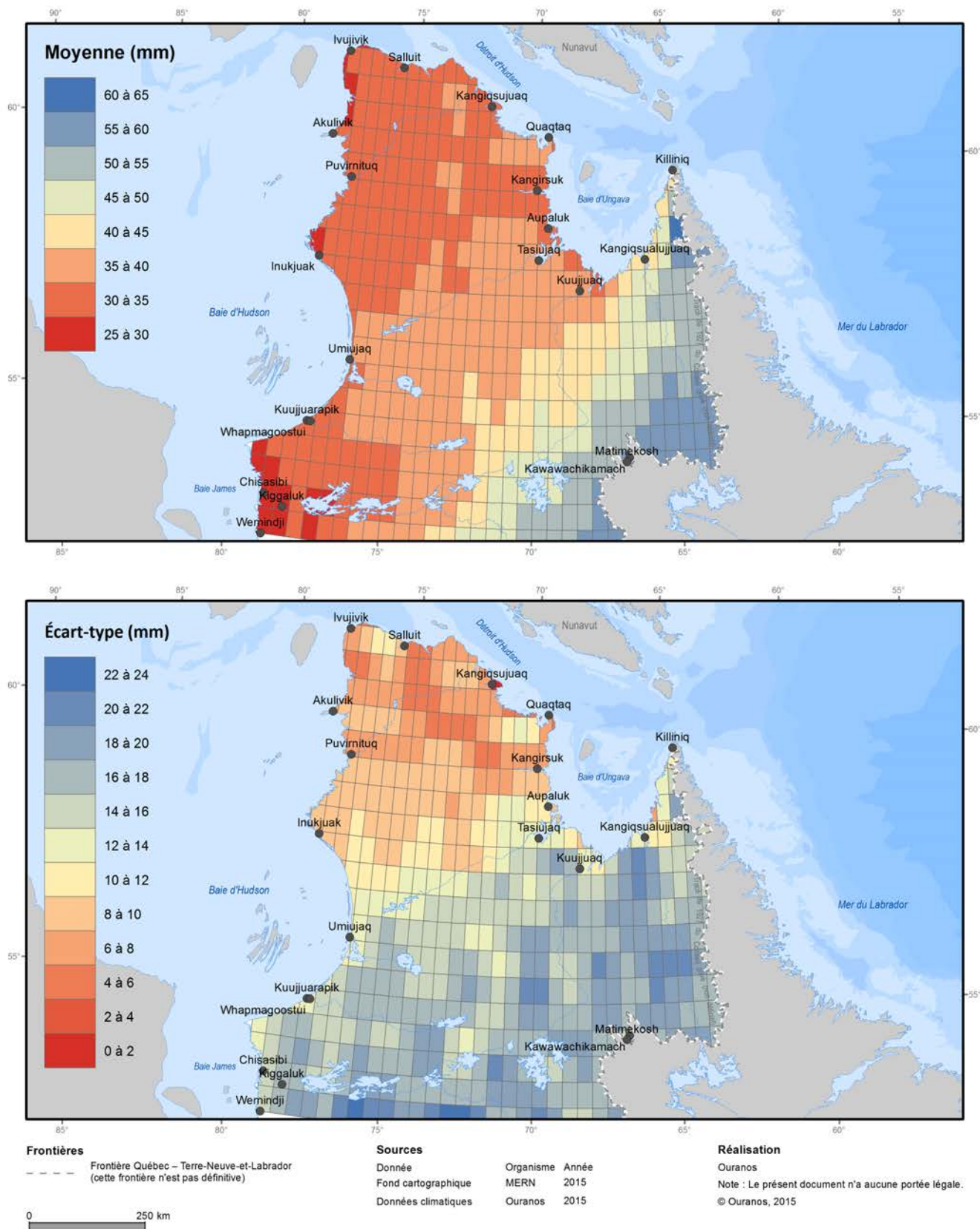


Figure A.120. Normales climatiques 1981 à 2010 (avril) des précipitations solides (mm). Le panneau du haut présente la moyenne, tandis que le panneau du bas présente l'écart-type, de quatre réanalyses (ERA-Interim, CFSR, JRA55, MERRA).

Précipitations solides (mai)

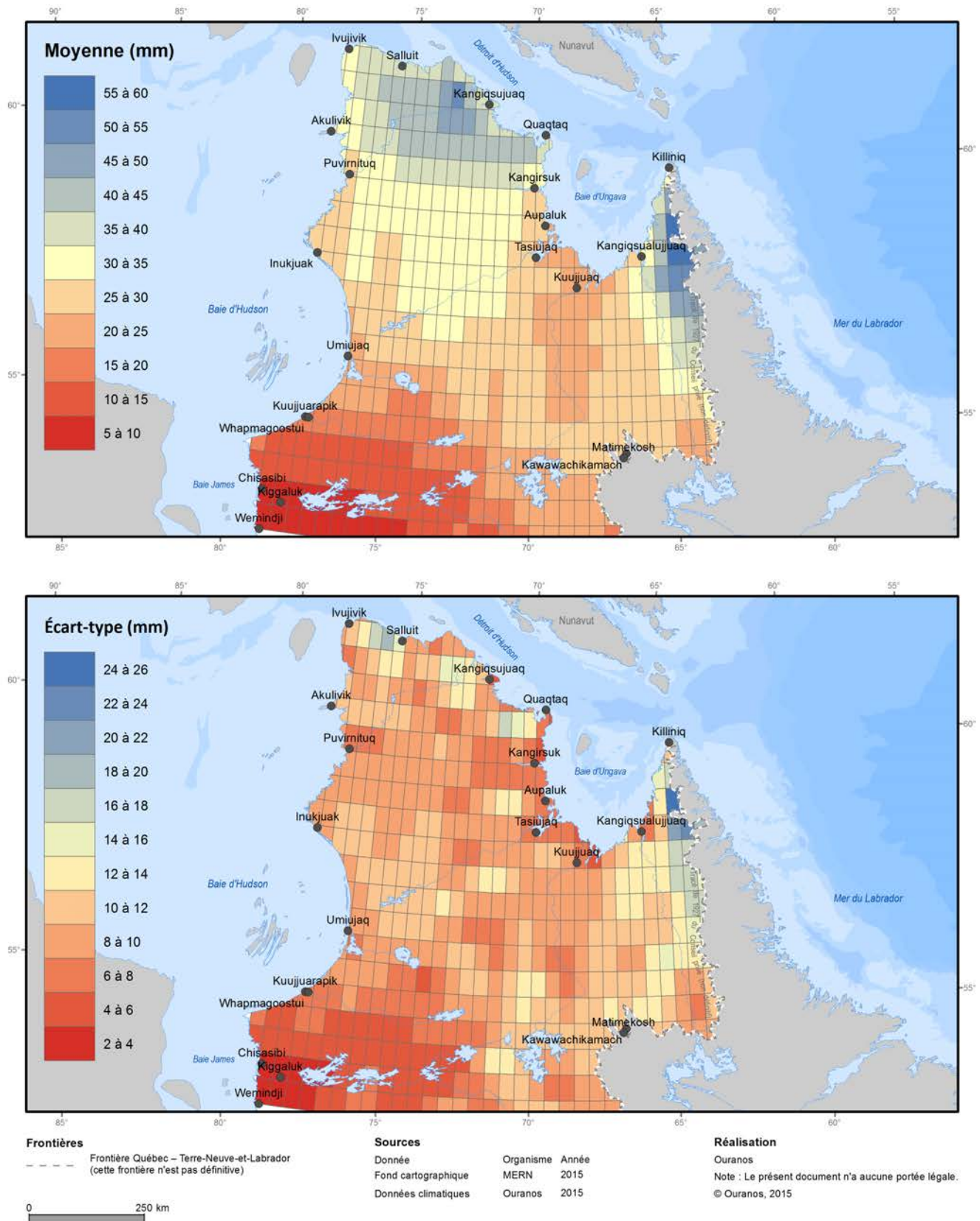


Figure A.121. Normales climatiques 1981 à 2010 (mai) des précipitations solides (mm). Le panneau du haut présente la moyenne, tandis que le panneau du bas présente l'écart-type, de quatre réanalyses (ERA-Interim, CFSR, JRA55, MERRA).

Précipitations solides (juin)

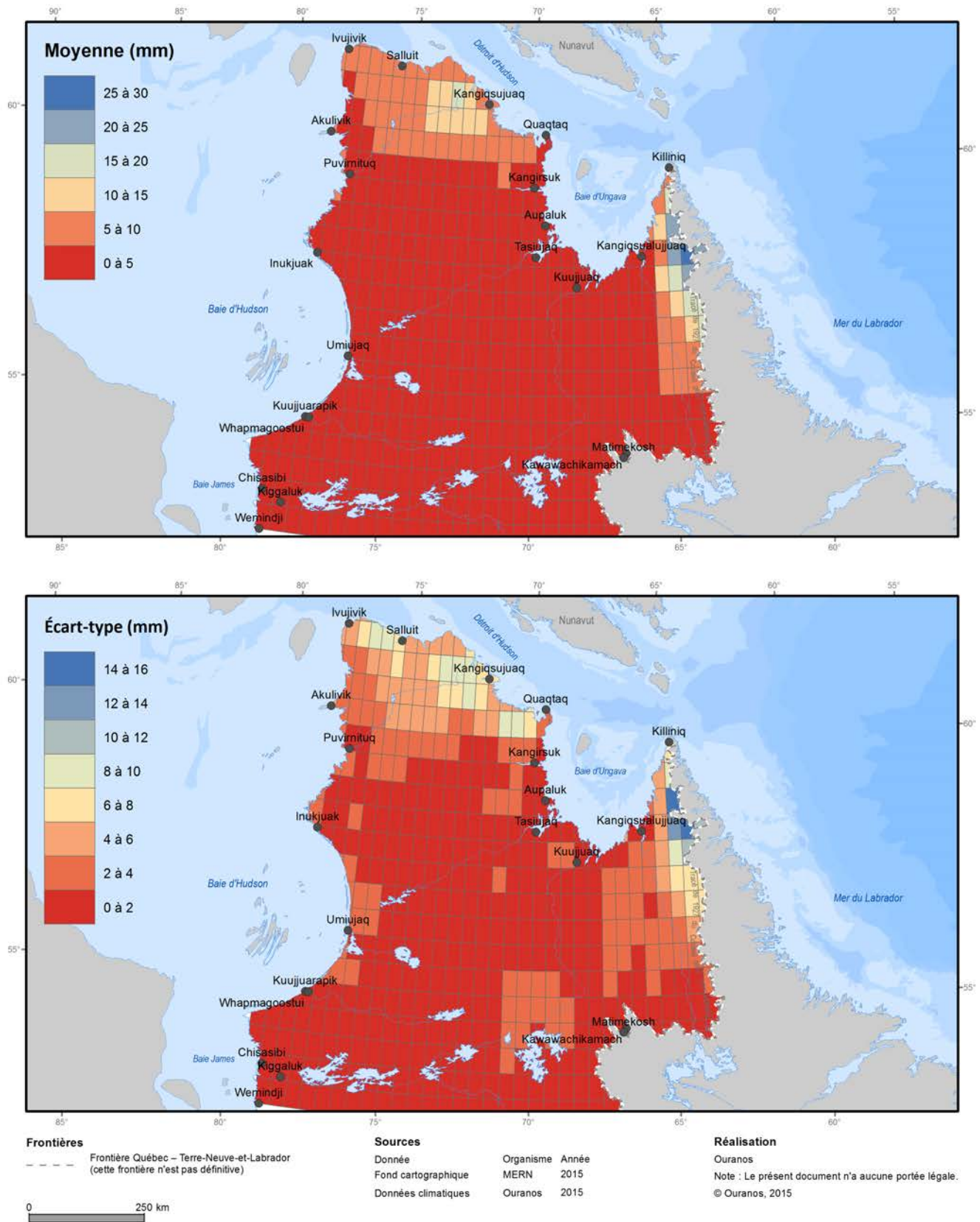


Figure A.122. Normales climatiques 1981 à 2010 (juin) des précipitations solides (mm). Le panneau du haut présente la moyenne, tandis que le panneau du bas présente l'écart-type, de quatre réanalyses (ERA-Interim, CFSR, JRA55, MERRA).

Précipitations solides (juillet)

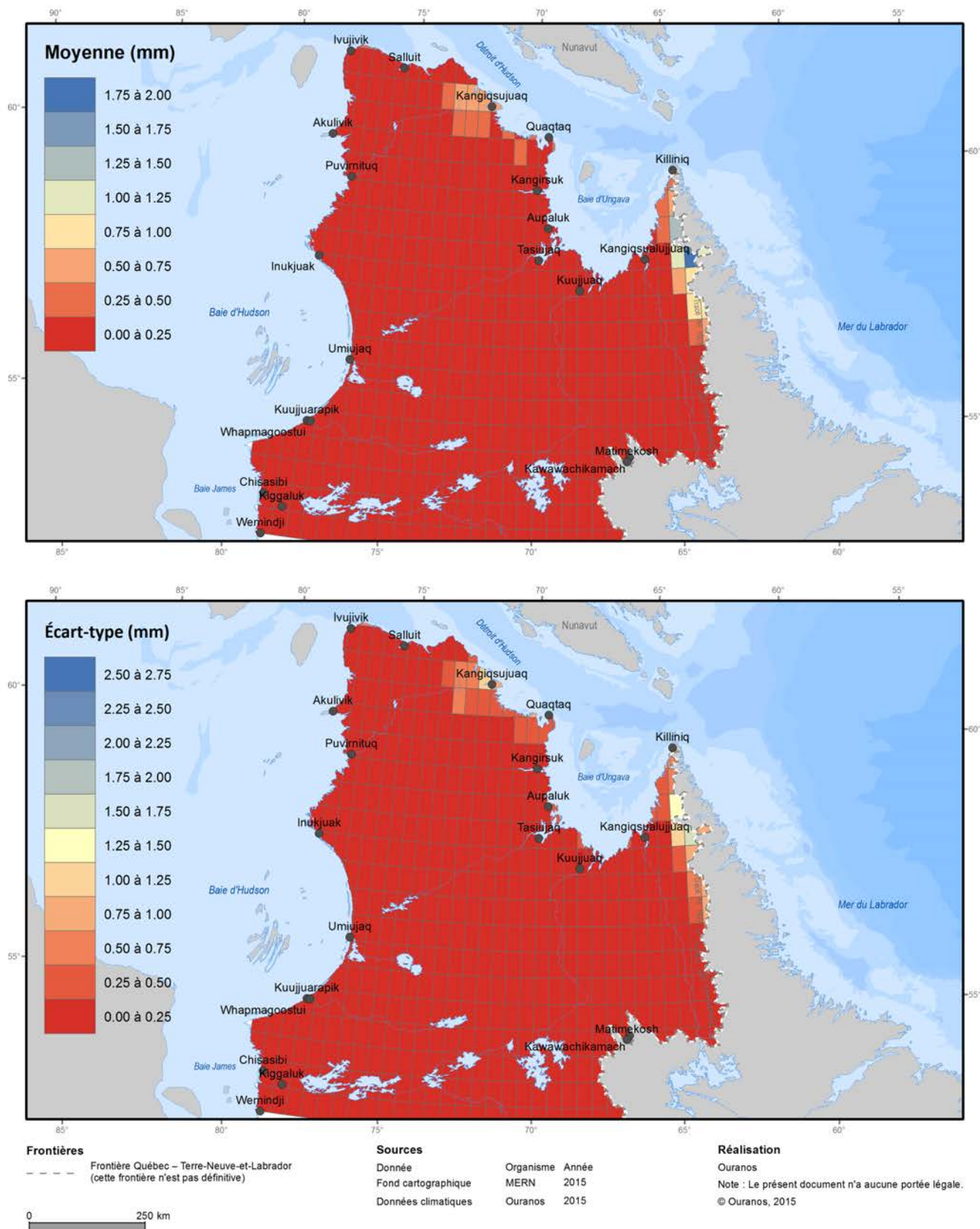


Figure A.123. Normales climatiques 1981 à 2010 (juillet) des précipitations solides (mm). Le panneau du haut présente la moyenne, tandis que le panneau du bas présente l'écart-type, de quatre réanalyses (ERA-Interim, CFSR, JRA55, MERRA).

Précipitations solides (août)

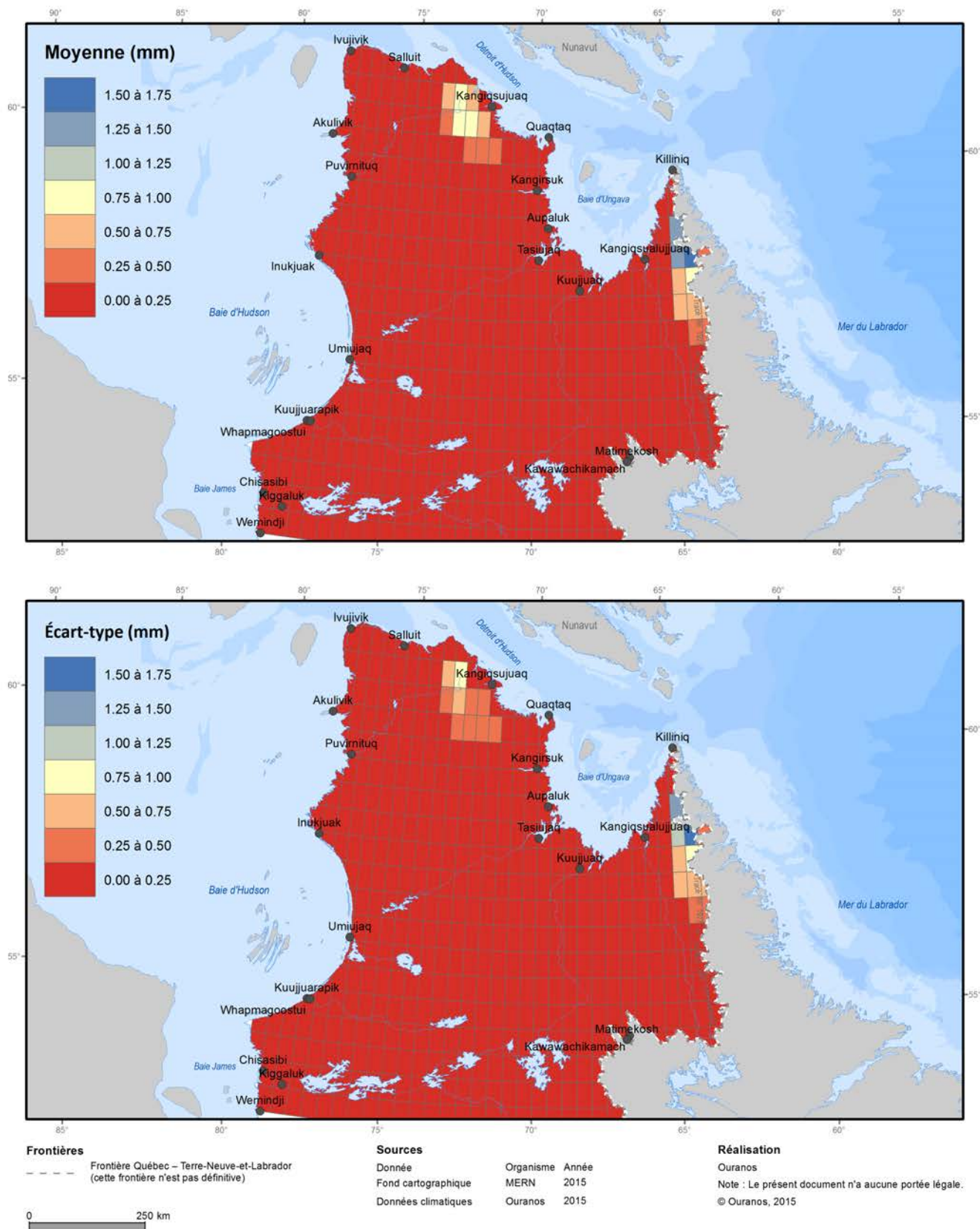


Figure A.124. Normales climatiques 1981 à 2010 (août) des précipitations solides (mm). Le panneau du haut présente la moyenne, tandis que le panneau du bas présente l'écart-type, de quatre réanalyses (ERA-Interim, CFSR, JRA55, MERRA).

Précipitations solides (septembre)

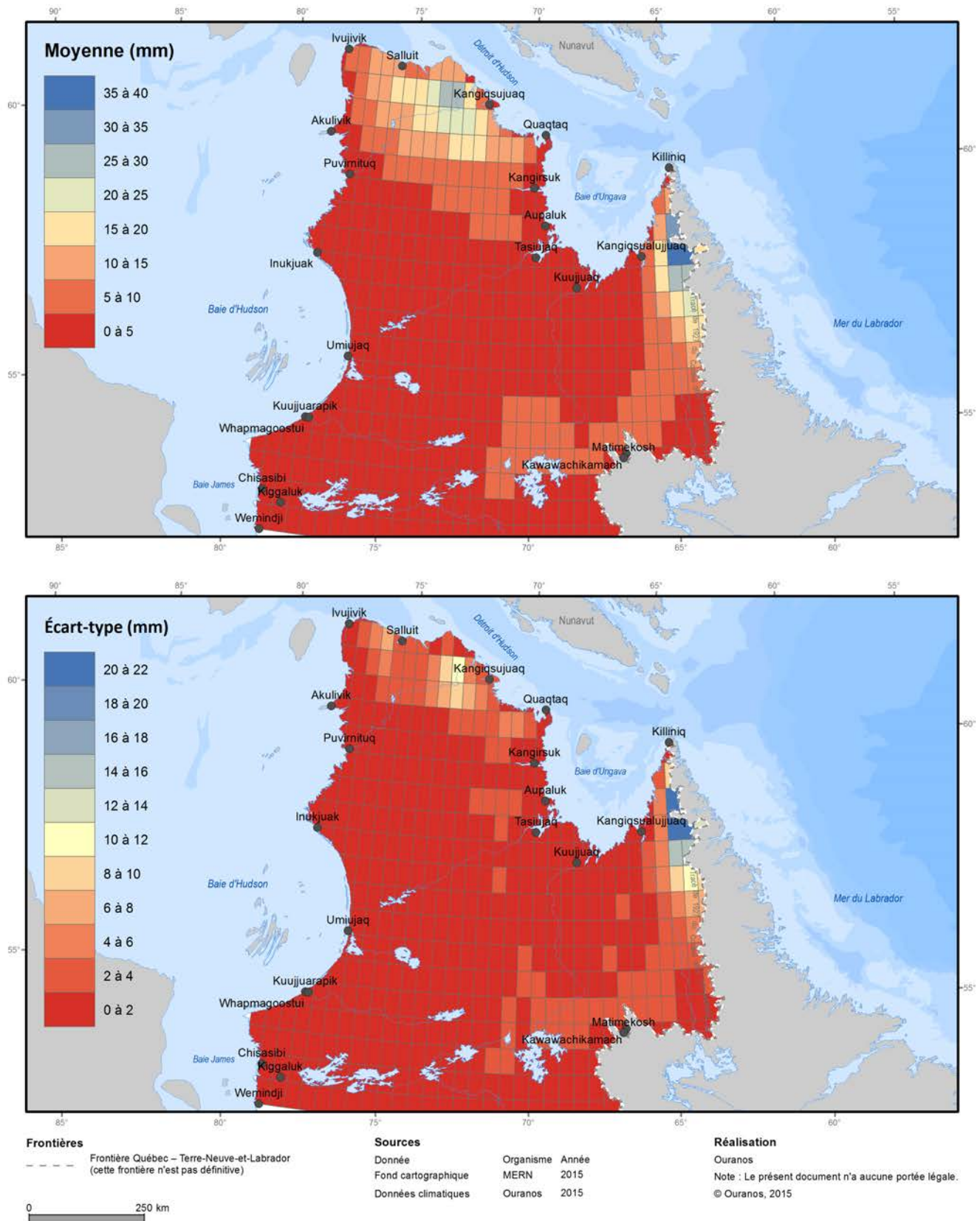


Figure A.125. Normales climatiques 1981 à 2010 (septembre) des précipitations solides (mm). Le panneau du haut présente la moyenne, tandis que le panneau du bas présente l'écart-type, de quatre réanalyses (ERA-Interim, CFSR, JRA55, MERRA).

Précipitations solides (octobre)

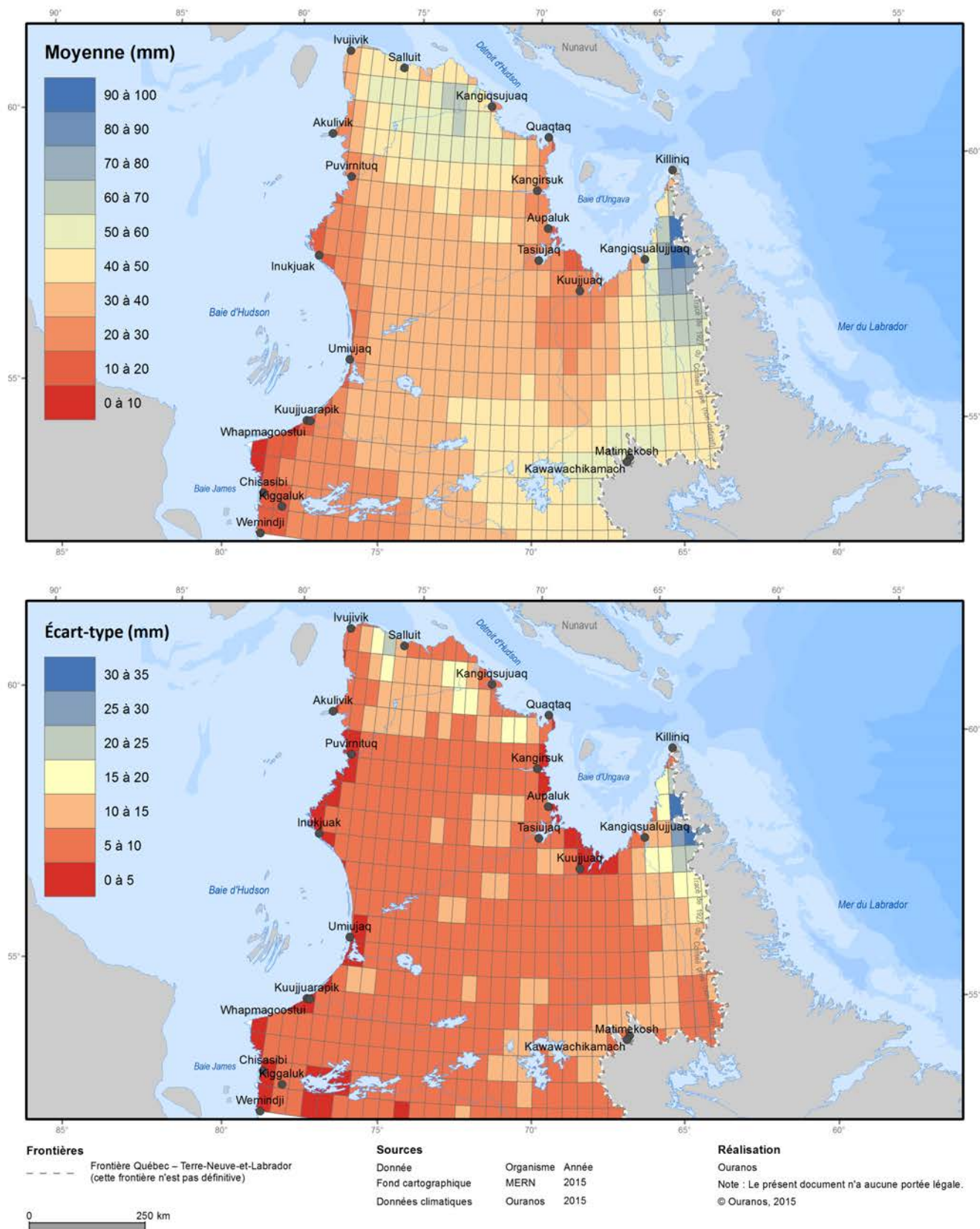


Figure A.126. Normales climatiques 1981 à 2010 (octobre) des précipitations solides (mm). Le panneau du haut présente la moyenne, tandis que le panneau du bas présente l'écart-type, de quatre réanalyses (ERA-Interim, CFSR, JRA55, MERRA).

Précipitations solides (novembre)

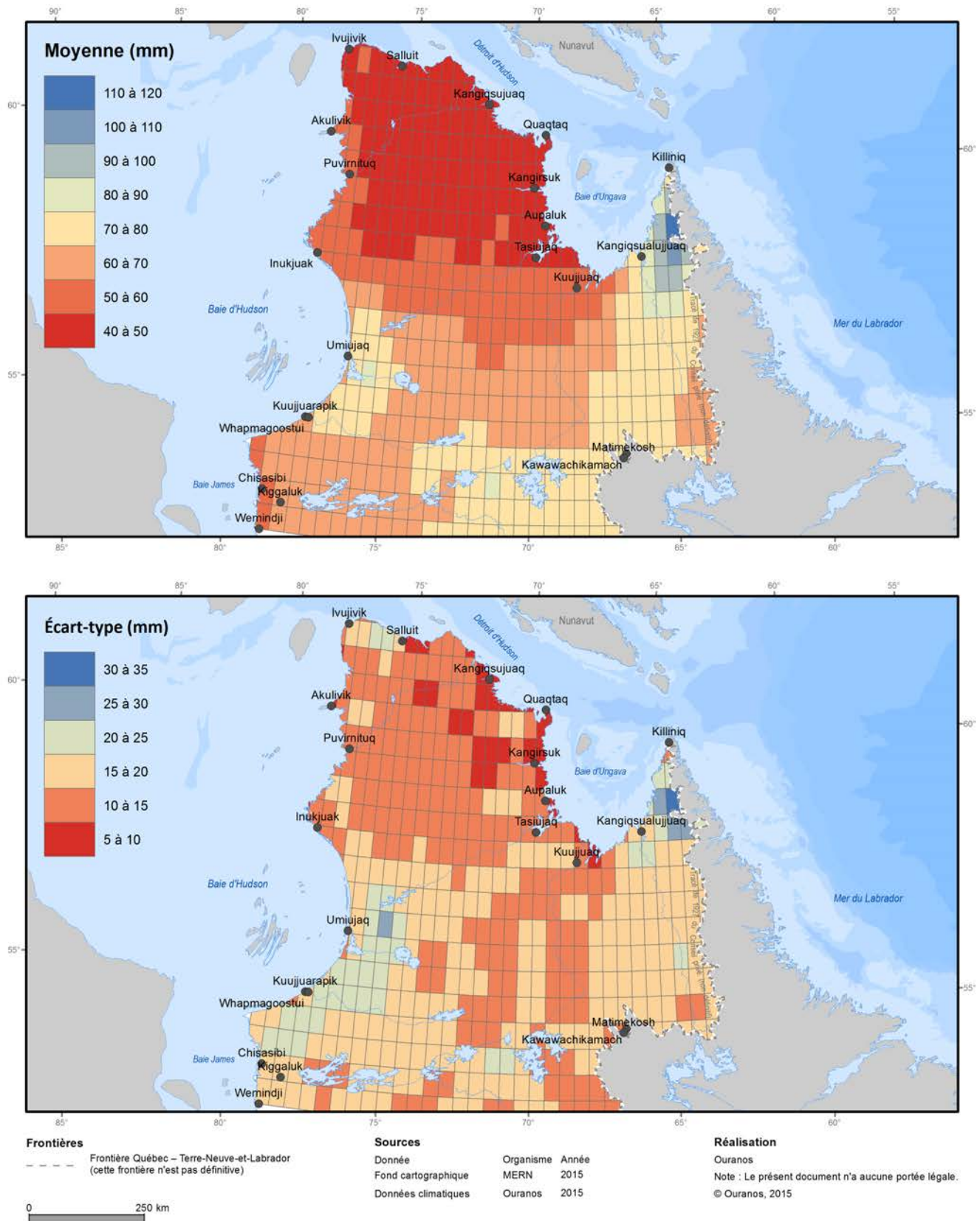


Figure A.127. Normales climatiques 1981 à 2010 (novembre) des précipitations solides (mm). Le panneau du haut présente la moyenne, tandis que le panneau du bas présente l'écart-type, de quatre réanalyses (ERA-Interim, CFSR, JRA55, MERRA).

Précipitations solides (décembre)

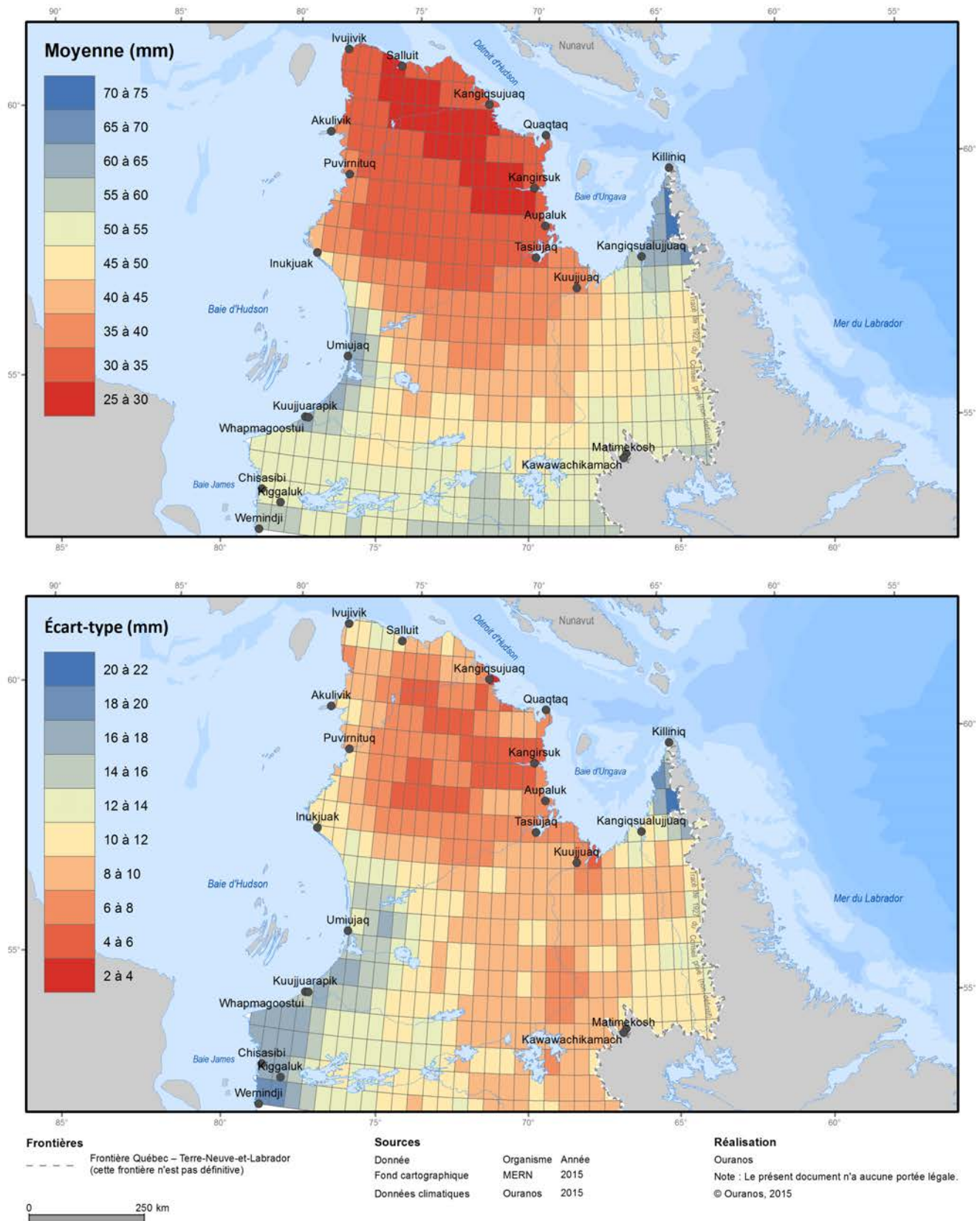


Figure A.128. Normales climatiques 1981 à 2010 (décembre) des précipitations solides (mm). Le panneau du haut présente la moyenne, tandis que le panneau du bas présente l'écart-type, de quatre réanalyses (ERA-Interim, CFSR, JRA55, MERRA).

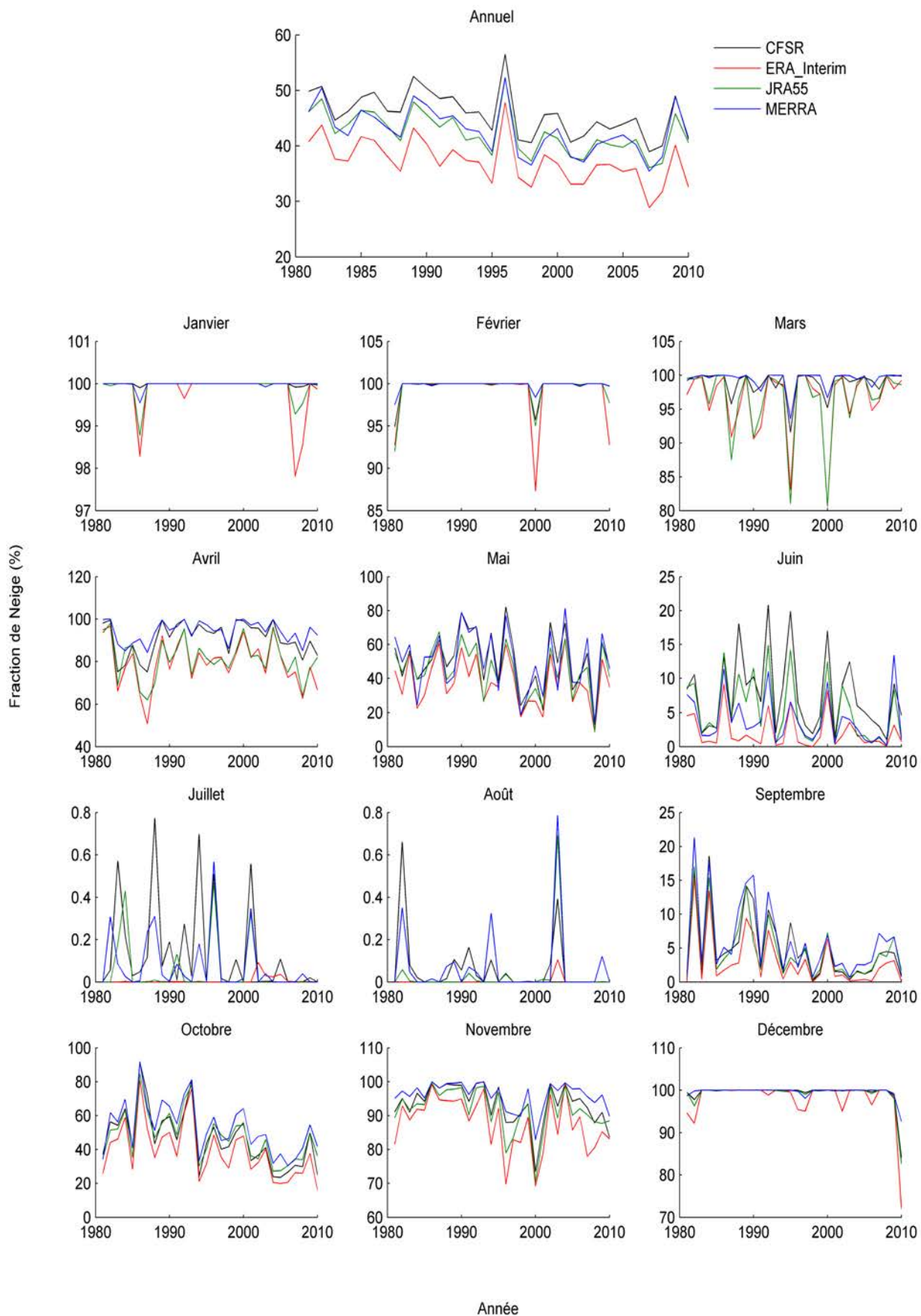


Figure A.129. Évolution de la fraction de neige (%) selon chacune des quatre réanalyses (ERA-Interim, CFSR, JRA55, MERRA), moyennée pour l'ensemble du territoire à l'étude.

Fraction de neige (annuelle)

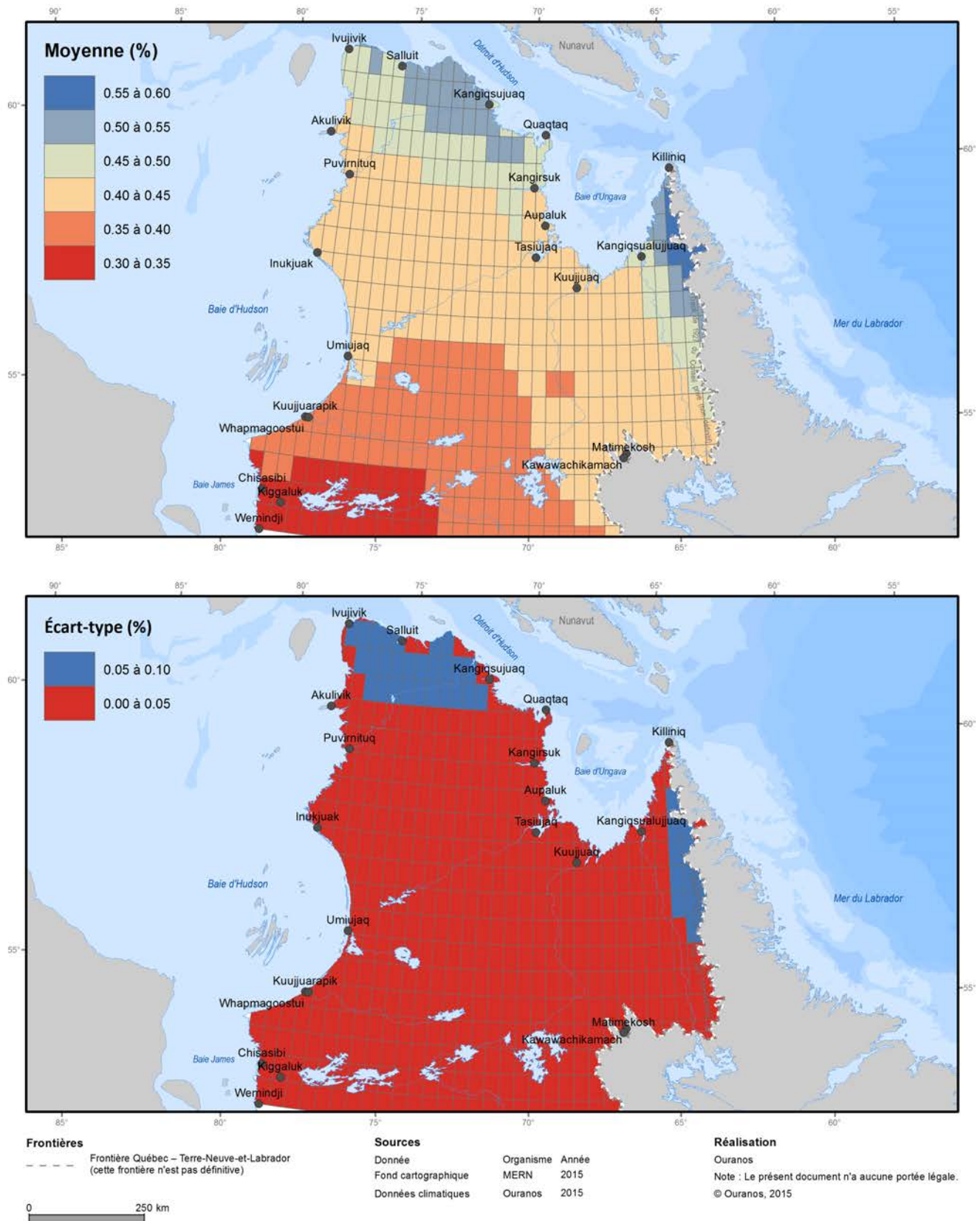


Figure A.130. Normales climatiques 1981 à 2010 (annuelle) de la fraction de neige (%). Le panneau du haut présente la moyenne, tandis que le panneau du bas présente l'écart-type, de quatre réanalyses (ERA-Interim, CFSR, JRA55, MERRA).

Fraction de neige (janvier)

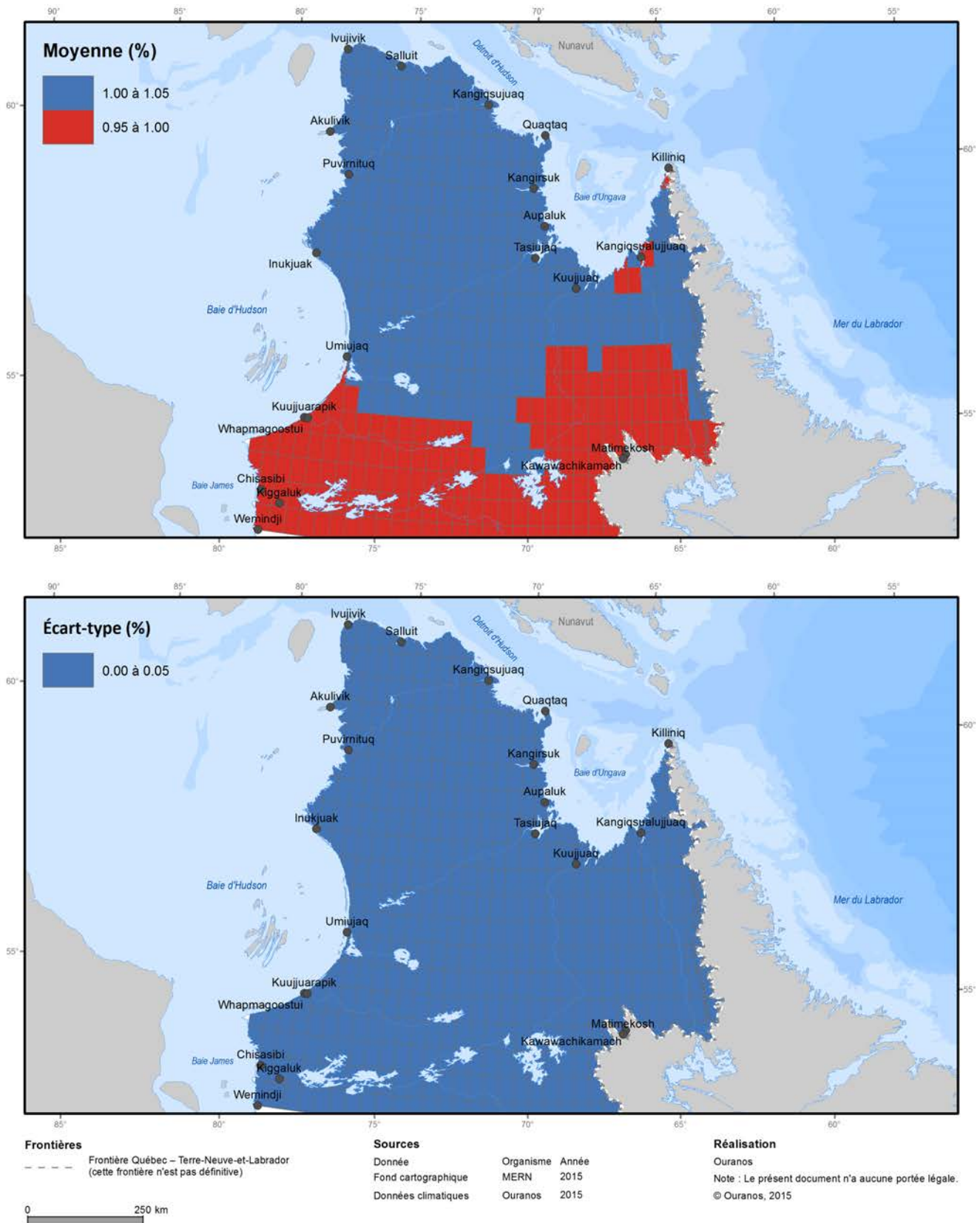


Figure A.131. Normales climatiques 1981 à 2010 (janvier) de la fraction de neige (%). Le panneau du haut présente la moyenne, tandis que le panneau du bas présente l'écart-type, de quatre réanalyses (ERA-Interim, CFSR, JRA55, MERRA).

Fraction de neige (février)

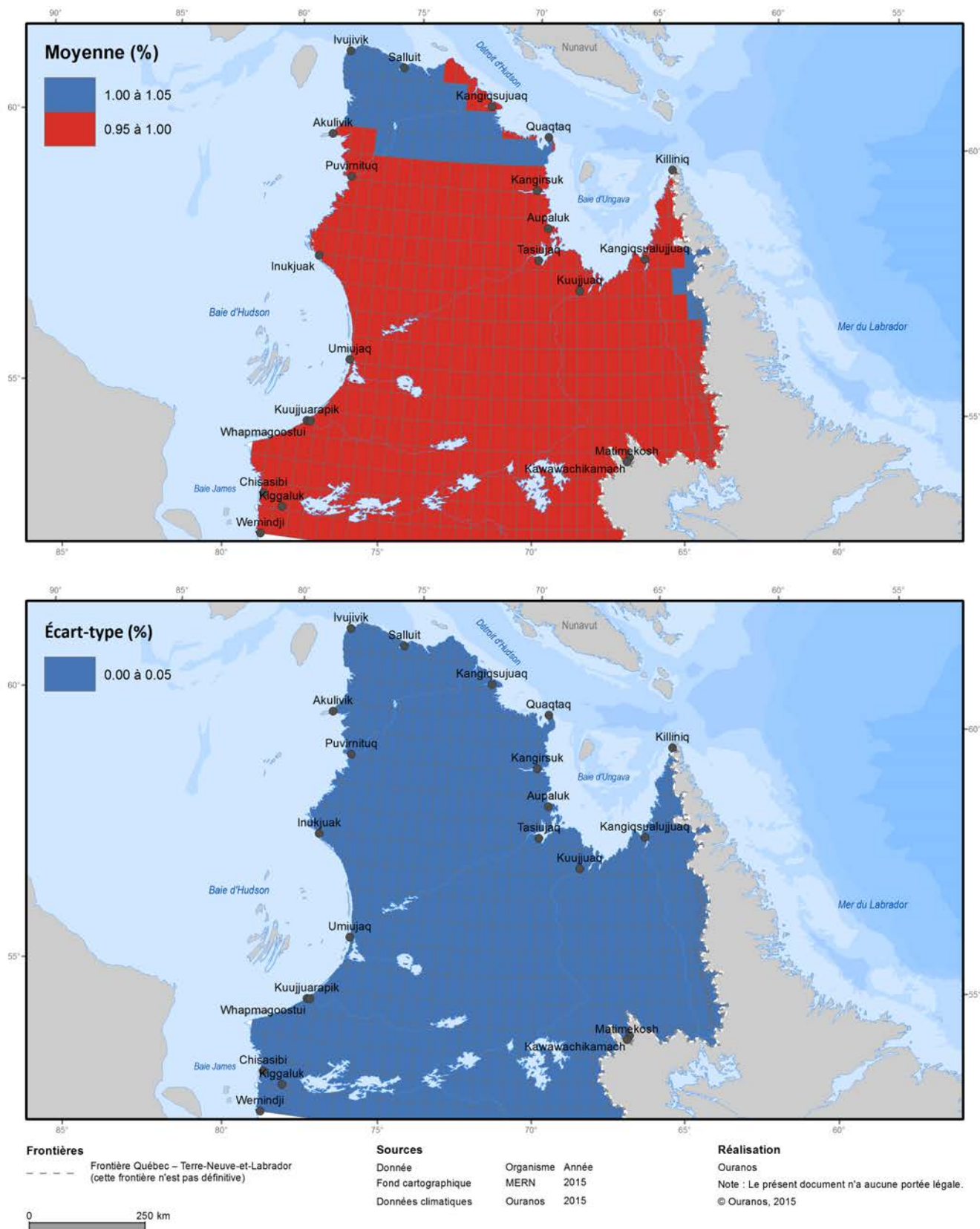


Figure A.132. Normales climatiques 1981 à 2010 (février) de la fraction de neige (%). Le panneau du haut présente la moyenne, tandis que le panneau du bas présente l'écart-type, de quatre réanalyses (ERA-Interim, CFSR, JRA55, MERRA).

Fraction de neige (mars)

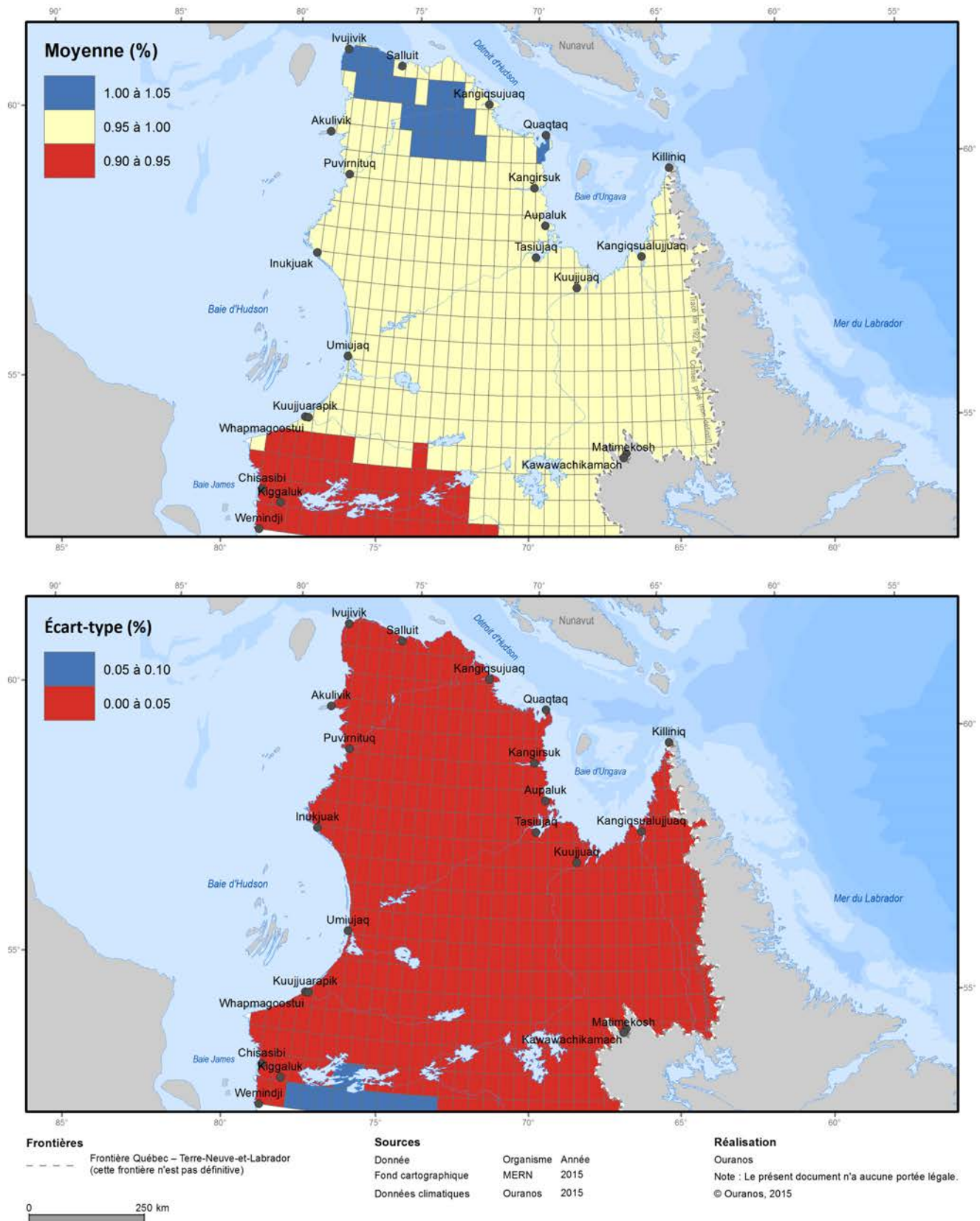


Figure A.133. Normales climatiques 1981 à 2010 (mars) de la fraction de neige (%). Le panneau du haut présente la moyenne, tandis que le panneau du bas présente l'écart-type, de quatre réanalyses (ERA-Interim, CFSR, JRA55, MERRA).

Fraction de neige (avril)

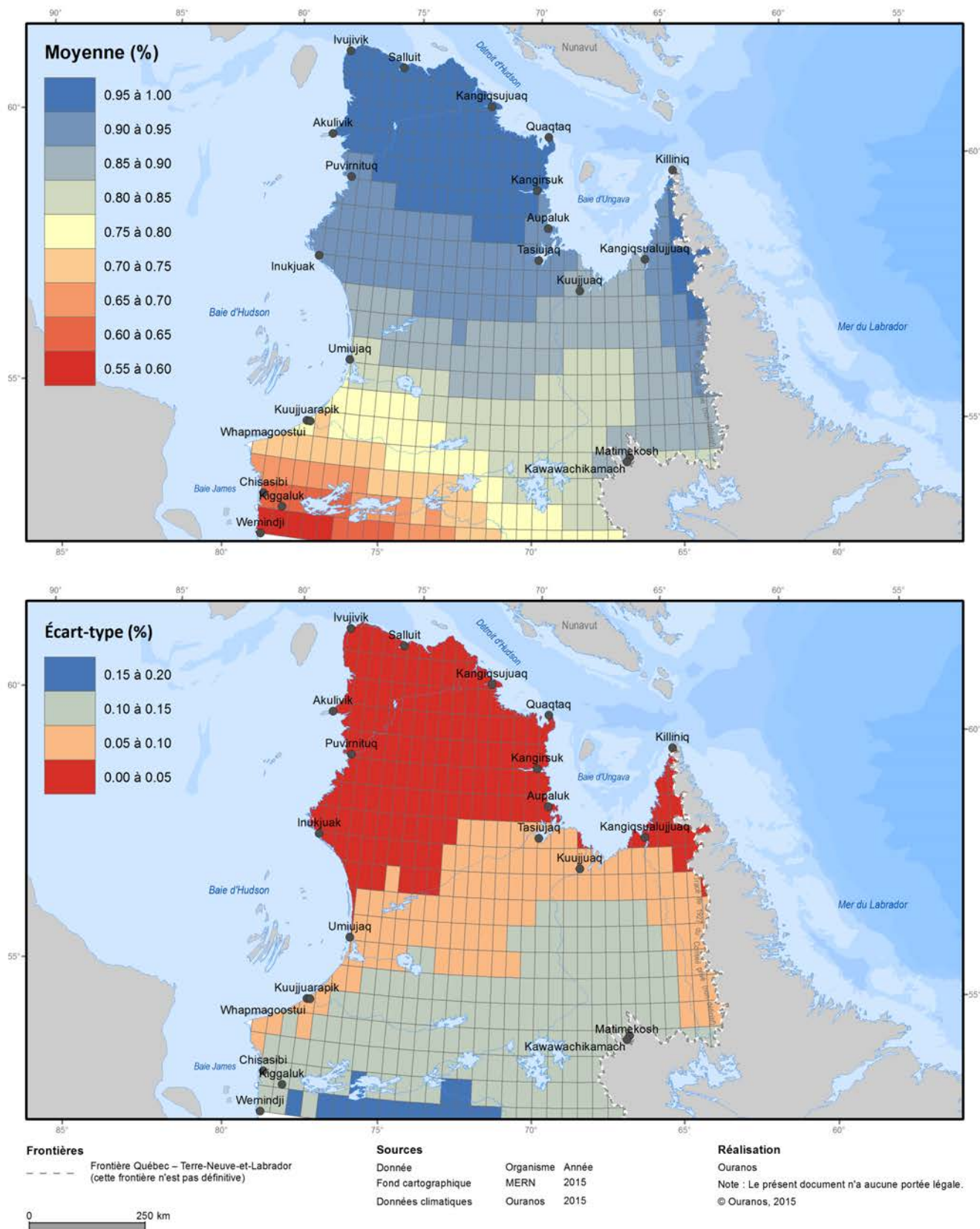


Figure A.134. Normales climatiques 1981 à 2010 (avril) de la fraction de neige (%). Le panneau du haut présente la moyenne, tandis que le panneau du bas présente l'écart-type, de quatre réanalyses (ERA-Interim, CFSR, JRA55, MERRA).

Fraction de neige (mai)

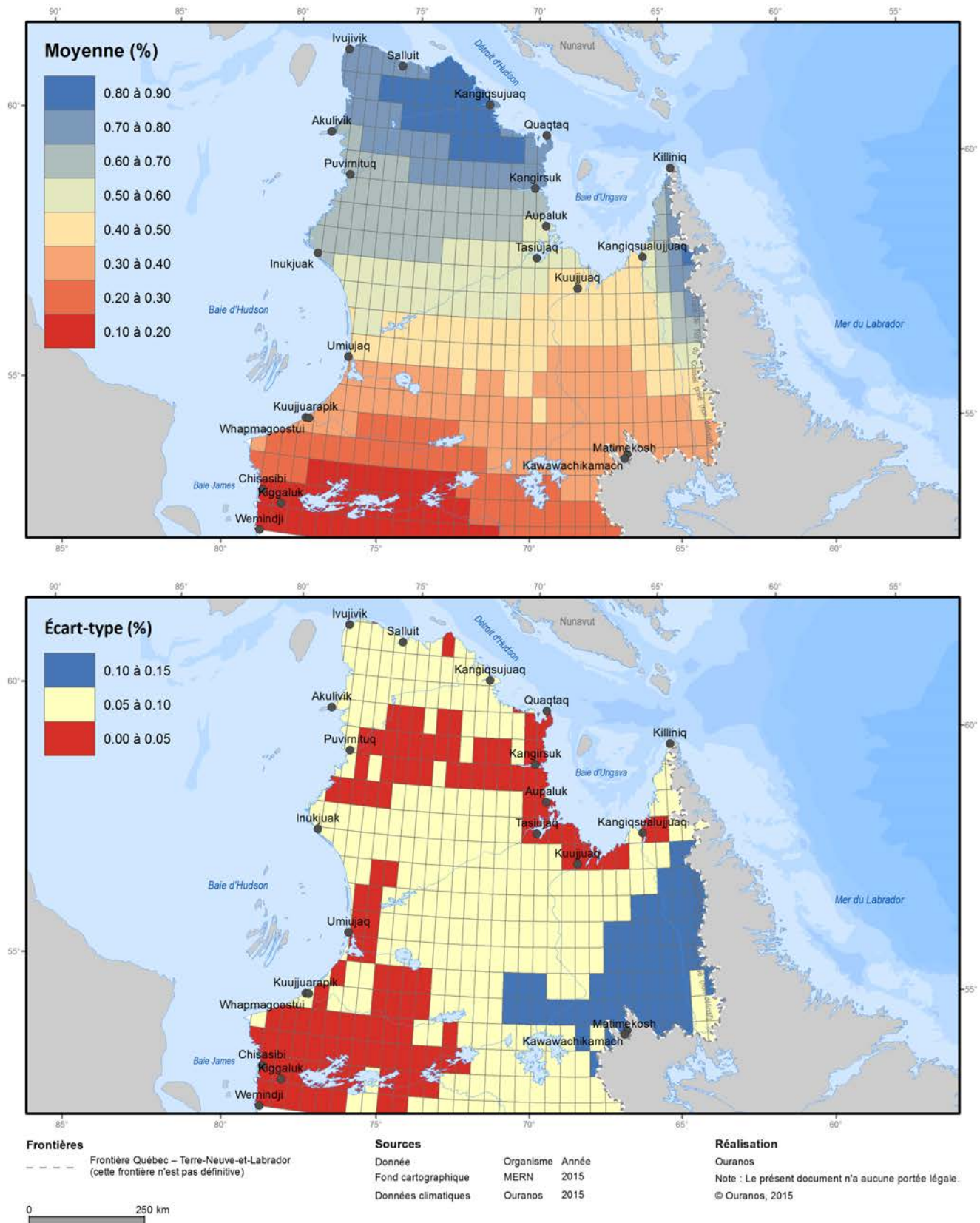


Figure A.135. Normales climatiques 1981 à 2010 (mai) de la fraction de neige (%). Le panneau du haut présente la moyenne, tandis que le panneau du bas présente l'écart-type, de quatre réanalyses (ERA-Interim, CFSR, JRA55, MERRA).

Fraction de neige (juin)

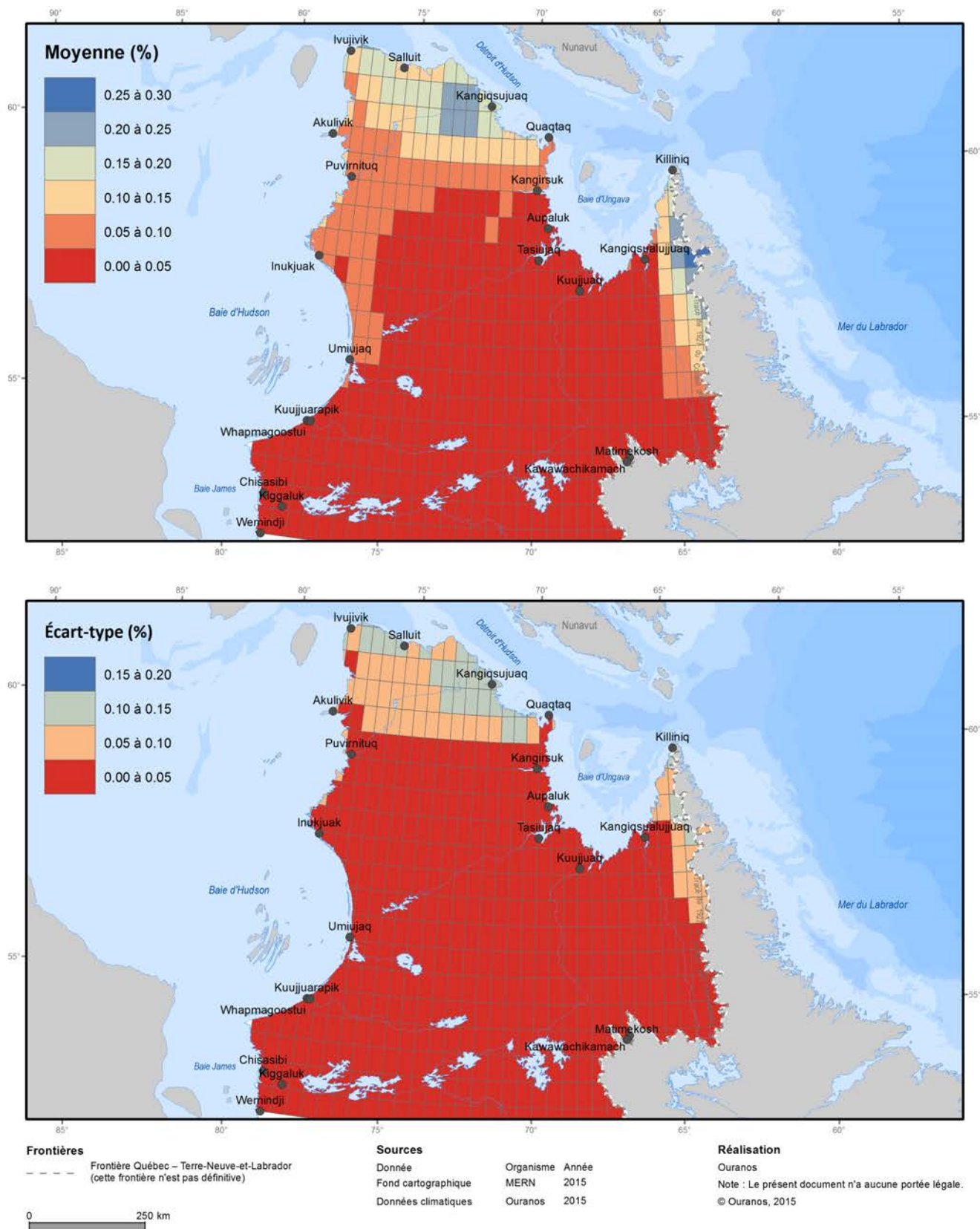


Figure A.136. Normales climatiques 1981 à 2010 (juin) de la fraction de neige (%). Le panneau du haut présente la moyenne, tandis que le panneau du bas présente l'écart-type, de quatre réanalyses (ERA-Interim, CFSR, JRA55, MERRA).

Fraction de neige (juillet)

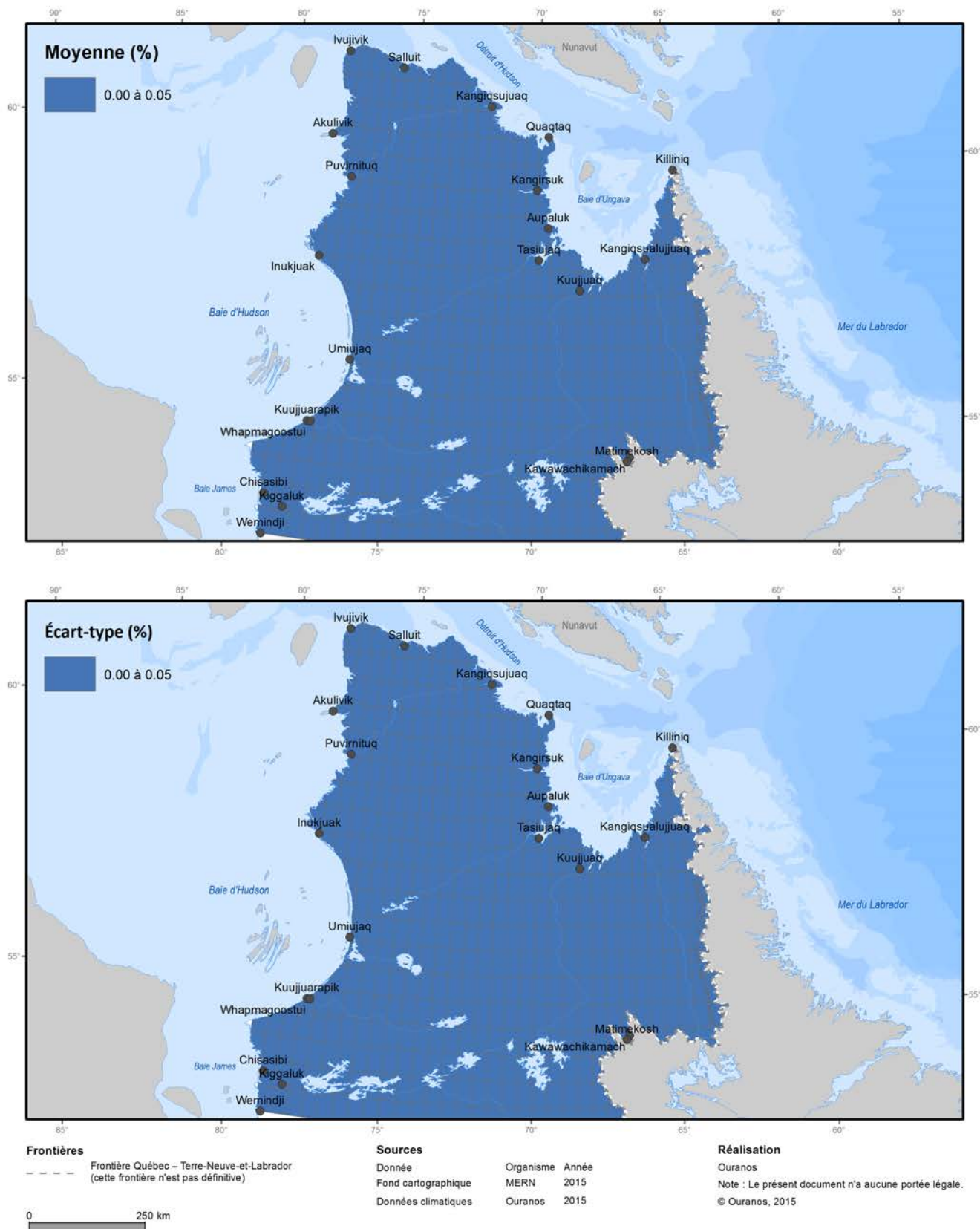


Figure A.137. Normales climatiques 1981 à 2010 (juillet) de la fraction de neige (%). Le panneau du haut présente la moyenne, tandis que le panneau du bas présente l'écart-type, de quatre réanalyses (ERA-Interim, CFSR, JRA55, MERRA).

Fraction de neige (août)

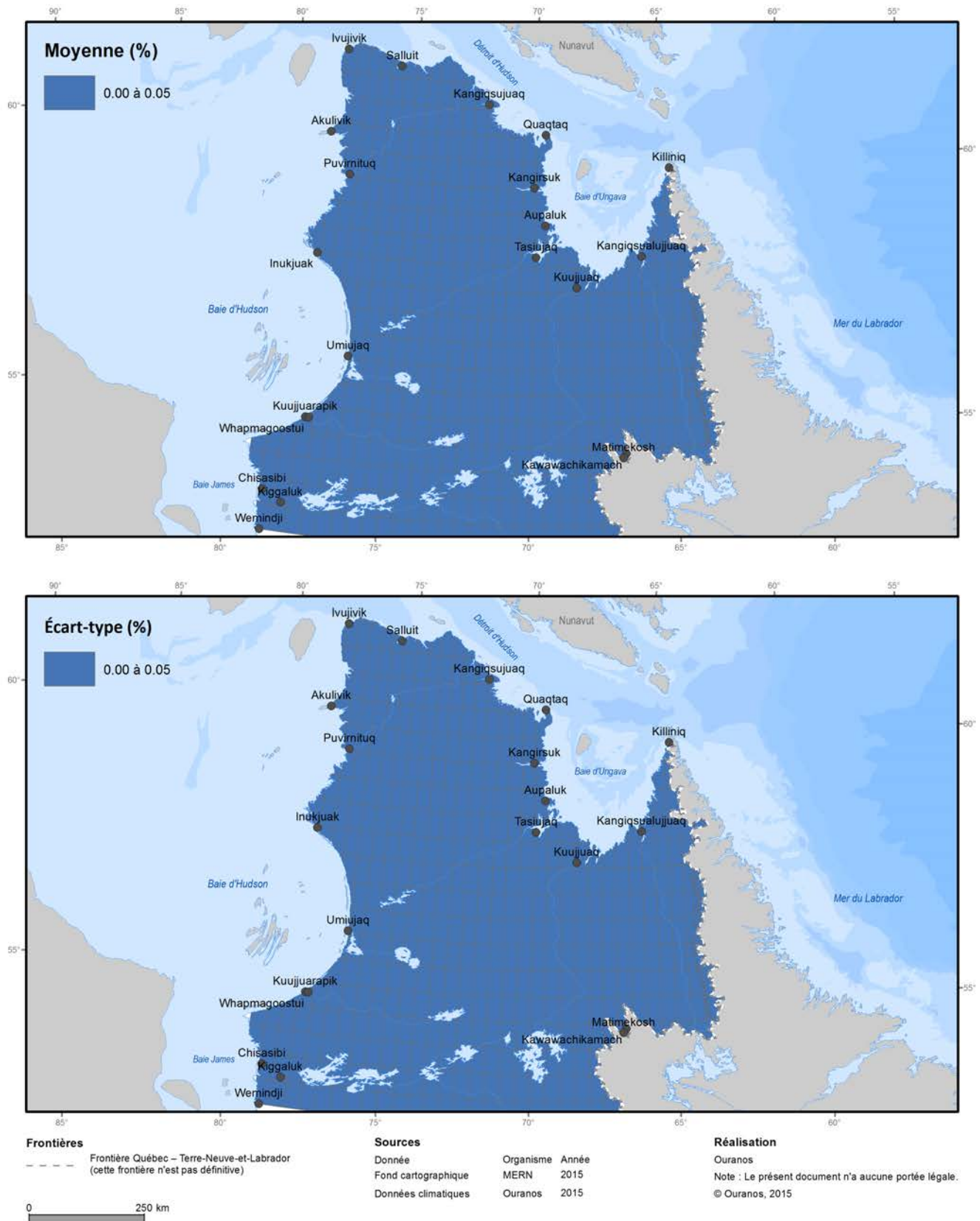


Figure A.138. Normales climatiques 1981 à 2010 (août) de la fraction de neige (%). Le panneau du haut présente la moyenne, tandis que le panneau du bas présente l'écart-type, de quatre réanalyses (ERA-Interim, CFSR, JRA55, MERRA).

Fraction de neige (septembre)

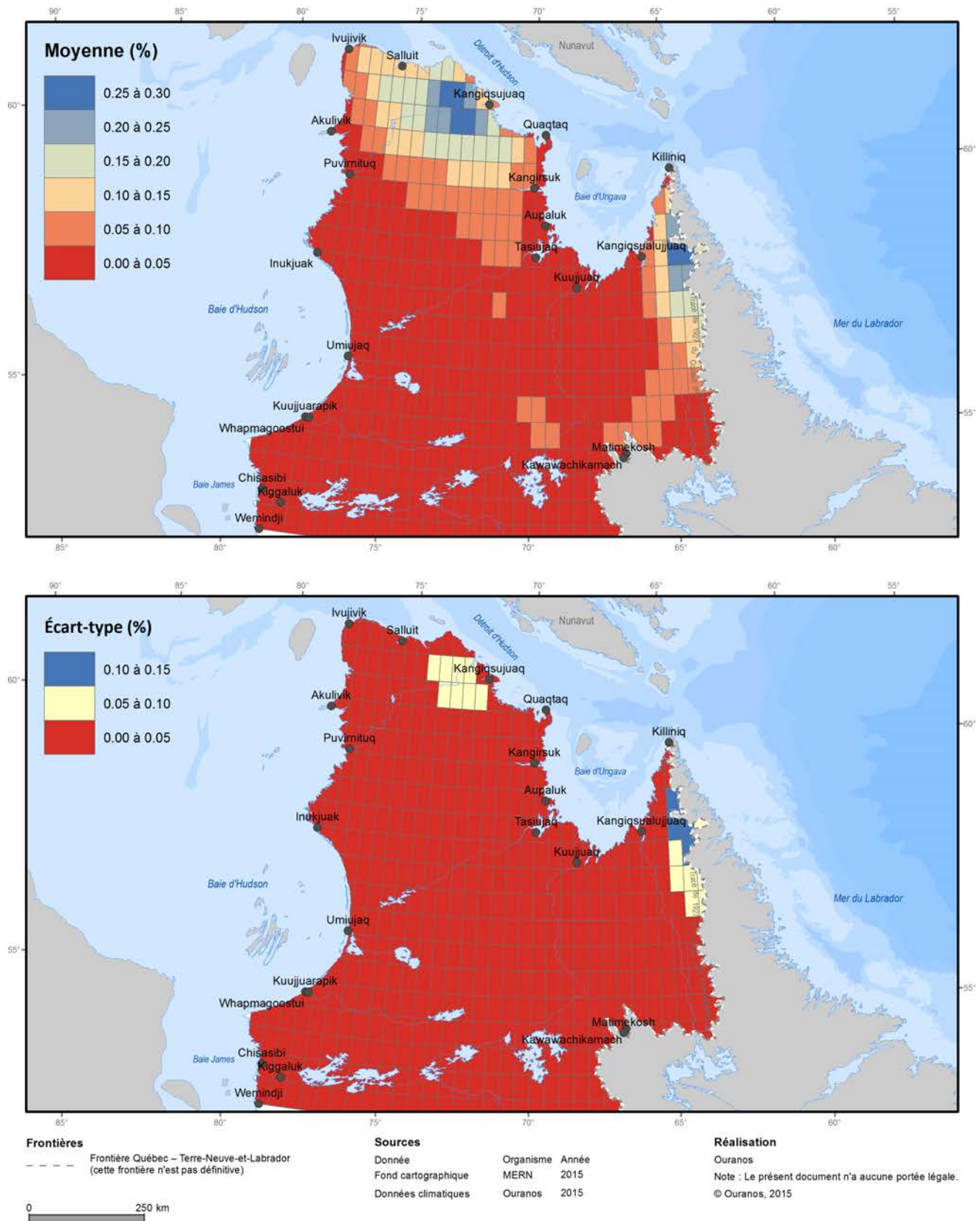


Figure A.139. Normales climatiques 1981 à 2010 (septembre) de la fraction de neige (%). Le panneau du haut présente la moyenne, tandis que le panneau du bas présente l'écart-type, de quatre réanalyses (ERA-Interim, CFSR, JRA55, MERRA).

Fraction de neige (octobre)

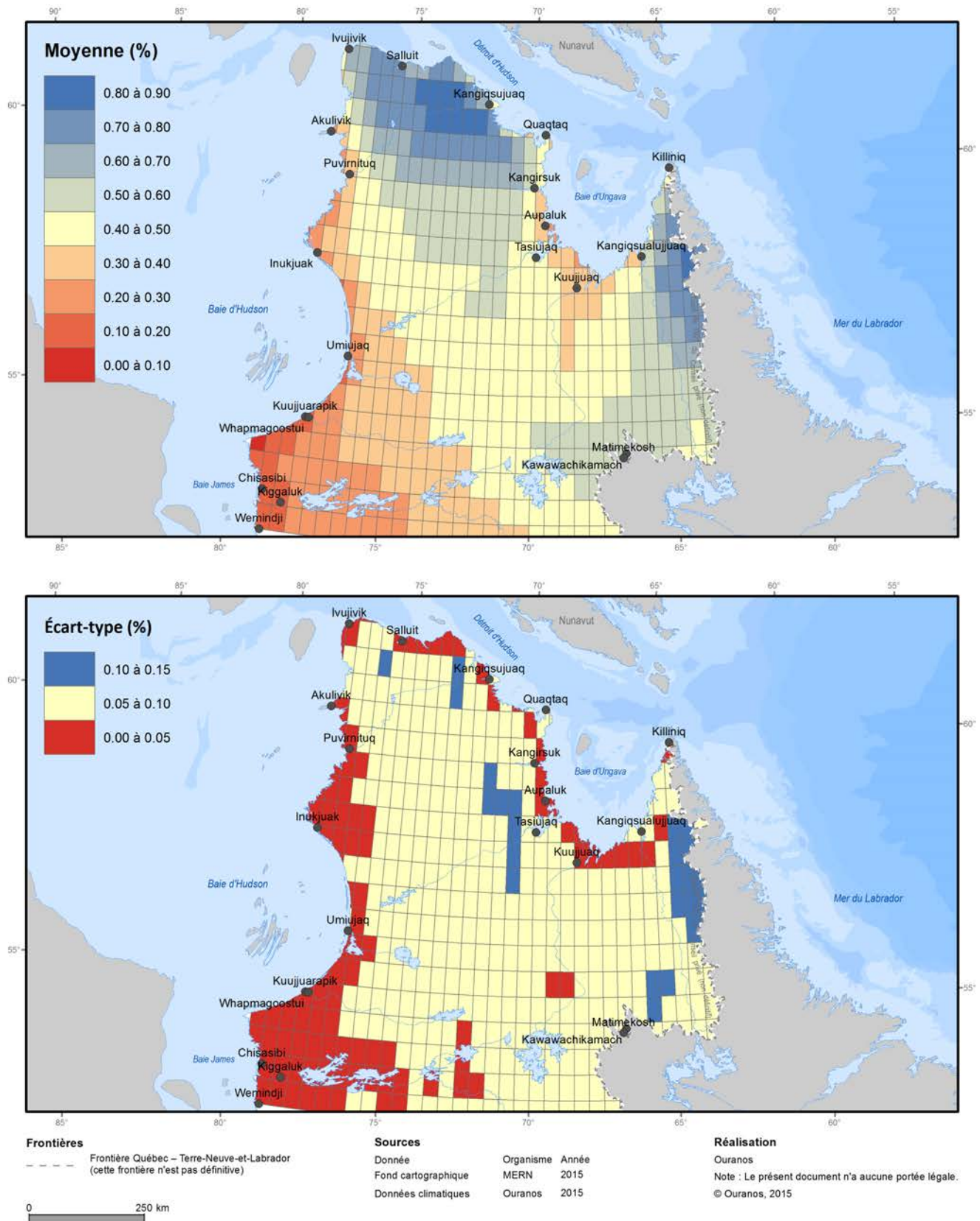


Figure A.140. Normales climatiques 1981 à 2010 (octobre) de la fraction de neige (%). Le panneau du haut présente la moyenne, tandis que le panneau du bas présente l'écart-type, de quatre réanalyses (ERA-Interim, CFSR, JRA55, MERRA).

Fraction de neige (novembre)

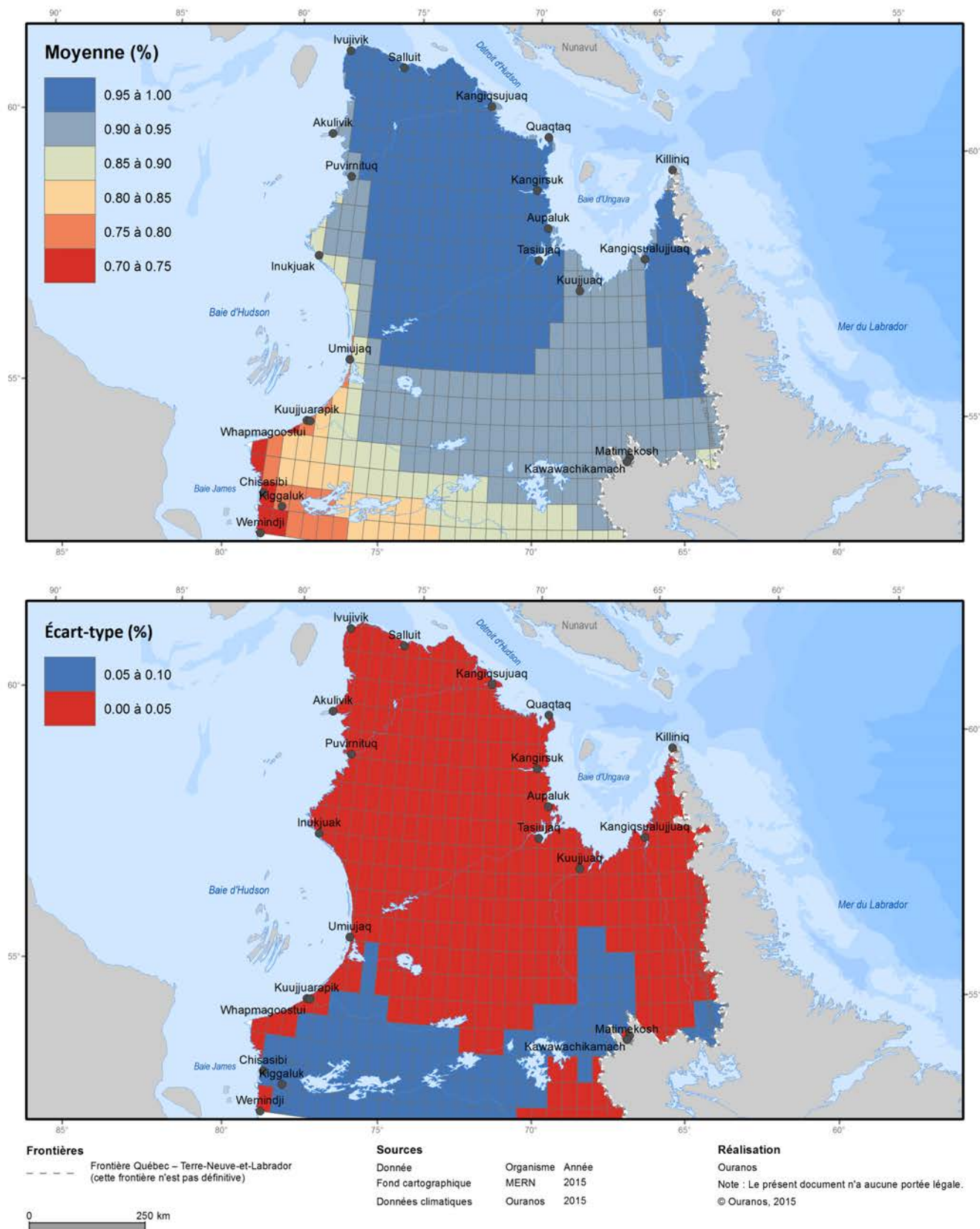


Figure A.141. Normales climatiques 1981 à 2010 (novembre) de la fraction de neige (%). Le panneau du haut présente la moyenne, tandis que le panneau du bas présente l'écart-type, de quatre réanalyses (ERA-Interim, CFSR, JRA55, MERRA).

Fraction de neige (décembre)

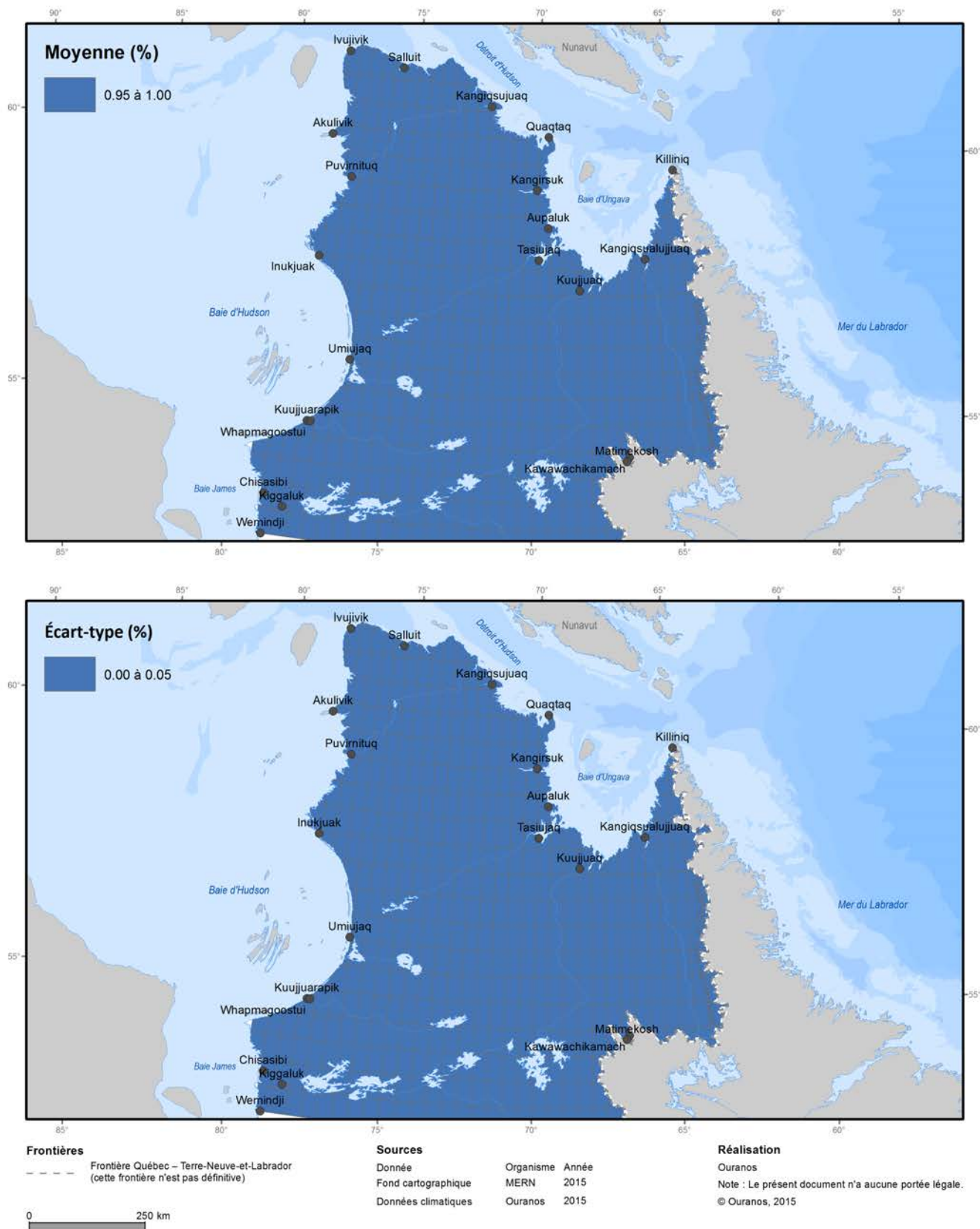


Figure A.142. Normales climatiques 1981 à 2010 (décembre) de la fraction de neige (%). Le panneau du haut présente la moyenne, tandis que le panneau du bas présente l'écart-type, de quatre réanalyses (ERA-Interim, CFSR, JRA55, MERRA).

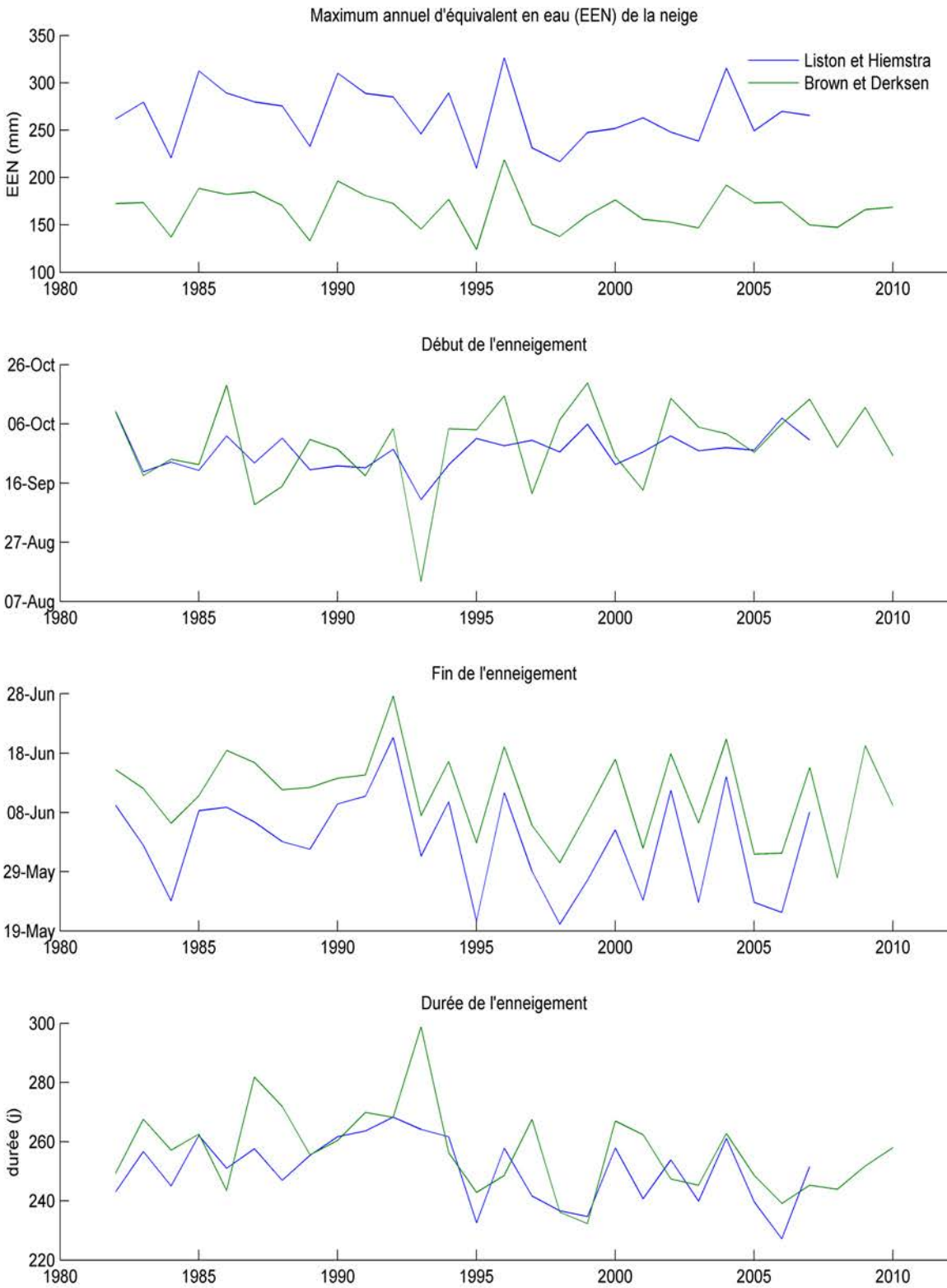


Figure A.143. Évolution de la neige au sol calculé à partir des données de Liston-Hiemstra et de Brown-Derksen, moyenné pour l'ensemble du territoire à l'étude

Moyenne 1981-2010 : Maximum annuel de l'équivalent en eau de la neige

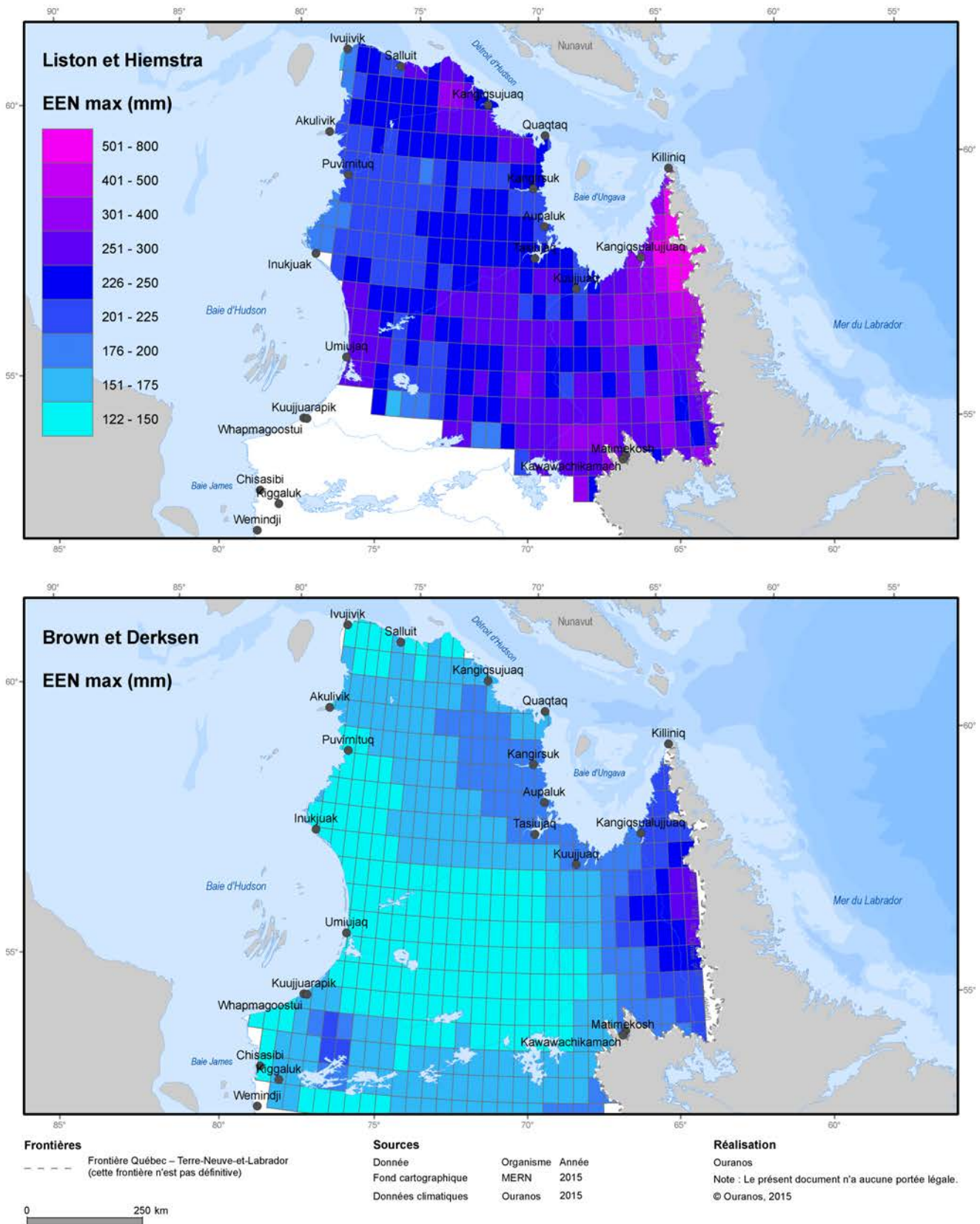


Figure A.144. Normales climatiques 1981 à 2010 du maximum annuel de l'équivalent en eau (mm). Le panneau du haut présente la moyenne, tandis que le panneau du bas présente l'écart-type, de quatre réanalyses (ERA-Interim, CFSR, JRA55, MERRA).

Moyenne 1981-2010 : Début de la saison d'enneigement

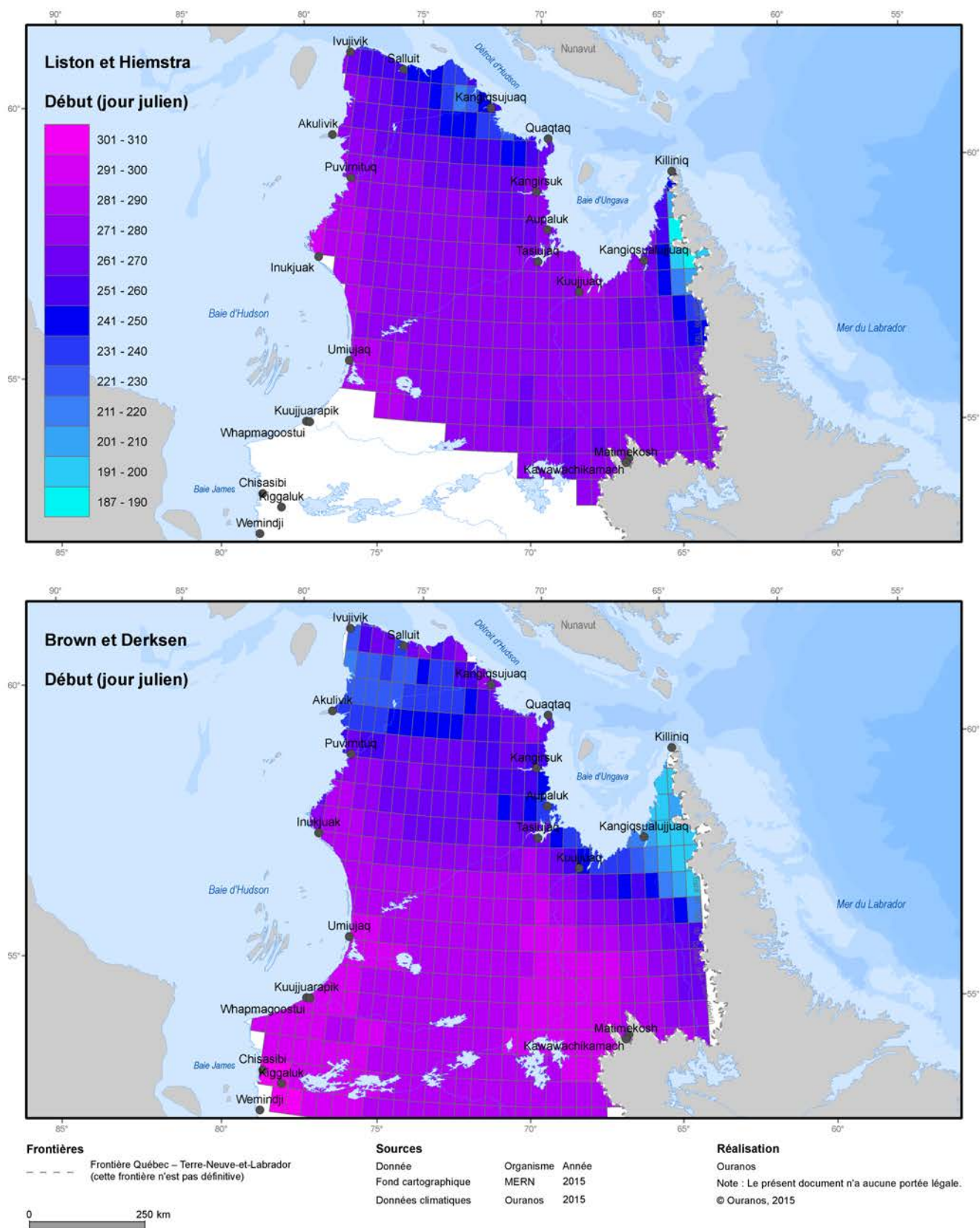


Figure A.145. Normales climatiques 1981 à 2010 du début de la saison d'enneigement (jour julien). Le panneau du haut présente la moyenne, tandis que le panneau du bas présente l'écart-type, de quatre réanalyses (ERA-Interim, CFSR, JRA55, MERRA).

Moyenne 1981-2010 : Fin de la saison d'enneigement

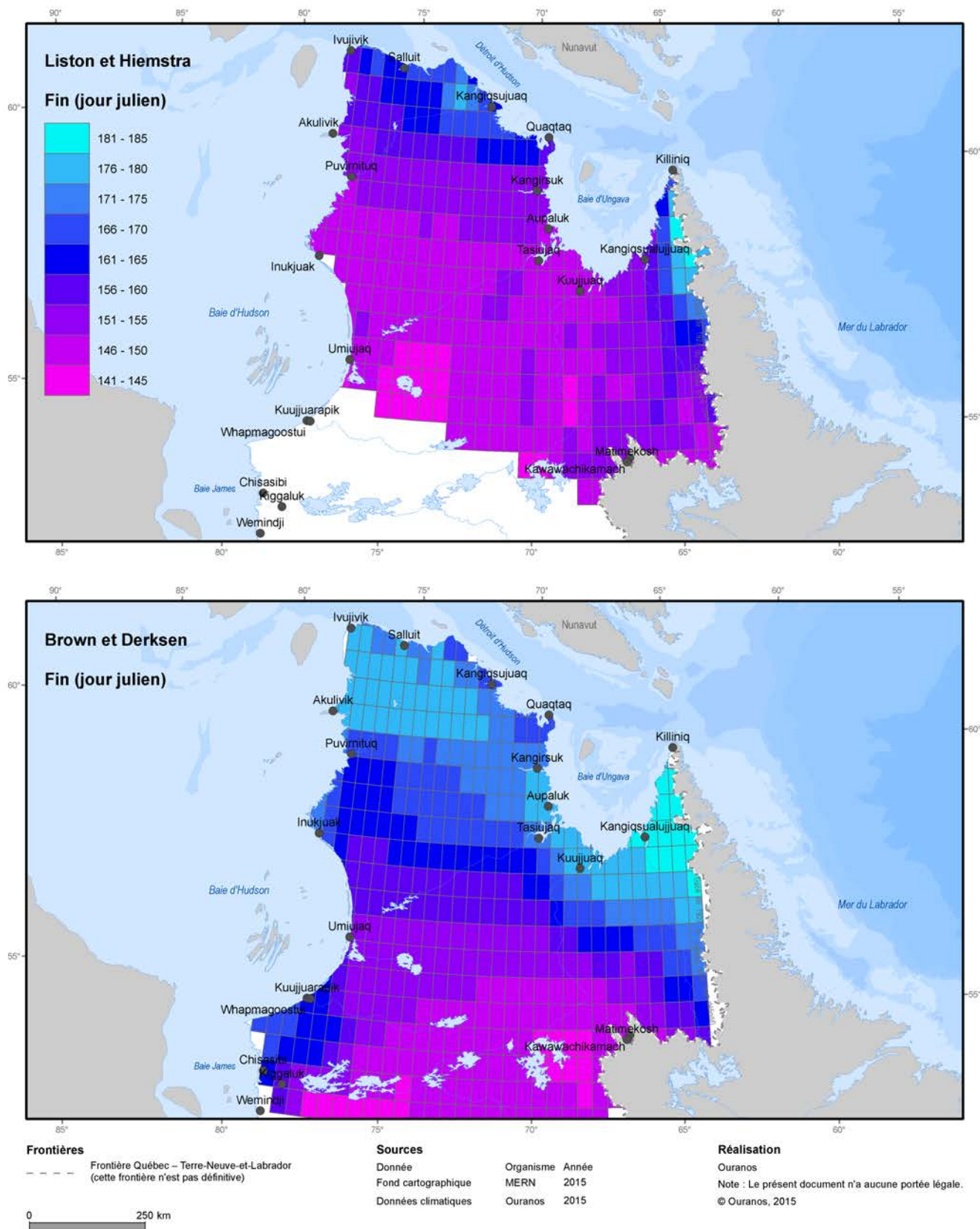


Figure A.146. Normales climatiques 1981 à 2010 de la fin de la saison d'enneigement (jour julien). Le panneau du haut présente la moyenne, tandis que le panneau du bas présente l'écart-type, de quatre réanalyses (ERA-Interim, CFSR, JRA55, MERRA).

Moyenne 1981-2010 : Durée de l'enneigement

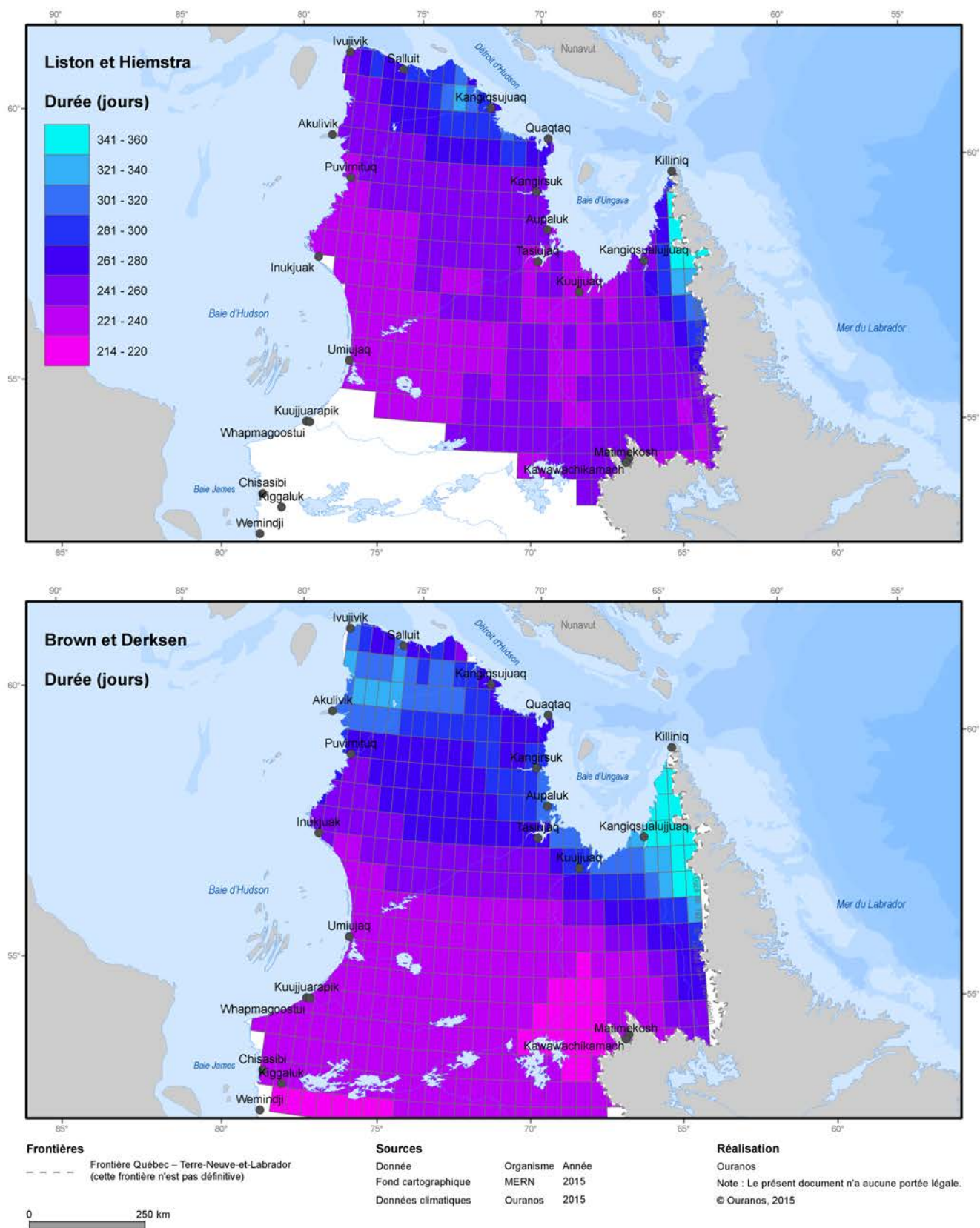


Figure A.147. Normales climatiques 1981 à 2010 de la durée de l'enneigement (jours). Le panneau du haut présente la moyenne, tandis que le panneau du bas présente l'écart-type, de quatre réanalyses (ERA-Interim, CFSR, JRA55, MERRA).

Classification Bioclimatique : P,M,TC

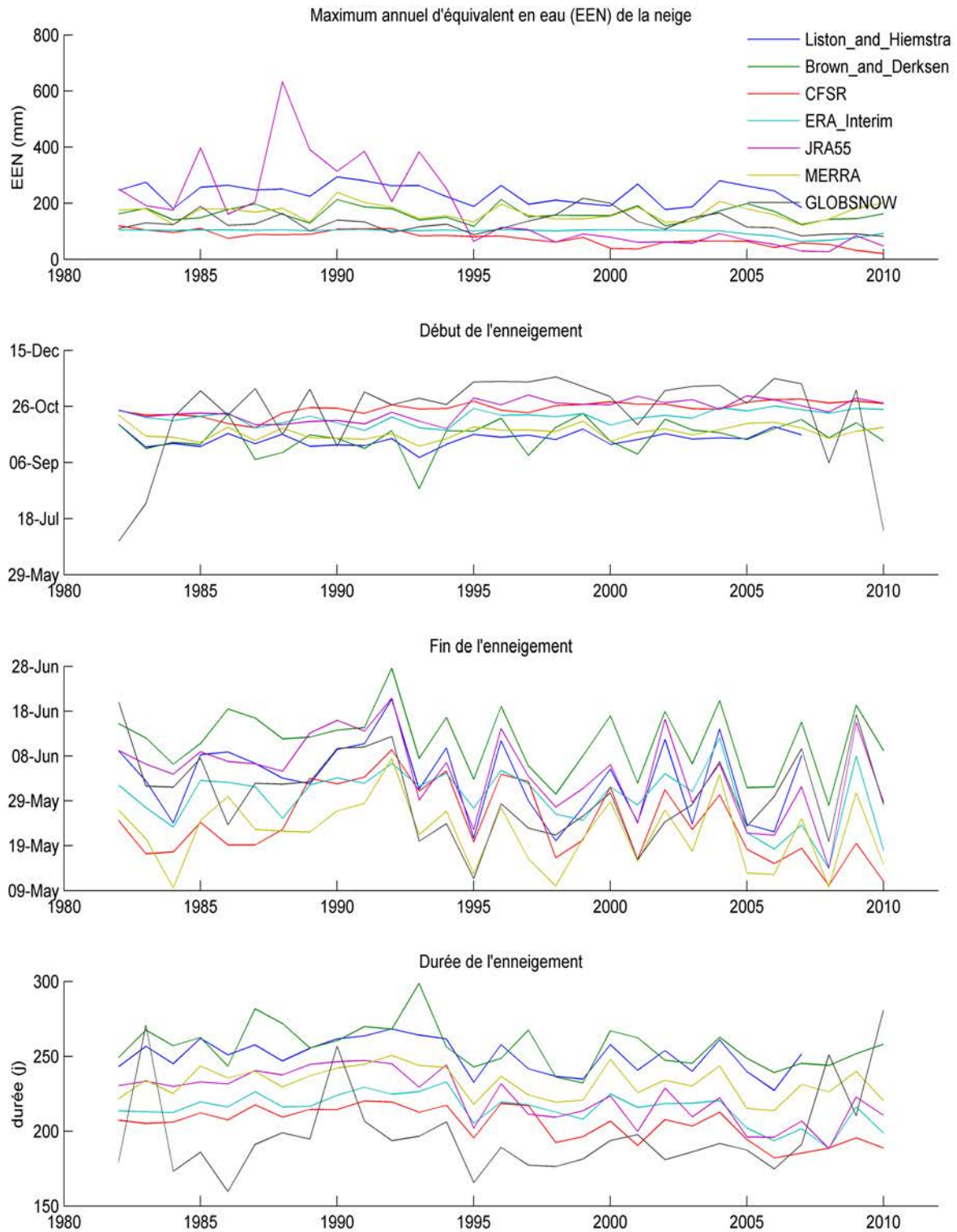


Figure A.148 Comparaison de l'évolution de quatre variables de neige (équivalent en eau de la neige, début, fin et durée de l'enneigement) entre sept réanalyses disponibles pour le bioclimat P,M,TC. Le bioclimat qui correspond à cette région est présenté à la figure 21 du rapport.

Classification Bioclimatique : P,M,C

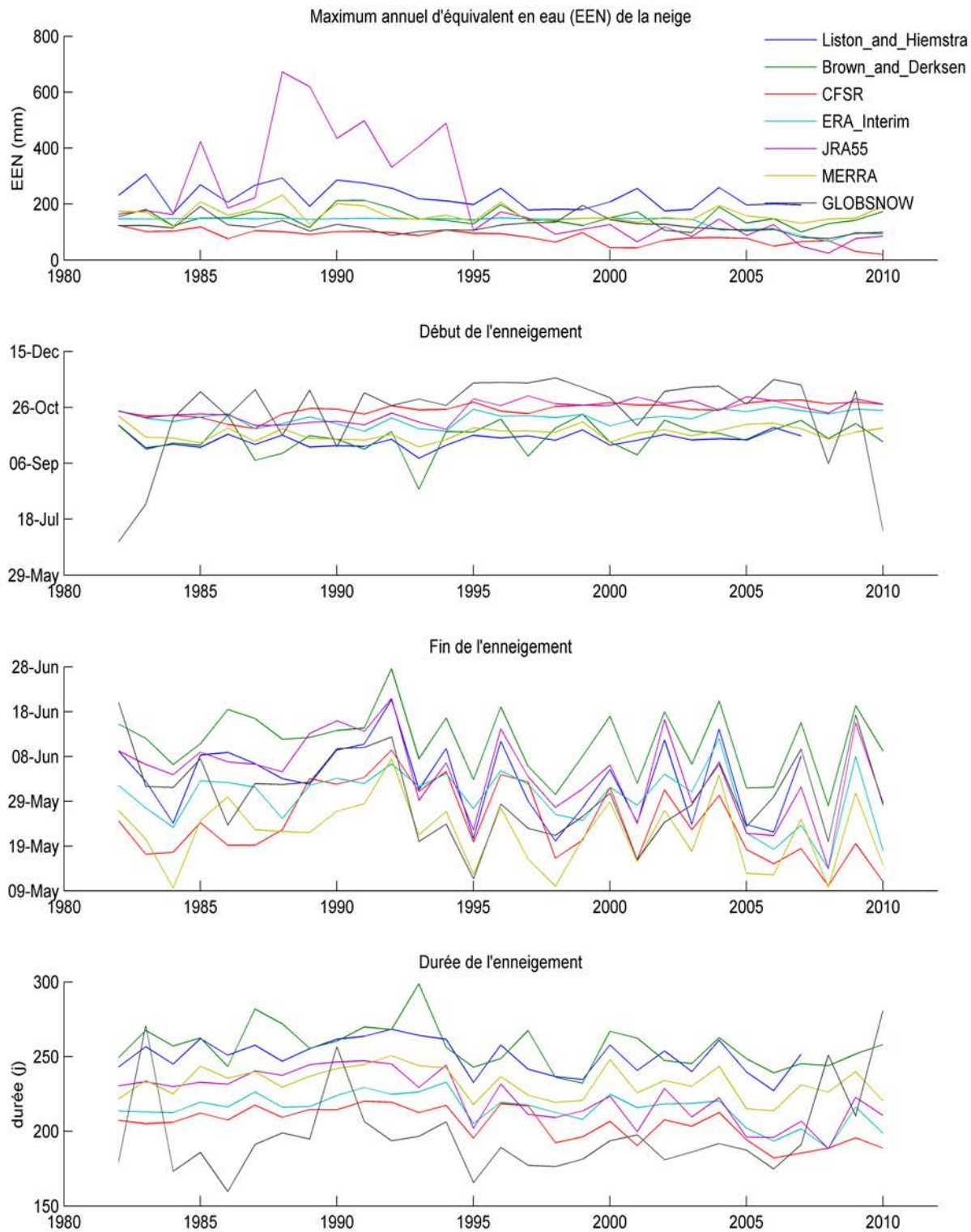


Figure A.149 Comparaison de l'évolution de quatre variables de neige (équivalent en eau de la neige, début, fin et durée de l'enneigement) entre sept réanalyses disponibles pour le bioclimat P,M,C. Le bioclimat qui correspond à cette région est présenté à la figure 21 du rapport.

Classification Bioclimatique : P,SH,TC

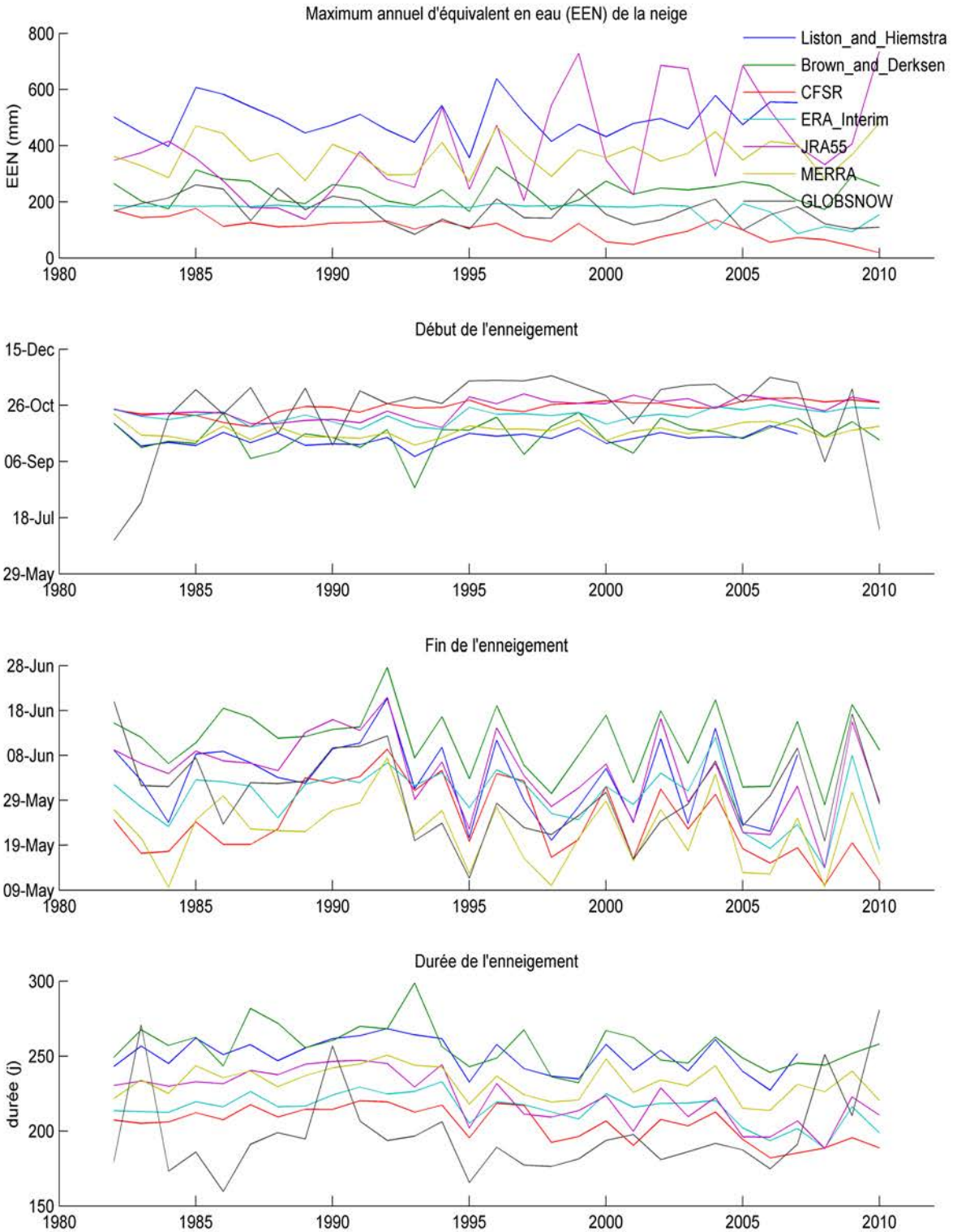


Figure A.150 Comparaison de l'évolution de quatre variables de neige (équivalent en eau de la neige, début, fin et durée de l'enneigement) entre sept réanalyses disponibles pour le bioclimat P,SH,TC. Le bioclimat qui correspond à cette région est présenté à la figure 21 du rapport.

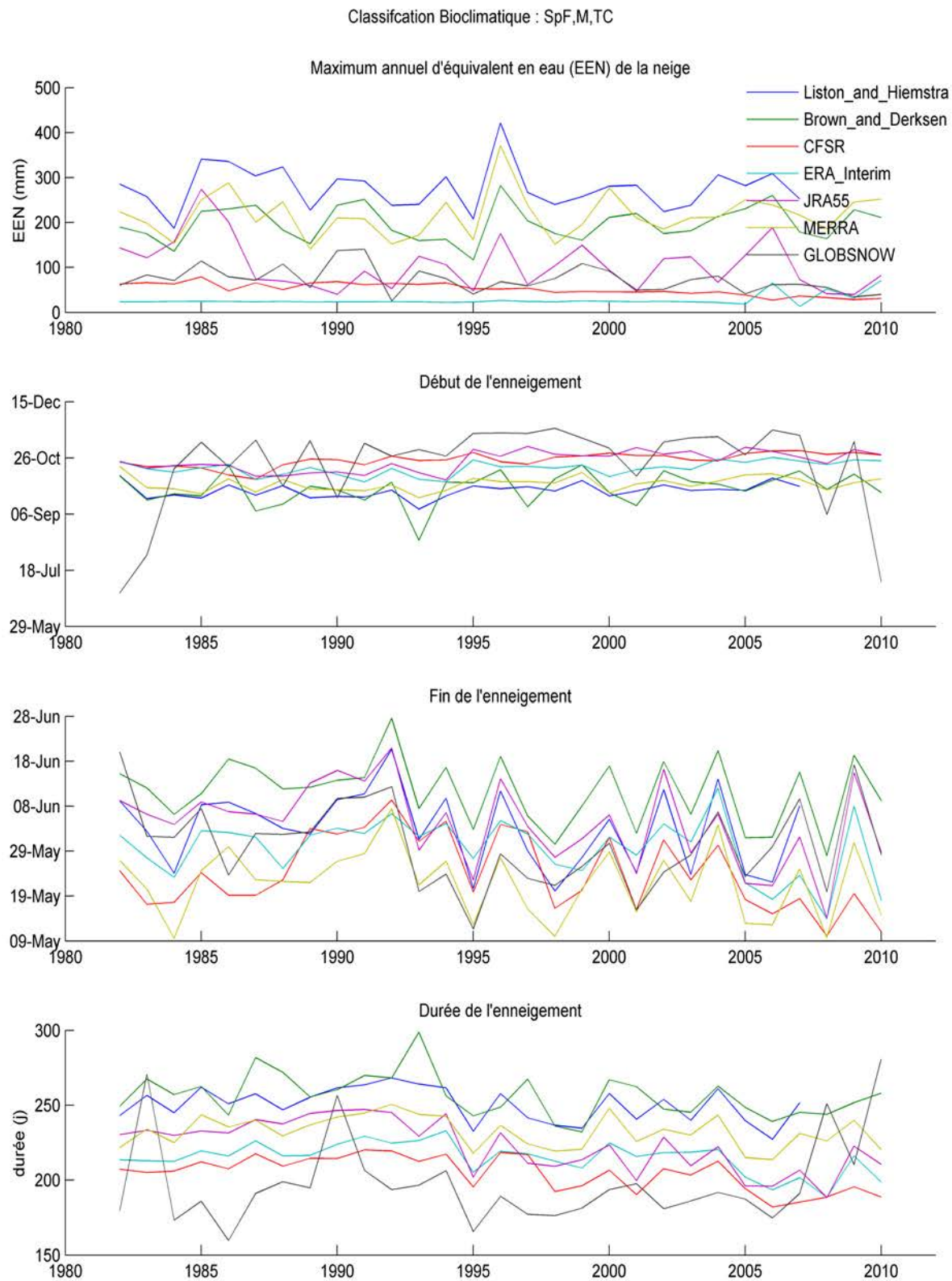


Figure A.151 Comparaison de l'évolution de quatre variables de neige (équivalent en eau de la neige, début, fin et durée de l'enneigement) entre sept réanalyses disponibles pour le bioclimat SpF,M,TC. Le bioclimat qui correspond à cette région est présenté à la figure 21 du rapport.

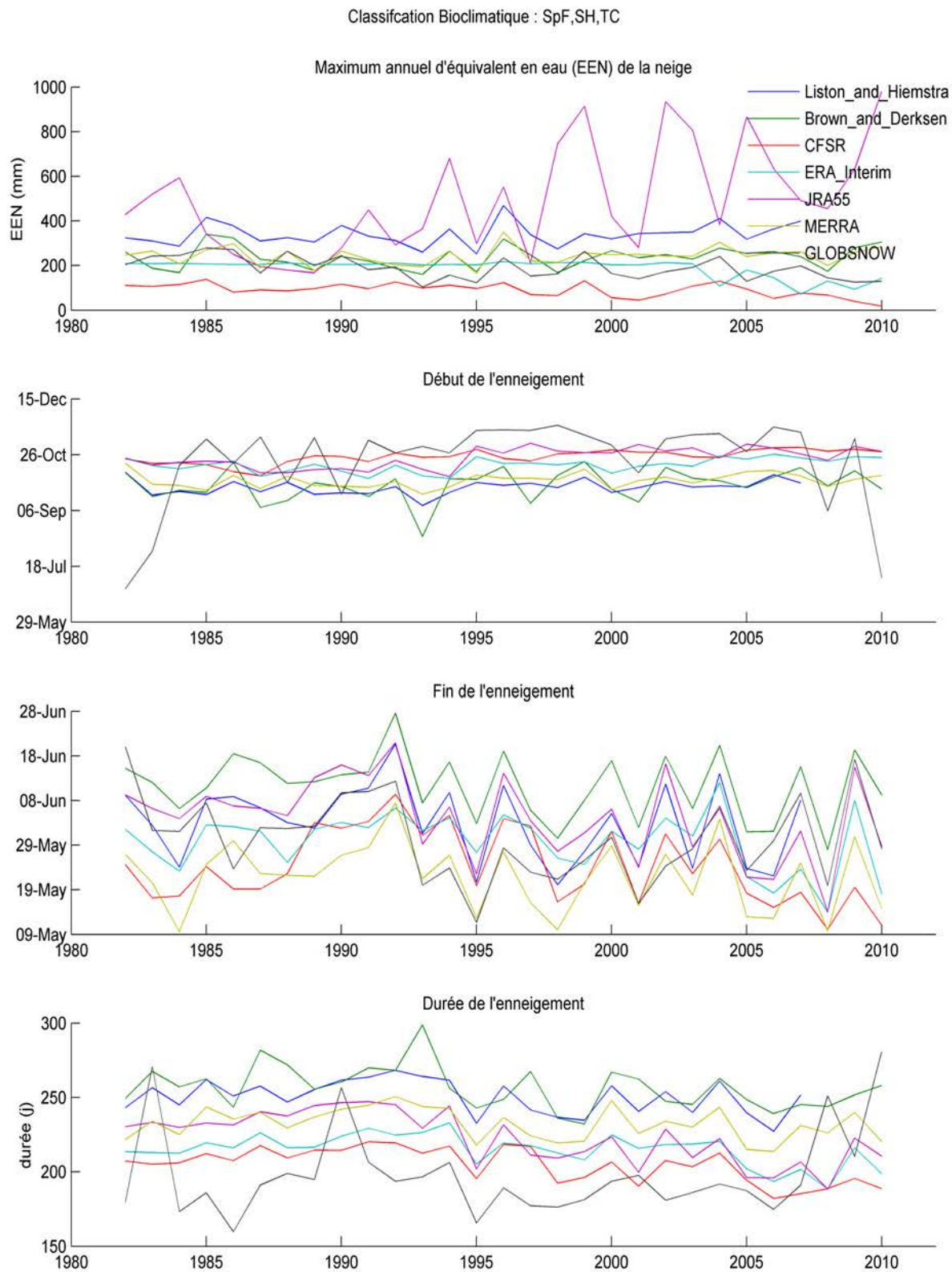


Figure A.152 Comparaison de l'évolution de quatre variables de neige (équivalent en eau de la neige, début, fin et durée de l'enneigement) entre sept réanalyses disponibles pour le bioclimat SpF,SH,TC. Le bioclimat qui correspond à cette région est présenté à la figure 21 du rapport.

Classification Bioclimatique : SpF,M,C

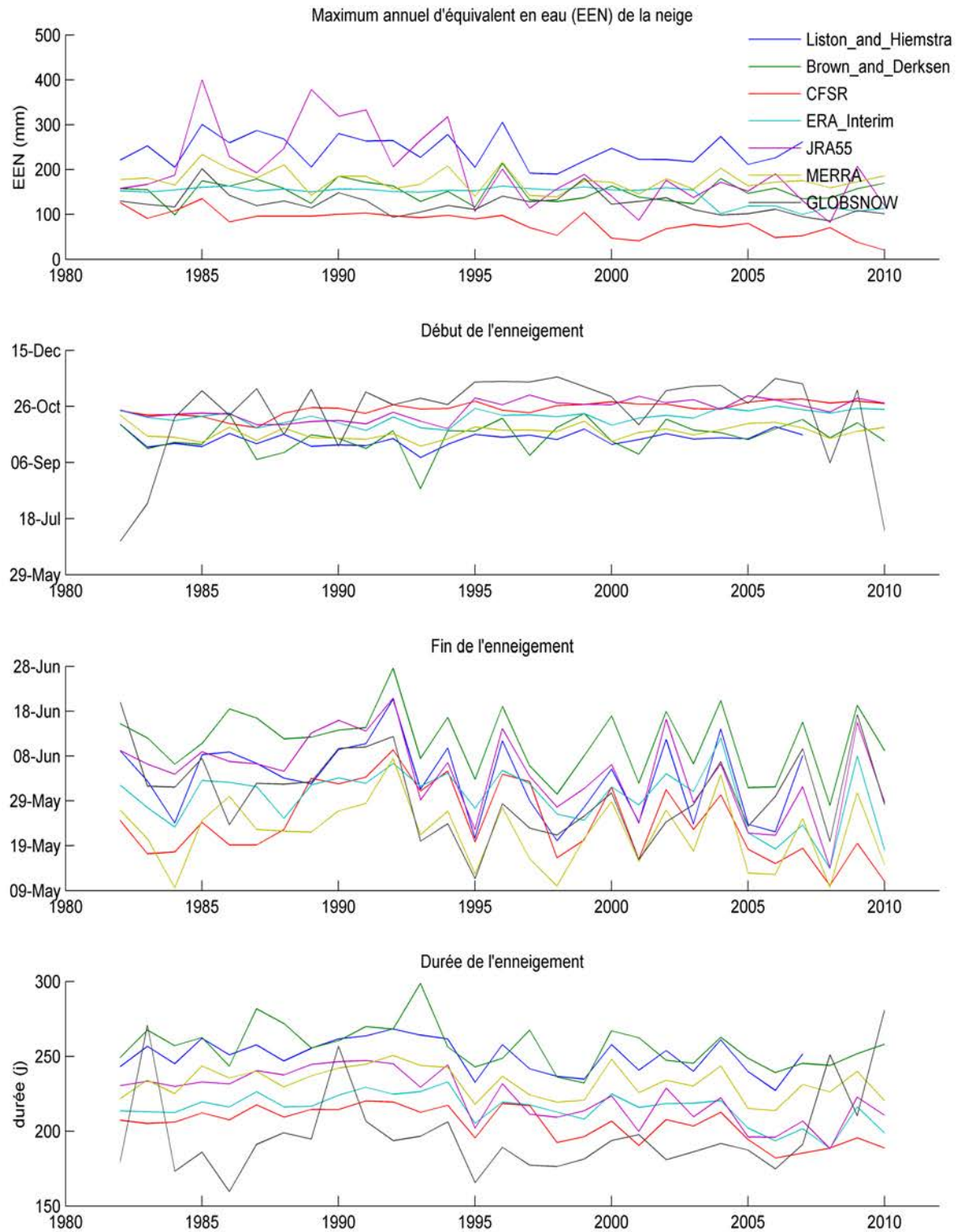


Figure A.153 Comparaison de l'évolution de quatre variables de neige (équivalent en eau de la neige, début, fin et durée de l'enneigement) entre sept réanalyses disponibles pour le bioclimat SpF,M,C. Le bioclimat qui correspond à cette région est présenté à la figure 21 du rapport.

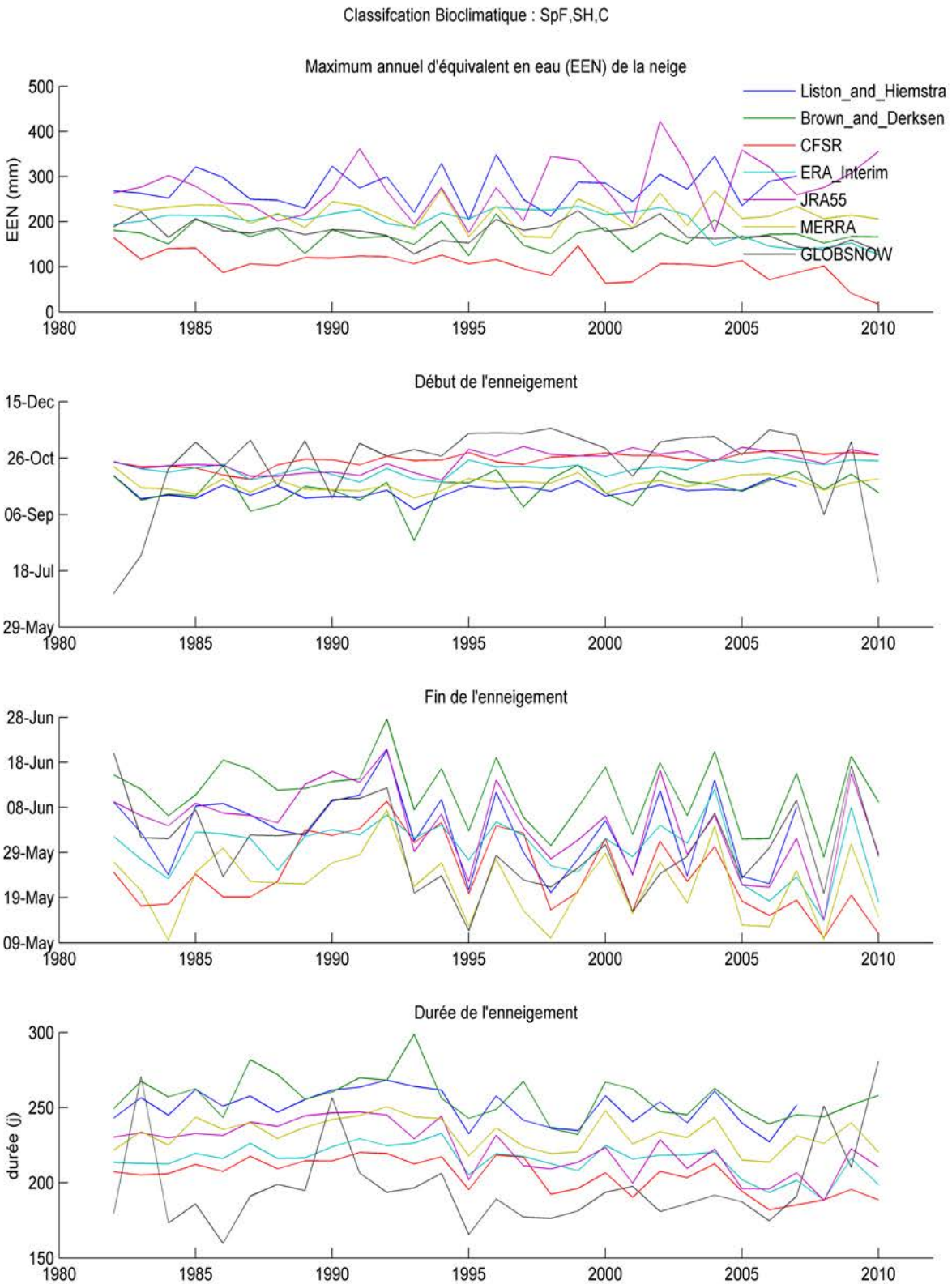


Figure A.154 Comparaison de l'évolution de quatre variables de neige (équivalent en eau de la neige, début, fin et durée de l'enneigement) entre sept réanalyses disponibles pour le bioclimat SpF,SH,C. Le bioclimat qui correspond à cette région est présenté à la figure 21 du rapport.

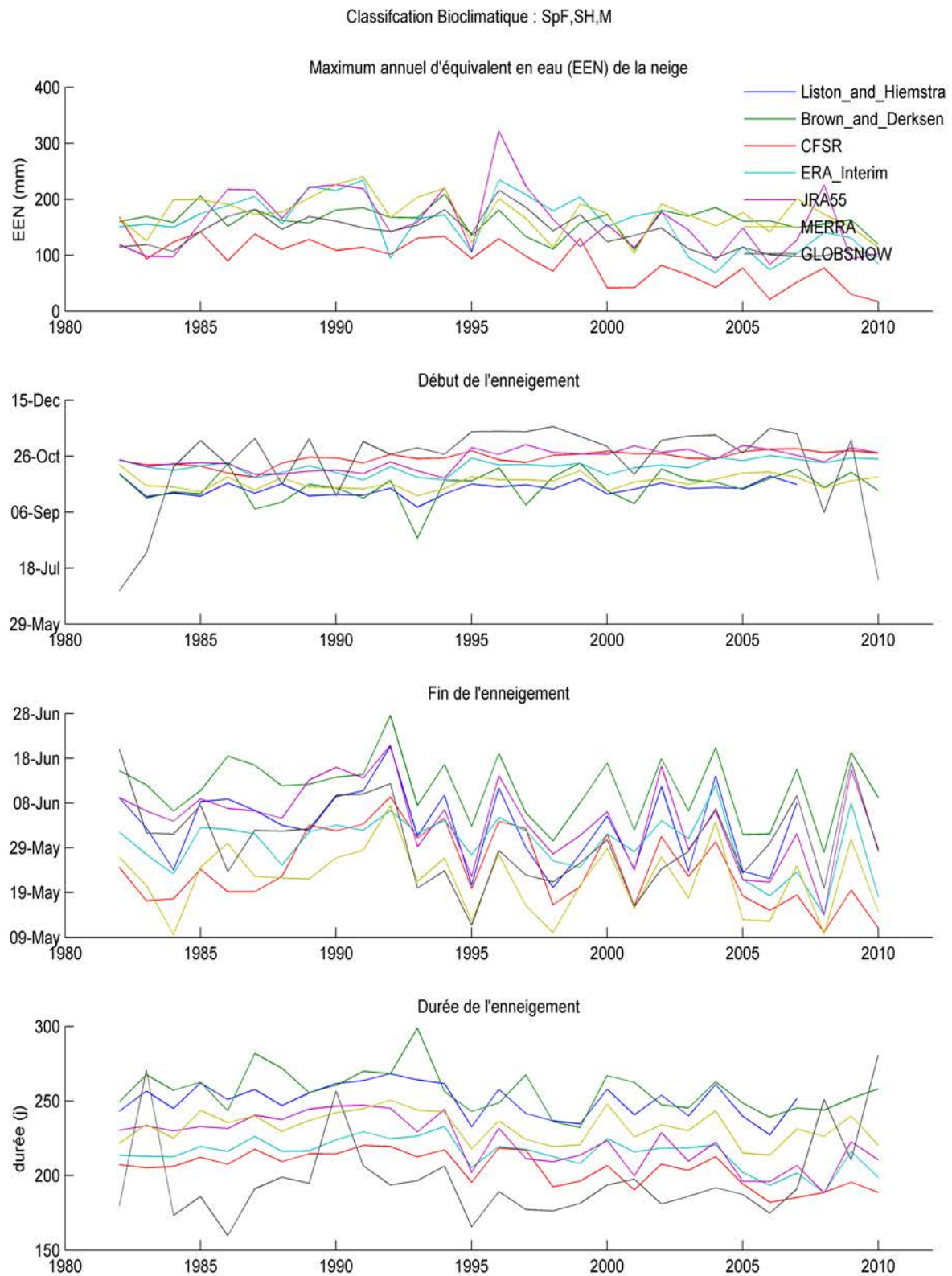


Figure A.155 Comparaison de l'évolution de quatre variables de neige (équivalent en eau de la neige, début, fin et durée de l'enneigement) entre sept réanalyses disponibles pour le bioclimat SpF,SH,M. Le bioclimat qui correspond à cette région est présenté à la figure 21 du rapport.

Classification Bioclimatique : SpF,M,M

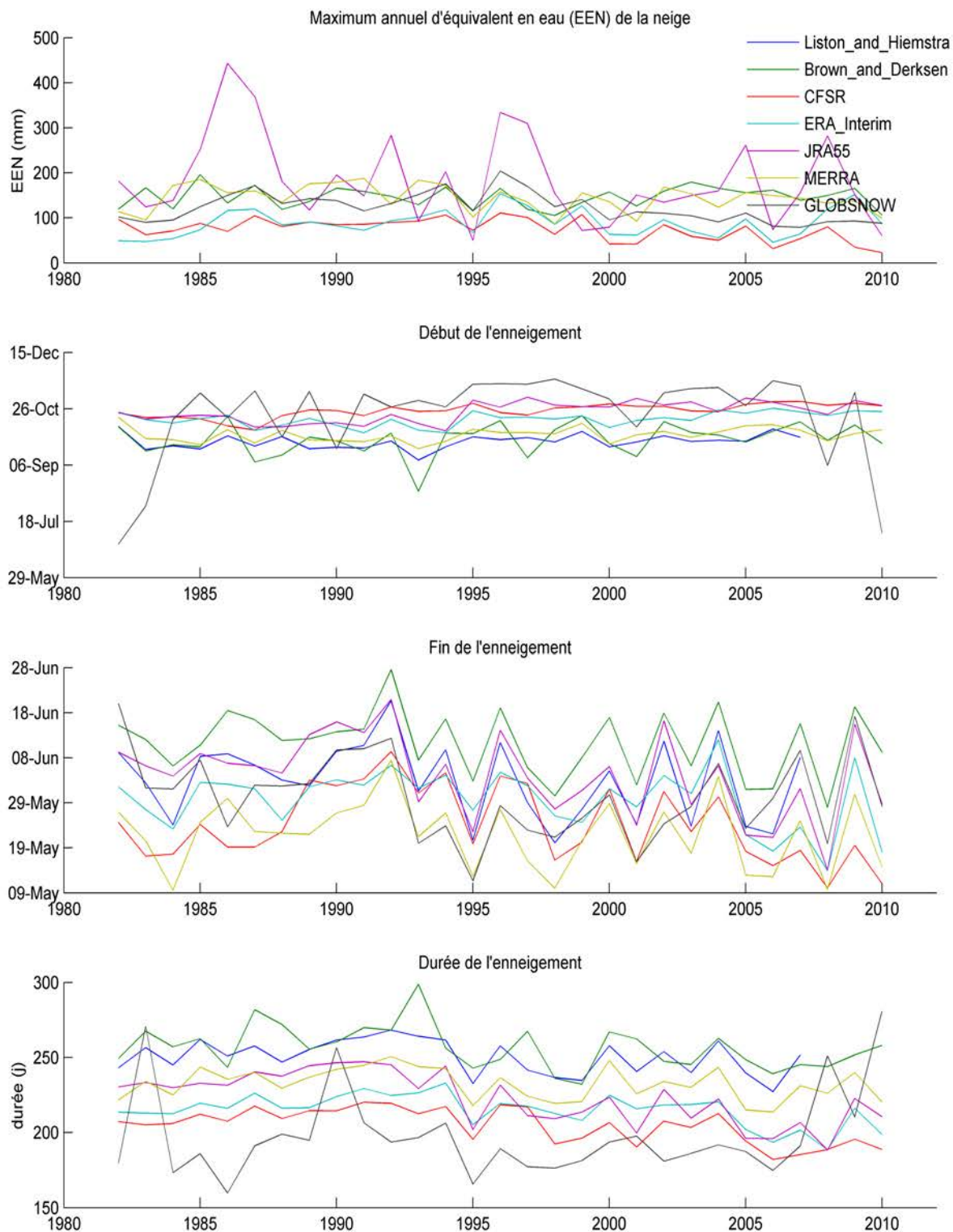


Figure A.156 Comparaison de l'évolution de quatre variables de neige (équivalent en eau de la neige, début, fin et durée de l'enneigement) entre sept réanalyses disponibles pour le bioclimat SpF,M,M. Le bioclimat qui correspond à cette région est présenté à la figure 21 du rapport.